

OBSERVAÇÃO N.º 31

NOME: E. N.
SEXO: masculino.
Côr: parda.
NACIONALIDADE: brasileira.

IDADE: 45 anos.
PROCEDÊNCIA: Departam. de Anatomia Patológica da Faculdade de Medicina da Universidade de São Paulo.

Distância bi-fílio cristal.....	27,3 cm.
Distância xifo-pública.....	30,8 cm.
Comprimento do colo sigmóide.....	45,5 cm.
Mobilidade do colo sigmóide.....	móvel.
Altura do meso-sigmóideo.....	8,0 cm.
Origem da A. m. i. na aorta.....	anterior, linha média.
Projeção vertebral da origem da A. m. i.....	disco entre L ₂ - L ₃ .
Distância do ponto crítico suposto ao plano do promontório.....	+ 3,6 cm.
Distância do nível real do ponto crítico ao nível suposto.....	+ 2,2 cm.
Distância do nível (x) à origem da última A. sigmóidea.....	1,0 cm.
Distância do nível (x) à divisão da A. h. s.....	2,1 cm.
Distância da origem da A. m. i. à origem da A. c. e.....	4,4 cm.
Distância da origem da A. m. i. ao ponto crítico.....	9,8 cm.
Distância da origem da A. m. i. à divisão da A. h. s.....	9,8 cm.
Distância da origem da última A. sigmóidea ou tronco das sigmóideas à divisão da A. h. s.....	3,1 cm.
Distância da última A. sigmóidea ao ponto crítico.....	3,1 cm.
Colaterais da A. m. i.....	{ Tr.c.s. → A.c.e. (r ₁ . A.s. ₁) + A.s. ₂ A.s. ₃
Distância entre a origem das colaterais da A. m. i. Tr.c.s. - A.s. ₃ — 2,2 cm.	
Modo de terminação das colaterais da A. m. i. e da A. h. s.....	formando arcadas.
Número de arcadas arteriais.....	{ 5 primárias. várias secundárias.
Arcada entre a primeira A. sigmóidea e a A. c. e.....	+ com r ₁ intercalado.
Comprimento das arcadas primárias.....	{ A.c.e. - r ₁ — prejudicado. r ₁ - A.s. ₁ — 10,2 cm. A.s. ₁ - A.s. ₂ — 11,1 cm. A.s. ₂ - A.s. ₃ — 7,4 cm. A.s. ₃ - P.c. — 2,8 cm.
Comprimento das colaterais da A. m. i.....	{ A.c.e. — prejudicado. r ₁ — 5,5 cm. A.s. ₁ — 5,4 cm. A.s. ₂ — 4,0 cm. A.s. ₃ — 2,4 cm.
Distância do ponto de divisão das colaterais da A. m. i. ao intestino.....	{ A.c.e. — prejudicado. r ₁ — 2,3 cm. A.s. ₁ — 1,8 cm. A.s. ₂ — 4,5 cm. A.s. ₃ — 2,3 cm. 0,30 cm. na A. h. s.
A. sigmóidea ima { Diâmetro externo	acima do limite cranial.
Situação do ponto crítico em relação ao S. r. s.....	
Origem e distrib. das Aa. r. s.. I proveniente da A. s. i., distribue-se à metade cranial	
Divisão da A. h. s. em relação ao S. r. s.....	bifurca-se acima do limite cranial.

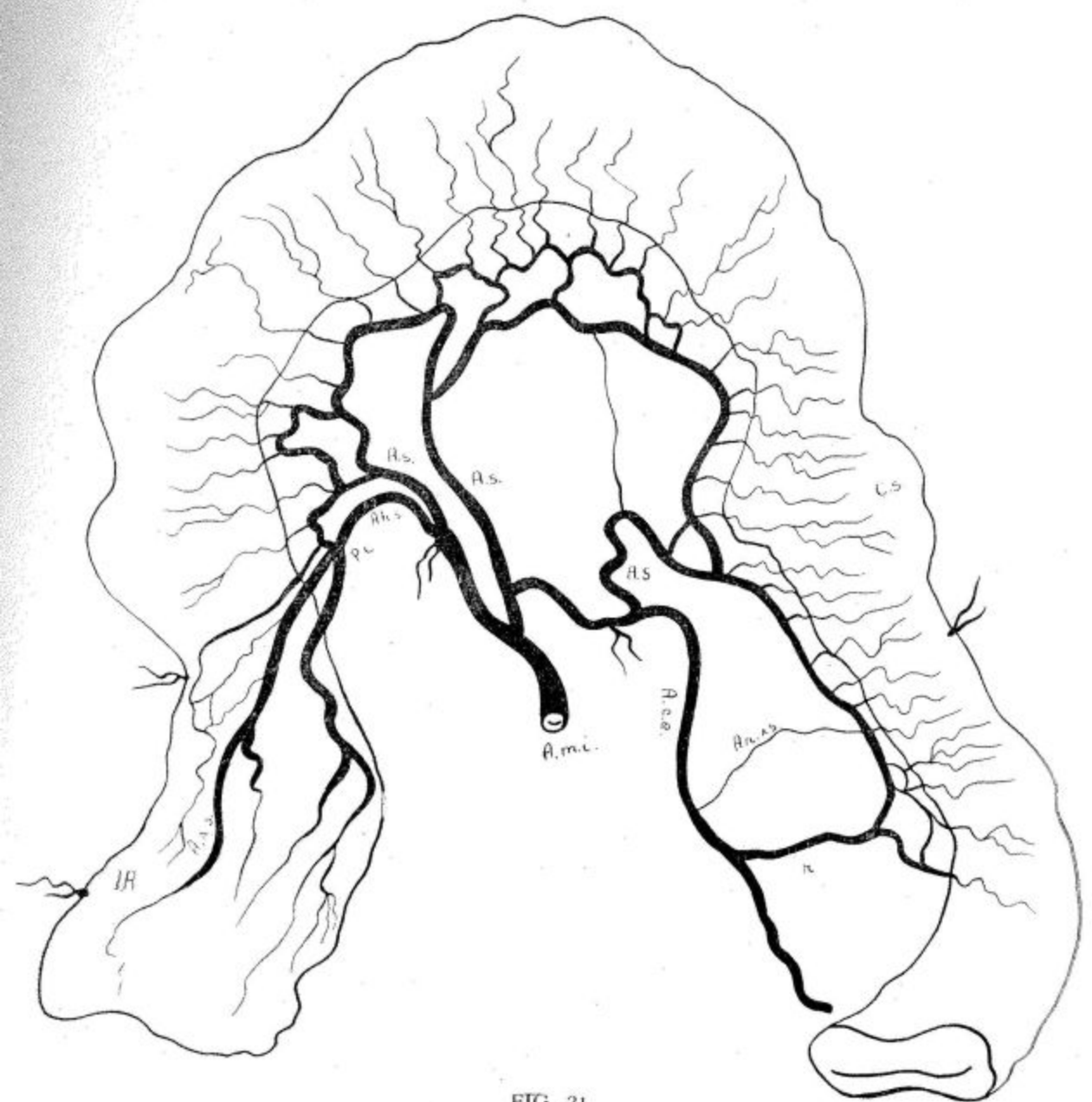


FIG. 31

OBSERVAÇÃO N.º 32

NOME: M. A. P.
SEXO: masculino.
CÔR: parda.
NACIONALIDADE: brasileira.

IDADE: 21 anos.
PROCEDÊNCIA: Departam. de Anatomia
Patológica da Faculdade de Medicina
da Universidade de São Paulo.

Distância bi-ílio cristal	28,4 cm.
Distância xifo-púbica	30,5 cm.
Comprimento do colo sigmóide	46,0 cm.
Mobilidade do colo sigmóide	móvel.
Altura do meso-sigmóideo	9,5 cm.
Origem da A. m. i. na aorta	ântero-lateral esquerda.
Projeção vertebral da origem da A. m. i.	disco entre L ₂ e L ₃ .
Distância do ponto crítico suposto ao plano do promontório	+ 1,0 cm.
Distância do nível real do ponto crítico ao nível suposto	+ 1,0 cm.
Distância do nível (x) à origem da última A. sigmóidea	ao nível de A.s. ₂ .
Distância do nível (x) à divisão da A. h. s.	0,9 cm.
Distância da origem da A. m. i. à origem da A. c. e.	3,6 cm.
Distância da origem da A. m. i. ao ponto crítico	7,2 cm.
Distância da origem da A. m. i. à divisão da A. h. s.	5,5 cm.
Distância da origem da última A. sigmóidea ou tronco das sigmóideas à divisão da A. h. s.	distalmente.
Distância da última A. sigmóidea ao ponto crítico	3,0 cm.
Colaterais da A. m. i.	{ Tr.c.s. → A.c.e. + A.s. ₂ A.s. ₂
Distância entre a origem das colaterais da A. m. i. Tr.c.s. - A.s. ₂	- 0,9 cm.
Modo de terminação das colaterais da A. m. i. e da A. h. s.	formando arcadas.
Número de arcadas arteriais	{ 3 primárias, numerosas secundárias.
Arcada entre a primeira A. sigmóidea e a A. c. e.	+.
Comprimento das arcadas primárias	{ A.c.e. - A.s. ₁ - 6,1 cm. A.s. ₁ - A.s. ₂ - 9,1 cm. A.s. ₂ - P.c. - 6,6 cm.
Comprimento das colaterais da A. m. i.	{ A.c.e. - 6,1 cm. A.s. ₁ - 4,6 cm. A.s. ₂ - 6,2 cm.
Distância do ponto de divisão das colaterais da A. m. i. ao intestino	{ A.c.e. - 1,9 cm. A.s. ₁ - 3,8 cm. A.s. ₂ - 7,9 cm.
A. sigmóidea ima	{ Diâmetro externo - 0,25 cm. Desembocadura - no r. d.
Situação do ponto crítico em relação ao S. r. s.	acima do limite cranial.
Origem e distrib. das Aa. r. s.	não há; a irrigação do S. r. s. é suprida pelo r. e. e r. d.
Divisão da A. h. s. em relação ao S. r. s.	bifurca-se acima do limite cranial.

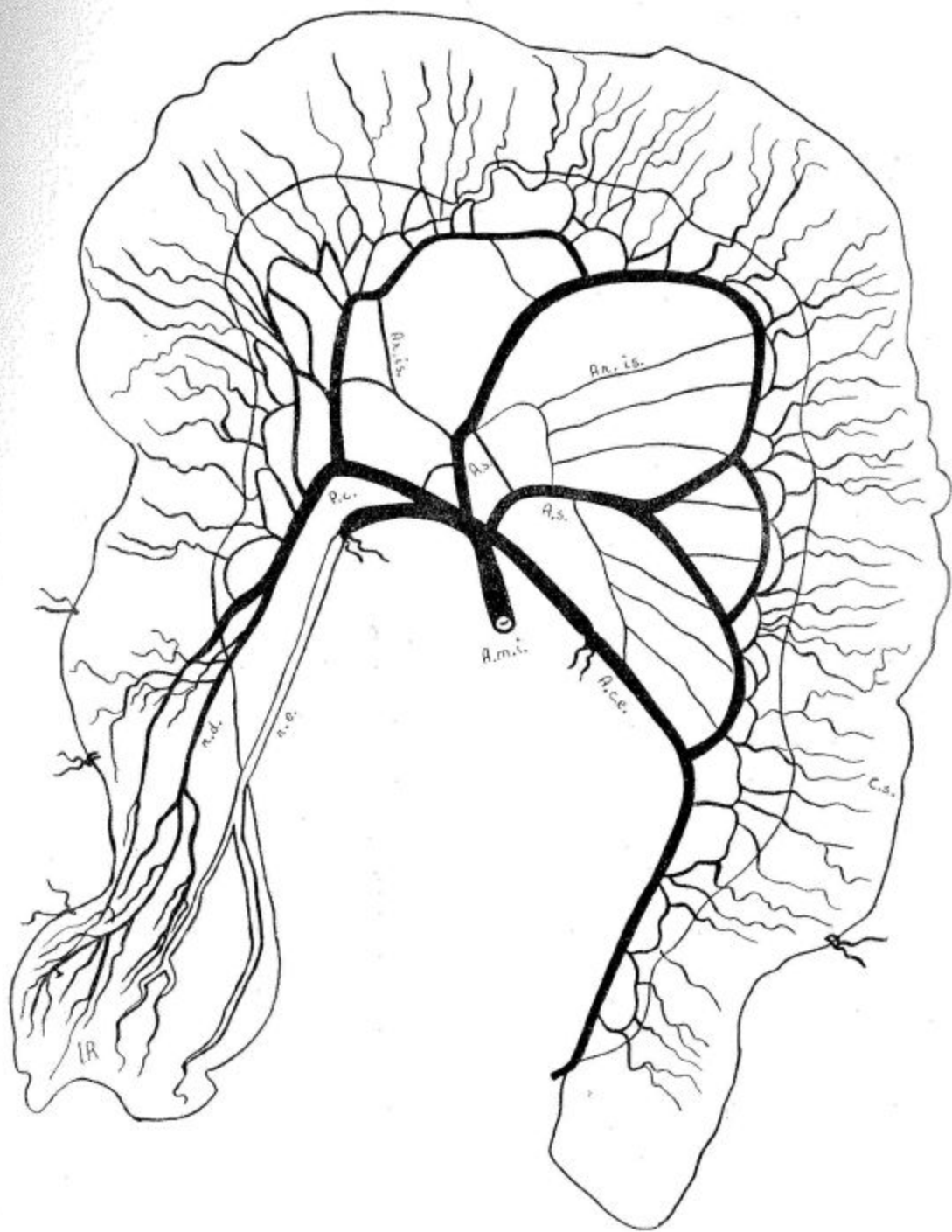


FIG. 32

OBSERVAÇÃO N.º 33

NOME: F. M. L.
SEXO: feminino.
CÔR: branca.
NACIONALIDADE: portuguêsa.

IDADE: 33 anos.
PROCEDÊNCIA: Departam. de Anatomia
Patológica da Faculdade de Medicina
da Universidade de São Paulo.

Distância bi-ílio cristal.....	27,0 cm.
Distância xifo-púbica.....	34,5 cm.
Comprimento do colo sigmóide.....	37,0 cm.
Mobilidade do colo sigmóide.....	móvel.
Altura do meso-sigmóideo.....	11,0 cm.
Origem da A. m. i. na aorta.....	ântero-lateral esquerda.
Projeção vertebral da origem da A. m. i.....	térço médio de L ₃ .
Distância do ponto crítico suposto ao plano do promontório.....	0.
Distância do nível real do ponto crítico ao nível suposto.....	+ 0,8 cm.
Distância do nível (x) à origem da última A. sigmóidea.....	ao nível de A.s. ₂ .
Distância da origem da A. h. s. à divisão da A. m. i.	5,6 cm.
Distância da origem da A. m. i. à origem da A. c. e.	3,3 cm.
Distância da origem da A. m. i. ao ponto crítico....	9,3 cm.
Distância da origem da A. m. i. à divisão da A. h. s.	14,2 cm.
Distância da origem da última A. sigmóidea ou tronco das sigmóideas à divisão da A. h. s.	5,6 cm.
Distância da última A. sigmóidea ao ponto crítico	0,8 cm.
Colaterais da A. m. i.	{ A.c.e. A.s. ₁ A.s. ₂
Distância entre a origem das colaterais da A. m. i.	{ A.c.e. - A.s. ₁ — 1,5 cm. A.s. ₁ — A.s. ₂ — 4,4 cm.
Modo de terminação das colaterais da A. m. i. e da A. h. s.	{ formando arcadas. 1 isolada.
Número de arcadas arteriais.....	{ 3 primárias. algumas secundárias.
Arcada entre a primeira A. sigmóidea e a A. c. e.	+
Comprimento das arcadas primárias.....	{ A.c.e. — A.s. ₁ — 16,4 cm. A.s. ₁ — A.s. ₂ — 13,0 cm. A.s. ₂ — P.c. — 3,0 cm.
Comprimento das colaterais da A. m. i.	{ A.c.e. — 9,4 cm. A.s. ₁ — 4,0 cm. A.s. ₃ — 2,3 cm.
Distância do ponto de divisão das colaterais da A. m. i. ao intestino.....	{ A.c.e. — 2,4 cm. A.s. ₁ — 5,6 cm. A.s. ₂ — 1,8 cm.
A. sigmóidea ima { Diâmetro externo.....	0,20 cm.
Situação do ponto crítico em relação ao S. r. s.....	na A. h. s.
Origem e distrib. das Aa. r. s. { 1 proveniente da A.h.s. distribue-se à metade caudal.	acima do limite cranial.
Divisão da A. h. s. em relação ao S. r. s.....	{ 1 proveniente da A.s.i. distribue-se à metade cranial. bifurca-se na metade cranial.

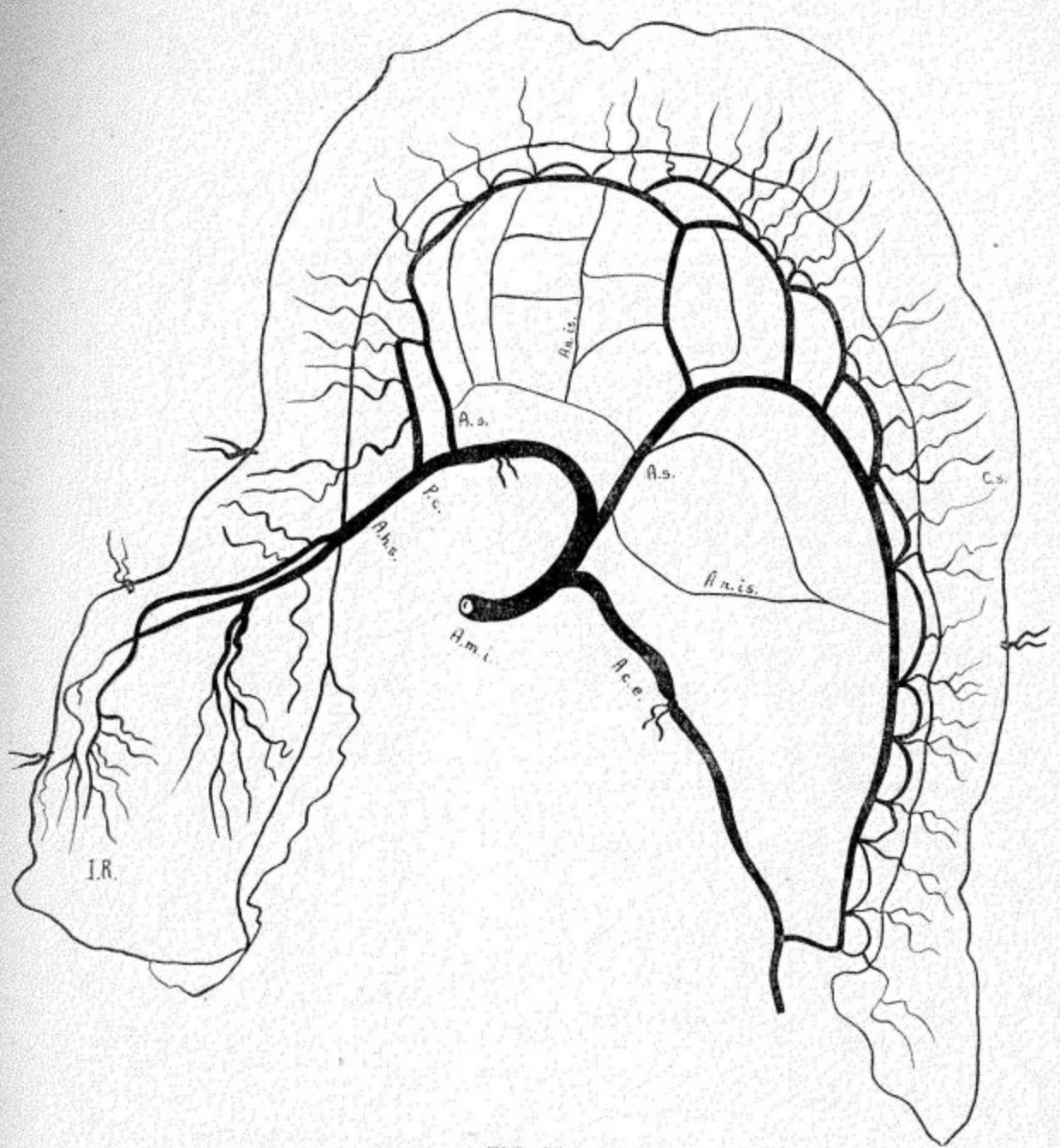


FIG. 33

OBSERVAÇÃO N.º 34

NOME: A. C.

SEXO: masculino.

COR: branca.

NACIONALIDADE: brasileira.

IDADE: 29 anos.

PROCEDÊNCIA: Departam. de Anatomia Patológica da Faculdade de Medicina da Universidade de São Paulo.

Distância bi-filo cristal.....	27,0 cm.
Distância xifo-pública.....	35,3 cm.
Comprimento do colo sigmóide.....	46,4 cm.
Mobilidade do colo sigmóide.....	móvel.
Altura do meso-sigmóideo.....	7,0 cm.
Origem da A. m. i. na aorta.....	antero-lateral esquerda.
Projeção vertebral da origem da A. m. i.....	disco entre L ₂ e L ₃ .
Distância do ponto crítico suposto ao plano do promontório.....	+ 0,9 cm.
Distância do nível real do ponto crítico ao nível suposto.....	+ 3,2 cm.
Distância do nível (x) à origem da última A. sigmóidea.....	entre A.s. ₂ e A.s. ₃ .
Distância do nível (x) à divisão da A. h. s.....	6,8 cm.
Distância da origem da A. m. i. à origem da A. c. e.....	2,0 cm.
Distância da origem da A. m. i. ao ponto crítico.....	10,0 cm.
Distância da origem da A. m. i. à divisão da A. h. s.....	11,5 cm.
Distância da origem da última A. sigmóidea ou tronco das sigmóideas à divisão da A. h. s.....	4,9 cm.
Distância da última A. sigmóidea ao ponto crítico..	3,4 cm.
Colaterais da A. m. i.....	$\left\{ \begin{array}{l} \text{Tr.c.s.} \rightarrow \text{A.c.e.} + \text{A.s.}_1 \\ \text{A.s.}_2 \\ \text{A.s.}_3 \end{array} \right.$
Distância entre a origem das colaterais da A. m. i.....	$\left\{ \begin{array}{l} \text{Tr.c.s.} - \text{A.s.}_2 = 0,8 \text{ cm.} \\ \text{A.s.}_2 - \text{A.s.}_3 = 3,8 \text{ cm.} \end{array} \right.$
Modo de terminação das colaterais da A. m. i. e da A. h. s.....	$\left\{ \begin{array}{l} \text{formando arcadas.} \\ 1 \text{ isolada.} \end{array} \right.$
Número de arcadas arteriais.....	$\left\{ \begin{array}{l} 4 \text{ primárias.} \\ \text{numerosas secundárias.} \end{array} \right.$
Arcada entre a primeira A. sigmóidea e a A. c. e..	+
Comprimento das arcadas primárias.....	$\left\{ \begin{array}{l} \text{A.c.e.} - \text{A.s.}_1 = 12,2 \text{ cm.} \\ \text{A.s.}_1 - \text{A.s.}_2 = 6,8 \text{ cm.} \\ \text{A.s.}_2 - \text{A.s.}_3 = 7,5 \text{ cm.} \\ \text{A.s.}_3 - \text{P.C.} = 3,6 \text{ cm.} \end{array} \right.$
Comprimento das colaterais da A. m. i.....	$\left\{ \begin{array}{l} \text{A.c.e.} = 6,6 \text{ cm.} \\ \text{A.s.}_1 = 2,8 \text{ cm.} \\ \text{A.s.}_2 = 5,7 \text{ cm.} \\ \text{A.s.}_3 = 0,8 \text{ cm.} \end{array} \right.$
Distância do ponto de divisão das colaterais da A. m. i. ao intestino.....	$\left\{ \begin{array}{l} \text{A.c.e.} = 2,5 \text{ cm.} \\ \text{A.s.}_1 = 5,5 \text{ cm.} \\ \text{A.s.}_2 = 3,6 \text{ cm.} \\ \text{A.s.}_3 = 3,4 \text{ cm.} \end{array} \right.$
A. sigmóidea ima	$\left\{ \begin{array}{l} \text{Diâmetro externo.....} \\ \text{Desembocadura.....} \end{array} \right.$
Situação do ponto crítico em relação ao S. r. s.....	0,20 cm. na A. h. s. acima do limite cranial.
Origem e distrib. das Aa. r. s..	$\left\{ \begin{array}{l} 1 \text{ proveniente de A. h. s., distribue-se à metade caudal} \\ 1 \text{ proveniente da A. s. i.....} \\ 1 \text{ proveniente da A. h. s.....} \end{array} \right\}$
Divisão da A. h. s. em relação ao S. r. s.....	distribuem-se à metade cranial bifurca-se no limite cranial.

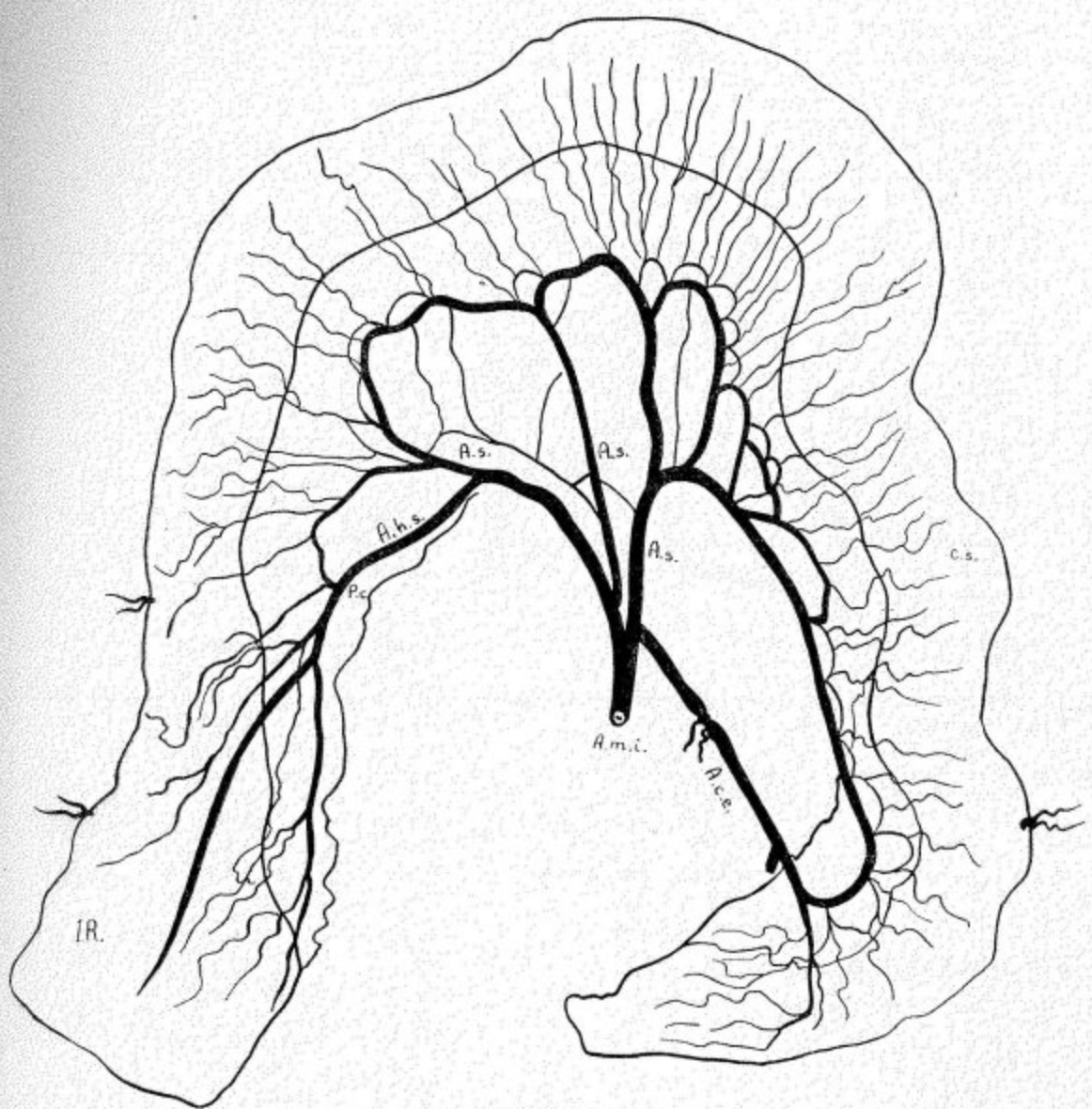


FIG. 34

OBSERVAÇÃO N.º 35

NOME: J. H. S.

SEXO: masculino.

CÔR: branca.

NACIONALIDADE: brasileira.

IDADE: 33 anos.

PROCEDÊNCIA: Departam. de Anatomia Patológica da Faculdade de Medicina da Universidade de São Paulo.

Distância bi-ílio cristal.....	28,4 cm.
Distância xifo-pública.....	31,5 cm.
Comprimento do colo sigmóide.....	41,0 cm.
Mobilidade do colo sigmóide.....	móvel.
Altura do meso-sigmóideo.....	7,0 cm.
Origem da A. m. i. na aorta.....	antero-lateral esquerda.
Projeção vertebral da origem da A. m. i.....	térço caudal de L ₅
Distância do ponto crítico suposto ao plano do promontório.....	+ 1,3 cm.
Distância do nível real do ponto crítico ao nível suposto.....	+ 1,0 cm.
Distância do nível (x) à origem da última A. sigmóidea.....	3,2 cm.
Distância do nível (x) à divisão da A. h. s.....	6,1 cm.
Distância da origem da A. m. i. à origem da A. c. e.....	1,6 cm.
Distância da origem da A. m. i. ao ponto crítico.....	7,1 cm.
Distância da origem da A. m. i. à divisão da A. h. s.....	12,0 cm.
Distância da origem da última A. sigmóidea ou tronco das sigmóideas à divisão da A. h. s.....	5,3 cm.
Distância da última A. sigmóidea ao ponto crítico	4,3 cm.
Colaterais da A. m. i.....	{ Tr.c.s. → A.c.e. (r ₁ , r ₂ , A.s. ₁) Tr.s. → A.s. ₂ + A.s. ₃ (A.s. ₄)
Distância entre a origem das colaterais da A. m. i. Tr.c.s. — Tr.s. — 0,9 cm.	
Modo de terminação das colaterais da A. m. i. e da A. h. s.....	{ formando arcadas. 1 isolada.
Número de arcadas arteriais.....	{ 7 primárias. Numerosas secundárias. terciárias.
Arcada entre a primeira A. sigmóidea e a A. c. e.....	+ com r ₁ , r ₂ intercalados.
Comprimento das arcadas primárias.....	{ A.c.e. — r ₁ — 1,7 cm. r ₁ — r ₂ — 4,2 cm. r ₂ — A.s. ₁ — 3,9 cm. A.s. ₁ — A.s. ₂ — 3,4 cm. A.s. ₂ — A.s. ₃ — 9,5 cm. A.s. ₃ — A.s. ₄ — 9,4 cm. A.s. ₄ — P.c. — 4,2 cm.
Comprimento das colaterais da A. m. i.....	{ A.c.e. — 9,8 cm. r ₁ — 4,3 cm. r ₂ — 4,5 cm. A.s. ₁ — 5,4 cm. A.s. ₂ — 5,7 cm. A.s. ₃ — 1,2 cm. A.s. ₄ — 3,0 cm.
Distância do ponto de divisão das colaterais da A. m. i. ao intestino.....	{ A.c.e. — 1,5 cm. r ₁ — 1,5 cm. r ₂ — 1,3 cm. A.s. ₁ — 1,5 cm. A.s. ₂ — 2,0 cm. A.s. ₃ — 4,9 cm. A.s. ₄ — 3,8 cm.
A. sigmóidea ima { Diâmetro externo Desembocadura	0,20 cm. na A. h. s.
Situação do ponto crítico em relação ao S. r. s.....	acima do limite cranial.
Origem e distrib. das Aa. r. s. { 1 proveniente da A. s. i. } distribuem-se à metade cranial. Divisão da A. h. s. em relação ao S. r. s..... { 1 proveniente do A. h. s. } cranial.	bifurca-se no limite cranial do I. R.

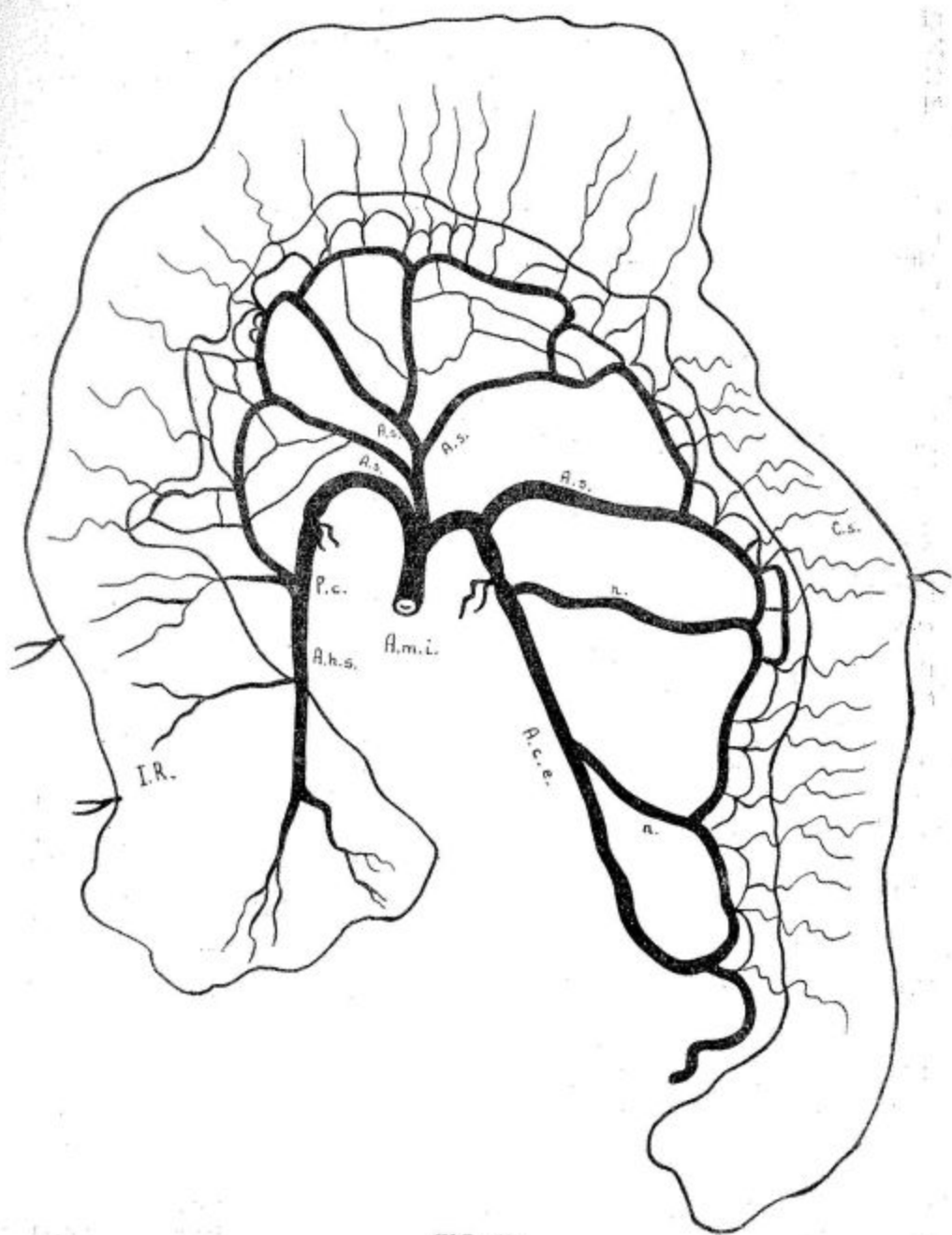


FIG. 35

OBSERVAÇÃO N.º 36

NOME: M. S.

SEXO: feminino.

COR: branca.

NACIONALIDADE: brasileira.

IDADE: 37 anos.

PROCEDÊNCIA: Departam. de Anatomia Patológica da Faculdade de Medicina da Universidade de São Paulo.

Distância bi-ílio cristal.....	27,5 cm.
Distância xifo-púbica.....	30,2 cm.
Comprimento do colo sigmóide.....	39,3 cm.
Mobilidade do colo sigmóide.....	móvel.
Altura do meso-sigmóideo.....	9,8 cm.
Origem da A. m. i. na aorta.....	ântero-lateral esquerda.
Projeção vertebral da origem da A. m. i.....	
Distância do ponto crítico suposto ao plano do promontório.....	terço cranial de L ₅ .
Distância do nível real do ponto crítico ao nível suposto.....	0.
Distância do nível (x) à origem da última A. sigmóidea.....	+ 1,2 cm.
Distância do nível (x) à divisão da A. h. s.....	entre Tr. A.s. ₁ + A.s. ₂ e A.s. ₃
Distância da origem da A. m. i. à origem da A. c. e.....	4,5 cm.
Distância da origem da A. m. i. ao ponto crítico.....	1,9 cm.
Distância da origem da A. m. i. à divisão da A. h. s.....	8,5 cm.
Distância da origem da última A. sigmóidea ou tronco das sigmóideas à divisão da A. h. s.....	9,2 cm.
Distância da última A. sigmóidea ao ponto crítico.....	3,3 cm.
Colaterais da A. m. i.....	2,4 cm.
Distância entre a origem das colaterais da A. m. i. Tr.c.s. - A.s. ₃ — 3,4 cm.	
Modo de terminação das colaterais da A. m. i. e da A. h. s.....	
Número de arcadas arteriais.....	formando arcadas.
Arcada entre a primeira A. sigmóidea e a A. c. e.....	{ 3 primárias. várias secundárias terciárias.
Comprimento das arcadas primárias.....	+.
Comprimento das colaterais da A. m. i.....	{ A.c.e. — A.s. ₁ — 13,0 cm. A.s. ₁ — A.s. ₂ — 7,8 cm. A.s. ₂ — A.s. ₃ — 7,6 cm. A.s. ₃ — P.c. — 3,4 cm.
Distância do ponto de divisão das colaterais da A. m. i. ao intestino.....	{ A.c.e. — 8,8 cm. A.s. ₁ — 2,0 cm. A.s. ₂ — 4,7 cm. A.s. ₃ — 1,4 cm.
A. sigmóidea ima { Diâmetro externo.....	{ A.c.e. — 0,8 cm. A.s. ₁ — 6,1 cm. A.s. ₂ — 2,0 cm. A.s. ₃ — 2,0 cm.
Situação do ponto crítico em relação ao S. r. s.....	0,15 cm.
Origem e distrib. das Aa. r. s....	na A. h. s.
Divisão da A. h. s. em relação ao S. r. s.....	na metade cranial.
	3 provenientes da A. s. i., distribuem-se à metade cranial.
	bifurca-se na metade cranial.

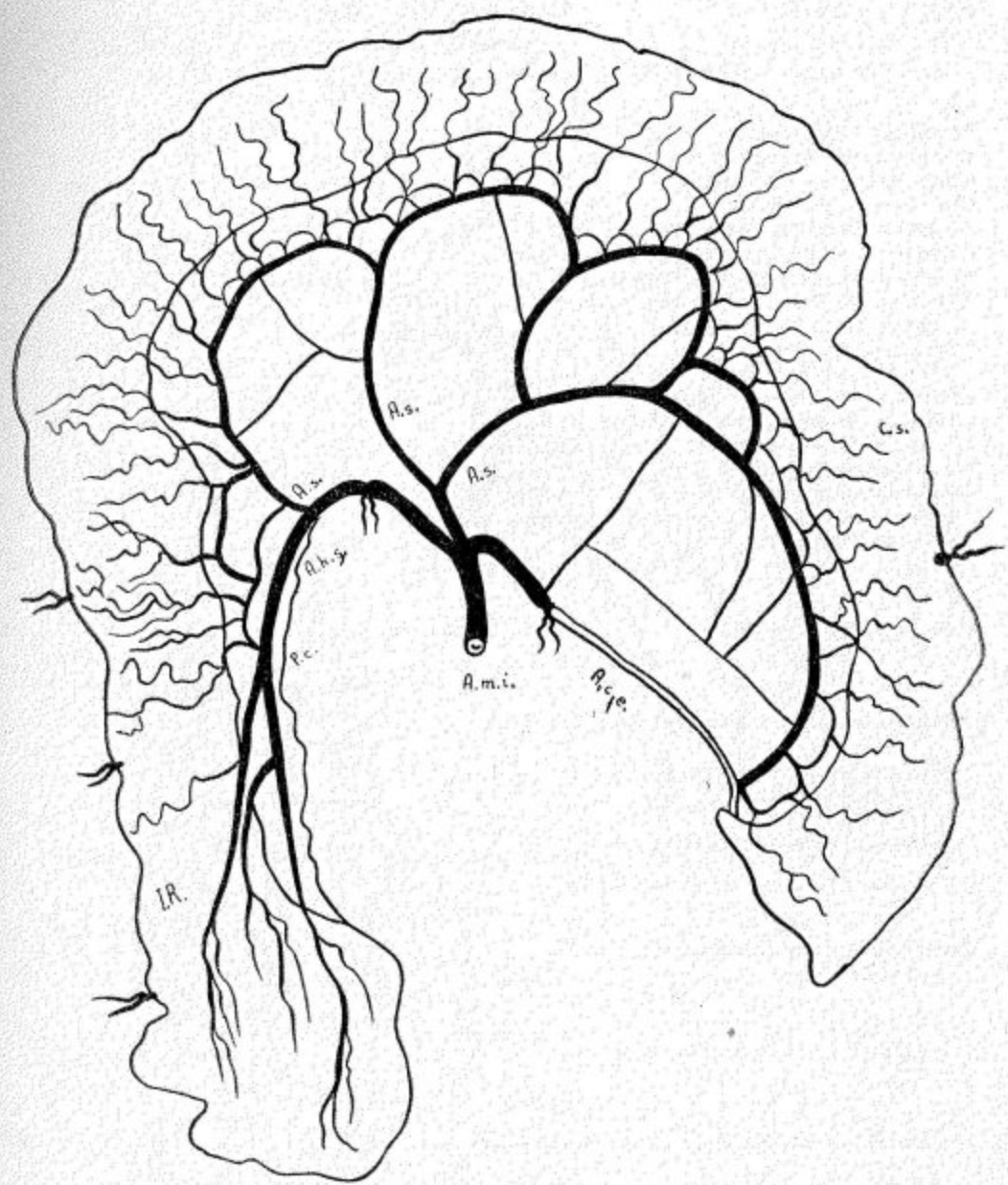


FIG. 36

O B S E R V A Ç Ã O N.º 37

NOME: M. L. M.

SEXO: feminino.

CÔR: branca.

NACIONALIDADE: brasileira.

IDADE: 33 anos.

PROCEDÊNCIA: Departam. de Anatomia Patológica da Faculdade de Medicina da Universidade de São Paulo.

Distância bi-ílio cristal.....	30,1 cm.
Distância xifo-pública.....	37,5 cm.
Comprimento do colo sigmóide.....	38,0 cm.
Mobilidade do colo sigmóide.....	móvel.
Altura do meso-sigmóideo.....	5,0 cm
Origem da A. m. i. na aorta.....	antero-lateral esquerda.
Projeção vertebral da origem da A. m. i.....	térço caudal de L ₂
Distância do ponto crítico suposto ao plano do promontório.....	0.
Distância do nível real do ponto crítico ao nível suposto.....	+ 3,5 cm.
Distância do nível (x) à origem da última A. sigmóidea.....	ao nível de A.s. ₂ e A.s. ₃ .
Distância do nível (x) à divisão da A. h. s.....	5,3 cm.
Distância da origem da A. m. i. à origem da A. c. e.....	3,4 cm.
Distância da origem da A. m. i. ao ponto crítico.....	13,8 cm.
Distância da origem da A. m. i. à divisão da A. h. s.....	13,6 cm.
Distância da origem da última A. sigmóidea ou tronco das sigmóideas à divisão da A. h. s.....	6,3 cm.
Distância da última A. sigmóidea ao ponto crítico.....	2,8 cm.
Colaterais da A. m. i.....	<div style="display: flex; align-items: center;"> A.c.e. A.s.₁ A.s.₂ A.s.₃ </div>
Distância entre a origem das colaterais da A. m. i.....	<div style="display: flex; align-items: center;"> A.c.e. — A.s.₁ — 0,5 cm. A.s.₁ — A.s.₂ — 0,4 cm. A.s.₂ — A.s.₃ — 7,0 cm. </div>
Modo de terminação das colaterais da A. m. i. e da A. h. s.....	formando arcadas.
Número de arcadas arteriais.....	<div style="display: flex; align-items: center;"> 5 primárias. várias secundárias bem desenvolvidas. </div>
Arcada entre a primeira A. sigmóidea e a A. c. e.....	+
Comprimento das árcadas primárias.....	<div style="display: flex; align-items: center;"> A.c.e. — A.s.₁ — prejudicado. A.s.₁ — A.s.₂ — 10,1 cm. A.s.₂ — A.s.₃ — 4,9 cm. A.s.₃ — P.c. — 5,5 cm. </div>
Comprimento das colaterais da A. m. i.....	<div style="display: flex; align-items: center;"> A.c.e. — prejudicado. A.s.₁ — 3,3 cm. A.s.₂ — 4,4 cm. A.s.₃ — 0,5 cm. </div>
Distância do ponto de divisão das colaterais da A. m. i. ao intestino.....	<div style="display: flex; align-items: center;"> A.c.e. — prejudicado. A.s.₁ — 4,4 cm. A.s.₂ — 2,1 cm. A.s.₃ — 1,3 cm. </div>
A. sigmóidea ima {	0,15 cm.
Diâmetro externo.....	no r. d.
Desembocadura.....	na metade cranial.
Situação do ponto crítico em relação ao S. r. s.....	
Origem e distrib. das Aa. r. s.....	<div style="display: flex; align-items: center;"> 2 provenientes de arcada secundária, sobre a A. s. i., distribuem-se à metade cranial. 3 provenientes da A. s. i., distribuem-se à metade cranial. </div>
Divisão da A. h. s. em relação ao S. r. s.....	bifurca-se no limite cranial.

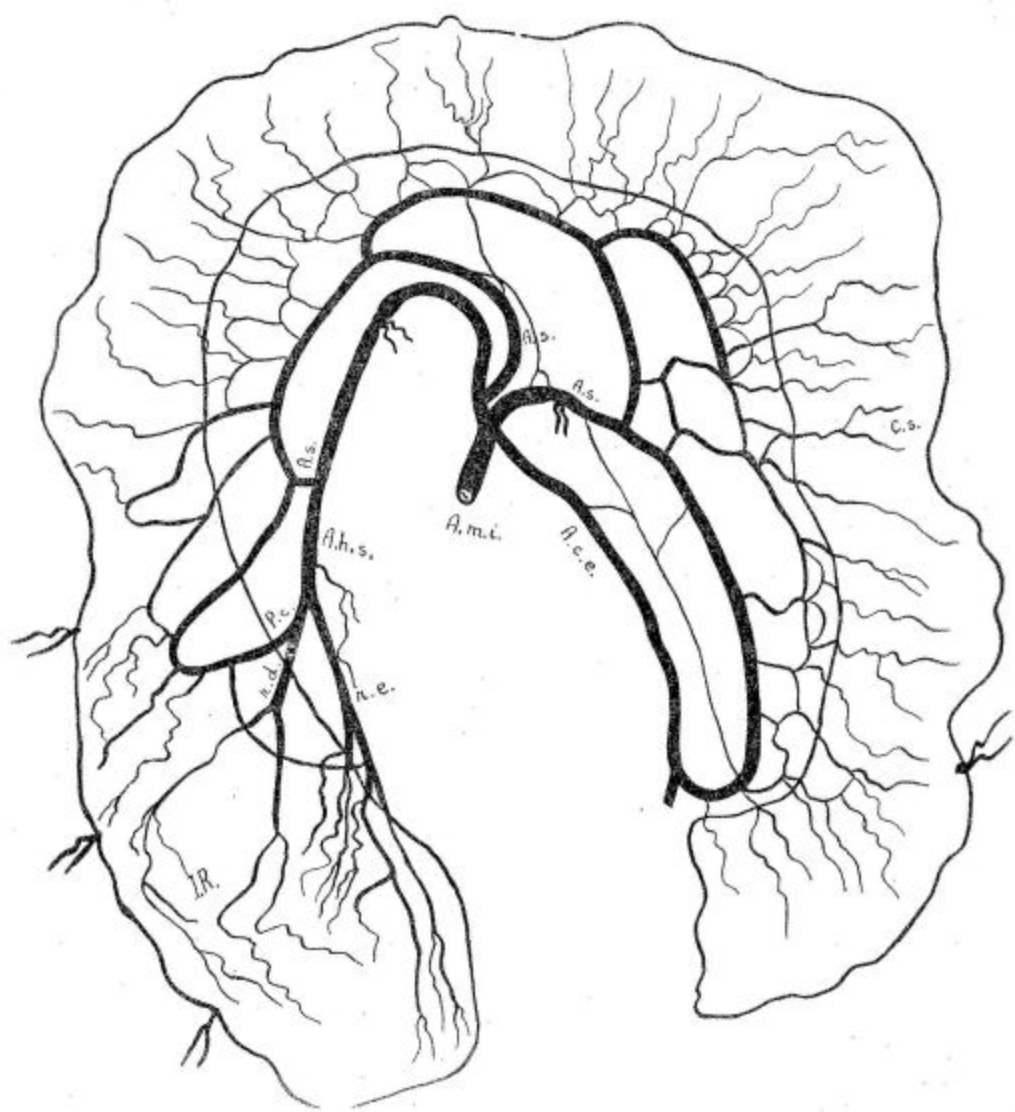


FIG. 37

OBSERVAÇÃO N.º 38

NOME: A. D.
SEXO: masculino.
CÓR: branca.
NACIONALIDADE: brasileira.

IDADE: 24 anos.
PROCEDÊNCIA: Departam. de Anatomia Patológica da Faculdade de Medicina da Universidade de São Paulo.

Distância bi-íleo cristal	22,0 cm.
Distância xifo-púbica	34,7 cm.
Comprimento do colo sigmóide	45,2 cm.
Mobilidade do colo sigmóide	móvel.
Altura do meso-sigmóideo	9,0 cm.
Origem da A. m. i. na aorta	anterior, linha média.
Projeção vertebral da origem da A. m. i.	disco entre L ₂ - L ₃ .
Distância do ponto crítico suposto ao plano do promontório	- 1,2 cm.
Distância do nível real do ponto crítico ao nível suposto	+ 1,5 cm.
Distância do nível (x) à origem da última A. sigmóidea	1,7 cm.
Distância do nível (x) à divisão da A. h. s.	3,5 cm.
Distância da origem da A. m. i. à origem da A. c. e.	2,5 cm.
Distância da origem da A. m. i. ao ponto crítico	8,7 cm.
Distância da origem da A. m. i. à divisão da A. h. s.	7,7 cm.
Distância da origem da última A. sigmóidea ou tronco das sigmóideas à divisão da A. h. s.	5,1 cm.
Distância da última A. sigmóidea ao ponto crítico	6,0 cm.
Colaterais da A. m. i.	{ A.c.e. (r ₁) Tr.s. → (A.s. ₁) A.s. ₂ + A.s. ₃
Distância entre a origem das colaterais da A. m. i. A.c.e. - Tr.s. — 0.	
Modo de terminação das colaterais da A. m. i. e da A. h. s.	formando arcadas.
Número de arcadas arteriais	{ 5 primárias. numerosas secundárias.
Arcada entre a primeira A. sigmóidea e a A. c. e.	+
Comprimento das arcadas primárias	{ A.c.e. - r ₁ — 5,7 cm. r ₁ - A.s. ₁ — 7,2 cm. A.s. ₁ - A.s. ₂ — 6,8 cm. A.s. ₂ - A.s. ₃ — 5,4 cm. A.s. ₃ - P.C. — 4,7 cm.
Comprimento das colaterais da A. m. i.	{ A.c.e. — 9,0 cm. r ₁ — 3,4 cm. A.s. ₁ — 4,3 cm. A.s. ₂ — 1,3 cm. A.s. ₃ — 3,0 cm.
Distância do ponto de divisão das colaterais da A. m. i. ao intestino	{ A.c.e. — 1,3 cm. r ₁ — 2,3 cm. A.s. ₁ — 2,2 cm. A.s. ₂ — 5,4 cm. A.s. ₃ — 1,9 cm.
A. sigmóidea ima	{ Diâmetro externo... Desembocadura...
Situação do ponto crítico em relação ao S. r. s.	0,15 cm.
Origem e distrib. das Aa. r. s.	no r. d.
Divisão da A. h. s. em relação ao S. r. s.	no limite cranial.
	2 provenientes da A. s. i., distribuem-se à metade cranial.
	bifurca-se ao nível do limite cranial.

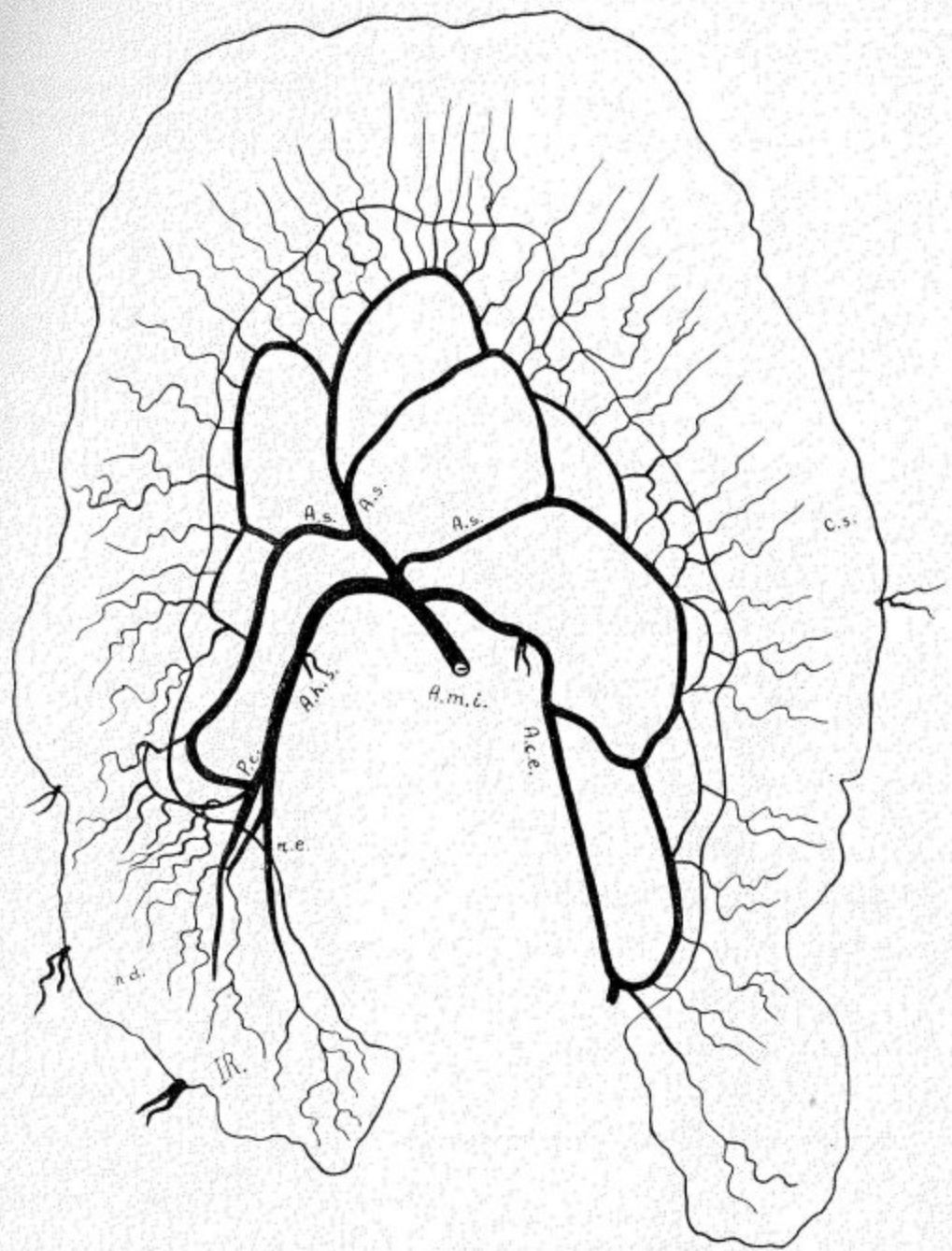


FIG. 38

OBSERVAÇÃO N.º 39

NOME: A. B.
SEXO: masculino.
CÓR: branca.
NACIONALIDADE: italiana.

IDADE: 46 anos.
PROCEDÊNCIA: Departam. de Anatomia
Patológica da Faculdade de Medicina
da Universidade de São Paulo.

Distância bi-ilio cristal.....	29,5 cm.
Distância xifo-pública.....	34,0 cm.
Comprimento do colo sigmóide.....	53,5 cm.
Mobilidade do colo sigmóide.....	móvel.
Altura do meso-sigmóideo.....	4,5 cm.
Origem da A. m. i. na aorta.....	ântero-lateral esquerda.
Projeção vertebral da origem da A. m. i.....	terço médio de L ₅ .
Distância do ponto crítico suposto ao plano do promontório.....	0.
Distância do nível real do ponto crítico ao nível suposto.....	+ 5,9 cm.
Distância do nível (x) à origem da última A. sigmóidea.....	entre A.s. ₁ e A.s. ₂ .
Distância do nível (x) à divisão da A. h. s.....	6,0 cm.
Distância da origem da A. m. i. à origem da A. c. e.....	3,1 cm.
Distância da origem da A. m. i. ao ponto crítico.....	12,8 cm.
Distância da origem da A. m. i. à divisão da A. h. s.....	12,5 cm.
Distância da origem da última A. sigmóidea ou tronco das sigmóideas à divisão da A. h. s.....	2,0 cm.
Distância da última A. sigmóidea ao ponto crítico.....	2,3 cm.
Colaterais da A. m. i.....	{ Tr.s. → A.s. ₁ + A.s. ₂ . A.s. ₃ A.s. ₄
Distância entre a origem das colaterais da A. m. i.....	{ Tr.s. - A.s. ₃ — 6,0 cm. A.s. ₃ - A.s. ₄ — 1,6 cm.
Modo de terminação das colaterais da A. m. i. e da A. h. s.....	formando arcadas.
Número de arcadas arteriais.....	{ 4 primárias. numerosas secundárias.
Arcada entre a primeira A. sigmóidea e a A. c. e.....	—, não há A. c. e.
Comprimento das arcadas primárias.....	{ A.s. ₁ - A.s. ₂ — 13,4 cm. A.s. ₂ - A.s. ₃ — 10,9 cm. A.s. ₃ - A.s. ₄ — 3,8 cm. A.s. ₄ - P.c. — 3,1 cm.
Comprimento das colaterais da A. m. i.....	{ A.s. ₁ — 5,0 cm. A.s. ₂ — 2,9 cm. A.s. ₃ — 1,5 cm. A.s. ₄ — 0,8 cm.
Distância do ponto de divisão das colaterais da A. m. i. ao intestino.....	{ A.s. ₁ — 3,1 cm. A.s. ₂ — 4,5 cm. A.s. ₃ — 2,7 cm. A.s. ₄ — 2,6 cm.
A. sigmóidea ima { Diâmetro externo.....	0,15 cm.
Situação do ponto crítico em relação à S. r. s.....	na metade cranial.
Origem e distrib. das Aa. r. s.....	2 provenientes da A. s. i., distribuem-se à metade cranial.
Divisão da A. h. s. em relação ao S. r. s.....	bifurca-se na metade cranial.

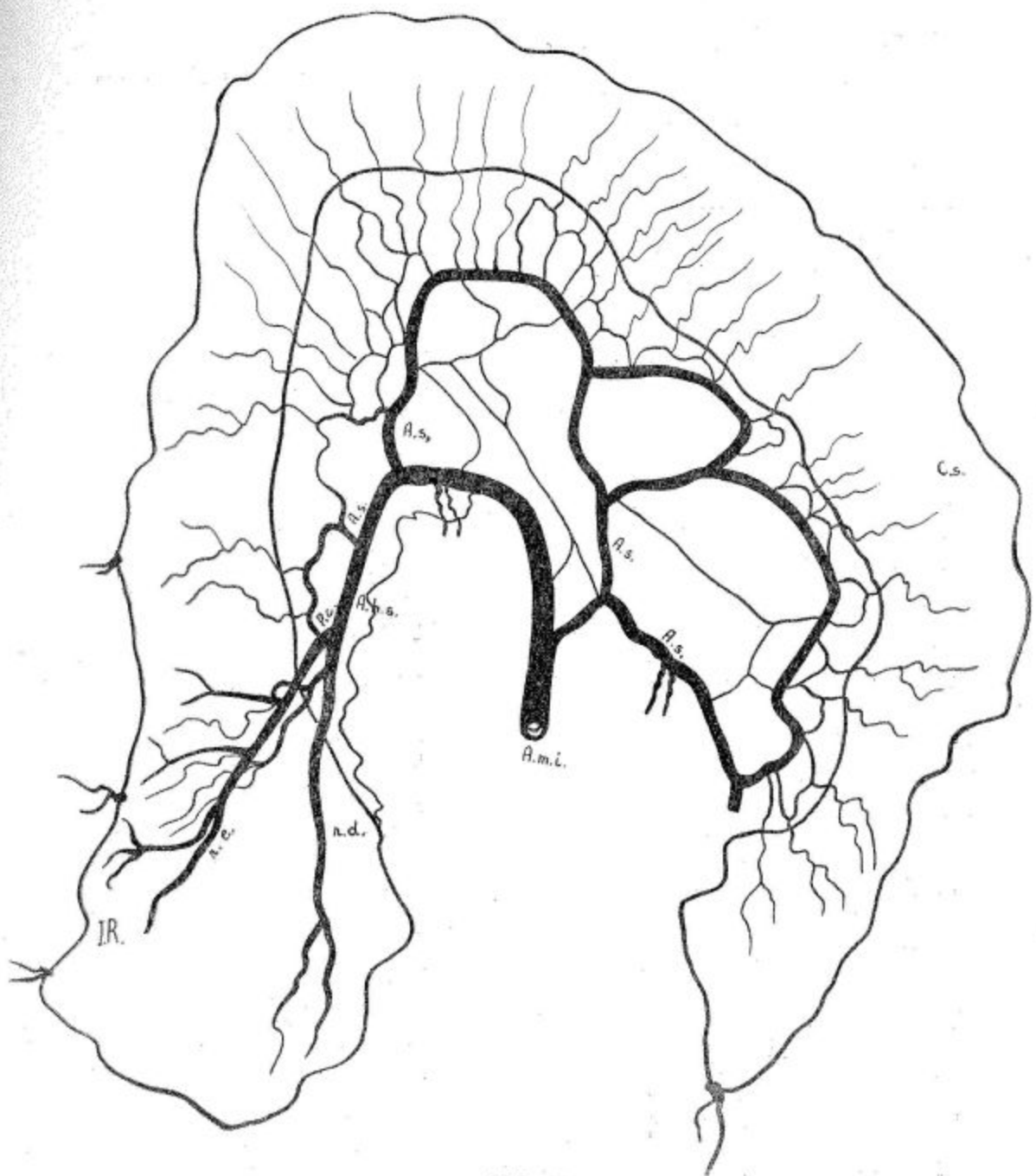


FIG. 39

OBSERVAÇÃO N.º 40

NOME: B. C.

SEXO: masculino.

CÔR: branca.

NACIONALIDADE: brasileira.

IDADE: 43 anos.

PROCEDÊNCIA: Departam. de Anatomia Patológica da Faculdade de Medicina da Universidade de São Paulo.

Distância bi-ílio cristal.....	29,2 cm.
Distância xifo-pública	32,9 cm.
Comprimento do colo sigmóide.....	51,3 cm.
Mobilidade do colo sigmóide.....	fixo.
Altura do meso-sigmóideo.....	1,5 cm.
Origem da A. m. i. na aorta.....	ântero-lateral esquerda.
Projeção vertebral da origem da A. m. i.....	entre L ₂ e L ₃ .
Distância do ponto crítico suposto ao plano do promontório.....	— 3,2 cm.
Distância do nível real do ponto crítico ao nível suposto.....	0.
Distância do nível (x) à origem da última A. sigmóidea.....	3,5 cm.
Distância do nível (x) à divisão da A. h. s.....	2,3 cm.
Distância da origem da A. m. i. à origem da A. c. e.....	2,7 cm.
Distância da origem da A. m. i. ao ponto crítico.....	9,8 cm.
Distância da origem da A. m. i. à divisão da A. h. s.....	13,0 cm.
Distância da origem da última A. sigmóidea ou tronco das sigmóideas à divisão da A. h. s.....	9,5 cm.
Distância da última A. sigmóidea ao ponto crítico	6,3 cm.
Colaterais da A. m. i.....	{ A.c.e. Tr.s. → A.s. ₁ + A.s. ₂ .
Distância entre a origem das colaterais da A. m. i. A.c.e. — Tr.s. — 1,3 cm.	
Modo de terminação das colaterais da A. m. i. e da A. h. s.....	{ formando arcadas, 1 isolada.
Número de arcadas arteriais.....	{ 3 primárias, numerosas secundárias.
Arcada entre a primeira A. sigmóidea e a A. c. e.....	+.
Comprimento das arcadas primárias.....	{ A.c.e. — A.s. ₁ — 17,3 cm. A.s. ₁ — A.s. ₂ — 11,8 cm. A.s. ₂ — P.c. — 5,0 cm.
Comprimento das colaterais da A. m. i.....	{ A.c.e. — 5,2 cm. A.s. ₁ — 3,7 cm. A.s. ₂ — 3,7 cm.
Distância do ponto de divisão das colaterais da A. m. i. ao intestino.....	{ A.c.e. — 4,8 cm. A.s. ₁ — 4,9 cm. A.s. ₂ — 4,2 cm.
A. sigmóidea ima { Diâmetro externo.....	0,20 cm.
Situação do ponto crítico em relação ao S. r. s.....	na A. h. s. acima do limite cranial.
Origem e distrib. das Aa. r. s. { 1 proveniente da A. s. i., distribue-se à metade cranial, com 0,15 cm. de calibre.	
Divisão da A. h. s. em relação ao S. r. s.....	1 proveniente da A. h. s., distribue-se à metade caudal. bifurca-se na metade caudal.

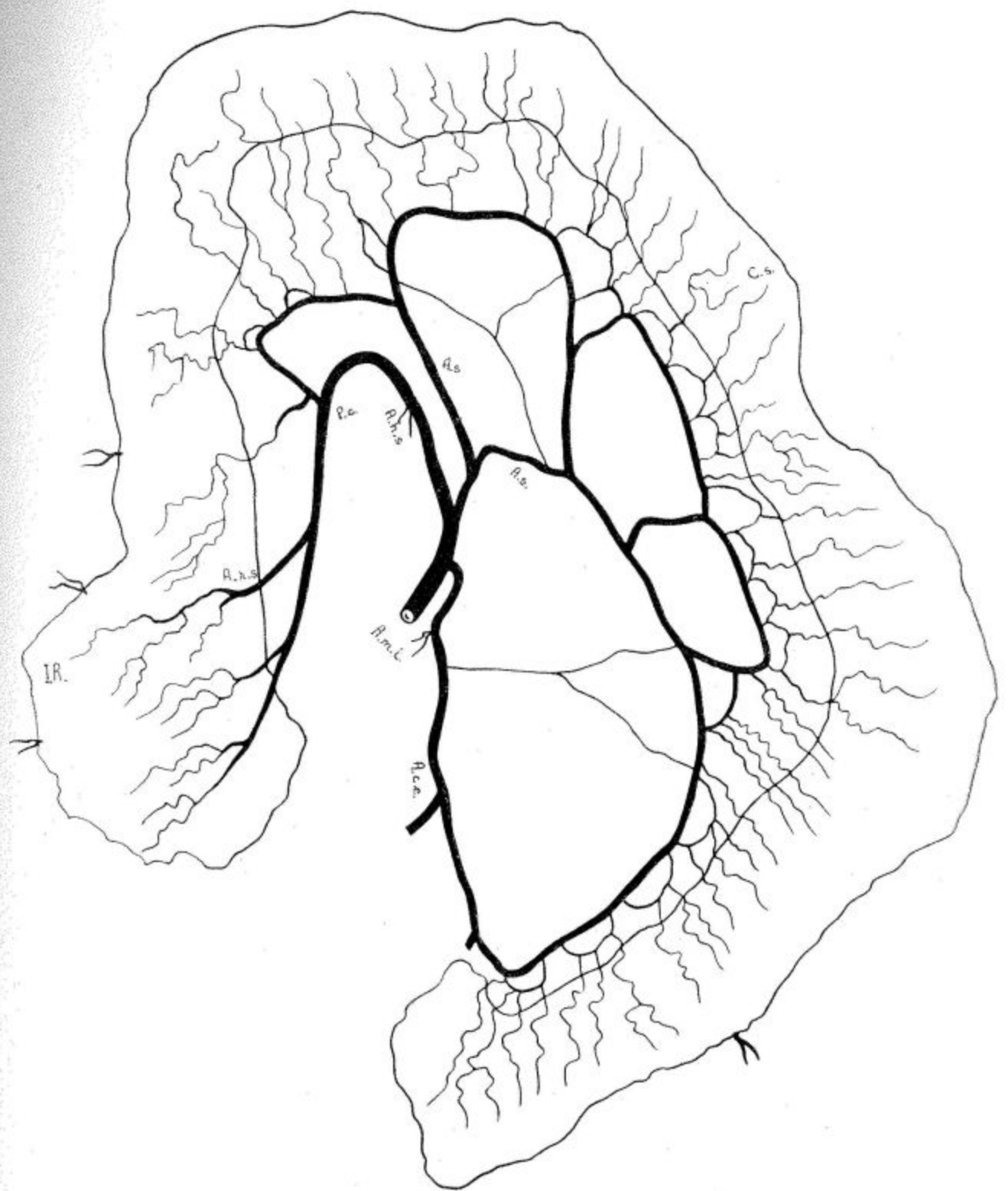


FIG. 40

OBSERVAÇÃO N.º 41

NOME: M. D.
SEXO: feminino.
CÔR: parda.
NACIONALIDADE: brasileira.

IDADE: 43 anos.
PROCEDÊNCIA: Departam. de Anatomia
Patológica da Faculdade de Medicina
da Universidade de São Paulo.

Distância bi-ílio cristal.....	27,3 cm.
Distância xifo-púbica.....	33,2 cm.
Comprimento do colo sigmóide.....	65,0 cm.
Mobilidade do colo sigmóide.....	móvel.
Altura do meso-sigmóideo.....	7,3 cm.
Origem da A. m. i. na aorta.....	ântero-lateral esquerda.
Projeção vertebral da origem da A. m. i.....	disco entre L ₃ e L ₄ .
Distância do ponto crítico suposto ao plano do promontório.....	— 1,3 cm.
Distância do nível real do ponto crítico ao nível suposto.....	+ 0,8 cm.
Distância do nível (x) à origem da última A. sigmóidea.....	entre A.s. ₃ e A.s. ₄ .
Distância do nível (x) à divisão da A. h. s.....	7,9 cm.
Distância da origem da A. m. i. à origem da A. c. e.....	2,7 cm.
Distância da origem da A. m. i. ao ponto crítico.....	10,0 cm.
Distância da origem da A. m. i. à divisão da A. h. s.....	15,1 cm.
Distância da origem da última A. sigmóidea ou tronco das sigmóideas à divisão da A. h. s.....	10,2 cm.
Distância da última A. sigmóidea ao ponto crítico.....	5,4 cm.
Colaterais da A. m. i.....	$\left\{ \begin{array}{l} \text{Tr.c.s.} \rightarrow \text{A.c.e. } (r_1, \text{A.s.}_1, \text{A.s.}_2) \\ \text{A.s.}_3 \\ \text{A.s.}_4 \end{array} \right.$
Distância entre a origem das colaterais da A. m. i.	$\left\{ \begin{array}{l} \text{Tr.c.s. - A.s.}_3 = 1,9 \text{ cm.} \\ \text{A.s.}_3 - \text{A.s.}_4 = 3,7 \text{ cm.} \end{array} \right.$
Modo de terminação das colaterais da A. m. i. e da A. h. s.....	$\left\{ \begin{array}{l} \text{formando arcadas.} \\ 2 \text{ isoladas.} \end{array} \right.$
Número de arcadas arteriais.....	$\left\{ \begin{array}{l} 6 \text{ primárias.} \\ \text{diversas secundárias.} \\ \text{terciárias.} \end{array} \right.$
Arcada entre a primeira A. sigmóidea e a A. c. e.....	+ com r ₁ intercalado.
Comprimento das arcadas primárias.....	$\left\{ \begin{array}{l} \text{A.c.e. - r}_1 = 6,0 \text{ cm.} \\ r_1 - \text{A.s.}_1 = 7,5 \text{ cm.} \\ \text{A.s.}_1 - \text{A.s.}_2 = 9,3 \text{ cm.} \\ \text{A.s.}_2 - \text{A.s.}_3 = 6,8 \text{ cm.} \\ \text{A.s.}_3 - \text{A.s.}_4 = 5,0 \text{ cm.} \\ \text{A.s.}_4 - \text{P.c.} = 3,2 \text{ cm.} \end{array} \right.$
Comprimento das colaterais da A. m. i.....	$\left\{ \begin{array}{l} \text{A.c.e.} = 8,9 \text{ cm.} \\ r_1 = 5,7 \text{ cm.} \\ \text{A.s.}_1 = 52, \text{ cm.} \\ \text{A.s.}_2 = 1,8 \text{ cm.} \\ \text{A.s.}_3 = 2,6 \text{ cm.} \\ \text{A.s.}_4 = 1,6 \text{ cm.} \end{array} \right.$
Distância do ponto de divisão das colaterais da A. m. i. ao intestino.....	$\left\{ \begin{array}{l} \text{A.c.e.} = 1,5 \text{ cm.} \\ r_1 = 1,7 \text{ cm.} \\ \text{A.s.}_1 = 1,6 \text{ cm.} \\ \text{A.s.}_2 = 5,7 \text{ cm.} \\ \text{A.s.}_3 = 3,1 \text{ cm.} \\ \text{A.s.}_4 = 2,2 \text{ cm.} \end{array} \right.$
A. sigmóidea ima	$\left\{ \begin{array}{l} \text{Diâmetro externo.} \\ \text{Desembocadura.} \end{array} \right.$
Situação do ponto crítico em relação ao S. r. s.....	0,10 cm.
Origem e distrib. das Aa. r. s. 1 proveniente da A. h. s., distribue-se a todo o S. r. s.....	na A. h. s.
Divisão da A. h. s. em relação ao S. r. s.....	acima do limite cranial.
	bifurca-se na metade cranial.

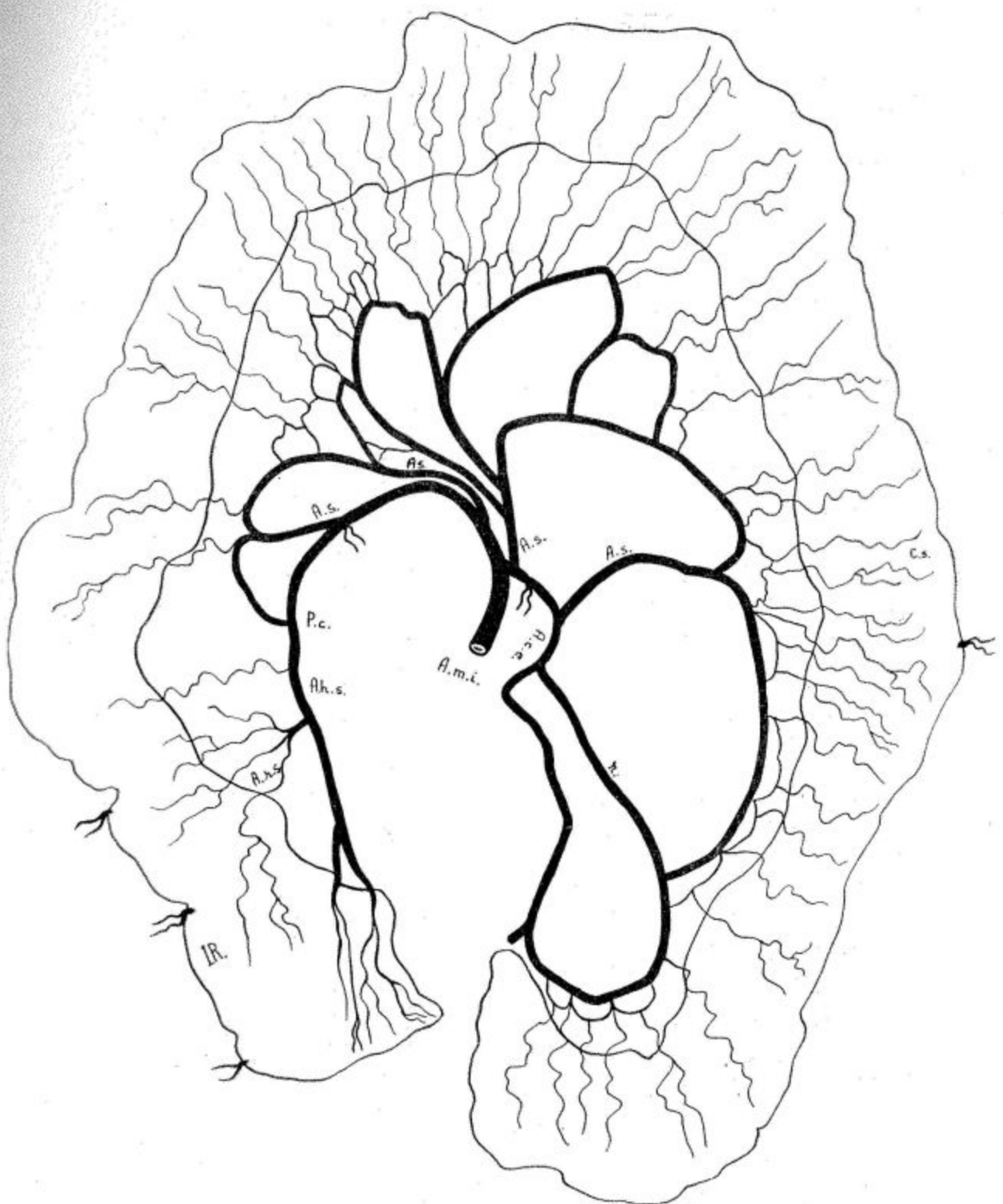


FIG. 41

O B S E R V A Ç Ã O N.º 42

NOME: J. M. S.

SEXO: masculino.

CÔR: parda.

NACIONALIDADE: brasileira.

IDADE: 27 anos.

PROCEDÊNCIA: Departam. de Anatomia Patológica da Faculdade de Medicina da Universidade de São Paulo.

Distância bi-ílio cristal	27,5 cm.
Distância xifo-púbica.....	36,5 cm.
Comprimento do colo sigmóide.....	43,0 cm.
Mobilidade do colo sigmóide.....	móvel.
Altura do meso-sigmóideo.....	3,5 cm.
Origem da A. m. i. na aorta.....	ântero-lateral esquerda.
Projeção vertebral da origem da A. m. i.....	térço cranial de L ₃ .
Distância do ponto crítico suposto ao plano do promontório.....	0.
Distância do nível real do ponto crítico ao nível suposto.....	— 0,6 cm.
Distância do nível (x) à origem da última A. sigmóidea.....	4,5 cm.
Distância do nível (x) à divisão da A. h. s.....	5,4 cm.
Distância da origem da A. m. i. à origem da A. c. e.....	2,4 cm.
Distância da origem da A. m. i. ao ponto crítico.....	6,6 cm.
Distância da origem da A. m. i. à divisão da A. h. s.....	12,4 cm.
Distância da origem da última A. sigmóidea ou tronco das sigmóideas à divisão da A. h. s.....	9,8 cm.
Distância da última A. sigmóidea ao ponto crítico	4,0 cm.
Colaterais da A. m. i.....	{ A.c.e. Tr.s. → A.s. ₁ + A.s. ₂
Distância entre a origem das colaterais da A. m. i., A.c.e. — Tr.s. — 0.....	
Modo de terminação das colaterais da A. m. i. e da A. h. s.....	{ 2 isoladas. formando arcadas.
Número de arcadas arteriais.....	{ 3 primárias. algumas secundárias.
Arcada entre a primeira A. sigmóidea e a A. c. e... .	+
Comprimento das arcadas primárias.....	{ A.c.e. — A.s. ₁ — 12,2 cm. A.s. ₁ — A.s. ₂ — 6,4 cm. A.s. ₂ — P.c. — 7,5 cm.
Comprimento das colaterais da A. m. i.....	{ A.c.e. — 5,4 cm. A.s. ₁ — 2,7 cm. A.s. ₂ — 3,8 cm.
Distância do ponto de divisão das colaterais da A. m. i. ao intestino.....	{ A.c.e. — 3,3 cm. A.s. ₁ — 3,2 cm. A.s. ₂ — 1,9 cm.
A. sigmóidea ima { Diâmetro externo.....	0,25 cm.
Desembocadura.....	na A. h. s.
Situação do ponto crítico em relação à S. r. s.....	acima do limite cranial.
Origem e distrib. das Aa. r. s. 1 proveniente da A. h. s., distribue-se à metade cranial	
Divisão da A. h. s. em relação ao S. r. s.....	bifurca-se na metade cranial.

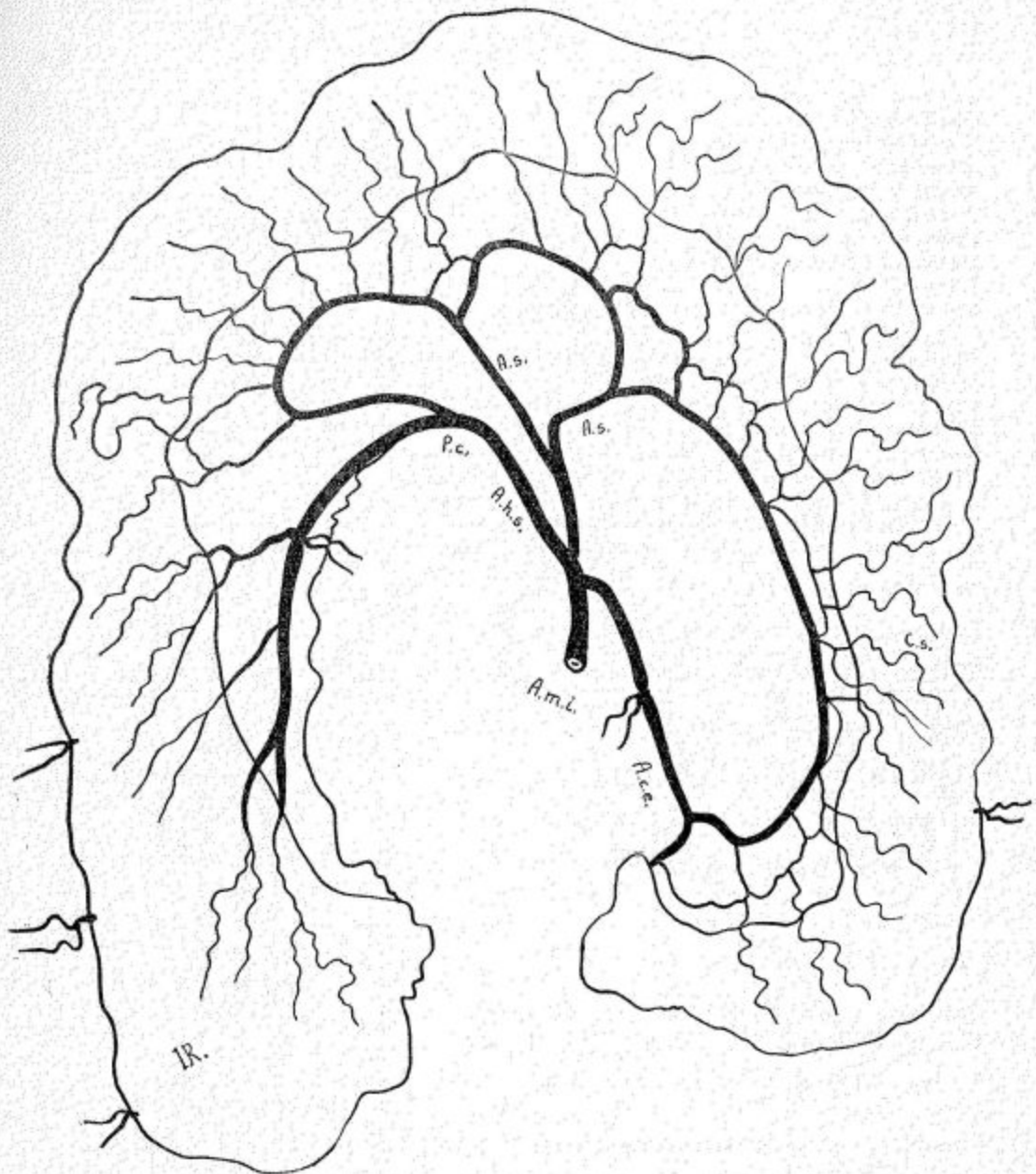


FIG. 42

OBSERVAÇÃO N.º 43

NOME: S. S. N.
SEXO: masculino.
Côr: parda.
NACIONALIDADE: brasileira.

IDADE: 80 anos.
PROCEDÊNCIA: Departam. de Anatomia
Patológica da Faculdade de Medicina
da Universidade de São Paulo.

Distância bi-ílio cristal.....	28,5 cm.
Distância xifo-púbica.....	34,0 cm.
Comprimento do colo sigmóide.....	52,8 cm.
Mobilidade do colo sigmóide.....	móvel.
Altura do meso-sigmóideo.....	13,0 cm.
Origem da A. m. i. na aorta.....	ântero-lateral esquerda.
Projeção vertebral da origem da A. m. i.....	disco entre L ₃ -L ₄ .
Distância do ponto crítico suposto ao plano do promontório.....	— 2,3 cm.
Distância do nível real do ponto crítico ao nível suposto.....	+ 5,0 cm.
Distância do nível (x) à origem da última A. sigmóidea.....	entre A.s. ₂ e A.s. ₃ .
Distância do nível (x) à divisão da A. h. s.....	11,2 cm.
Distância da origem da A. m. i. à origem da A. c. e.....	2,9 cm.
Distância da origem da A. m. i. ao ponto crítico.....	12,5 cm.
Distância da origem da A. m. i. à divisão da A. h. s.....	16,3 cm.
Distância da origem da última A. sigmóidea ou tronco das sigmóideas à divisão da A. h. s.....	5,7 cm.
Distância da última A. sigmóidea ao ponto crítico	1,8 cm.
Colaterais da A. m. i.....	$\left\{ \begin{array}{l} \text{Tr.c.s.} \rightarrow \text{A.c.e.} + (\text{Tr. r}_1 + \text{A.s.}_1) + \text{A.s.}_2 \\ \text{A.s.}_3 \\ \text{A.s.}_4 \end{array} \right.$
Distância entre a origem das colaterais da A. m. i.....	$\left\{ \begin{array}{l} \text{Tr.c.s.} - \text{A.s.}_3 = 4,9 \text{ cm.} \\ \text{A.s.}_3 - \text{A.s.}_4 = 2,7 \text{ cm.} \end{array} \right.$
Modo de terminação das colaterais da A. m. i. e da A. h. s.....	$\left\{ \begin{array}{l} \text{formando arcadas.} \\ 1 \text{ isolada.} \end{array} \right.$
Número de arcadas arteriais.....	$\left\{ \begin{array}{l} 6 \text{ primárias.} \\ \text{várias secundárias.} \end{array} \right.$
Arcada entre a primeira A. sigmóidea e a A. c. e.....	+ com r ₁ intercalado
Comprimento das arcadas primárias	$\left\{ \begin{array}{l} \text{A.c.e.} - \text{r}_1 = 9,4 \text{ cm.} \\ \text{r}_1 - \text{A.s.}_1 = 6,4 \text{ cm.} \\ \text{A.s.}_1 - \text{A.s.}_2 = 15,7 \text{ cm.} \\ \text{A.s.}_2 - \text{A.s.}_3 = 12,3 \text{ cm.} \\ \text{A.s.}_3 - \text{A.s.}_4 = 6,5 \text{ cm.} \\ \text{A.s.}_4 - \text{P.c.} = 2,0 \text{ cm.} \end{array} \right.$
Comprimento das colaterais da A. m. i.....	$\left\{ \begin{array}{l} \text{A.c.e.} = 6,5 \text{ cm.} \\ \text{r}_1 = 6,6 \text{ cm.} \\ \text{A.s.}_1 = 3,8 \text{ cm.} \\ \text{A.s.}_2 = 2,6 \text{ cm.} \\ \text{A.s.}_3 = 3,1 \text{ cm.} \\ \text{A.s.}_4 = 1,3 \text{ cm.} \end{array} \right.$
Distância do ponto de divisão das colaterais da A. m. i. ao intestino	$\left\{ \begin{array}{l} \text{A.c.e.} = 6,7 \text{ cm.} \\ \text{r}_1 = 1,9 \text{ cm.} \\ \text{A.s.}_1 = 2,4 \text{ cm.} \\ \text{A.s.}_2 = 8,4 \text{ cm.} \\ \text{A.s.}_3 = 1,5 \text{ cm.} \\ \text{A.s.}_4 = 0,9 \text{ cm.} \end{array} \right.$
A. sigmóidea ima	$\left\{ \begin{array}{l} \text{Diâmetro externo.....} \\ \text{Desembocadura.....} \end{array} \right.$
Situação do ponto crítico em relação ao S. r. s.....	0 10 cm. na A. h. s. acima do limite cranial.
Origem e distrib. das Aa. r. s..	$\left\{ \begin{array}{l} 2 \text{ provenientes da A. s. i., distribuem-se à metade cranial.} \\ 1 \text{ proveniente da A. h. s., distribue-se à metade caudal.} \end{array} \right.$
Divisão da A. h. s. em relação ao S. r. s.....	bifurca-se na metade caudal.

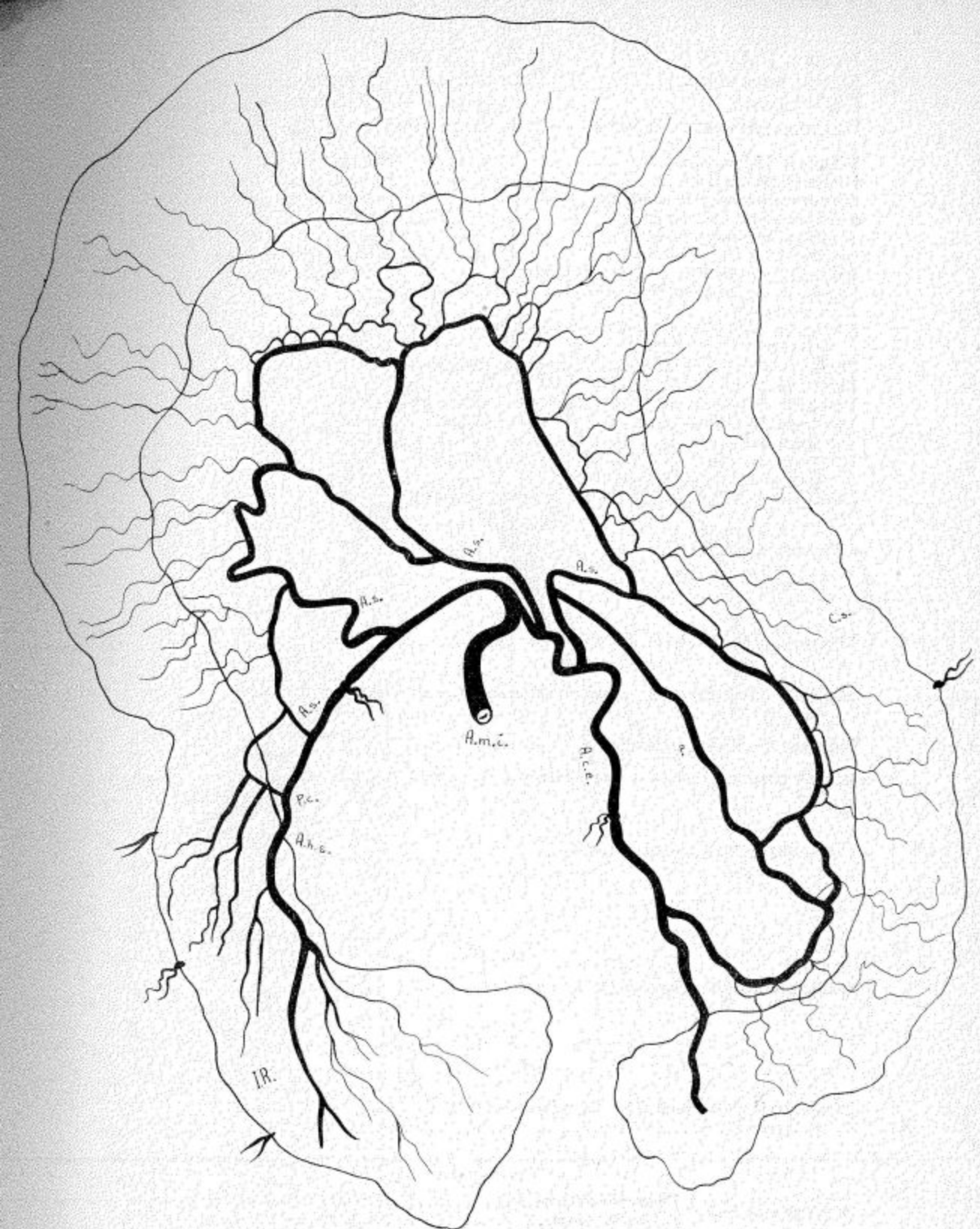


FIG. 43

OBSERVAÇÃO N.º 44

NOME: J. L. F.

SEXO: masculino.

COR: branca.

NACIONALIDADE: brasileira.

IDADE: 29 anos.

PROCEDÊNCIA: Departamento de Anatomia Patológica da Faculdade de Medicina da Universidade de São Paulo.

Distância bi-ílio cristal.....	26,9 cm.
Distância xifo-pública.....	30,5 cm.
Comprimento do colo sigmóide.....	34,5 cm.
Mobilidade do colo sigmóide.....	móvel.
Altura do meso-sigmóideo.....	3,0 cm.
Origem da A. m. i. na aorta.....	ântero-lateral esquerdo.
Projeção vertebral da origem da A. m. i.....	terço médio de L ₃ .
Distância do ponto crítico suposto ao plano do promontório.....	+ 1,2 cm.
Distância do nível real do ponto crítico ao nível suposto.....	+ 5,4 cm.
Distância do nível (x) à origem da última A. sigmóidea.....	ao nível de A.s. ₄ .
Distância do nível (x) à divisão da A. h. s.....	8,7 cm.
Distância da origem da A. m. i. à origem da A. c. e.....	1,9 cm.
Distância da origem da A. m. i. ao ponto crítico.....	10,6 cm.
Distância da origem da A. m. i. à divisão da A. h. s.....	12,6 cm.
Distância da origem da última A. sigmóidea ou tronco das sigmóideas à divisão da A. h. s.....	3,1 cm.
Distância da última A. sigmóidea ao ponto crítico.....	1,1 cm.
Colaterais da A. m. i.....	<div style="display: flex; align-items: center;"> Tr.c.s. → A.c.e. (A.s.₁) + A.s.₂ <div style="border-left: 1px solid black; margin-right: 10px;"></div> A.s.₃ <div style="border-left: 1px solid black; margin-right: 10px;"></div> A.s.₄ <div style="border-left: 1px solid black; margin-right: 10px;"></div> A.s.₅ <div style="border-left: 1px solid black; margin-right: 10px;"></div> A.s.₆ </div>
Distância entre a origem das colaterais da A. m. i.....	<div style="display: flex; align-items: center;"> Tr.s.c. - A.s.₃ — 1,0 cm. <div style="border-left: 1px solid black; margin-right: 10px;"></div> A.s.₃ - A.s.₄ — 1,1 cm. <div style="border-left: 1px solid black; margin-right: 10px;"></div> A.s.₄ - A.s.₅ — 3,6 cm. <div style="border-left: 1px solid black; margin-right: 10px;"></div> A.s.₅ - A.s.₆ — 2,1 cm. </div>
Modo de terminação das colaterais da A. m. i. e da A. h. s.....	<div style="display: flex; align-items: center;"> formando arcadas. <div style="border-left: 1px solid black; margin-right: 10px;"></div> 2 isoladas. </div>
Número de arcadas arteriais.....	<div style="display: flex; align-items: center;"> 7 primárias, <div style="border-left: 1px solid black; margin-right: 10px;"></div> várias secundárias. </div>
Arcada entre a primeira A. sigmóidea e a A. c. e....	prejudicado.
Comprimento das arcadas primárias.....	<div style="display: flex; align-items: center;"> A.c.e. - A.s.₁ — prejudicado. <div style="border-left: 1px solid black; margin-right: 10px;"></div> A.s.₁ - A.s.₂ — 9,8 cm. <div style="border-left: 1px solid black; margin-right: 10px;"></div> A.s.₂ - A.s.₃ — 6,4 cm. <div style="border-left: 1px solid black; margin-right: 10px;"></div> A.s.₃ - A.s.₄ — 3,3 cm. <div style="border-left: 1px solid black; margin-right: 10px;"></div> A.s.₄ - A.s.₅ — 3,0 cm. <div style="border-left: 1px solid black; margin-right: 10px;"></div> A.s.₅ - A.s.₆ — 3,0 cm. <div style="border-left: 1px solid black; margin-right: 10px;"></div> A.s.₆ - P.c. — 1,3 cm. </div>
Comprimento das colaterais da A. m. i.....	<div style="display: flex; align-items: center;"> A.c.e. — prejudicado. <div style="border-left: 1px solid black; margin-right: 10px;"></div> A.s.₁ — 2,9 cm. <div style="border-left: 1px solid black; margin-right: 10px;"></div> A.s.₂ — 3,8 cm. <div style="border-left: 1px solid black; margin-right: 10px;"></div> A.s.₃ — 3,2 cm. <div style="border-left: 1px solid black; margin-right: 10px;"></div> A.s.₄ — 2,8 cm. <div style="border-left: 1px solid black; margin-right: 10px;"></div> A.s.₅ — 0,8 cm. <div style="border-left: 1px solid black; margin-right: 10px;"></div> A.s.₆ — 0,2 cm. </div>
Distância do ponto de divisão das colaterais da A. m. i. ao intestino	<div style="display: flex; align-items: center;"> A.c.e. — prejudicado. <div style="border-left: 1px solid black; margin-right: 10px;"></div> A.s.₁ — 2,2 cm. <div style="border-left: 1px solid black; margin-right: 10px;"></div> A.s.₂ — 3,3 cm. <div style="border-left: 1px solid black; margin-right: 10px;"></div> A.s.₃ — 2,7 cm. <div style="border-left: 1px solid black; margin-right: 10px;"></div> A.s.₄ — 2,8 cm. <div style="border-left: 1px solid black; margin-right: 10px;"></div> A.s.₅ — 1,4 cm. <div style="border-left: 1px solid black; margin-right: 10px;"></div> A.s.₆ — 0,8 cm. <div style="border-left: 1px solid black; margin-right: 10px;"></div> 0,10 cm. <div style="border-left: 1px solid black; margin-right: 10px;"></div> na A. h. s. <div style="border-left: 1px solid black; margin-right: 10px;"></div> na metade cranial. </div>
A. sigmóidea ima { Diâmetro externo	
	{ Desembocadura
Situação do ponto crítico em relação ao S. r. s....	3 provenientes da A. s. i., distribuem-se à metade cranial.
Origem e distrib. das Aa. r. s.	<div style="display: flex; align-items: center;"> 5 provenientes da arcada A.s.₅ - A.s.₆ distribuem-se à metade cranial. <div style="border-left: 1px solid black; margin-right: 10px;"></div> 2 provenientes da A. h. s. distribuem-se à metade caudal. </div>
Divisão da A. h. s. em relação ao S. r. s.....	trifurca-se na metade caudal.

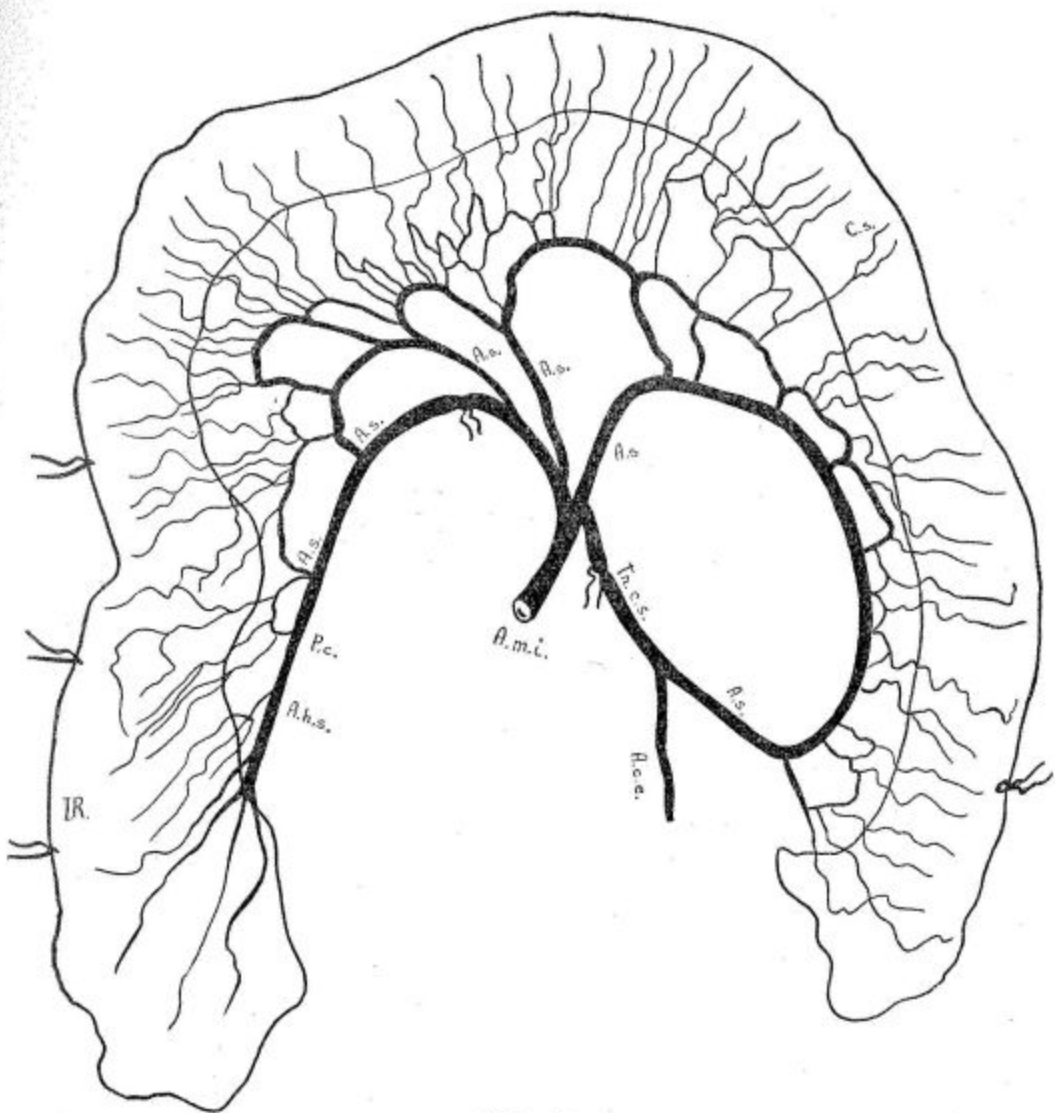


FIG. 44

OBSERVAÇÃO N.º 45

NOME: A. A. S.

SEXO: masculino.

COR: parda.

NACIONALIDADE: brasileira.

IDADE: 18 anos.

PROCEDÊNCIA: Departam. de Anatomia Patológica da Faculdade de Medicina da Universidade de São Paulo.

Distância bi-ílio cristal.....	25,3 cm.
Distância xifo-pública.....	34,0 cm.
Comprimento do colo sigmóide.....	52,1 cm.
Mobilidade do colo sigmóide.....	móvel.
Altura do meso-sigmóideo.....	9,0 cm.
Origem da A. m. i. na aorta.....	ântero-lateral esquerda.
Projeção vertebral da origem da A. m. i.....	disco entre L ₃ e L ₄ .
Distância do ponto crítico suposto ao plano do promontório.....	— 1,4 cm.
Distância do nível real do ponto crítico ao nível suposto.....	+ 2,4 cm.
Distância do nível (x) à origem da última A. sigmóidea.....	prejudicado.
Distância do nível (x) à divisão da A. h. s.....	prejudicado.
Distância da origem da A. m. i. à origem da A. c. e.....	1,7 cm.
Distância da origem da A. m. i. ao ponto crítico.....	9,6 cm.
Distância da origem da A. m. i. à divisão da A. h. s.....	10,8 cm.
Distância da origem da última A. sigmóidea ou tronco das sigmóideas à divisão da A. h. s.....	3,6 cm.
Distância da última A. sigmóidea ao ponto crítico	2,5 cm.
Colaterais da A. m. i.....	$\left\{ \begin{array}{l} \text{A.c.e. } (r_1 \ . \ r_2 \ . \ r_3). \\ \text{A.s.}_1 \\ \text{A.s.}_2 \\ \text{A.s.}_3 \end{array} \right.$
Distância entre a origem das colaterais da A. m. i.	$\left\{ \begin{array}{l} \text{A.c.e.} - \text{A.s.}_1 = 0. \\ \text{A.s.}_1 - \text{A.s.}_2 = 0,9 \text{ cm}. \\ \text{A.s.}_2 - \text{A.s.}_3 = 4,6 \text{ cm}. \end{array} \right.$
Modo de terminação das colaterais da A. m. i. e da A. h. s.....	$\left\{ \begin{array}{l} \text{formando arcadas.} \\ 2 \text{ isoladas.} \end{array} \right.$
Número de arcadas arteriais.....	$\left\{ \begin{array}{l} 7 \text{ primárias.} \\ \text{várias secundárias bem desenvolvidas.} \\ \text{terciárias.} \end{array} \right.$
Arcada entre a primeira A. sigmóidea e a A. c. e... ..	+ com r ₁ . r ₂ . r ₃ intercalados.
Comprimento das arcadas primárias.....	$\left\{ \begin{array}{l} \text{A.c.e.} - r_1 = 3,7 \text{ cm}. \\ r_1 - r_2 = 4,6 \text{ cm}. \\ r_2 - r_3 = 6,9 \text{ cm}. \\ r_3 - \text{A.s.}_1 = 14,3 \text{ cm}. \\ \text{A.s.}_1 - \text{A.s.}_2 = 9,3 \text{ cm}. \\ \text{A.s.}_2 - \text{A.s.}_3 = 4,4 \text{ cm}. \\ \text{A.s.}_3 - \text{P.c.} = 3,0 \text{ cm}. \end{array} \right.$
Comprimento das colaterais da A. m. i.....	$\left\{ \begin{array}{l} \text{A.c.e.} = 10,3 \text{ cm}. \\ r_1 = 3,0 \text{ cm}. \\ r_2 = 3,9 \text{ cm}. \\ r_3 = 2,0 \text{ cm}. \\ \text{A.s.}_1 = 1,6 \text{ cm}. \\ \text{A.s.}_2 = 2,5 \text{ cm}. \\ \text{A.s.}_3 = 0,6 \text{ cm}. \end{array} \right.$
Distância do ponto de divisão das colaterais da A. m. i. ao intestino.....	$\left\{ \begin{array}{l} \text{A.c.e.} = 1,8 \text{ cm}. \\ r_1 = 1,1 \text{ cm}. \\ r_2 = 2,3 \text{ cm}. \\ r_3 = 2,6 \text{ cm}. \\ \text{A.s.}_1 = 7,4 \text{ cm}. \\ \text{A.s.}_2 = 5,2 \text{ cm}. \\ \text{A.s.}_3 = 1,7 \text{ cm}. \end{array} \right.$
A. sigmóidea ima	$\left\{ \begin{array}{l} \text{Diâmetro externo.} \\ \text{Desembocadura.} \end{array} \right.$
Situação do ponto crítico em relação ao S. r. s....	0,15 cm. na A. h. s.
Origem e distrib. das Aa. r. s.	$\left\{ \begin{array}{l} 1 \text{ proveniente da A. s. i.} \\ 1 \text{ proveniente da A. h. s.} \end{array} \right\}$ distribuem-se à metade cranial
Divisão da A. h. s. em relação ao S. r. s.....	bifurca-se no limite cranial.

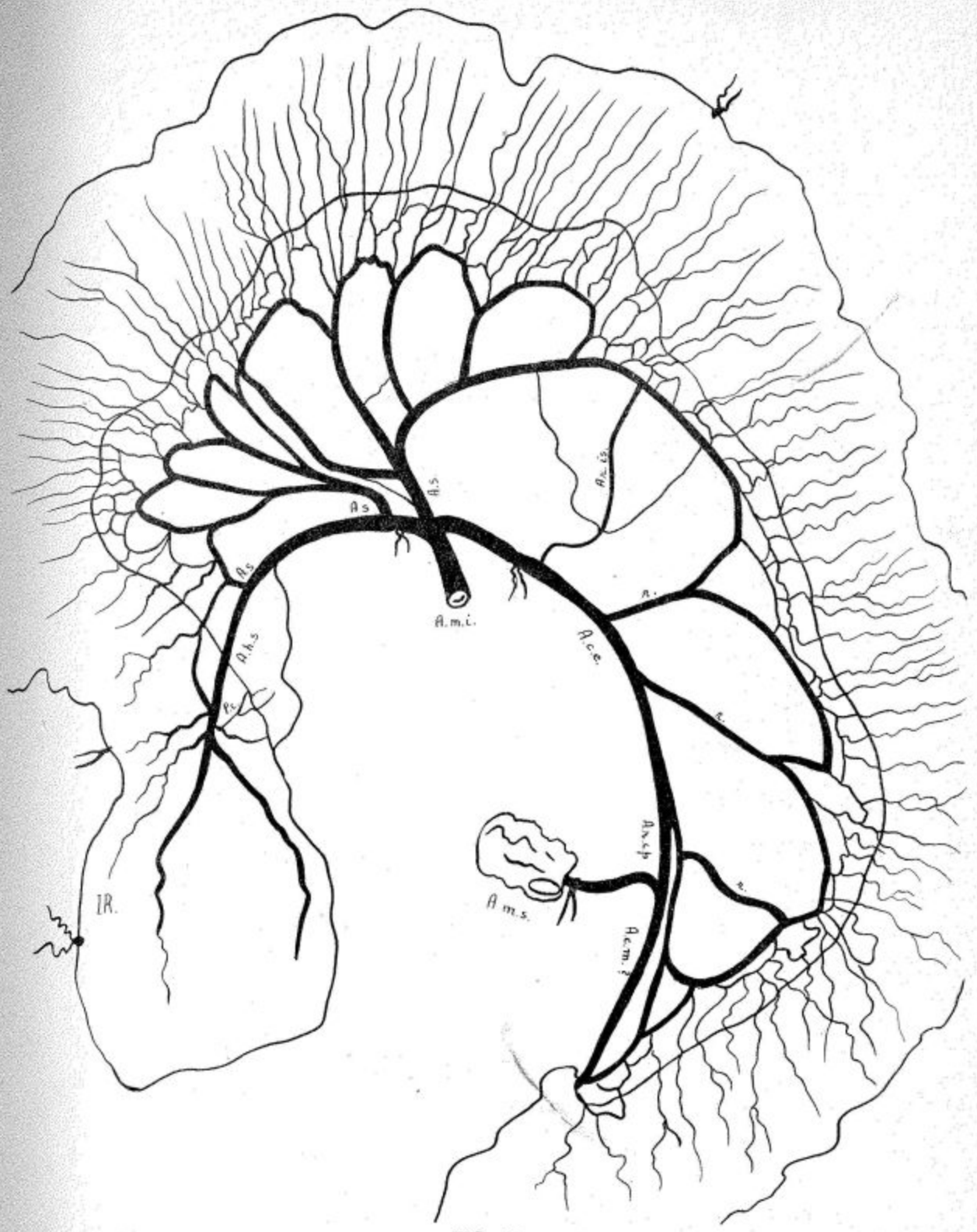


FIG. 45

O B S E R V A Ç Ã O N.º 46

NOME: L. O. H.

SEXO: feminino.

CÔR: preta.

NACIONALIDADE: brasileira.

IDADE: 33 anos.

PROCEDÊNCIA: Departam. de Anatomia Patológica da Faculdade de Medicina da Universidade de São Paulo.

Distância bi-ílio cristal.....	29,2 cm.
Distância xifo-púbica.....	38,8 cm.
Comprimento do colo sigmóide.....	33,0 cm.
Mobilidade do colo sigmóide.....	móvel.
Altura do meso-sigmóideo.....	1,0 cm.
Origem da A. m. i. na aorta.....	ântero-lateral esquerda.
Projeção vertebral da origem da A. m. i.....	terço cranial de L ₃ .
Distância do ponto crítico suposto ao plano do promontório.....	+ 1,19 cm.
Distância do nível real do ponto crítico ao nível suposto.....	+ 7,0 cm.
Distância do nível (x) à origem da última A. sigmóidea.....	entre A.s. ₂ e A.s. ₃ .
Distância do nível (x) à divisão da A. h. s.....	3,3 cm.
Distância da origem da A. m. i. à origem da A. c. e.....	2,6 cm.
Distância da origem da A. m. i. ao ponto crítico.....	13,5 cm.
Distância da origem da A. m. i. à divisão da A. h. s.....	14,4 cm.
Distância da origem da última A. sigmóidea ou tronco das sigmóideas à divisão da A. h. s.....	3,9 cm.
Distância da última A. sigmóidea ao ponto crítico	3,1 cm.
Colaterais da A. m. i.....	<div style="display: flex; align-items: center;"> Tr.c.s. → A.c.e. + A.s.₁ <div style="border-left: 1px solid black; height: 15px; margin-right: 10px;"></div> A.s.₂ <div style="border-left: 1px solid black; height: 15px; margin-right: 10px;"></div> A.s.₃ <div style="border-left: 1px solid black; height: 15px; margin-right: 10px;"></div> A.s.₄ </div>
Distância entre a origem das colaterais da A. m. i.....	<div style="display: flex; align-items: center;"> Tr.c.s. - A.s.₂ — 1,3 cm. <div style="border-left: 1px solid black; height: 15px; margin-right: 10px;"></div> A.s.₂ - A.s.₃ — 4,4 cm. <div style="border-left: 1px solid black; height: 15px; margin-right: 10px;"></div> A.s.₃ - A.s.₄ — 2,1 cm. </div>
Modo de terminação das colaterais da A. m. i. e da A. h. s.....	formando arcadas.
Número de arcadas arteriais.....	<div style="display: flex; align-items: center;"> 5 primárias. <div style="border-left: 1px solid black; height: 15px; margin-right: 10px;"></div> numerosas secundárias, algumas bem desenvolvidas. <div style="border-left: 1px solid black; height: 15px; margin-right: 10px;"></div> terciárias. </div>
Arcada entre a primeira A. sigmóidea e a A. c. e... ..	+
Comprimento das arcadas primárias.....	<div style="display: flex; align-items: center;"> A.c.e. - A.s.₁ — 10,6 cm. <div style="border-left: 1px solid black; height: 15px; margin-right: 10px;"></div> A.s.₁ - A.s.₂ — 9,5 cm. <div style="border-left: 1px solid black; height: 15px; margin-right: 10px;"></div> A.s.₂ - A.s.₃ — 5,3 cm. <div style="border-left: 1px solid black; height: 15px; margin-right: 10px;"></div> A.s.₃ - A.s.₄ — 3,2 cm. <div style="border-left: 1px solid black; height: 15px; margin-right: 10px;"></div> A.s.₄ - P.c. — 3,6 cm. </div>
Comprimento das colaterais da A. m. i.....	<div style="display: flex; align-items: center;"> A.c.e. — 5,4 cm. <div style="border-left: 1px solid black; height: 15px; margin-right: 10px;"></div> A.s.₁ — 3,8 cm. <div style="border-left: 1px solid black; height: 15px; margin-right: 10px;"></div> A.s.₂ — 2,4 cm. <div style="border-left: 1px solid black; height: 15px; margin-right: 10px;"></div> A.s.₃ — 0,9 cm. <div style="border-left: 1px solid black; height: 15px; margin-right: 10px;"></div> A.s.₄ — 1,1 cm. </div>
Distância do ponto de divisão das colaterais da A. m. i. ao intestino.....	<div style="display: flex; align-items: center;"> A.c.e. — 4,5 cm. <div style="border-left: 1px solid black; height: 15px; margin-right: 10px;"></div> A.s.₁ — 4,8 cm. <div style="border-left: 1px solid black; height: 15px; margin-right: 10px;"></div> A.s.₂ — 1,3 cm. <div style="border-left: 1px solid black; height: 15px; margin-right: 10px;"></div> A.s.₃ — 1,1 cm. <div style="border-left: 1px solid black; height: 15px; margin-right: 10px;"></div> A.s.₄ — 0,8 cm. </div>
A. sigmóidea ima {	0,10 cm.
Diâmetro externo.....	na A. h. s.
Desembocadura.....	na metade caudal.
Situação do ponto crítico em relação ao S. r. s....	
Origem e distrib. das Aa. r. s. {	2 provenientes da arcada A.s. ₃ - A.s. ₄ , distribuem-se à metade cranial.
	1 proveniente da A. s. i., distribue-se à metade caudal.
Divisão da A. h. s. em relação ao S. r. s.....	bifurca-se na metade caudal.

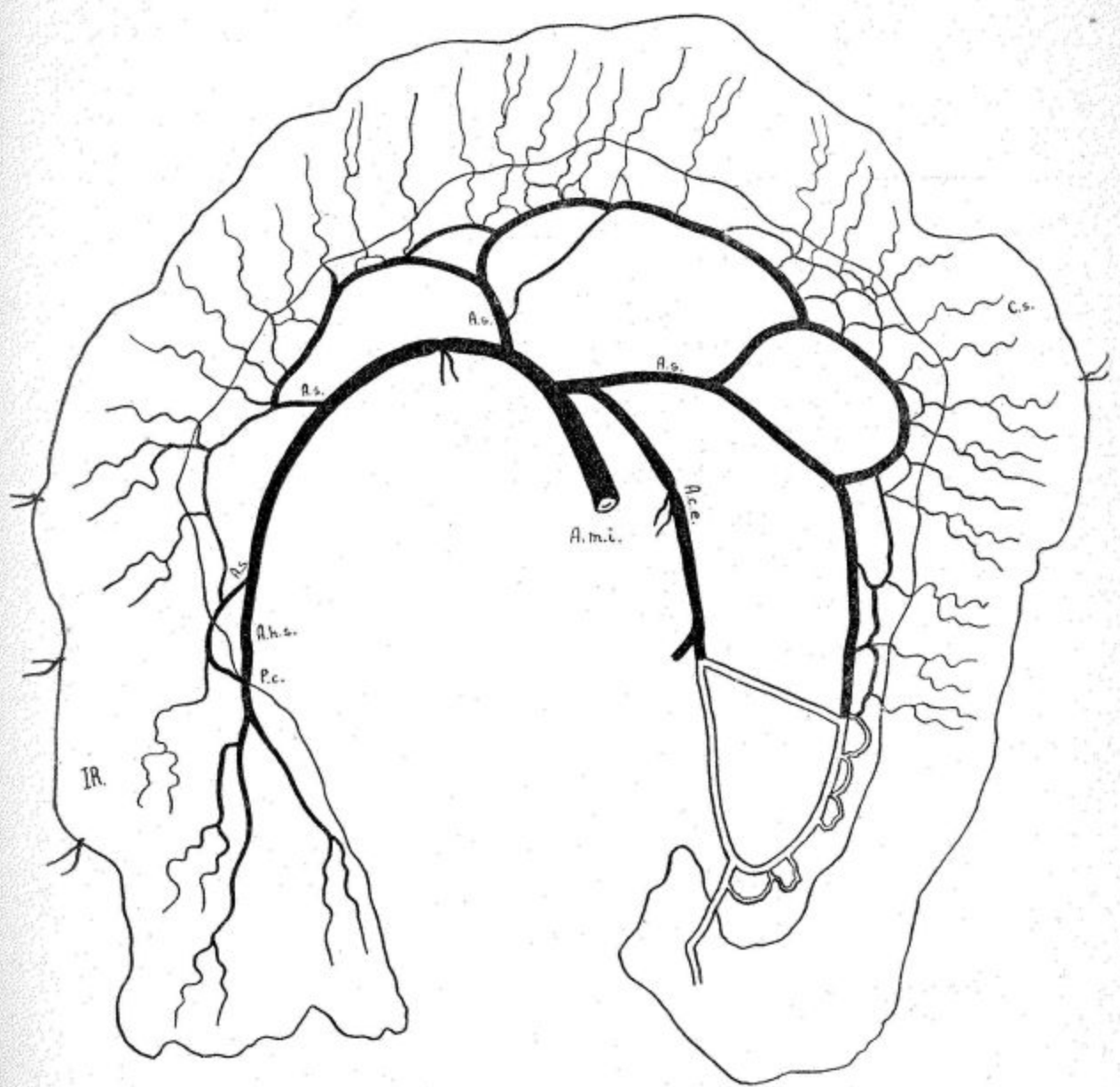


FIG. 46

OBSERVAÇÃO N.º 47

NOME: P. V. R.

SEXO: masculino.

COR: branca.

NACIONALIDADE: brasileira.

IDADE: 39 anos.

PROCEDÊNCIA: Departam. de Anatomia Patológica da Faculdade de Medicina da Universidade de São Paulo.

Distância bi-fílo cristal.....	25,0 cm.
Distância xifo-pública.....	37,2 cm.
Comprimento do colo sigmóide.....	43,2 cm.
Mobilidade do colo sigmóide.....	móvel.
Altura do meso-sigmóideo.....	2,5 cm.
Origem da A. m. i. na aorta.....	ântero-lateral esquerda.
Projeção vertebral da origem da A. m. i.....	disco entre L ₂ e L ₃ .
Distância do ponto crítico suposto ao plano do promontório.....	0.
Distância do nível real do ponto crítico ao nível suposto.....	0.
Distância do nível (x) à origem da última A. sigmóidea.....	4,5 cm.
Distância do nível (x) à divisão da A. h. s.....	5,2 cm.
Distância da origem da A. m. i. à origem da A. c. e.....	2,5 cm.
Distância da origem da A. m. i. ao ponto crítico.....	9,8 cm.
Distância da origem da A. m. i. à divisão da A. h. s.....	12,5 cm.
Distância da origem da última A. sigmóidea ou tronco das sigmóideas à divisão da A. h. s.....	9,5 cm.
Distância da última A. sigmóidea ao ponto crítico.....	7,5 cm.
Colaterais da A. m. i.....	{ Tr.c.s. → A.c.e. + A.s. ₁ Tr.s. → (A.s. ₄) Tr. A.s. ₂ + A.s. ₃
Distância entre a origem das colaterais da A. m. i.....	Tr.c.s. - Tr.s. = 0,1 cm.
Modo de terminação das colaterais da A. m. i. e da A. h. s.....	formando arcadas.
Número de arcadas arteriais.....	{ 5 primárias. numerosas secundárias.
Arcada entre a primeira A. sigmóidea e a A. c. e.....	+
Comprimento das arcadas primárias.....	{ A.c.e. - A.s. ₁ = 12,0 cm. A.s. ₁ - A.s. ₂ = 6,7 cm. A.s. ₂ - A.s. ₃ = 3,9 cm. A.s. ₃ - A.s. ₄ = 2,3 cm. A.s. ₄ - P.c. = 7,2 cm.
Comprimento das colaterais da A. m. i.....	{ A.c.e. = 10,0 cm. A.s. ₁ = 6,4 cm. A.s. ₂ = 2,6 cm. A.s. ₃ = 2,4 cm. A.s. ₄ = 2,9 cm.
Distância do ponto de divisão das colaterais da A. m. i. ao intestino.....	{ A.c.e. = 1,4 cm. A.s. ₁ = 2,5 cm. A.s. ₂ = 2,9 cm. A.s. ₃ = 3,8 cm. A.s. ₄ = 1,5 cm.
A. sigmóidea ima { Diâmetro externo.....	0,25 cm.
Situação do ponto crítico em relação ao S. r. s.....	na A. h. s.
Origem e distrib. das Aa. r. s. { 2 provenientes de A. s. i.....	na metade cranial.
Divisão da A. h. s. em relação ao S. r. s.....	1 distribue-se à metade cranial 1 distribue-se à metade caudal bifurca-se no limite cranial do I. R.

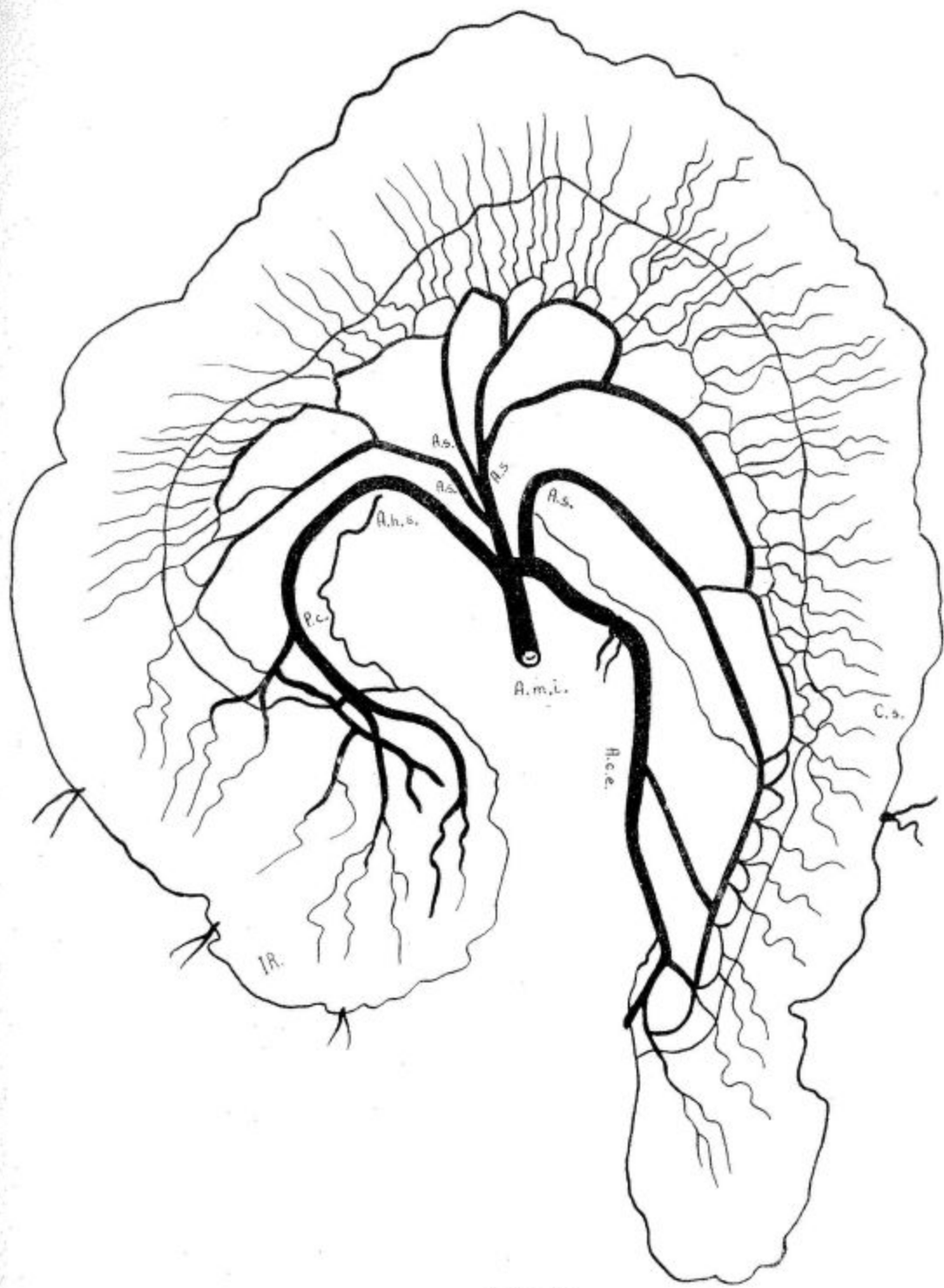


FIG. 47

OBSERVAÇÃO N.º 48

NOME: J. B.

SEXO: masculino.

COR: branca.

NACIONALIDADE: austriaca.

IDADE: 70 anos.

PROCEDÊNCIA: Departam. de Anatomia Patológica da Faculdade de Medicina da Universidade de São Paulo.

Distância bi-ílio cristal.....	31,4 cm.
Distância xifo-púbica.....	31,4 cm.
Comprimento do colo sigmóide.....	59,8 cm.
Mobilidade do colo sigmóide.....	proximal fixa; distal móvel.
Altura do meso-sigmóideo.....	6,8 cm.
Origem da A. m. i. na aorta.....	ântero-lateral esquerda.
Projeção vertebral da origem da A. m. i.....	terço cranial de L ₂ .
Distância do ponto crítico suposto ao plano do promontório.....	— 1,4 cm.
Distância do nível real do ponto crítico ao nível suposto.....	+ 0,9 cm.
Distância do nível (x) à origem da última A. sigmóidea.....	entre Tr.s. e A.s. ₅ .
Distância do nível (x) à divisão da A. h. s.....	11,5 cm.
Distância da origem da A. m. i. à origem da A. c. e.....	4,7 cm.
Distância da origem da A. m. i. ao ponto crítico.....	12,7 cm.
Distância da origem da A. m. i. à divisão da A. h. s.....	11,9 cm.
Distância da origem da última A. sigmóidea ou tronco das sigmóideas à divisão da A. h. s.....	12,4 cm.
Distância da última A. sigmóidea ao ponto crítico.....	6,9 cm.
Colaterais da A. m. i.....	$\left\{ \begin{array}{l} \text{Tr.c.s.} \rightarrow \text{A.c.e. (A.s.}_1\text{)} + \text{Tr.s.} \rightarrow (\text{A.s.}_2\text{)} \text{ A.s.}_3 + \text{A.s.}_4 \\ \text{A.s.}_5 \end{array} \right.$
Distância entre a origem das colaterais da A. m. i.....	Tr.c.s. - A.s. ₅ — 7,3 cm.
Modo de terminação das colaterais da A. m. i. e da A. h. s.....	formando arcadas.
Número de arcadas arteriais.....	$\left\{ \begin{array}{l} 4 \text{ primárias,} \\ \text{numerosas secundárias,} \\ + \end{array} \right.$
Arcada entre a primeira A. sigmóidea e a A. c. e.....	
Comprimento das arcadas primárias.....	$\left\{ \begin{array}{l} \text{A.c.e. - A.s.}_1 \text{ — prejudicado,} \\ \text{A.s.}_1 \text{ - A.s.}_2 \text{ — 8,3 cm,} \\ \text{A.s.}_2 \text{ - A.s.}_3 \text{ — 11,3 cm,} \\ \text{A.s.}_3 \text{ - A.s.}_4 \text{ — 5,8 cm,} \\ \text{A.s.}_4 \text{ - A.s.}_5 \text{ — 2,6 cm,} \\ \text{A.c.e. — prejudicado,} \\ \text{A.s.}_1 \text{ — 1,9 cm,} \\ \text{A.s.}_2 \text{ — 9,3 cm,} \\ \text{A.s.}_3 \text{ — 5,0 cm,} \\ \text{A.s.}_4 \text{ — 3,0 cm,} \\ \text{A.s.}_5 \text{ — 0,4 cm,} \\ \text{A.c.e. — prejudicado,} \\ \text{A.s.}_1 \text{ — 1,6 cm,} \\ \text{A.s.}_2 \text{ — 1,2 cm,} \\ \text{A.s.}_3 \text{ — 4,3 cm,} \\ \text{A.s.}_4 \text{ — 2,0 cm,} \\ \text{A.s.}_5 \text{ — 2,3 cm.} \end{array} \right.$
Comprimento das colaterais da A. m. i.....	
Distância do ponto de divisão das colaterais da A. m. i. ao intestino	
A. sigmóidea ima $\left\{ \begin{array}{l} \text{Diâmetro externo.....} \\ \text{Desembocadura.....} \end{array} \right.$	
Situação do ponto crítico em relação ao S. r. s.....	acima do limite cranial.
Origem e distrib. das Aa. r. s.....	$\left\{ \begin{array}{l} 1 \text{ constituída pelo ramo distal de bifurcação de A.s.}_5, \\ \text{distribuindo-se a todo o S. r. s.} \\ 2 \text{ provenientes de uma arcada secundária entre A.s.}_5 \\ \text{e seu ramo distal, distribuem-se à metade cranial.} \\ \text{bifurca-se no limite cranial do I. R.} \end{array} \right.$
Divisão da A. h. s. em relação ao S. r. s.....	

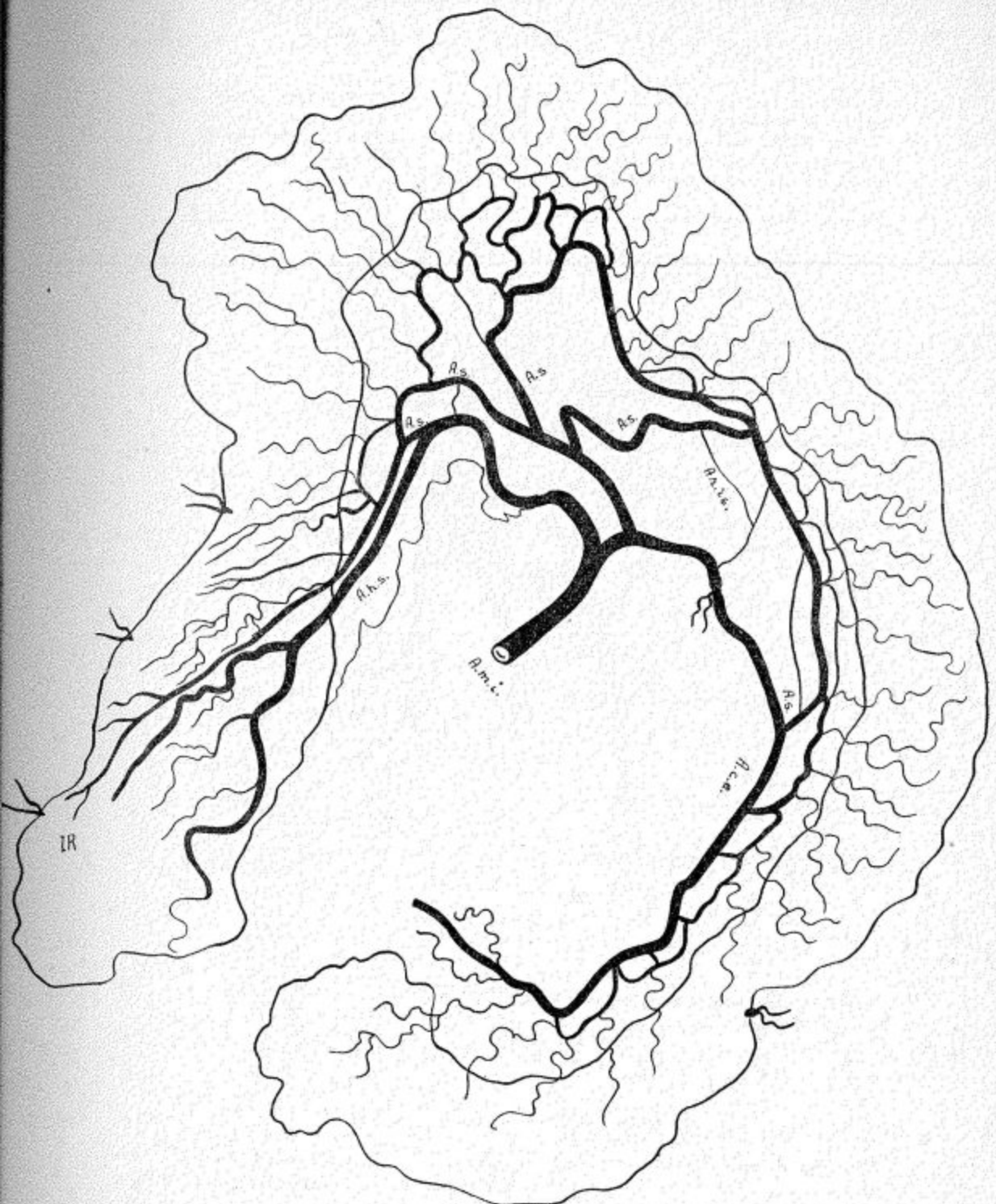


FIG. 48

OBSERVAÇÃO N.º 49

NOME: J. T. S.

SEXO: masculino.

COR: branca.

NACIONALIDADE: brasileira.

IDADE: 34 anos.

PROCEDÊNCIA: Departam. de Anatomia Patológica da Faculdade de Medicina da Universidade de São Paulo.

Distância bi-ílio cristal.....	26,4 cm.
Distância xifo-pública.....	31,1 cm.
Comprimento do colo sigmóide.....	52,5 cm.
Mobilidade do colo sigmóide.....	proximal fixa; distal móvel.
Altura do meso-sigmóideo.....	4,5 cm.
Origem da A. m. i. na aorta.....	anterior, linha média.
Projeção vertebral da origem da A. m. i.....	disco entre L ₂ - L ₃ .
Distância do ponto crítico suposto ao plano do promontório.....	0.
Distância do nível real do ponto crítico ao nível suposto.....	0.
Distância do nível (x) à origem da última A. sigmóidea.....	entre A.s. ₅ - A.s. ₆ .
Distância do nível (x) à divisão da A. h. s.....	6,8 cm.
Distância da origem da A. m. i. à origem da A. c. e.....	3,4 cm.
Distância da origem da A. m. i. ao ponto crítico.....	9,5 cm.
Distância da origem da A. m. i. à divisão da A. h. s.....	13,0 cm.
Distância da origem da última A. sigmóidea ou tronco das sigmóideas à divisão da A. h. s.....	6,0 cm.
Distância da última A. sigmóidea ao ponto crítico.....	2,5 cm.
Colaterais da A. m. i.....	$\left\{ \begin{array}{l} \text{Tr.c.s.} \rightarrow \text{A.c.e. (A.s.}_1 \text{, A.s.}_2 \text{, A.s.}_3 \text{, A.s.}_4 \text{, A.s.}_5\text{)} \\ \text{A.s.}_6 \\ \text{A.s.}_7 \end{array} \right.$
Distância entre a origem das colaterais da A. m. i.....	$\left\{ \begin{array}{l} \text{Tr.c.s. - A.s.}_6 = 0,6 \text{ cm.} \\ \text{A.s.}_6 - \text{A.s.}_7 = 2,6 \text{ cm.} \end{array} \right.$
Modo de terminação das colaterais da A. m. i. e da A. h. s.....	$\left\{ \begin{array}{l} \text{formando arcadas.} \\ \text{2 isoladas.} \end{array} \right.$
Número de arcadas arteriais.....	$\left\{ \begin{array}{l} 7 \text{ primárias.} \\ \text{numerosas secundárias.} \end{array} \right.$
Arcada entre a primeira A. sigmóidea e a A. c. e.....	+
Comprimento das arcadas primárias.....	$\left\{ \begin{array}{l} \text{A.c.e. - A.s.}_1 = 4,5 \text{ cm.} \\ \text{A.s.}_1 - \text{A.s.}_2 = 2,5 \text{ cm.} \\ \text{A.s.}_2 - \text{A.s.}_3 = 2,7 \text{ cm.} \\ \text{A.s.}_3 - \text{A.s.}_4 = 6,0 \text{ cm.} \\ \text{A.s.}_4 - \text{A.s.}_5 = 5,4 \text{ cm.} \\ \text{A.s.}_5 - \text{A.s.}_6 = 4,8 \text{ cm.} \\ \text{A.s.}_6 - \text{A.s.}_7 = 3,2 \text{ cm.} \\ \text{A.s.}_7 - \text{P.c.} = 3,0 \text{ cm.} \end{array} \right.$
Comprimento das colaterais da A. m. i.....	$\left\{ \begin{array}{l} \text{A.c.e. — prejudicado.} \\ \text{A.s.}_1 = 1,8 \text{ cm.} \\ \text{A.s.}_2 = 2,2 \text{ cm.} \\ \text{A.s.}_3 = 2,9 \text{ cm.} \\ \text{A.s.}_4 = 3,0 \text{ cm.} \\ \text{A.s.}_5 = 3,4 \text{ cm.} \\ \text{A.s.}_6 = 2,3 \text{ cm.} \\ \text{A.s.}_7 = 1,3 \text{ cm.} \end{array} \right.$
Distância do ponto de divisão das colaterais da A. m. i. ao intestino.....	$\left\{ \begin{array}{l} \text{A.c.e. — prejudicado.} \\ \text{A.s.}_1 = 1,5 \text{ cm.} \\ \text{A.s.}_2 = 1,3 \text{ cm.} \\ \text{A.s.}_3 = 3,0 \text{ cm.} \\ \text{A.s.}_4 = 3,2 \text{ cm.} \\ \text{A.s.}_5 = 2,2 \text{ cm.} \\ \text{A.s.}_6 = 1,9 \text{ cm.} \\ \text{A.s.}_7 = 1,7 \text{ cm.} \end{array} \right.$
A. sigmóidea ima	$\left\{ \begin{array}{l} \text{Diâmetro externo} \\ \text{Desembocadura} \end{array} \right.$
	0,20 cm.
	na A. h. s.
Situação do ponto crítico em relação ao S. r. s.....	no limite cranial.
Origem e distrib. das Aa. r. s..	$\left\{ \begin{array}{l} 4 \text{ provenientes da A. s. i., distribuem-se à metade cranial.} \\ 2 \text{ provenientes da A. h. s., distribuem-se à metade caudal.} \end{array} \right.$
Divisão da A. h. s. em relação ao S. r. s.....	bifurca-se no limite cranial do I. R.



FIG. 49

OBSERVAÇÃO N.º 50

NOME: J. F. IDADE: 38 anos.
 SEXO: masculino. PROCEDÊNCIA: Departam. de Anatomia
 CÔR: branca. Patológica da Faculdade de Medicina
 NACIONALIDADE: brasileira. da Universidade de São Paulo.

Distância bi-ílio cristal.....	26,9 cm.
Distância xifo-pública.....	36,8 cm.
Comprimento do colo sigmóide.....	36,5 cm.
Mobilidade do colo sigmóide.....	móvel.
Altura do meso-sigmóideo.....	8,5 cm.
Origem da A. m. i. na aorta.....	ântero-lateral esquerda.
Projeção vertebral da origem da A. m. i.....	térço caudal de L ₃ .
Distância do ponto crítico suposto ao plano do promontório.....	0.
Distância do nível real do ponto crítico ao nível suposto.....	0.
Distância do nível (x) à origem da última A. sigmóidea.....	4,8 cm.
Distância do nível (x) à divisão da A. h. s.....	3,3 cm.
Distância da origem da A. m. i. à origem da A. c. e.....	2,6 cm.
Distância da origem da A. m. i. ao ponto crítico.....	8,8 cm.
Distância da origem da A. m. i. à divisão da A. h. s.....	12,2 cm.
Distância da origem da última A. sigmóidea ou tronco das sigmóideas à divisão da A. h. s.....	7,9 cm.
Distância da última A. sigmóidea ao ponto crítico	4,8 cm.
Colaterais da A. m. i.....	{ A.c.e. Tr.s. → A.s. ₁ + A.s. ₂
Distância entre a origem das colaterais da A. m. i.....	A.c.e. - Tr.s. — 1,6 cm.
Modo de terminação das colaterais da A. m. i. e da A. h. s.....	formando arcadas.
Número de arcadas arteriais.....	{ 3 primárias. várias secundárias.
Arcada entre a primeira A. sigmóidea e a A. c. e... ..	+
Comprimento das arcadas primárias.....	{ A.c.e. - A.s. ₁ — 11,5 cm. A.s. ₁ - A.s. ₂ — 12,0 cm. A.s. ₂ - P.c. — 3,8 cm.
Comprimento das colaterais da A. m. i.....	{ A.c.e. — 6,5 cm. A.s. ₁ — 4,6 cm. A.s. ₂ — 3,7 cm.
Distância do ponto de divisão das colaterais da A. m. i. ao intestino.....	{ A.c.e. — 2,9 cm. A.s. ₁ — 3,4 cm. A.s. ₂ — 2,5 cm.
A. sigmóidea ima { Diâmetro externo	0,30 cm.
	na A. h. s.
Situação do ponto crítico em relação ao S. r. s.....	acima do limite cranial.
Origem e distrib. das Aa. r. s. 1 proveniente da A. s. i., distribue-se à metade cranial.	
Divisão da A. h. s. em relação ao S. r. s.....	bifurca-se no limite cranial.

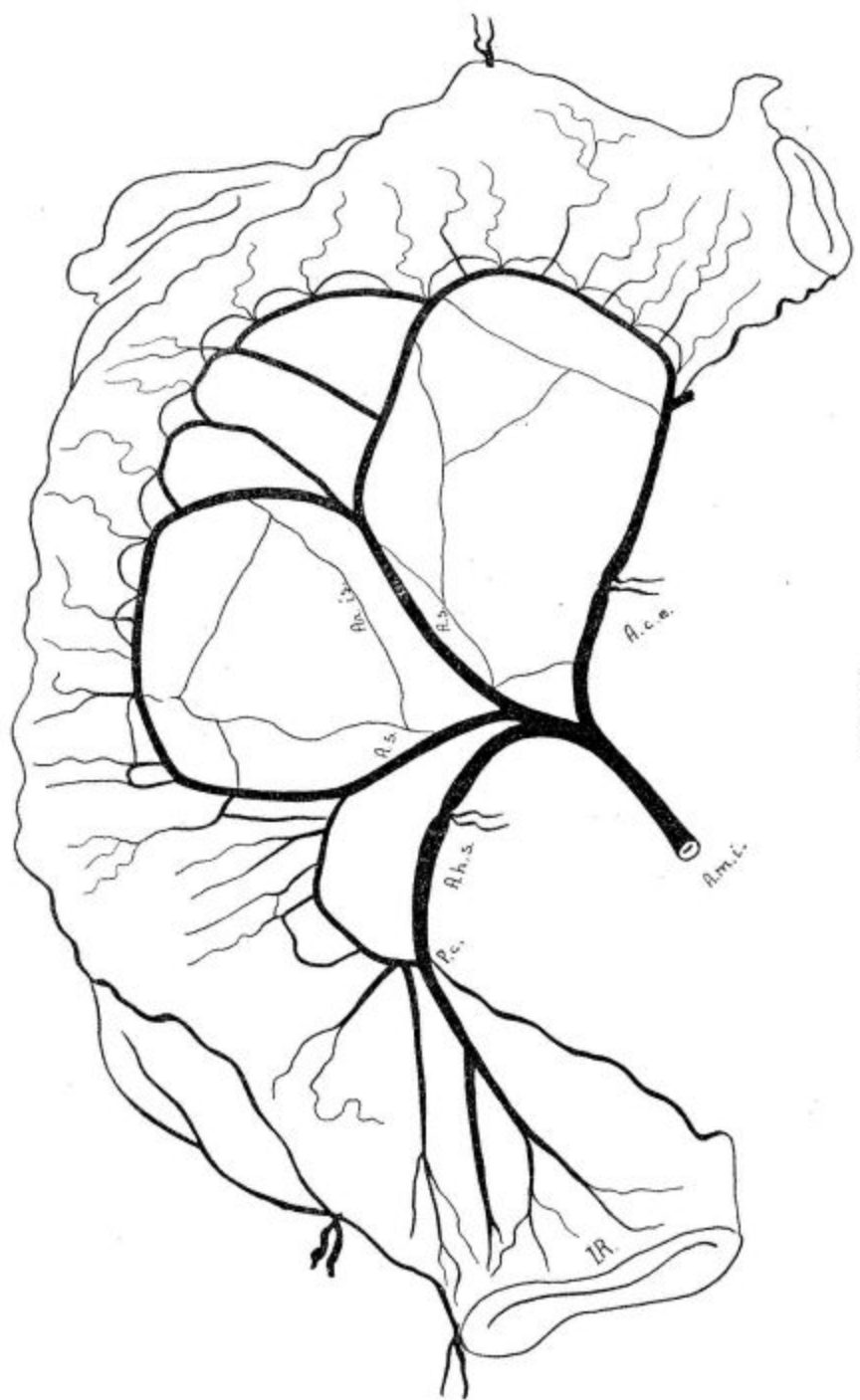


FIG. 50

OBSERVAÇÃO N.º 51

NOME: C. S.	IDADE: 27 anos.
SEXO: masculino.	PROCEDÊNCIA: Departam. de Anatomia
COR: parda.	Patológica da Faculdade de Medicina
NACIONALIDADE: brasileira.	da Universidade de São Paulo.
Distância bi-ílio cristal.....	26,7 cm.
Distância xifo-púbica.....	40,6 cm.
Comprimento do colo sigmóide.....	43,6 cm.
Mobilidade do colo sigmóide.....	proximal fixo; distal móvel. 5,5 cm.
Altura do meso-sigmóideo.....	ântero-lateral esquerda.
Origem da A. m. i. na aorta.....	terço caudal de L ₂ .
Projeção vertebral da origem da A. m. i.....	
Distância do ponto crítico suposto ao plano do promontório.....	+ 1,5 cm.
Distância do nível real do ponto crítico ao nível suposto.....	+ 2,5 cm.
Distância do nível (x) à origem da última A. sigmóidea.....	1,3 cm.
Distância da origem da A. h. s. à divisão da A. c. e.....	3,7 cm.
Distância da origem da A. m. i. ao ponto crítico.....	1,0 cm.
Distância da origem da A. m. i. à divisão da A. h. s.....	8,5 cm.
Distância da origem da última A. sigmóidea ou tronco das sigmóideas à divisão da A. h. s.....	8,5 cm.
Distância da última A. sigmóidea ao ponto crítico.....	5,0 cm. 5,0 cm.
Colaterais da A. m. i.....	{ Tr.c.s. → A.c.e. + A.s. A.s. ₂ A.s. ₃
Distância entre a origem das colaterais da A. m. i.....	{ Tr.c.s. - A.s. ₂ — 1,3 cm. A.s. ₂ - A.s. ₃ — 1,2 cm.
Modo de terminação das colaterais da A. m. i. e da A. h. s.....	formando arcadas.
Número de arcadas arteriais.....	{ 4 primárias. várias secundárias.
Arcada entre a primeira A. sigmóidea e a A. c. e.....	+
Comprimento das arcadas primárias.....	{ A.c.e. - A.s. ₁ — 6,5 cm. A.s. ₁ - A.s. ₂ — 6,9 cm. A.s. ₂ - A.s. ₃ — 5,8 cm. A.s. ₃ - P.c. — 6,4 cm.
Comprimento das colaterais da A. m. i.....	{ A.c.e. — 0,6 cm. A.s. ₁ — 1,8 cm. A.s. ₂ — 1,9 cm. A.s. ₃ — 2,3 cm.
Distância do ponto de divisão das colaterais da A. m. i. ao intestino.....	{ A.c.e. — 4,9 cm. A.s. ₁ — 3,0 cm. A.s. ₂ — 1,6 cm. A.s. ₃ — 2,2 cm.
A. sigmóidea ima {	0,25 cm. na A. h. s.
Diâmetro externo.....	
Desembocadura.....	
Situação do ponto crítico em relação ao S. r. s.....	no limite cranial.
Origem e distrib. das Aa. r. s. 3 provenientes da A. s. i., distribuem-se à metade cranial.	
Divisão da A. h. s. em relação ao S. r. s.....	bifurca-se na metade cranial.

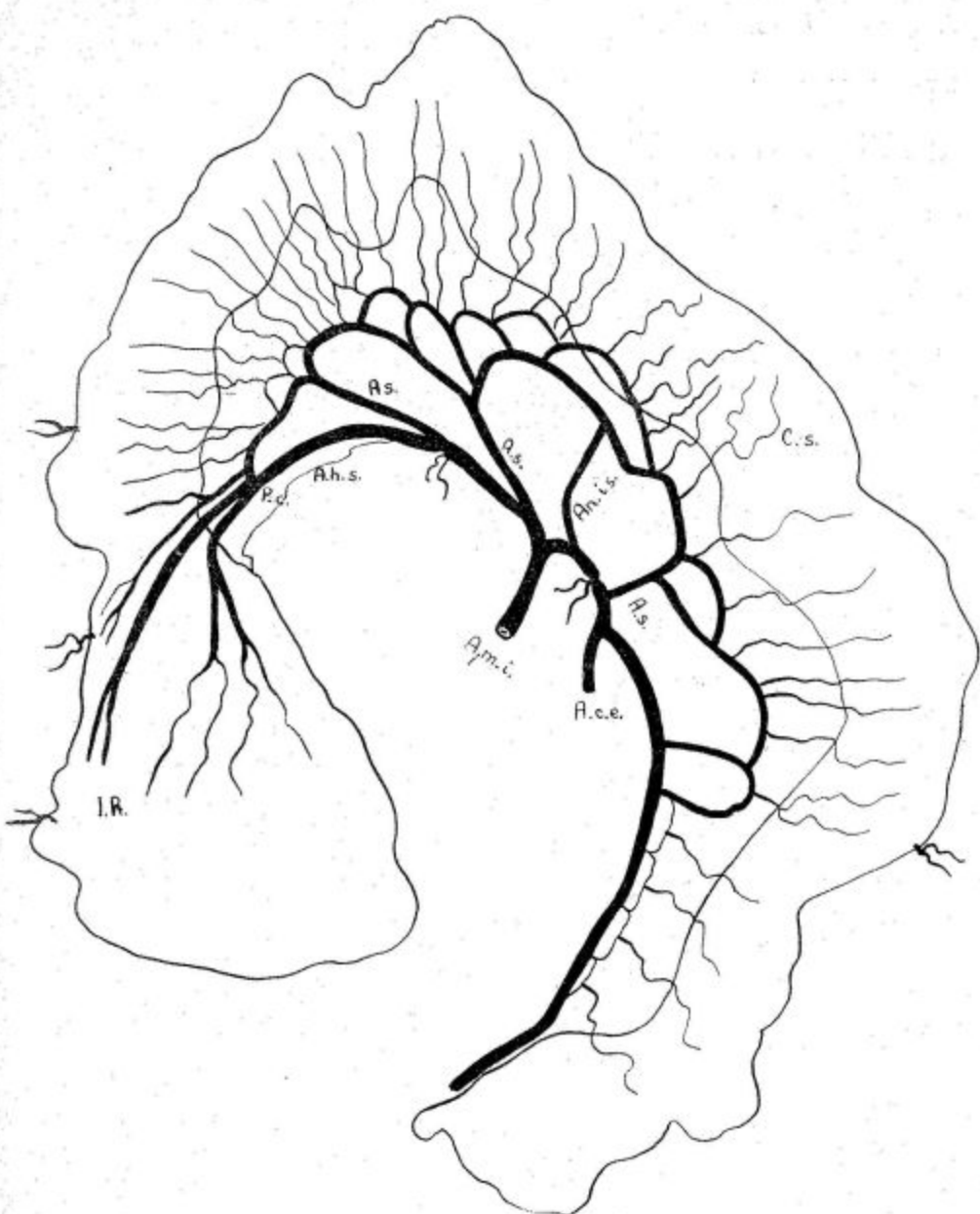


FIG. 51

O B S E R V A Ç Ã O N.º 52

NOME: C. E. P. IDADE: 20 anos.
 SEXO: masculino. PROCEDÊNCIA: Departam. de Anatomia
 CÔR: preta. Patológica da Faculdade de Medicina
 NACIONALIDADE: brasileira. da Universidade de São Paulo.

Distância bi-ílio cristal.....	28,1 cm.
Distância xifo-pública.....	38,1 cm.
Comprimento do colo sigmóide.....	39,0 cm.
Mobilidade do colo sigmóide.....	proximal fixo; distal móvel. 3,5 cm.
Altura do meso-sigmóideo.....	ântero-lateral esquerda.
Origem da A. m. i. na aorta.....	térço médio de L ₃ .
Projeção vertebral da origem da A. m. i.....	
Distância do ponto crítico suposto ao plano do promontório.....	— 0,8 cm.
Distância do nível real do ponto crítico ao nível suposto.....	prejudicado.
Distância do nível (x) à origem da última A. sigmóidea	prejudicado.
Distância do nível (x) à divisão da A. h. s.....	prejudicado.
Distância da origem da A. m. i. à origem da A. c. e.	2,2 cm.
Distância da origem da A. m. i. ao ponto crítico...	9,4 cm.
Distância da origem da A. m. i. à divisão da A. h. s.	prejudicado.
Distância da origem da última A. sigmóidea ou tronco das sigmóideas à divisão da A. h. s.....	prejudicado.
Distância da última A. sigmóidea ao ponto crítico..	4,9 cm.
Colaterais da A. m. i.....	<div style="display: flex; align-items: center;"> Tr.c.s. → A.c.e. (A.s.₁) Tr.s. → A.s.₂ + A.s.₃ Tr.s. → A.s.₄ + A.s.₅ </div>
Distância entre a origem das colaterais da A. m. i.	<div style="display: flex; align-items: center;"> Tr.c.s. — Tr.s. — 1,3 cm. Tr.s. — Tr.s. — 1,5 cm. </div>
Modo de terminação das colaterais da A. m. i. e da A. h. s.....	formando arcadas.
Número de arcadas arteriais.....	<div style="display: flex; align-items: center;"> 6 primárias. + numerosas secundárias. </div>
Arcada entre a primeira A. sigmóidea e a A. c. e...	+.
Comprimento das arcadas primárias.....	<div style="display: flex; align-items: center;"> A.c.e. — A.s.₁ — 9,6 cm. A.s.₁ — A.s.₂ — 8,7 cm. A.s.₂ — A.s.₃ — 5,3 cm. A.s.₃ — A.s.₄ — 4,5 cm. A.s.₄ — A.s.₅ — 4,5 cm. A.s.₅ — P.c. — 2,2 cm. </div>
Comprimento das colaterais da A. m. i.....	<div style="display: flex; align-items: center;"> A.c.e. — 5,9 cm. A.s.₁ — 1,5 cm. A.s.₂ — 3,6 cm. A.s.₃ — 3,5 cm. A.s.₄ — 0,8 cm. A.s.₅ — 2,3 cm. </div>
Distância do ponto de divisão das colaterais da A. m. i. ao intestino.....	<div style="display: flex; align-items: center;"> A.c.e. — 1,9 cm. A.s.₁ — 2,6 cm. A.s.₂ — 2,1 cm. A.s.₃ — 1,7 cm. A.s.₄ — 2,9 cm. A.s.₅ — 0,9 cm. </div>
A. sigmóidea ima { Diâmetro externo.....	0,10 cm.
	na A. h. s.
Situação do ponto crítico em relação ao S. r. s....	acima do limite cranial.
Origem e distribuição das Aa. r. s.....	prejudicado.
Divisão da A. h. s. em relação ao S. r. s.....	prejudicado.

OBSERVAÇÃO. — Durante a dissecção e fixação da peça, foi perdido o segmento da A. h. s. distal ao P. c.

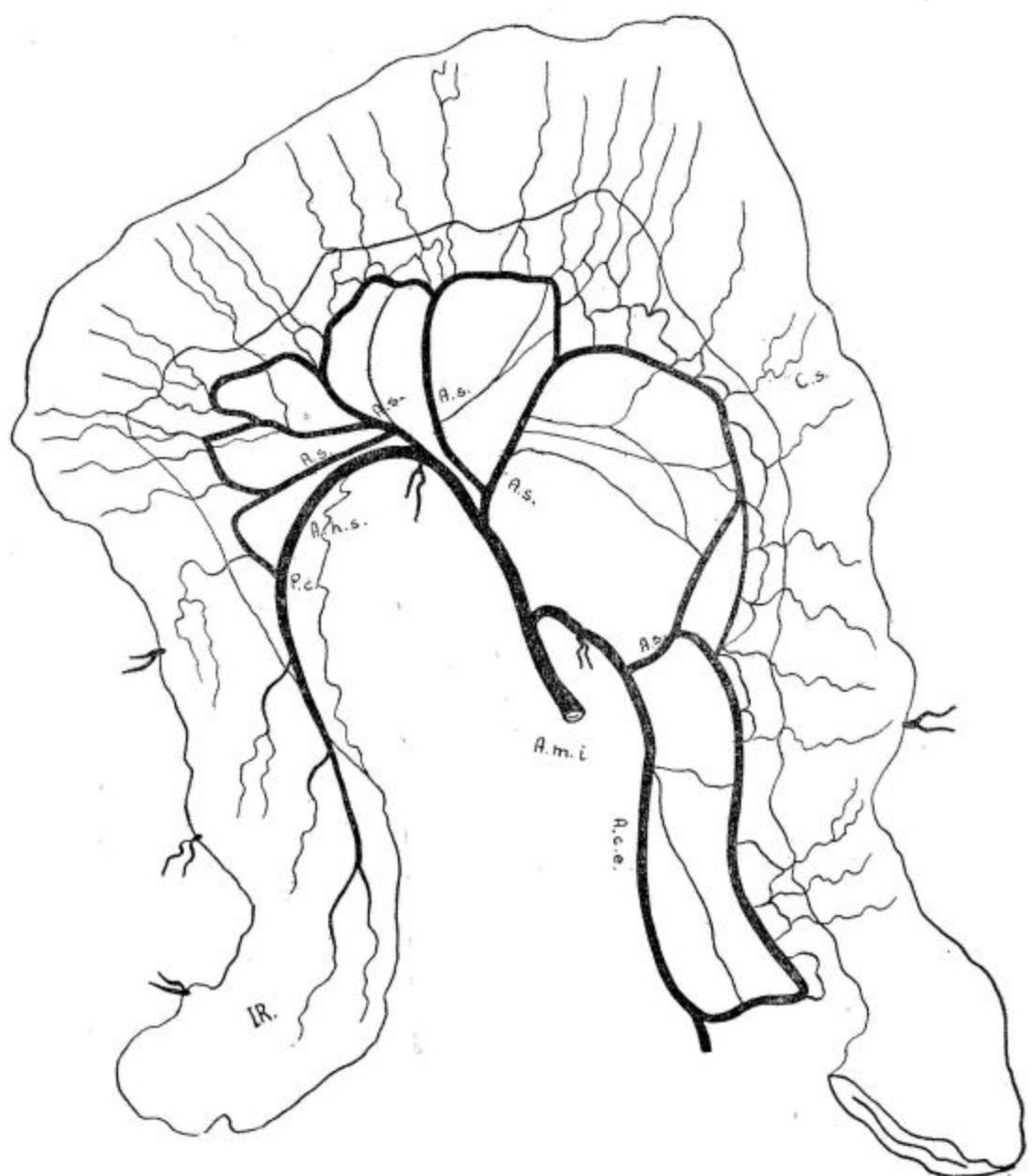


FIG. 52

OBSERVAÇÃO N.º 53

NOME: M. C.

SEXO: feminino.

COR: preta.

NACIONALIDADE: brasileira.

IDADE: 65 anos.

PROCEDÊNCIA: Departam. de Anatomia Patológica da Faculdade de Medicina da Universidade de São Paulo.

Distância bi-ílio cristal.....	29,0 cm.
Distância xifo-pública.....	36,6 cm.
Comprimento do colo sigmóide.....	31,3 cm.
Mobilidade do colo sigmóide.....	fixo.
Altura do meso-sigmóideo.....	0.
Origem da A. m. i. na aorta.....	ântero-lateral esquerda.
Projeção vertebral da origem da A. m. i.....	terço médio de L ₅ .
Distância do ponto crítico suposto ao plano do promontório.....	+ 4,1 cm.
Distância do nível real do ponto crítico ao nível suposto.....	+ 1,6 cm.
Distância do nível (x) à origem da última A. sigmóidea.....	prejudicado.
Distância do nível (x) à divisão da A. h. s.....	prejudicado.
Distância da origem da A. m. i. à origem da A. c. e.....	2,2 cm.
Distância da origem da A. m. i. ao ponto crítico.....	8,6 cm.
Distância da origem da A. m. i. à divisão da A. h. s.....	16,4 cm.
Distância da origem da última A. sigmóidea ou tronco das sigmóideas à divisão da A. h. s.....	12,8 cm.
Distância da última A. sigmóidea ao ponto crítico	5,3 cm.
Colaterais da A. m. i.....	{ Tr.c.s. → A.c.e. (A.s. ₁ . A.s. ₂) A.s. ₃
Distância entre a origem das colaterais da A. m. i.....	Tr.c.s. - A.s. ₃ = 1,2 cm.
Modo de terminação das colaterais da A. m. i. e da A. h. s.....	formando arcadas. 2 isoladas.
Número de arcadas arteriais.....	{ 4 primárias. várias secundárias.
Arcada entre a primeira A. sigmóidea e a A. c. e....	+
Comprimento das arcadas primárias.....	{ A.c.e. - A.s. ₁ = 11,0 cm. A.s. ₁ - A.s. ₂ = 6,7 cm. A.s. ₂ - A.s. ₃ = 6,0 cm. A.s. ₃ - P.c. = 3,9 cm.
Comprimento das colaterais da A. m. i.....	{ A.c.e. = 5,0 cm. A.s. ₁ = 6,2 cm. A.s. ₂ = 3,6 cm. A.s. ₃ = 4,8 cm.
Distância do ponto de divisão das colaterais da A. m. i. ao intestino.....	{ A.c.e. = 3,8 cm. A.s. ₁ = 2,4 cm. A.s. ₂ = 3,2 cm. A.s. ₃ = 1,4 cm.
A. sigmóidea ima { Diâmetro externo.....	0,15 cm.
Desembocadura.....	na A. h. s.
Situação do ponto crítico em relação ao S. r. s.....	acima do limite cranial.
Origem e distrib. das Aa. r. s.....	{ 2 provenientes da A. s. i., distribuem-se à metade cranial. 2 provenientes da A. h. s., distribuem-se.....
Divisão da A. h. s. em relação ao S. r. s.....	{ 1 à metade cranial. 1 à metade caudal. bifurca-se na metade caudal.

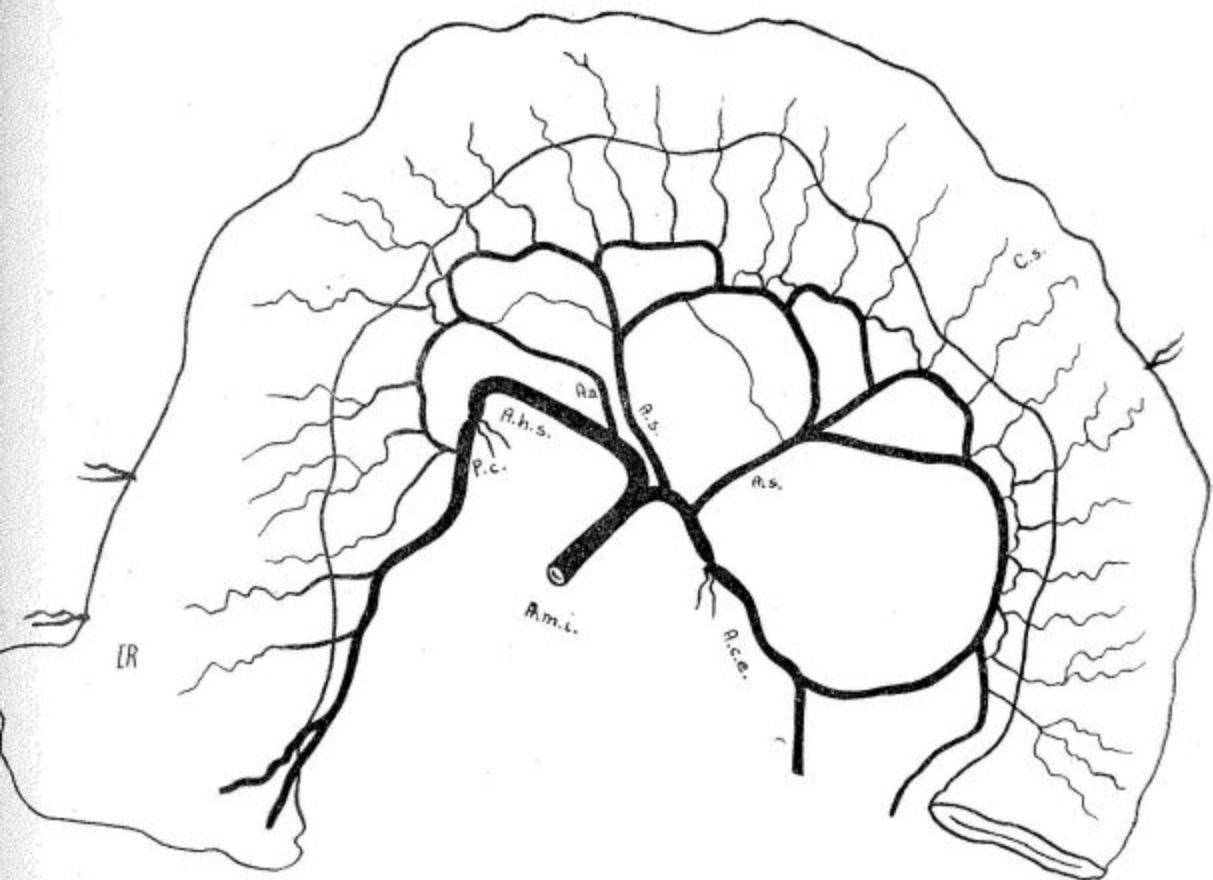


FIG. 53

OBSERVAÇÃO N.º 54

NOME: R. C.

SEXO: masculino.

COR: branca.

NACIONALIDADE: portuguêsa.

IDADE: 53 anos.

PROCEDÊNCIA: Departam. de Anatomia Patológica da Faculdade de Medicina da Universidade de São Paulo.

Distância bi-ílio cristal.....	29,7 cm.
Distância xifo-púbica.....	33,5 cm.
Comprimento do colo sigmóide.....	71,0 cm.
Mobilidade do colo sigmóide.....	proximal fixo; distal móvel. 7,5 cm.
Altura do meso-sigmóideo.....	ântero-lateral direita, terço caudal de L ₃ .
Origem da A. m. i. na aorta.....	0.
Projeção vertebral da origem da A. m. i.....	
Distância do ponto crítico suposto ao plano do promontório.....	
Distância do nível real do ponto crítico ao nível suposto.....	+ 0,5 cm.
Distância do nível (x) à origem da última A. sigmóidea.....	entre A.s. ₃ e A.s. ₄ .
Distância do nível (x) à divisão da A. h. s.....	5,6 cm.
Distância da origem da A. m. i. à origem da A. c. e.....	2,9 cm.
Distância da origem da A. m. i. ao ponto crítico.....	8,6 cm.
Distância da origem da A. m. i. à divisão da A. h. s.....	13,2 cm.
Distância da origem da última A. sigmóidea ou tronco das sigmóideas à divisão da A. h. s.....	6,2 cm.
Distância da última A. sigmóidea ao ponto crítico	2,6 cm.
Colaterais da A. m. i.....	$\left\{ \begin{array}{l} \text{Tr.c.s.} \rightarrow \text{A.c.e. (A.s.1) + A.s.2} \\ \text{A.s.3} \\ \text{A.s.4} \end{array} \right.$
Distância entre a origem das colaterais da A. m. i.....	$\left\{ \begin{array}{l} \text{Tr.c.s. - A.s.3 = 4,3 cm.} \\ \text{A.s.3 - A.s.4 = 1,5 cm.} \end{array} \right.$
Modo de terminação das colaterais da A. m. i. e da A. h. s.....	formando arcadas.
Número de arcadas arteriais.....	$\left\{ \begin{array}{l} 4 \text{ primárias.} \\ \text{numerosas secundárias, algumas bem desenvolvidas.} \\ \text{terciárias.} \end{array} \right.$
Arcada entre a primeira A. sigmóidea e a A. c. e...	+
Comprimento das arcadas primárias.....	$\left\{ \begin{array}{l} \text{A.c.e. - A.s.1 — prejudicado.} \\ \text{A.s.1 - A.s.2 — 16,0 cm.} \\ \text{A.s.2 - A.s.3 — 13,0 cm.} \\ \text{A.s.3 - A.s.4 — 2,7 cm.} \\ \text{A.s.4 - P.c. — 4,3 cm.} \end{array} \right.$
Comprimento das colaterais da A. m. i.....	$\left\{ \begin{array}{l} \text{A.c.e. — prejudicado.} \\ \text{A.s.1 — 1,5 cm.} \\ \text{A.s.2 — 5,7 cm.} \\ \text{A.s.3 — 1,7 cm.} \\ \text{A.s.4 — 0,9 cm.} \end{array} \right.$
Distância do ponto de divisão das colaterais da A. m. i. ao intestino.....	$\left\{ \begin{array}{l} \text{A.c.e. — prejudicado.} \\ \text{A.s.1 — 4,5 cm.} \\ \text{A.s.2 — 6,3 cm.} \\ \text{A.s.3 — 5,4 cm.} \\ \text{A.s.4 — 3,2 cm.} \end{array} \right.$
A. sigmóidea ima $\left\{ \begin{array}{l} \text{Diâmetro externo.....} \\ \text{Desembocadura.....} \end{array} \right.$	0,20 cm.
Situação do ponto crítico em relação à S. r. s.....	na A. h. s.
Origem e distrib. das Aa. r. s....	acima do limite cranial.
Divisão da A. h. s. em relação ao S. r. s.....	bifurca-se no limite cranial do I. R.

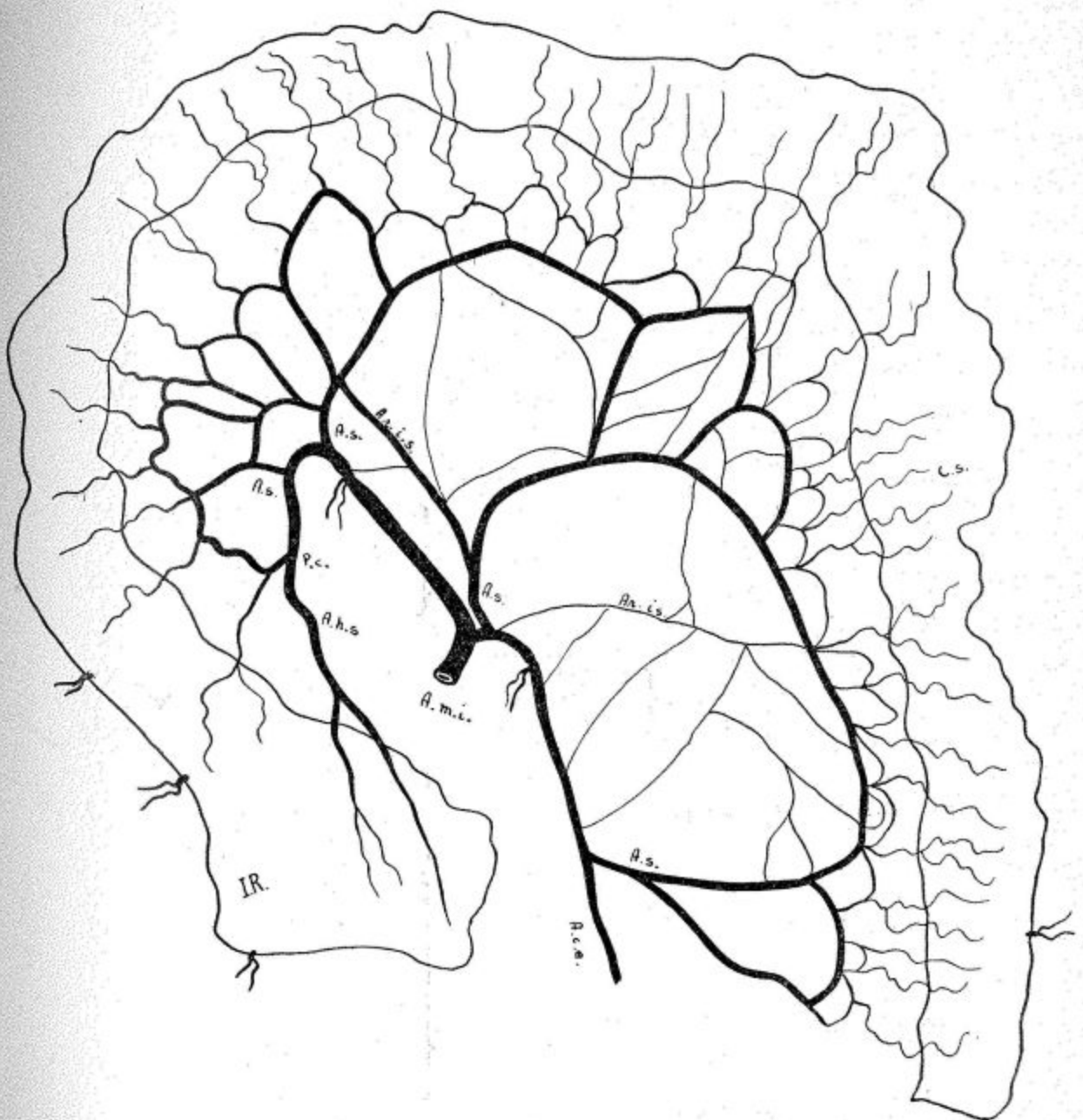


FIG. 54

OBSERVAÇÃO N.º 55

NOME: U. M.

SEXO: masculino.

COR: branca.

NACIONALIDADE: brasileira.

IDADE: 22 anos.

PROCEDÊNCIA: Departam. de Anatomia Patológica da Faculdade de Medicina da Universidade de São Paulo.

Distância bi-fílio cristal.....	30,4 cm.
Distância xifo-pública.....	36,4 cm.
Comprimento do colo sigmóide.....	61,4 cm.
Mobilidade do colo sigmóide.....	proximal fixo; distal móvel. 6,5 cm.
Altura do meso-sigmóideo.....	ântero-lateral esquerda.
Origem da A. m. i. na aorta.....	disco entre L ₅ e L ₆ .
Projeção vertebral da origem da A. m. i.....	
Distância do ponto crítico suposto ao plano do promontório.....	+ 1,1 cm.
Distância do nível real do ponto crítico ao nível suposto.....	+ 3,3 cm.
Distância do nível (x) à origem da última A. sigmóidea.....	entre A.s. ₃ e A.s. ₄ .
Distância do nível (x) à divisão da A. h. s.....	3,3 cm.
Distância da origem da A. m. i. à origem da A. c. e.....	1,3 cm.
Distância da origem da A. m. i. ao ponto crítico.....	8,2 cm.
Distância da origem da A. m. i. à divisão da A. h. s.....	11,3 cm.
Distância da origem da última A. sigmóidea ou tronco das sigmóideas à divisão da A. h. s.....	3,8 cm.
Distância da última A. sigmóidea ao ponto crítico	1,3 cm.
Colaterais da A. m. i.....	{ Tr.c.s. → A.c.e. (A.s. ₁) + A.s. ₂ A.s. ₃ A.s. ₄
Distância entre a origem das colaterais da A. m. i.	{ Tr.c.s. - A.s. ₃ — 1,2 cm. A.s. ₃ - A.s. ₄ — 3,9 cm.
Modo de terminação das colaterais da A. m. i. e da A. h. s.....	formando arcadas.
Número de arcadas arteriais.....	{ 4 primárias. numerosas secundárias, algumas bem desenvolvidas. terciárias.
Arcada entre a primeira A. sigmóidea e a A. c. e... .	+
Comprimento das arcadas primárias.....	{ A.c.e. - A.s. ₁ — 12,0 cm. A.s. ₁ - A.s. ₂ — 6,0 cm. A.s. ₂ - A.s. ₃ — 8,4 cm. A.s. ₃ - A.s. ₄ — 5,8 cm. A.s. ₄ - P.c. — 2,5 cm.
Comprimento das colaterais da A. m. i.....	{ A.c.e. — 7,5 cm. A.s. ₁ — 1,4 cm. A.s. ₂ — 1,4 cm. A.s. ₃ — 1,9 cm. A.s. ₄ — 0,7 cm.
Distância do ponto de divisão das colaterais da A. m. i. ao intestino.....	{ A.c.e. — 1,5 cm. A.s. ₁ — 8,1 cm. A.s. ₂ — 5,7 cm. A.s. ₃ — 3,3 cm. A.s. ₄ — 1,9 cm.
A. sigmóidea ima {	0,15 cm.
Diâmetro externo	na A. h. s.
Desembocadura	acima do limite cranial.
Situação do ponto crítico em relação ao S. r. s.....	
Origem e distrib. das Aa. r. s.. I proveniente de A. s. i., distribue-se à metade cranial.	
Divisão da A. h. s. em relação ao S. r. s.....	bifurca-se na metade cranial.

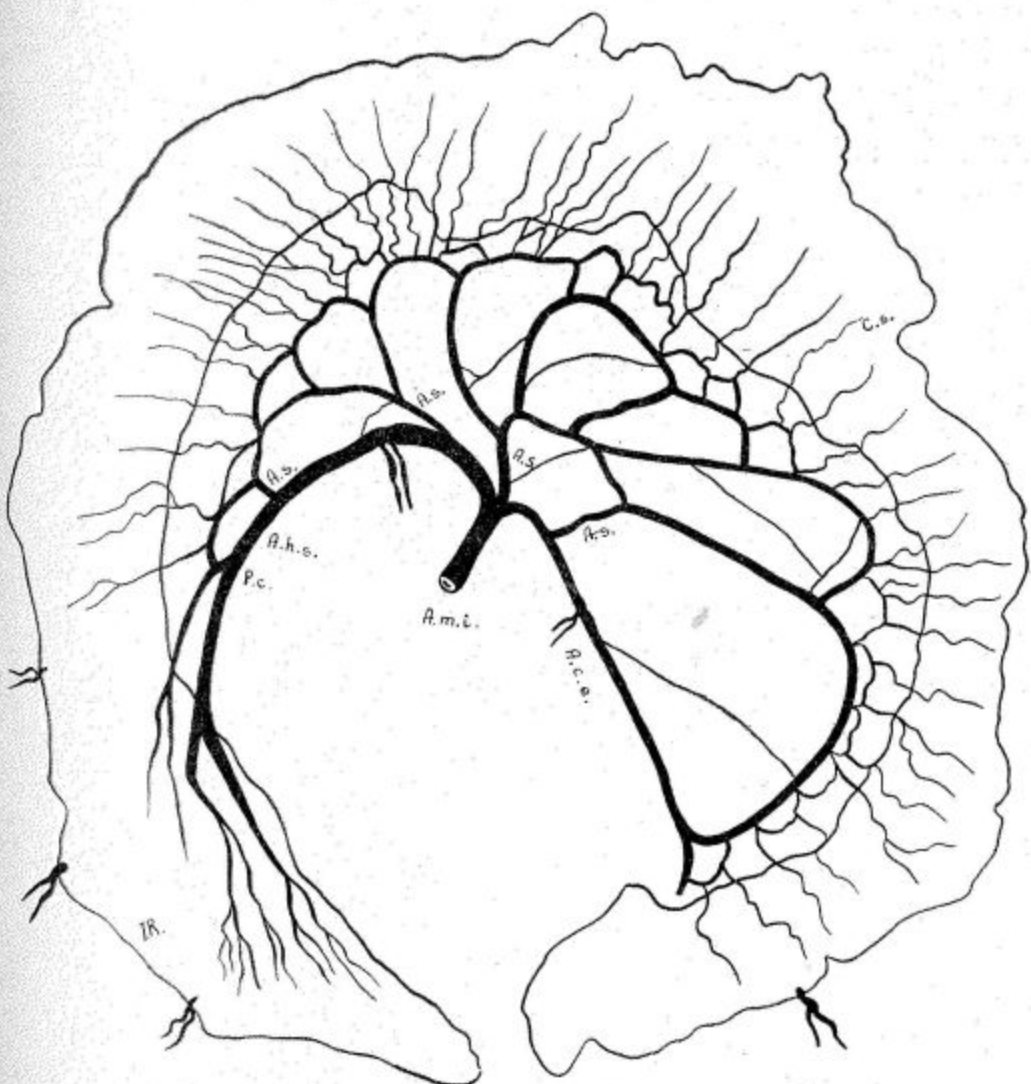


FIG. 55

OBSERVAÇÃO N.º 56

NOME: I. M. B.

SEXO: masculino.

COR: branca.

NACIONALIDADE: iugoslava.

IDADE: 52 anos.

PROCEDÊNCIA: Departam. de Anatomia Patológica da Faculdade de Medicina da Universidade de São Paulo.

Distância bi-ílio cristal.....	29,3 cm.
Distância xifo-pública.....	32,2 cm.
Comprimento do colo sigmóide.....	46,2 cm.
Mobilidade do colo sigmóide.....	proximal fixo; distal móvel. 8,5 cm.
Altura do meso-sigmóideo.....	lateral esquerda.
Origem da A. m. i. na aorta.....	disco entre L ₄ e L ₅ .
Projeção vertebral da origem da A. m. i.....	prejudicado.
Distância do ponto crítico suposto ao plano do promontório.....	+ 4,7 cm.
Distância do nível real do ponto crítico ao nível suposto.....	entre A.s. ₃ - A.s. ₄ . 3,9 cm.
Distância do nível (x) à origem da última A. sigmóidea.....	1,7 cm.
Distância do nível (x) à divisão da A. h. s.....	8,8 cm.
Distância da origem da A. m. i. à origem da A. c. e.....	7,5 cm.
Distância da origem da A. m. i. ao ponto crítico.....	0,9 cm.
Distância da origem da A. m. i. à divisão da A. h. s.....	2,3 cm.
Distância da origem da A. m. i. à divisão da A. h. s.....	formando arcadas.
Distância da última A. sigmóidea ao ponto crítico.....	
Colaterais da A. m. i.....	$\left\{ \begin{array}{l} \text{Tr.c.s.} \rightarrow (\text{A.s.}_3) \text{ A.c.e. } (r_1) + \text{A.s.}_1 + \text{A.s.}_2 \\ \text{A.s.}_4 \\ \text{A.s.}_5 \end{array} \right.$
Distância entre a origem das colaterais da A. m. i. e da A. h. s.....	$\left\{ \begin{array}{l} \text{Tr.c.s.} - \text{A.s.}_4 = 2,5 \text{ cm.} \\ \text{A.s.}_4 - \text{A.s.}_5 = 2,5 \text{ cm.} \end{array} \right.$
Número de arcadas arteriais.....	$\left\{ \begin{array}{l} 5 \text{ primárias.} \\ \text{numerosas secundárias, algumas bem desenvolvidas.} \\ \text{terciárias.} \end{array} \right.$
Arcada entre a primeira A. sigmóidea e a A. c. e....	+
Comprimento das arcadas primárias.....	$\left\{ \begin{array}{l} \text{A.c.e.} - r_1 = 13,4 \text{ cm.} \\ r_1 - \text{A.s.}_1 = 10,4 \text{ cm.} \\ \text{A.s.}_1 - \text{A.s.}_2 = 10,5 \text{ cm.} \\ \text{A.s.}_2 - \text{A.s.}_3 = 4,4 \text{ cm.} \\ \text{A.s.}_3 - \text{A.s.}_4 = 2,7 \text{ cm.} \\ \text{A.s.}_4 - \text{A.s.}_5 = 3,8 \text{ cm.} \\ \text{A.s.}_5 - \text{P.c.} = 3,2 \text{ cm.} \end{array} \right.$
Comprimento das colaterais da A. m. i.....	$\left\{ \begin{array}{l} \text{A.c.e.} = 12,1 \text{ cm.} \\ r_1 = 7,0 \text{ cm.} \\ \text{A.s.}_1 = 2,6 \text{ cm.} \\ \text{A.s.}_2 = 3,6 \text{ cm.} \\ \text{A.s.}_3 = 5,5 \text{ cm.} \\ \text{A.s.}_4 = 2,8 \text{ cm.} \\ \text{A.s.}_5 = 2,1 \text{ cm.} \end{array} \right.$
Distância do ponto de divisão das colaterais da A. m. i. ao intestino.....	$\left\{ \begin{array}{l} \text{A.c.e.} = 1,0 \text{ cm.} \\ r_1 = 5,2 \text{ cm.} \\ \text{A.s.}_1 = 4,9 \text{ cm.} \\ \text{A.s.}_2 = 5,0 \text{ cm.} \\ \text{A.s.}_3 = 3,4 \text{ cm.} \\ \text{A.s.}_4 = 3,4 \text{ cm.} \\ \text{A.s.}_5 = 2,3 \text{ cm.} \end{array} \right.$
A. sigmóidea ima	
Diâmetro externo	0,25 cm.
Desembocadura	no r. d.
Situação do ponto crítico em relação ao S. r. s.....	no limite cranial.
Origem e distrib. das Aa. r. s... I proveniente da A. s. i., distribue-se à metade cranial.	
Divisão da A. h. s. em relação ao S. r. s.....	bifurca-se acima da metade cranial.

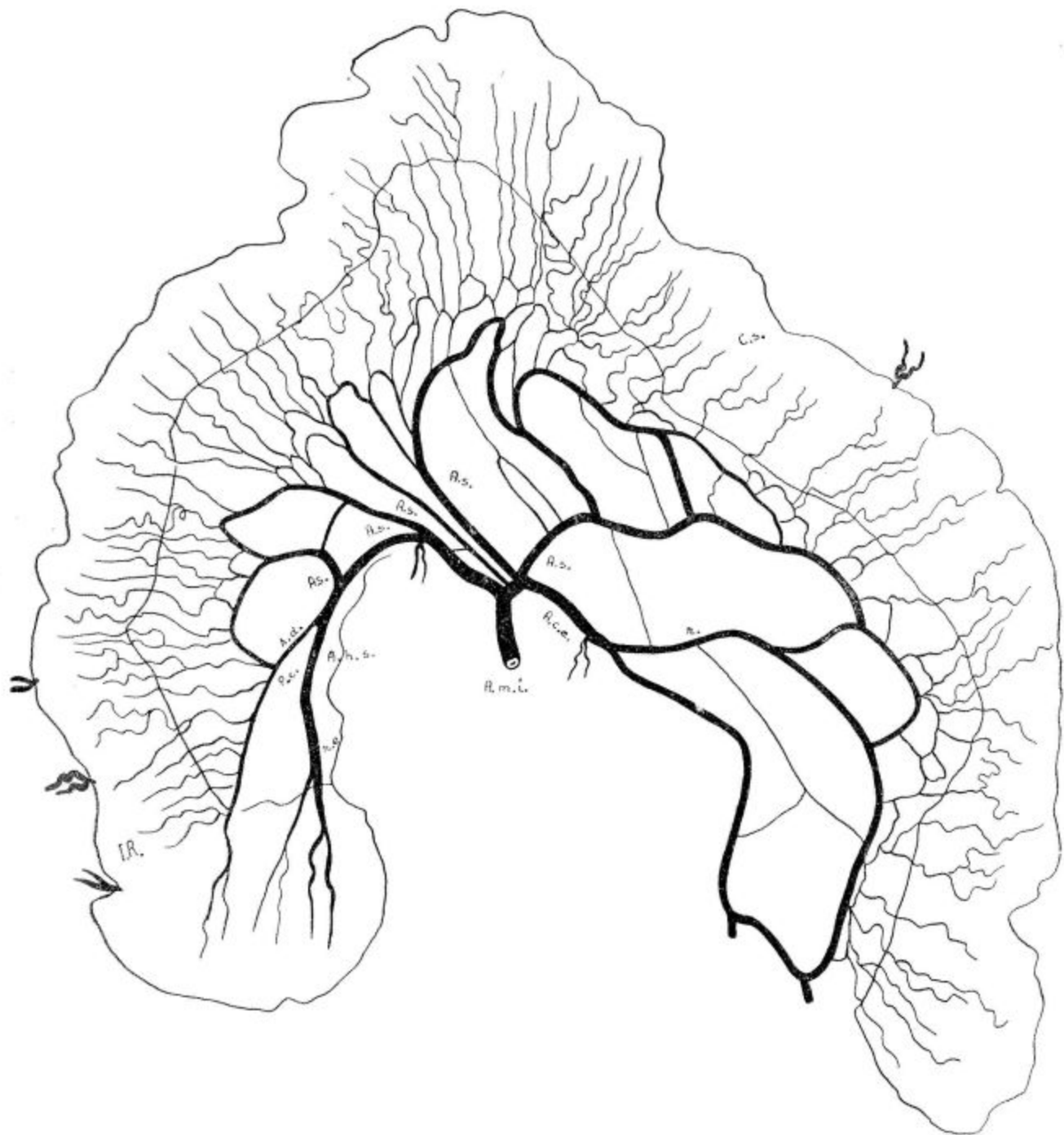


FIG. 56

OBSERVAÇÃO N.º 57

NOME: B. A. C.

SEXO: masculino.

COR: preta.

NACIONALIDADE: brasileiro.

IDADE: 56 anos.

PROCEDÊNCIA: Departam. de Anatomia Patológica da Faculdade de Medicina da Universidade de São Paulo.

Distância bi-ílio cristal.....	26,7 cm.
Distância xifo-pública.....	35,0 cm.
Comprimento do colo sigmóide.....	74,4 cm.
Mobilidade do colo sigmóide.....	proximal fixo; distal móvel.
Altura do meso-sigmóideo.....	10,0 cm.
Origem da A. m. i. na aorta.....	ântero-lateral esquerda.
Projeção vertebral da origem da A. m. i.....	terço cranial de L ₃ .
Distância do ponto crítico suposto ao plano do promontório.....	2,6 cm.
Distância do nível real do ponto crítico ao nível suposto.....	+ 5,5 cm.
Distância do nível (x) à origem da última A. sigmóidea.....	entre A.s. ₄ e A.s. ₅ .
Distância do nível (x) à divisão da A. h. s.....	7,5 cm.
Distância da origem da A. m. i. à origem da A. c. e.....	3,5 cm.
Distância da origem da A. m. i. ao ponto crítico.....	12,7 cm.
Distância da origem da A. m. i. à divisão da A. h. s.....	14,9 cm.
Distância da origem da última A. sigmóidea ou tronco das sigmóideas à divisão da A. h. s.....	5,6 cm.
Distância da última A. sigmóidea ao ponto crítico.....	3,5 cm.
Colaterais da A. m. i.....	$\left\{ \begin{array}{l} \text{A.c.e. (r}_1\text{)} \\ \text{Tr.s.} \rightarrow (\text{A.s.}_3) \text{ A.s.}_1 + \text{A.s.}_2 \\ \text{A.s.}_4 \\ \text{A.s.}_5 \end{array} \right.$
Distância entre a origem das colaterais da A. m. i.....	$\left\{ \begin{array}{l} \text{A.c.e. - Tr.s.} = 0 \\ \text{T.r.s.} - \text{A.s.}_4 = 2,0 \text{ cm.} \\ \text{A.s.}_4 - \text{A.s.}_5 = 4,0 \text{ cm.} \end{array} \right.$
Modo de terminação das colaterais da A. m. i. e da A. h. s.....	formando arcadas.
Número de arcadas arteriais.....	$\left\{ \begin{array}{l} 6 \text{ primárias.} \\ \text{várias secundárias.} \\ \text{algumas terciárias.} \end{array} \right.$
Arcada entre a primeira A. sigmóidea e a A. c. e.....	+
Comprimento das arcadas primárias.....	$\left\{ \begin{array}{l} \text{A.c.e.} - \text{r}_1 = 10,0 \text{ cm.} \\ \text{r}_1 - \text{A.s.}_1 = 12,1 \text{ cm.} \\ \text{A.s.}_1 - \text{A.s.}_2 = 9,4 \text{ cm.} \\ \text{A.s.}_2 - \text{A.s.}_3 = 2,7 \text{ cm.} \\ \text{A.s.}_3 - \text{A.s.}_4 = 7,0 \text{ cm.} \\ \text{A.s.}_4 - \text{A.s.}_5 = 2,7 \text{ cm.} \\ \text{A.s.}_5 - \text{P.c.} = 3,7 \text{ cm.} \end{array} \right.$
Comprimento das colaterais da A. m. i.....	$\left\{ \begin{array}{l} \text{A.c.e.} = 4,4 \text{ cm.} \\ \text{r}_1 = 4,3 \text{ cm.} \\ \text{A.s.}_1 = 4,1 \text{ cm.} \\ \text{A.s.}_2 = 6,6 \text{ cm.} \\ \text{A.s.}_3 = 6,3 \text{ cm.} \\ \text{A.s.}_4 = 2,8 \text{ cm.} \\ \text{A.s.}_5 = 0,4 \text{ cm.} \end{array} \right.$
Distância do ponto de divisão das colaterais da A. m. i. ao intestino.....	$\left\{ \begin{array}{l} \text{A.c.e.} = 5,5 \text{ cm.} \\ \text{r}_1 = 2,5 \text{ cm.} \\ \text{A.s.}_1 = 4,5 \text{ cm.} \\ \text{A.s.}_2 = 3,8 \text{ cm.} \\ \text{A.s.}_3 = 3,5 \text{ cm.} \\ \text{A.s.}_4 = 2,0 \text{ cm.} \\ \text{A.s.}_5 = 1,8 \text{ cm.} \end{array} \right.$
A. sigmóidea ima	$\left\{ \begin{array}{l} \text{Diâmetro externo} \\ \text{Desembocadura} \end{array} \right.$
	0,15 cm.
Situação do ponto crítico em relação ao S. r. s.....	na A. h. s.
Origem e distrib. das Aa. r. s.....	3 provenientes de A. s. i., distribuem-se à metade cranial.
Divisão da A. h. s. em relação ao S. r. s.....	bifurca-se na metade cranial.

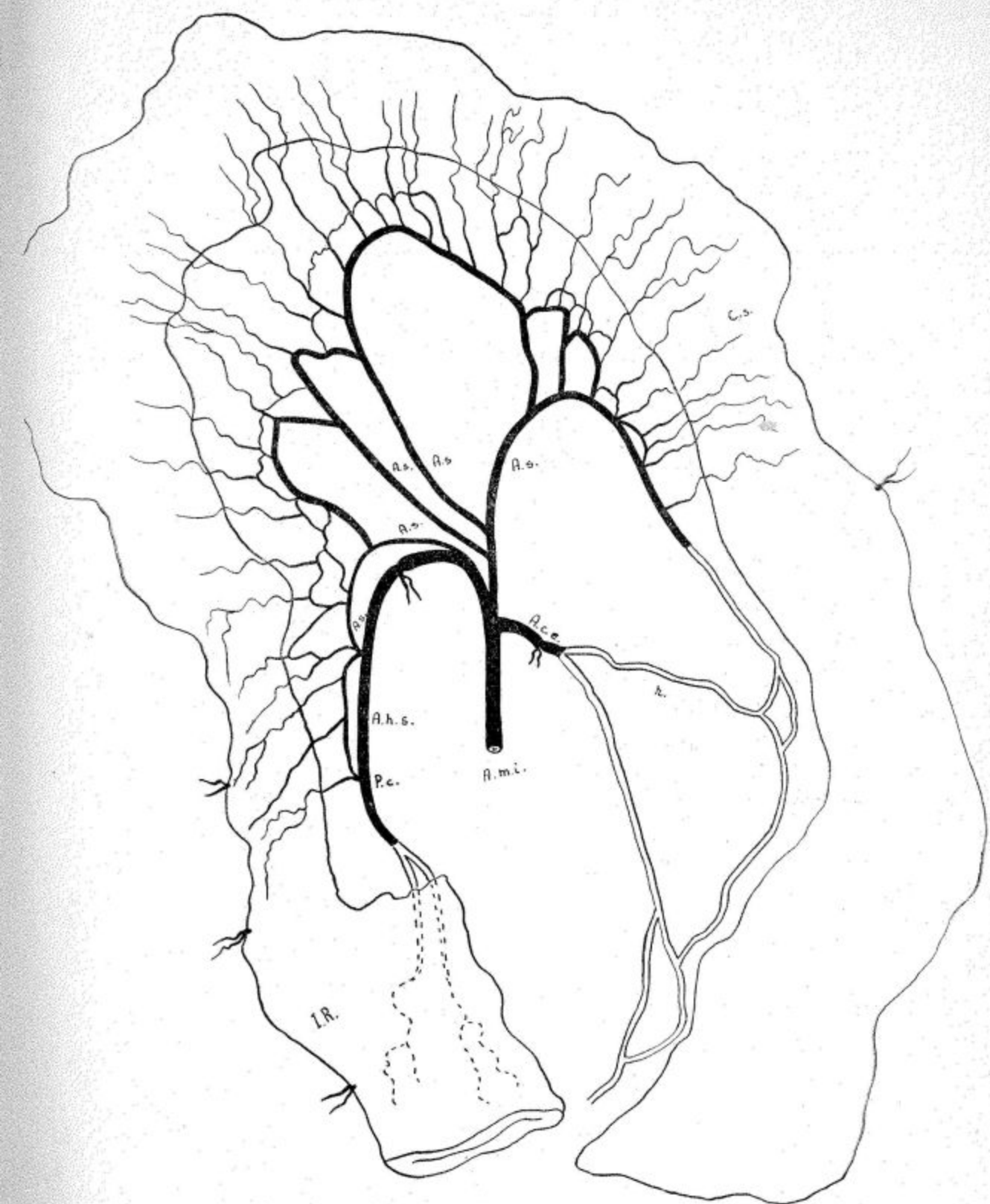


FIG. 57

O B S E R V A Ç Ã O N.º 58

NOME: P. T. M.

SEXO: masculino.

COR: branca.

NACIONALIDADE: brasileira.

IDADE: 65 anos.

PROCEDÊNCIA: Departam. de Anatomia Patológica da Faculdade de Medicina da Universidade de São Paulo.

Distância bi-ílio cristal.....	28,4 cm.
Distância xifo-púbica.....	32,2 cm.
Comprimento do colo sigmóide.....	70,1 cm.
Mobilidade do colo sigmóide.....	proximal fixo; distal móvel. 6,5 cm.
Altura do meso-sigmóideo.....	anterior, linha média. terço caudal de L ₂ .
Origem da A. m. i. na aorta.....	
Projeção vertebral da origem da A. m. i.	0.
Distância do ponto crítico suposto ao plano do promontório.....	0.
Distância do nível real do ponto crítico ao nível suposto.....	0.
Distância do nível (x) à origem da última A. sigmóidea.....	2,0 cm.
Distância do nível (x) à divisão da A. h. s.....	9,5 cm.
Distância da origem da A. m. i. à origem da A. c. e.	4,1 cm.
Distância da origem da A. m. i. ao ponto crítico....	11,6 cm.
Distância da origem da A. m. i. à divisão da A. h. s.....	18,3 cm.
Distância da origem da última A. sigmóidea ou tronco das sigmóideas à divisão da A. h. s.....	11,2 cm.
Distância da última A. sigmóidea ao ponto crítico..	5,3 cm.
Colaterais da A. m. i.....	$\left\{ \begin{array}{l} \text{Tr.c.s.} \rightarrow \text{A.c.e.}(\text{A.s.}_1, \text{A.s.}_2) \\ \text{A.s.}_3 \\ \text{A.s.}_4 \\ \text{A.s.}_5 \end{array} \right.$
Distância entre a origem das colaterais da A. m. i.	$\left\{ \begin{array}{l} \text{Tr.c.s.} - \text{A.s.}_3 = 1,3 \text{ cm.} \\ \text{A.s.}_3 - \text{A.s.}_4 = 0,8 \text{ cm.} \\ \text{A.s.}_4 - \text{A.s.}_5 = 5,3 \text{ cm.} \end{array} \right.$
Modo de terminação das colaterais da A. m. i. e da A. h. s.....	formando arcadas.
Número de arcadas arteriais.....	$\left\{ \begin{array}{l} 5 \text{ primárias.} \\ \text{numerosas secundárias bem desenvolvidas.} \\ \text{terciárias e quaternárias.} \end{array} \right.$
Arcada entre a primeira A. sigmóidea e a A. c. e... +.	
Comprimento das arcadas primárias.....	$\left\{ \begin{array}{l} \text{A.c.e.} - \text{A.s.}_1 = 12,3 \text{ cm.} \\ \text{A.s.}_1 - \text{A.s.}_2 = 2,3 \text{ cm.} \\ \text{A.s.}_2 - \text{A.s.}_3 = 10,8 \text{ cm.} \\ \text{A.s.}_3 - \text{A.s.}_4 = 10,2 \text{ cm.} \\ \text{A.s.}_4 - \text{A.s.}_5 = 8,4 \text{ cm.} \end{array} \right.$
Comprimento das colaterais da A. m. i.....	$\left\{ \begin{array}{l} \text{A.c.e.} = 2,1 \text{ cm.} \\ \text{A.s.}_1 = 4,5 \text{ cm.} \\ \text{A.s.}_2 = 6,2 \text{ cm.} \\ \text{A.s.}_3 = 1,9 \text{ cm.} \\ \text{A.s.}_4 = 3,4 \text{ cm.} \\ \text{A.s.}_5 = 2,2 \text{ cm.} \end{array} \right.$
Distância do ponto de divisão das colaterais da A. m. i. ao intestino.....	$\left\{ \begin{array}{l} \text{A.c.e.} = 9,5 \text{ cm.} \\ \text{A.s.}_1 = 2,6 \text{ cm.} \\ \text{A.s.}_2 = 2,4 \text{ cm.} \\ \text{A.s.}_3 = 2,9 \text{ cm.} \\ \text{A.s.}_4 = 6,4 \text{ cm.} \\ \text{A.s.}_5 = 2,4 \text{ cm.} \end{array} \right.$
A. sigmóidea ima	
Diâmetro externo.....	—.
Desembocadura.....	—.
Situação do ponto crítico em relação ao S. r. s....	acima do limite cranial.
Origem e distrib. das Aa. r. s..	$\left\{ \begin{array}{l} 1 \text{ proveniente da arcada A.s.}_4 - \text{A.s.}_5, \text{ distribue-se à metade cranial.} \\ 1 \text{ constituída pelo ramo distal de bifurcação de A.s.}_5, \text{ distribue-se à metade cranial.} \end{array} \right.$
Divisão da A. h. s. em relação ao S. r. s.....	bifurca-se na metade cranial.

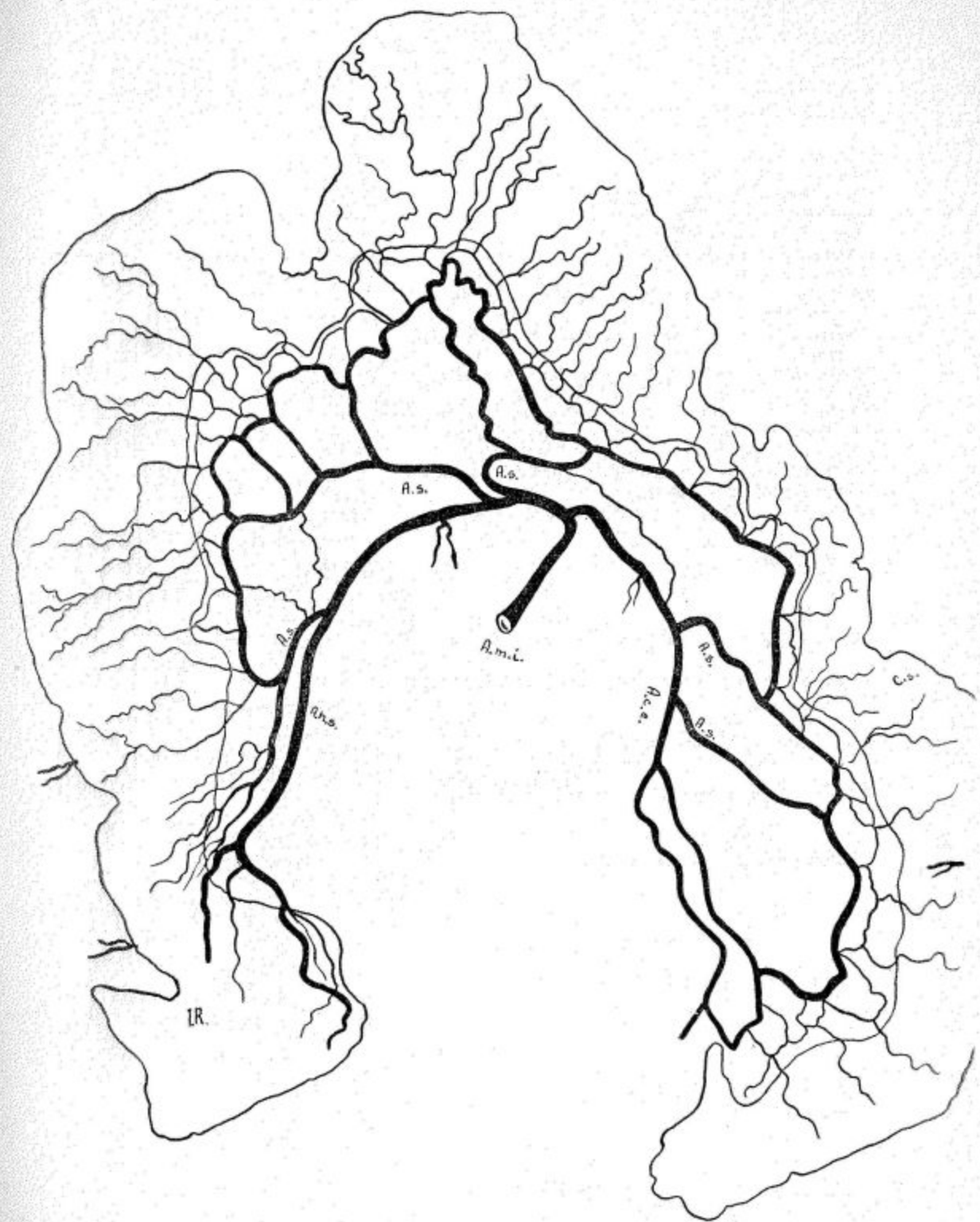


FIG. 58

OBSERVAÇÃO N.º 59

NOME: S. C.
SEXO: masculino.
CÓR: branca.
NACIONALIDADE: espanhola.

IDADE: 59 anos.

PROCEDÊNCIA: Departam. de Anatomia Patológica da Faculdade de Medicina da Universidade de São Paulo.

Distância biilio cristal.....	30,0 cm.
Distância xifo-pública.....	36,0 cm.
Comprimento do colo sigmóide.....	34,5 cm.
Mobilidade do colo sigmóide.....	proximal fixo; distal móvel. 4,5 cm.
Altura do meso-sigmóideo.....	ântero-lateral esquerda.
Origem da A. m. i. na aorta.....	terço médio de L ₃ .
Projeção vertebral da origem da A. m. i.....	prejudicado.
Distância do ponto crítico suposto ao plano do promontório.....	prejudicado.
Distância do nível real do ponto crítico ao nível suposto.....	prejudicado.
Distância do nível (x) à origem da última A. sigmóidea.....	prejudicado.
Distância do nível (x) à divisão da A. h. s.....	prejudicado.
Distância da origem da A. m. i. à origem da A. c. e.....	1,8 cm.
Distância da origem da A. m. i. ao ponto crítico.....	16,5 cm.
Distância da origem da A. m. i. à divisão da A. h. s.....	17,0 cm.
Distância da origem da última A. sigmóidea ou tronco das sigmóideas à divisão da A. h. s.....	5,3 cm.
Distância da última A. sigmóidea ao ponto crítico.....	4,8 cm.
Colaterais da A. m. i.....	<div style="display: flex; align-items: center;"> Tr.c.s. → A.c.e. (A.s.₁ + A.s.₂) <div style="border-left: 1px solid black; height: 20px; margin-right: 10px;"></div> A.s.₃ A.s.₄ A.s.₅ </div>
Distância entre a origem das colaterais da A. m. i.....	<div style="display: flex; align-items: center;"> Tr.c.s. - A.s.₃ = 2,1 cm. <div style="border-left: 1px solid black; height: 20px; margin-right: 10px;"></div> A.s.₃ - A.s.₄ = 6,8 cm. <div style="border-left: 1px solid black; height: 20px; margin-right: 10px;"></div> A.s.₄ - A.s.₅ = 1,1 cm. </div>
Modo de terminação das colaterais da A. m. i. e da A. h. s.....	formando arcadas.
Número de arcadas arteriais.....	<div style="display: flex; align-items: center;"> 6 primárias. <div style="border-left: 1px solid black; height: 20px; margin-right: 10px;"></div> várias secundárias. <div style="border-left: 1px solid black; height: 20px; margin-right: 10px;"></div> algumas terciárias. <div style="border-left: 1px solid black; height: 20px; margin-right: 10px;"></div> + </div>
Arcada entre a primeira A. sigmóidea e a A. c. e.....	<div style="display: flex; align-items: center;"> A.c.e. - A.s.₁ = 3,3 cm. <div style="border-left: 1px solid black; height: 20px; margin-right: 10px;"></div> A.s.₁ - A.s.₂ = 3,6 cm. <div style="border-left: 1px solid black; height: 20px; margin-right: 10px;"></div> A.s.₂ - A.s.₃ = 6,6 cm. <div style="border-left: 1px solid black; height: 20px; margin-right: 10px;"></div> A.s.₃ - A.s.₄ = 7,8 cm. <div style="border-left: 1px solid black; height: 20px; margin-right: 10px;"></div> A.s.₄ - A.s.₅ = 3,6 cm. <div style="border-left: 1px solid black; height: 20px; margin-right: 10px;"></div> A.s.₅ - P.c. = 6,3 cm. </div>
Comprimento das arcadas primárias.....	<div style="display: flex; align-items: center;"> A.c.e. = 12,4 cm. <div style="border-left: 1px solid black; height: 20px; margin-right: 10px;"></div> A.s.₁ = 2,0 cm. <div style="border-left: 1px solid black; height: 20px; margin-right: 10px;"></div> A.s.₂ = 3,5 cm. <div style="border-left: 1px solid black; height: 20px; margin-right: 10px;"></div> A.s.₃ = 8,4 cm. <div style="border-left: 1px solid black; height: 20px; margin-right: 10px;"></div> A.s.₄ = 1,4 cm. <div style="border-left: 1px solid black; height: 20px; margin-right: 10px;"></div> A.s.₅ = 0,8 cm. </div>
Comprimento das colaterais da A. m. i.....	<div style="display: flex; align-items: center;"> A.c.e. = 2,4 cm. <div style="border-left: 1px solid black; height: 20px; margin-right: 10px;"></div> A.s.₁ = 2,5 cm. <div style="border-left: 1px solid black; height: 20px; margin-right: 10px;"></div> A.s.₂ = 2,4 cm. <div style="border-left: 1px solid black; height: 20px; margin-right: 10px;"></div> A.s.₃ = 5,7 cm. <div style="border-left: 1px solid black; height: 20px; margin-right: 10px;"></div> A.s.₄ = 3,2 cm. <div style="border-left: 1px solid black; height: 20px; margin-right: 10px;"></div> A.s.₅ = 1,8 cm. </div>
Distância do ponto de divisão das colaterais da A. m. i. ao intestino.....	<div style="display: flex; align-items: center;"> 0,10 cm. <div style="border-left: 1px solid black; height: 20px; margin-right: 10px;"></div> na A. h. s. <div style="border-left: 1px solid black; height: 20px; margin-right: 10px;"></div> na metade cranial. </div>
A. sigmóidea ima	
Diâmetro externo	0,10 cm.
Desembocadura	na A. h. s.
Situação do ponto crítico em relação ao S. r. s.....	na metade cranial.
Origem e distrib. das Aa. r. s.....	2 provenientes de A. s. i., distribuem-se à metade cranial.
Divisão da A. h. s. em relação ao S. r. s.....	bifurca-se na metade cranial.

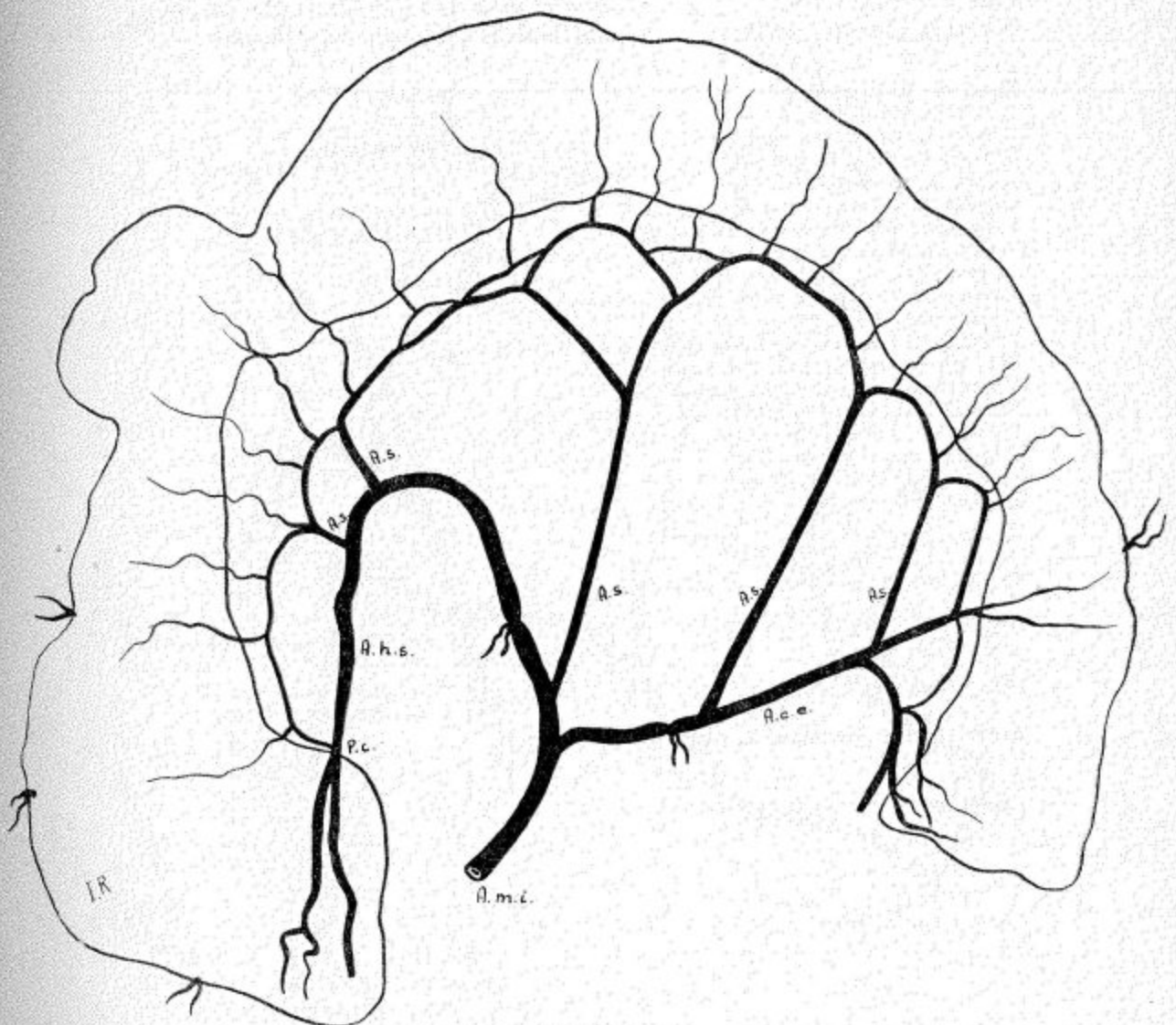


FIG. 59

OBSERVAÇÃO N.º 60

NOME: W. T.

SEXO: masculino.

COR: branca.

NACIONALIDADE: italiana.

IDADE: 55 anos.

PROCEDÊNCIA: Departam. de Anatomia Patológica da Faculdade de Medicina da Universidade de São Paulo.

Distância bi-ilio cristal.....	28,5 cm.
Distância xifo-púbica.....	31,8 cm.
Comprimento do colo sigmóide.....	47,8 cm.
Mobilidade do colo sigmóide.....	proximal fixo; distal móvel.
Altura do meso-sigmóideo.....	7,5 cm.
Origem da A. m. i. na aorta.....	anterior, linha média.
Projeção vertebral da origem da A. m. i.....	térço caudal de L ₃ .
Distância do ponto crítico suposto ao plano do promontório.....	— 1,6 cm.
Distância do nível real do ponto crítico ao nível suposto.....	0.
Distância do nível (x) à origem da última A. sigmóidea.....	2,5 cm.
Distância do nível (x) à divisão da A. h. s.....	8,4 cm.
Distância da origem da A. m. i. à origem da A. c. e.....	2,8 cm.
Distância da origem da A. m. i. ao ponto crítico.....	9,5 cm.
Distância da origem da A. m. i. à divisão da A. h. s.....	15,0 cm.
Distância da origem da última A. sigmóidea ou tronco das sigmóideas à divisão da A. h. s.....	10,7 cm.
Distância da última A. sigmóidea ao ponto crítico.....	5,5 cm.
Colaterais da A. m. i.....	{ Tr.c.s. → A.c.e. + A.s. ₁ Tr.s. → (A.s. ₂) A.s. ₃ + A.s. ₄
Distância entre a origem das colaterais da A. m. i. e da A. h. s.....	Tr.c.s. — Tr.s. — 0,9 cm. formando arcadas. 2 isoladas, unidas por uma anastomose.
Número de arcadas arteriais.....	{ 5 primárias. numerosas secundárias.
Arcada entre a primeira A. sigmóidea e a A. c. e.	+.
Comprimento das arcadas primárias.....	{ A.c.e. — A.s. ₁ — 3,5 cm. A.s. ₁ — A.s. ₂ — 14,0 cm. A.s. ₂ — A.s. ₃ — 10,5 cm. A.s. ₃ — A.s. ₄ — 5,3 cm. A.s. ₄ — P.c. — 5,2 cm.
Comprimento das colaterais da A. m. i.....	{ A.c.e. — 10,0 cm. A.s. ₁ — 3,5 cm. A.s. ₂ — 5,8 cm. A.s. ₃ — 7,1 cm. A.s. ₄ — 3,7 cm.
Distância do ponto de divisão das colaterais da A. m. i. ao intestino.....	{ A.c.e. — 2,1 cm. A.s. ₁ — 4,4 cm. A.s. ₂ — 3,0 cm. A.s. ₃ — 4,9 cm. A.s. ₄ — 1,1 cm.
A. sigmóidea ima { Diâmetro externo	0,20 cm.
	Desembocadura
Situação do ponto crítico em relação ao S. r. s.....	na A. h. s.
Origem e distrib. das Aa. r. s....	acima do limite cranial.
	I proveniente de uma arcada sobre A. h. s. distribue-se à metade cranial.
Divisão da A. h. s. em relação ao S. r. s.....	bifurca-se no limite cranial do I. R.

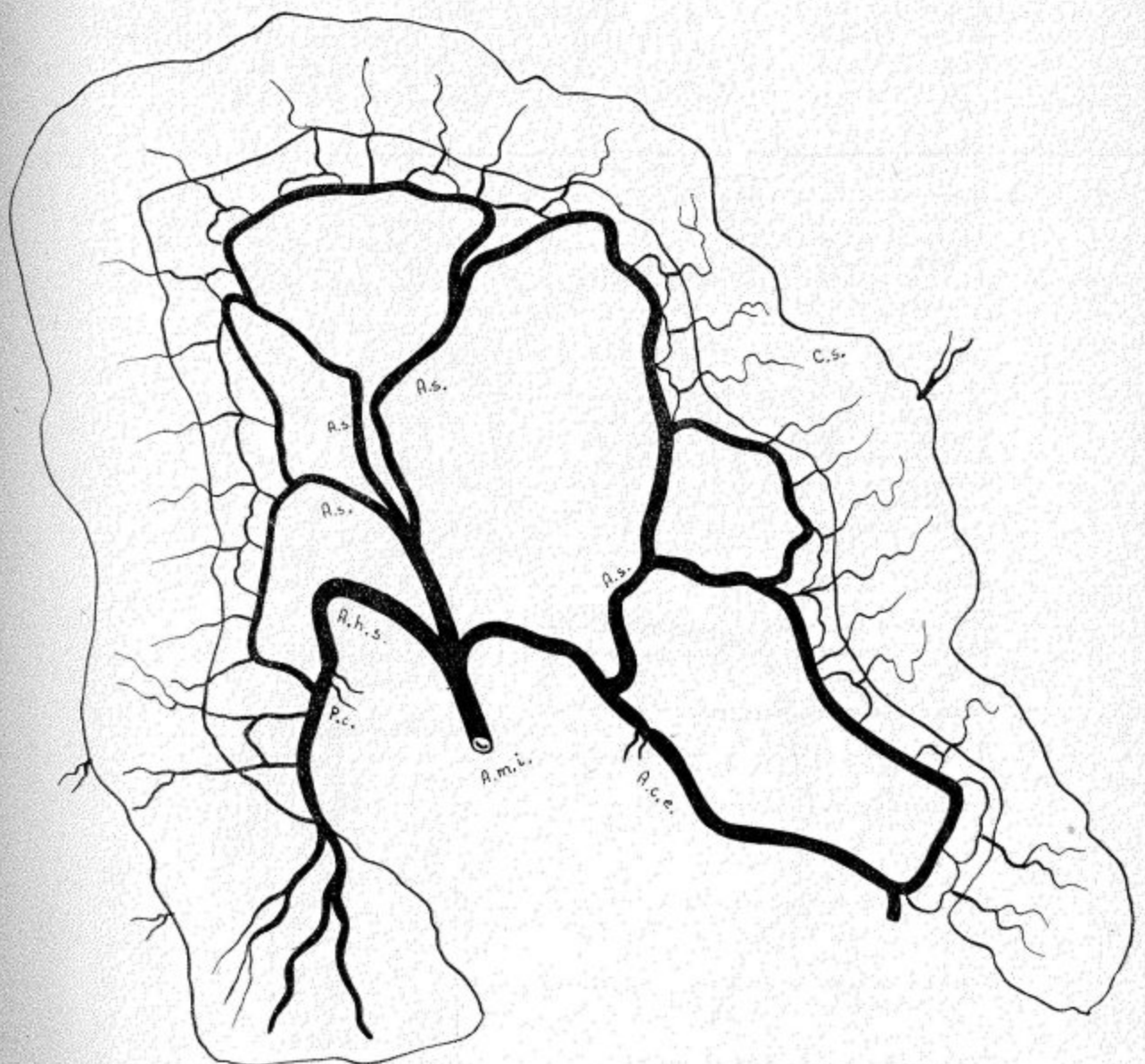


FIG. 60

OBSERVAÇÃO N.º 61

NOME: P. A.

SEXO: masculino.

COR: branca.

NACIONALIDADE: brasileira.

IDADE: 37 anos.

PROCEDÊNCIA: Departam. de Anatomia Patológica da Faculdade de Medicina da Universidade de São Paulo.

Distância bi-ilio cristal.....	27,6 cm.
Distância xifo-pública.....	31,0 cm.
Comprimento do colo sigmóide.....	50,6 cm.
Mobilidade do colo sigmóide.....	proximal fixo; distal móvel.
Altura do meso-sigmóideo.....	5,0 cm.
Origem da A. m. i. na aorta.....	anterior, linha média.
Projeção vertebral da origem da A. m. i.....	térço cranial de L ₅ .
Distância do ponto crítico suposto ao plano do promontório.....	— 3,4 cm
Distância do nível real do ponto crítico ao nível suposto.....	+ 1,5 cm.
Distância do nível (x) à origem da última A. sigmóidea.....	1,4 cm.
Distância do nível (x) à divisão da A. h. s.....	5,8 cm.
Distância da origem da A. m. i. à origem da A. c. e.....	2,3 cm.
Distância da origem da A. m. i. ao ponto crítico.....	9,5 cm.
Distância da origem da A. m. i. à divisão da A. h. s.....	11,2 cm.
Distância da origem da última A. sigmóidea ou tronco das sigmóideas à divisão da A. h. s.....	7,3 cm.
Distância da última A. sigmóidea ao ponto crítico.....	5,5 cm.
Colaterais da A. m. i.....	{ Tr.c.s. → A.c.e. (r ₁ + A.s. ₁) A.s. ₂
Distância entre a origem das colaterais da A. m. i.....	Tr.c.s. — A.s. ₂ — 1,3 cm.
Modo de terminação das colaterais da A. m. i. e da A. h. s.....	{ formando arcadas. 1 isolada.
Número de arcadas arteriais.....	{ 4 primárias. numerosas secundárias bem desenvolvidas.
Arcada entre a primeira A. sigmóidea e a A. c. e.....	+ com r ₁ intercalado.
Comprimento das arcadas primárias.....	{ A.c.e. — r ₁ — 4,5 cm. r ₁ — A.s. ₁ — 5,7 cm. A.s. ₁ — A.s. ₂ — 15,7 cm. A.s. ₂ — P.c. — 8,5 cm.
Comprimento das colaterais da A. m. i.....	{ A.c.e. — 6,6 cm. r ₁ — 4,2 cm. A.s. ₁ — 5,2 cm. A.s. ₂ — 1,9 cm.
Distância do ponto de divisão das colaterais da A. m. i. ao intestino.....	{ A.c.e. — 2,0 cm. r ₁ — 2,4 cm. A.s. ₁ — 2,4 cm. A.s. ₂ — 7,4 cm.
A. sigmóidea ima { Diâmetro externo.....	0,35 cm.
Situação do ponto crítico em relação ao S. r. s.....	na A. h. s. acima do limite cranial.
Origem e distrib. das Aa. r. s. { 2 provenientes de A. s. i.....	} distribuem-se à metade cranial
Divisão da A. h. s. em relação ao S. r. s.....	} à metade cranial bifurca-se na metade cranial.

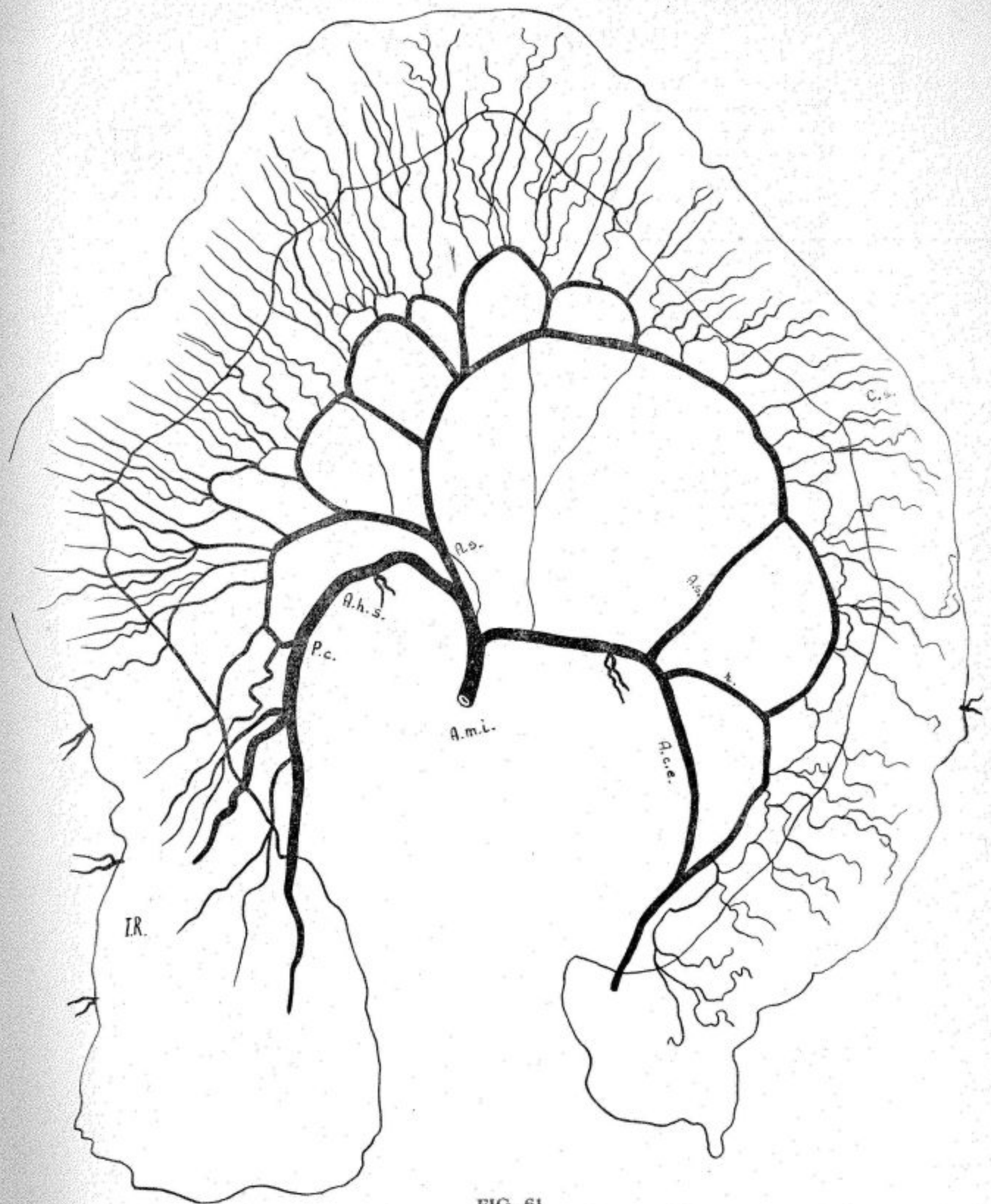


FIG. 61

OBSERVAÇÃO N.º 62

NOME: S. P. S.

SEXO: masculino.

COR: preta.

NACIONALIDADE: brasileira.

IDADE: 69 anos.

PROCEDÊNCIA: Departam. de Anatomia Patológica da Faculdade de Medicina da Universidade de São Paulo.

Distância bi-ilio cristal.....	28,2 cm.
Distância xifo-pública.....	34,5 cm.
Comprimento do colo sigmóide.....	28,0 cm.
Mobilidade do colo sigmóide.....	proximal fixo; distal móvel.
Altura do meso-sigmóideo.....	2,0 cm.
Origem da A. m. i. na aorta.....	anterior, linha média.
Projeção vertebral da origem da A. m. i.....	terço caudal de L ₃ .
Distância do ponto crítico suposto ao plano do promontório.....	1,2 cm.
Distância do nível real do ponto crítico ao nível suposto.....	+ 6,4 cm.
Distância do nível (x) à origem da última A. sigmóidea.....	prejudicado.
Distância do nível (x) à divisão da A. h. s.....	prejudicado.
Distância da origem da A. m. i. à origem da A. c. e.....	4,0 cm.
Distância da origem da A. m. i. ao ponto crítico.....	13,2 cm.
Distância da origem da A. m. i. à divisão da A. h. s.....	15,0 cm.
Distância da origem da última A. sigmóidea ou tronco das sigmóideas à divisão da A. h. s.....	7,0 cm.
Distância da última A. sigmóidea ao ponto crítico.....	5,2 cm.
Colaterais da A. m. i.....	$\left\{ \begin{array}{l} \text{Tr.c.s.} \rightarrow \text{A.c.e. } (r_1, r_2) + \text{A.s.}_1 \\ \text{A.s.}_2 \\ \text{A.s.}_3 \end{array} \right.$
Distância entre a origem das colaterais da A. m. i.	$\left\{ \begin{array}{l} \text{Tr.c.s.} - \text{A.s.}_2 = 1,9 \text{ cm.} \\ \text{A.s.}_2 - \text{A.s.}_3 = 2,0 \text{ cm.} \end{array} \right.$
Modo de terminação das colaterais da A. m. i. e da A. h. s.....	formando arcadas.
Número de arcadas arteriais.....	$\left\{ \begin{array}{l} 6 \text{ primárias.} \\ \text{numerosas secundárias.} \\ \text{terciárias.} \end{array} \right.$
Arcada entre a primeira A. sigmóidea e a A. c. e....	+ com r_1, r_2 intercalados.
Comprimento das árcadas primárias.....	$\left\{ \begin{array}{l} \text{A.c.e.} - r_1 = 11,2 \text{ cm.} \\ r_1 - r_2 = 4,9 \text{ cm.} \\ r_1 - \text{A.s.}_1 = 7,8 \text{ cm.} \\ \text{A.s.}_1 - \text{A.s.}_2 = 12,7 \text{ cm.} \\ \text{A.s.}_2 - \text{A.s.}_3 = 5,0 \text{ cm.} \\ \text{A.s.}_3 - \text{P.c.} = 5,8 \text{ cm.} \end{array} \right.$
Comprimento das colaterais da A. m. i.....	$\left\{ \begin{array}{l} \text{A.c.e.} = 9,5 \text{ cm.} \\ r_1 = 1,5 \text{ cm.} \\ r_1 = 2,3 \text{ cm.} \\ \text{A.s.}_1 = 1,4 \text{ cm.} \\ \text{A.s.}_2 = 4,2 \text{ cm.} \\ \text{A.s.}_3 = 3,4 \text{ cm.} \end{array} \right.$
Distância do ponto de divisão das colaterais da A. m. i. ao intestino.....	$\left\{ \begin{array}{l} \text{A.c.e.} = \text{prejudicado.} \\ r_1 = 1,4 \text{ cm.} \\ r_1 = 1,2 \text{ cm.} \\ \text{A.s.}_1 = 3,8 \text{ cm.} \\ \text{A.s.}_2 = 2,0 \text{ cm.} \\ \text{A.s.}_3 = 1,2 \text{ cm.} \end{array} \right.$
A. sigmóidea ima { Diâmetro externo	0,20 cm.
Situação do ponto crítico em relação ao S. r. s....	na A. h. s.
Origem e distrib. das Aa. r. s. { 4 provenientes de }	na metade cranial.
Divisão da A. h. s. em relação ao S. r. s.....	3 distribuem-se à metade cranial 1 distribue-se à metade caudal. bifurca-se no limite cranial do I. R.



FIG. 62

OBSERVAÇÃO N.º 63

NOME: A. Z.
SEXO: feminino.
Côr: branca.
NACIONALIDADE: lituana.

IDADE: 40 anos.
PROCEDÊNCIA: Departam. de Anatomia Patológica da Faculdade de Medicina da Universidade de São Paulo.

Distância bi-fílo cristal	32,2 cm.
Distância xifo-púbica	36,0 cm.
Comprimento do colo sigmóide	45,8 cm.
Mobilidade do colo sigmóide	móvel.
Altura do meso-sigmóideo	12,2 cm.
Origem da A. m. i. na aorta	anterior, linha média.
Projeção vertebral da origem da A. m. i.	térço cranial de L ₅ .
Distância do ponto crítico suposto ao plano do promontório	0.
Distância do nível real do ponto crítico ao nível suposto	+ 3,4 cm.
Distância do nível (x) à origem da última A. sigmóidea	entre A.s. ₃ - A.s. ₄
Distância do nível (x) à divisão da A. h. s.	0.
Distância da origem da A. m. i. à origem da A. c. e.	4,4 cm.
Distância da origem da A. m. i. ao ponto crítico	11,9 cm.
Distância da origem da A. m. i. à divisão da A. h. s.	10,1 cm.
Distância da origem da última A. sigmóidea ou tronco das sigmóideas à divisão da A. h. s.	5,5 cm.
Distância da última A. sigmóidea ao ponto crítico	7,6 cm.
Colaterais da A. m. i.	{ Tr.c.s. → A.c.e. + A.s. ₁ Tr.s. → A.s. ₂ + A.s. ₃
Distância entre a origem das colaterais da A. m. i.	0.
Modo de terminação das colaterais da A. m. i. e da A. h. s.	formando arcadas.
Número de arcadas arteriais	{ 5 primárias. numerosas secundárias.
Arcada entre a primeira A. sigmóidea e a A. c. e.	+
Comprimento das arcadas primárias	{ A.c.e. - A.s. ₁ — 9,7 cm. A.s. ₁ - A.s. ₂ — 11,0 cm. A.s. ₂ - A.s. ₃ — 12,0 cm. A.s. ₃ - P.c. — 7,2 cm.
Comprimento das colaterais da A. m. i.	{ A.c.e. — 7,5 cm. A.s. ₁ — 4,5 cm. A.s. ₂ — 4,3 cm. A.s. ₃ — 6,1 cm.
Distância do ponto de divisão das colaterais da A. m. i. ao intestino	{ A.c.e. — 1,9 cm. A.s. ₁ — 2,6 cm. A.s. ₂ — 6,5 cm. A.s. ₃ — 2,8 cm.
A. sigmóidea ima { Diâmetro externo	0,15 cm.
	Desembocadura
Situação do ponto crítico em relação ao S. r. s.	no r. e. no limite cranial.
Origem e distrib. das Aa. r. s.	{ 4 provenientes de uma arcada entre A.s.i. e o r. e.
Divisão da A. h. s. em relação ao S. r. s.	3 distribuem-se à metade cranial 1 distribue-se à metade caudal. bifurca-se no limite cranial.

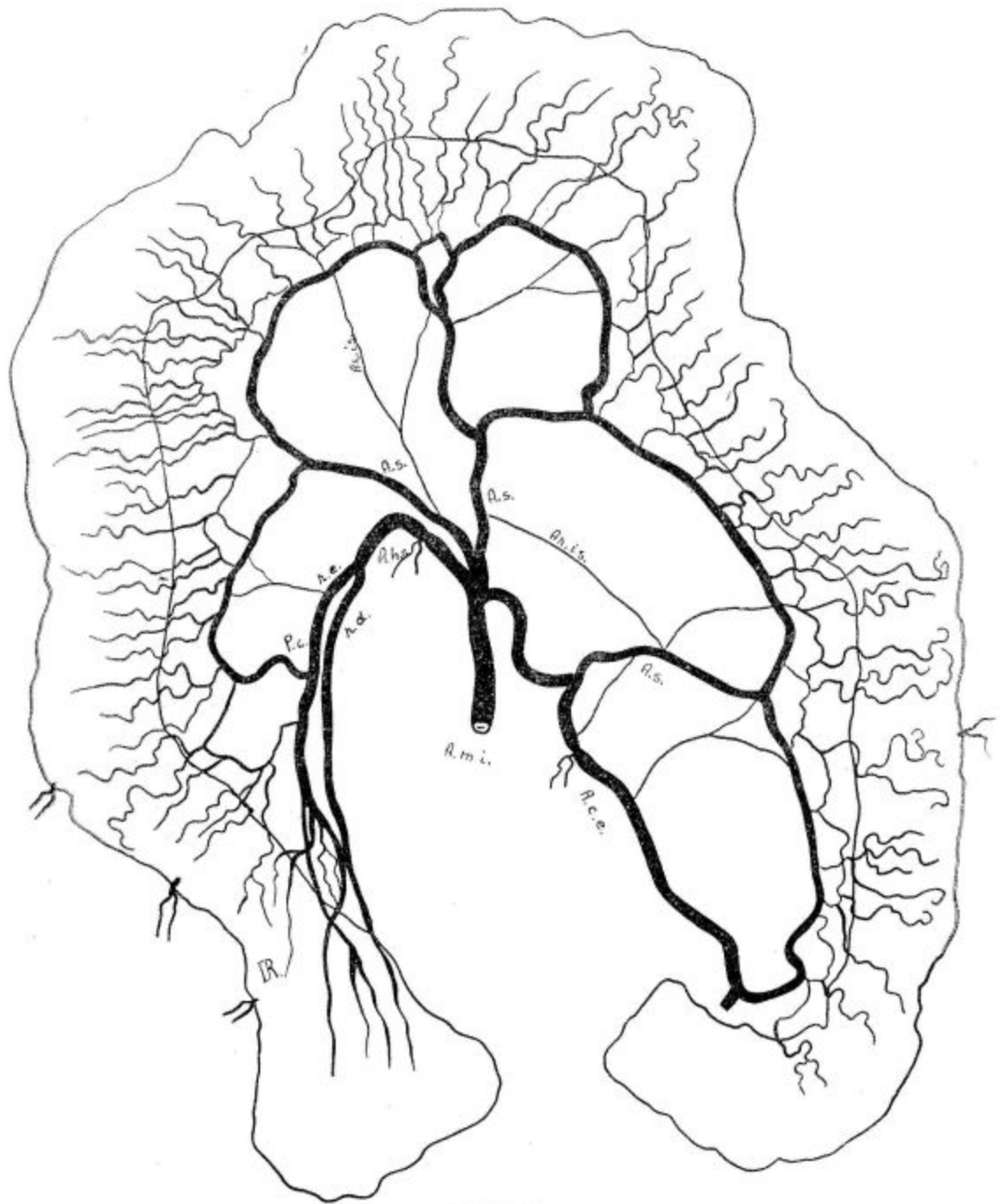


FIG. 63

OBSERVAÇÃO N.º 65

NOME: M. A. L.
 SEXO: feminino.
 CÔR: branca.
 NACIONALIDADE: portuguesa.

IDADE: 50 anos.
 PROCEDÊNCIA: Departam. de Anatomia Patológica da Faculdade de Medicina da Universidade de São Paulo.

Distância bi-fílio cristal.....	29,5 cm.
Distância xifo-pública.....	32,0 cm.
Comprimento do colo sigmóide.....	49,8 cm.
Mobilidade do colo sigmóide.....	proximal fixo; distal móvel. 6,0 cm.
Altura do meso-sigmóideo.....	antero-lateral esquerda, terço caudal de L ₂ .
Origem da A. m. i. na aorta.....	
Projeção vertebral da origem da A. m. i.....	
Distância do ponto crítico suposto ao plano do promontório.....	— 2,8 cm.
Distância do nível real do ponto crítico ao nível suposto.....	+ 1,5 cm.
Distância do nível (x) à origem da última A. sigmóidea.....	3,7 cm.
Distância do nível (x) à divisão da A. h. s.....	4,6 cm.
Distância da origem da A. m. i. à origem da A. c. e.....	3,4 cm.
Distância da origem da A. m. i. ao ponto crítico.....	12,8 cm.
Distância da origem da A. m. i. à divisão da A. h. s.....	11,5 cm.
Distância da origem da última A. sigmóidea ou tronco das sigmóideas à divisão da A. h. s.....	8,2 cm.
Distância da última A. sigmóidea ao ponto crítico.....	9,2 cm.
Colaterais da A. m. i.....	{ A.c.e. Tr.s. → (A.s. ₁ , A.s. ₄) A.s. ₂ + A.s. ₃
Distância entre a origem das colaterais da A. m. i.....	0.
Modo de terminação das colaterais da A. m. i. e da A. h. s.....	formando arcadas.
Número de arcadas arteriais.....	{ 5 primárias. várias secundárias.
Arcada entre a primeira A. sigmóidea e a A. c. e.....	+
Comprimento das arcadas primárias.....	{ A.c.e. — A.s. ₁ — 14,4 cm. A.s. ₁ — A.s. ₂ — 12,6 cm. A.s. ₂ — A.s. ₃ — 3,5 cm. A.s. ₃ — A.s. ₄ — 4,8 cm. A.s. ₄ — P.c. — 9,8 cm.
Comprimento das colaterais da A. m. i.....	{ A.c.e. — 10,3 cm. A.s. ₁ — 4,3 cm. A.s. ₂ — 3,3 cm. A.s. ₃ — 5,5 cm. A.s. ₄ — ?
Distância do ponto de divisão das colaterais da A. m. i. ao intestino.....	{ A.c.e. — 2,3 cm. A.s. ₁ — 4,3 cm. A.s. ₂ — 3,3 cm. A.s. ₃ — 3,5 cm. A.s. ₄ — 1,9 cm.
A. sigmóidea ima { Diâmetro externo.....	0,15 cm.
	Desembocadura.....
Situação do ponto crítico em relação ao S. r. s.....	no r. e.
Origem e distrib. das Aa. r. s.. 2 provindas da A. s.i., distribuem-se à metade cranial.	na metade cranial.
Divisão da A. h. s. em relação ao S. r. s.....	bifurca-se no limite cranial.

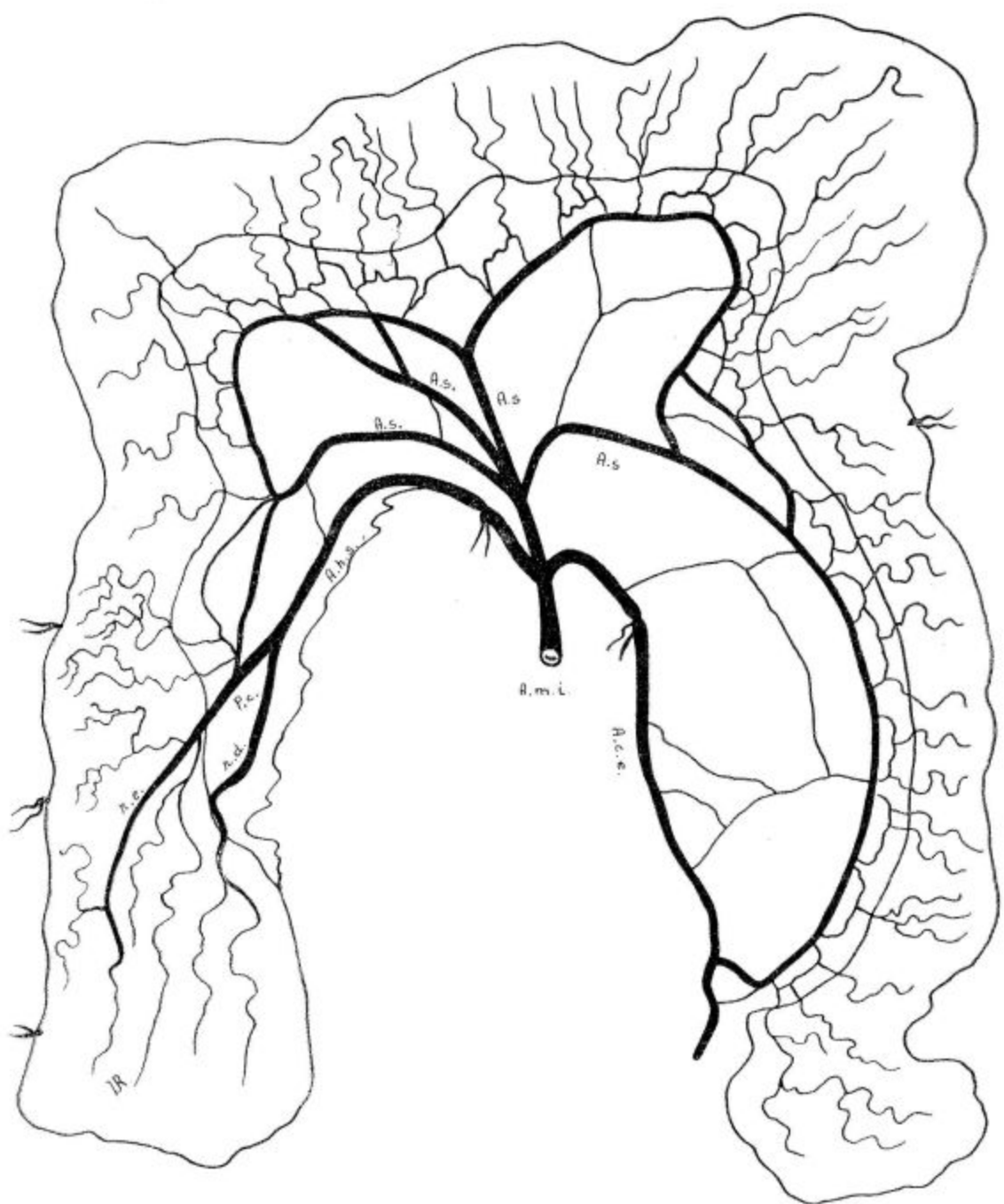


FIG. 65

OBSERVAÇÃO N.º 66

NOME: M. A. B. S.	IDADE: 46 anos.
SEXO: masculino.	PROCEDÊNCIA: Departam. de Anatomia
COR: branca.	Patológica da Faculdade de Medicina
NACIONALIDADE: brasileira.	da Universidade de São Paulo.
Distância bi-fílio cristal.....	29,3 cm.
Distância xifo-pública.....	35,0 cm.
Comprimento do colo sigmóide.....	42,5 cm.
Mobilidade do colo sigmóide.....	proximal fixo; distal móvel. 5,5 cm.
Altura do meso-sigmóideo.....	anterior linha média.
Origem da A. m. i. na aorta.....	fibrocartilagem entre L ₃ - L ₄ .
Projeção vertebral da origem da A. m. i.....	0.
Distância do ponto crítico suposto ao plano do promontório.....	0.
Distância do nível real do ponto crítico ao nível suposto.....	ao nível de A.s. ₄ .
Distância do nível (x) à origem da última A. sigmóidea.....	8,5 cm.
Distância do nível (x) à divisão da A. h. s.....	3,3 cm.
Distância da origem da A. m. i. à origem da A. c. e.....	8,6 cm.
Distância da origem da A. m. i. ao ponto crítico.....	13,9 cm.
Distância da origem da A. m. i. à divisão da A. h. s.....	14,1 cm.
Distância da origem da última A. sigmóidea ou tronco das sigmóideas à divisão da A. h. s.....	3,0 cm.
Distância da última A. sigmóidea ao ponto crítico	
Colaterais da A. m. i.	{ Tr.c.s. → A.c.e. (r ₁ . r ₂ . r ₃) + Tr.s. → (A.s. ₃) A.s. ₁ + A.s. ₂ A.s. ₄
Distância entre a origem das colaterais da A. m. i.	Tr.c.s. - A.s. ₄ — 2,7 cm.
Modo de terminação das colaterais da A. m. i. e d.....	{ formando arcadas. A. h. s..... 1 isolada.
Número de arcadas arteriais.....	{ 7 primárias. numerosas secundárias.
Arcada entre a primeira A. sigmóidea e a A. c. e....	+ com r ₁ . r ₂ . r ₃ , intercalados.
Comprimento das arcadas primárias.....	{ A.c.e. — r ₁ — 11,2 cm. r ₁ — r ₂ — 7,7 cm. r ₂ — r ₃ — 10,7 cm. r ₃ — A.s. ₁ — 8,5 cm. A.s. ₁ — A.s. ₂ — 10,4 cm. A.s. ₃ — A.s. ₄ — 11,4 cm. A.s. ₄ — P.c. — 3,8 cm.
Comprimento das colaterais da A. m. i.....	{ A.c.e. — 15,4 cm. r ₁ — 8,1 cm. r ₂ — 5,8 cm. A.s. ₁ — 6,2 cm. A.s. ₂ — 2,0 cm. A.s. ₃ — 1,4 cm. A.s. ₄ — 2,1 cm.
Distância do ponto de divisão das colaterais da A. m. i. ao intestino.....	{ A.c.e. — 9,5 cm. r ₁ — 2,0 cm. r ₂ — 1,7 cm. r ₃ — 3,8 cm. A.s. ₁ — 3,2 cm. A.s. ₂ — 6,8 cm. A.s. ₃ — 7,0 cm. A.s. ₄ — 4,1 cm.
A. sigmóidea ima {	Diâmetro externo 0,15 cm.
	Desembocadura na A. h. s.
Situação do ponto crítico em relação ao S. r. s....	acima do limite cranial.
Origem e distrib. das Aa. r. s. {	2 provenientes da A. s. i., distribuem-se à metade cranial. 1 proveniente de A. h. s., distribue-se à metade caudal.
Divisão da A. h. s. em relação ao S. r. s.....	bifurca-se na metade caudal.

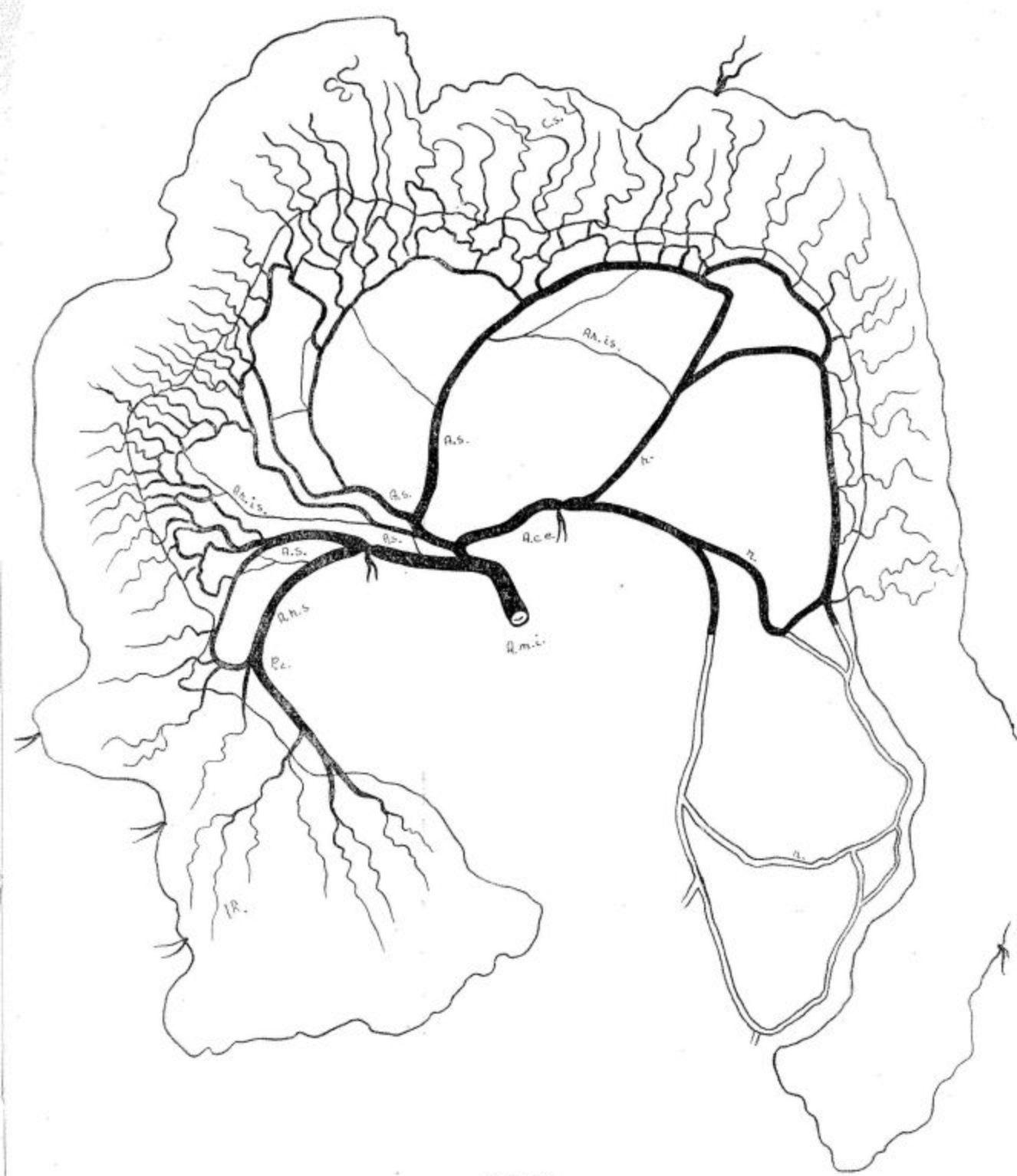


FIG. 66

OBSERVAÇÃO N.º 67

NOME: S. T. N.

SEXO: masculino.

CÔR: branca.

NACIONALIDADE: brasileira.

IDADE: 42 anos.

PROCEDÊNCIA: Departam. de Anatomia Patológica da Faculdade de Medicina da Universidade de São Paulo.

Distância bi-ílio cristal.....	25,5 cm.
Distância xifo-pública.....	34,0 cm.
Comprimento do colo sigmóide.....	30,7 cm.
Mobilidade do colo sigmóide.....	proximál fixo; distal móvel. 5,0 cm.
Altura do meso-sigmóideo.....	ântero-lateral esquerda.
Origem da A. m. i. na aorta.....	térço caudal de L ₃ .
Projeção vertebral da origem da A. m. i.....	— 0,4 cm.
Distância do ponto crítico suposto ao plano do promontório.....	+ 4,6 cm.
Distância do nível real do ponto crítico ao nível suposto.....	entre A.s. ₂ e A.s. ₃ .
Distância do nível (x) à origem da última A. sigmóidea.....	7,0 cm.
Distância da origem da A. m. i. à origem da A. c. e.....	3,0 cm.
Distância da origem da A. m. i. ao ponto crítico.....	12,0 cm.
Distância da origem da A. m. i. à divisão da A. h. a.....	15,0 cm.
Distância da origem da última A. sigmóidea ou tronco das sigmóideas à divisão da A. h. s.....	3,9 cm.
Distância da última A. sigmóidea ao ponto crítico	2,5 cm.
Colaterais da A. m. i.....	<div style="display: flex; align-items: center;"> A.c.e. <div style="border-left: 1px solid black; margin-right: 10px;"></div> Tr.s. → A.s.₁ + A.s.₂, <div style="border-left: 1px solid black; margin-right: 10px;"></div> A.s.₃ <div style="border-left: 1px solid black; margin-right: 10px;"></div> A.s.₄ </div>
Distância entre a origem das colaterais da A. m. i.	<div style="display: flex; align-items: center;"> A.c.e. - Tr.s. — 0,6 cm. <div style="border-left: 1px solid black; margin-right: 10px;"></div> Tr.s. — A.s.₃ — 4,6 cm. <div style="border-left: 1px solid black; margin-right: 10px;"></div> A.s.₃ — A.s.₄ — 2,1 cm. </div>
Modo de terminação das colaterais da A. m. i. e da A. h. s.....	<div style="display: flex; align-items: center;"> formando arcadas. <div style="border-left: 1px solid black; margin-right: 10px;"></div> 1 isolada. </div>
Número de arcadas arteriais.....	<div style="display: flex; align-items: center;"> 5 primárias. <div style="border-left: 1px solid black; margin-right: 10px;"></div> numerosas secundáriás. <div style="border-left: 1px solid black; margin-right: 10px;"></div> algumas terciárias. </div>
Arcada entre a primeira A. sigmóidea e a A. c. e... ..	+
Comprimento das arcadas primárias.....	<div style="display: flex; align-items: center;"> A.c.e. — A.s.₁ — 12,5 cm. <div style="border-left: 1px solid black; margin-right: 10px;"></div> A.s.₁ — A.s.₂ — 6,2 cm. <div style="border-left: 1px solid black; margin-right: 10px;"></div> A.s.₂ — A.s.₃ — 3,9 cm. <div style="border-left: 1px solid black; margin-right: 10px;"></div> A.s.₃ — A.s.₄ — 2,7 cm. <div style="border-left: 1px solid black; margin-right: 10px;"></div> A.s.₄ — P.c. — 2,9 cm. </div>
Comprimento das colaterais da A. m. i.....	<div style="display: flex; align-items: center;"> A.c.e. — 11,4 cm. <div style="border-left: 1px solid black; margin-right: 10px;"></div> A.s.₁ — 0,4 cm. <div style="border-left: 1px solid black; margin-right: 10px;"></div> A.s.₂ — 2,4 cm. <div style="border-left: 1px solid black; margin-right: 10px;"></div> A.s.₃ — 0,4 cm. <div style="border-left: 1px solid black; margin-right: 10px;"></div> A.s.₄ — 0,6 cm. </div>
Distância do ponto de divisão das colaterais da A. m. i. ao intestino.....	<div style="display: flex; align-items: center;"> A.c.e. — 1,4 cm. <div style="border-left: 1px solid black; margin-right: 10px;"></div> A.s.₁ — 4,2 cm. <div style="border-left: 1px solid black; margin-right: 10px;"></div> A.s.₂ — 3,6 cm. <div style="border-left: 1px solid black; margin-right: 10px;"></div> A.s.₃ — 1,8 cm. <div style="border-left: 1px solid black; margin-right: 10px;"></div> A.s.₄ — 1,5 cm. </div>
A. sigmóidea ima { Diâmetro externo	0,20 cm.
Desembocadura	na A. h. s.
Situação do ponto crítico em relação ao S. r. s....	na metade caudal.
Origem e distrib. das Aa. r. s..	<div style="display: flex; align-items: center;"> 3 provenientes da arcada A.s.₃ — A.s.₄, distribuem-se à metade cranial. <div style="border-left: 1px solid black; margin-right: 10px;"></div> 2 provenientes da A. s. i..... <div style="border-left: 1px solid black; margin-right: 10px;"></div> 1 proveniente da A. h. s..... <div style="border-left: 1px solid black; margin-right: 10px;"></div> } distribuem-se à metade caudal </div>
Divisão da A. h. s. em relação ao S. r. s.....	bifurca-se na metade caudal.

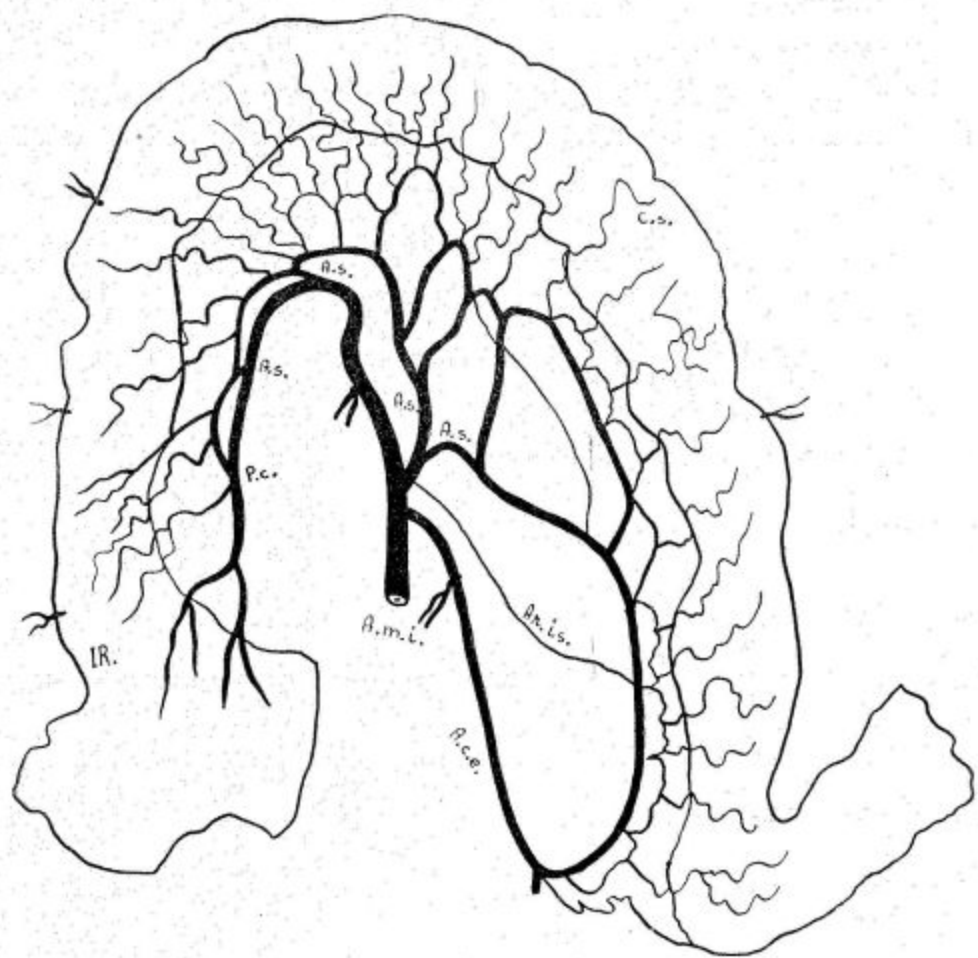


FIG. 67

OBSERVAÇÃO N.º 68

NOME: A. G.

SEXO: masculino.

CÓR: branca.

NACIONALIDADE: italiana.

IDADE: 75 anos.

PROCEDÊNCIA: Departam. de Anatomia Patológica da Faculdade de Medicina da Universidade de São Paulo.

Distância biilio cristal.....	29,0 cm.
Distância xifo-pública.....	33,6 cm.
Comprimento do colo sigmóide.....	65,4 cm.
Mobilidade do colo sigmóide.....	aderências ao peritônio parietal posterior. 6,5 cm.
Altura do meso-sigmóideo.....	anterior, linha média. terço caudal de L ₅ .
Origem da A. m. i. na aorta.....	+ 2,6 cm.
Projeção vertebral da origem da A. m. i.....	+ 2,0 cm.
Distância do ponto crítico suposto ao plano do promontório.....	prejudicado.
Distância do nível real do ponto crítico ao nível suposto.....	prejudicado.
Distância do nível (x) à origem da última A. sigmóidea.....	2,5 cm.
Distância do nível (x) à divisão da A. h. s.....	10,8 cm.
Distância da origem da A. m. i. à origem da A. c. e.....	14,1 cm.
Distância da origem da A. m. i. ao ponto crítico.....	4,5 cm.
Distância da origem da A. m. i. à divisão da A. h. s.....	1,2 cm.
Distância da origem da última A. sigmóidea ou tronco das sigmóideas à divisão da A. h. s.....	
Distância da última A. sigmóidea ao ponto crítico.....	
Colaterais da A. m. i.....	$\left\{ \begin{array}{l} \text{Tr.c.s.} \rightarrow (\text{A.s.}_3 + \text{A.s.}_4) \text{ A.c.e. } (\text{r}_1) + \text{Tr.} \rightarrow \text{A.s.}_1 + \text{A.s.}_2 \\ \text{A.s.}_5 \\ \text{A.s.}_6 \\ \text{A.s.}_7 \end{array} \right.$
Distância entre a origem das colaterais da A. m. i.....	$\left\{ \begin{array}{l} \text{Tr.c.s.} - \text{A.s.}_5 = 1,4 \text{ cm.} \\ \text{A.s.}_5 - \text{A.s.}_6 = 4,8 \text{ cm.} \\ \text{A.s.}_6 - \text{A.s.}_7 = 0,8 \text{ cm.} \end{array} \right.$
Modo de terminação das colaterais da A. m. i. e da A. h. s.....	formando arcadas.
Número de arcadas arteriais.....	$\left\{ \begin{array}{l} 8 \text{ primárias.} \\ \text{numerosas secundárias, algumas bem desenvolvidas.} \end{array} \right.$
Arcada entre a primeira A. sigmóidea e a A. c. e.....	+ com r ₁ intercalado.
Comprimento das arcadas primárias.....	$\left\{ \begin{array}{l} \text{A.c.e.} - \text{r}_1 = 8,2 \text{ cm.} \\ \text{r}_1 - \text{A.s.}_1 = 5,7 \text{ cm.} \\ \text{A.s.}_1 - \text{A.s.}_2 = 8,0 \text{ cm.} \\ \text{A.s.}_2 - \text{A.s.}_3 = 12,6 \text{ cm.} \\ \text{A.s.}_3 - \text{A.s.}_4 = 5,5 \text{ cm.} \\ \text{A.s.}_4 - \text{A.s.}_5 = 3,5 \text{ cm.} \\ \text{A.s.}_5 - \text{A.s.}_6 = 4,5 \text{ cm.} \\ \text{A.s.}_6 - \text{A.s.}_7 = 1,1 \text{ cm.} \\ \text{A.s.}_7 - \text{P.c.} = 2,7 \text{ cm.} \end{array} \right.$
Comprimento das colaterais da A. m. i.....	$\left\{ \begin{array}{l} \text{A.c.e.} = 3,2 \text{ cm.} \\ \text{r}_1 = 6,1 \text{ cm.} \\ \text{A.s.}_1 = 4,6 \text{ cm.} \\ \text{A.s.}_2 = 5,1 \text{ cm.} \\ \text{A.s.}_3 = 4,4 \text{ cm.} \\ \text{A.s.}_4 = 4,6 \text{ cm.} \\ \text{A.s.}_5 = 2,0 \text{ cm.} \\ \text{A.s.}_6 = 1,3 \text{ cm.} \\ \text{A.s.}_7 = 0,7 \text{ cm.} \end{array} \right.$
Distância do ponto de divisão das colaterais da A. m. i. ao intestino.....	$\left\{ \begin{array}{l} \text{A.c.e.} = 5,7 \text{ cm.} \\ \text{r}_1 = 7,8 \text{ cm.} \\ \text{A.s.}_1 = 3,5 \text{ cm.} \\ \text{A.s.}_2 = 2,1 \text{ cm.} \\ \text{A.s.}_3 = 4,7 \text{ cm.} \\ \text{A.s.}_4 = 3,2 \text{ cm.} \\ \text{A.s.}_5 = 4,2 \text{ cm.} \\ \text{A.s.}_6 = 3,2 \text{ cm.} \\ \text{A.s.}_7 = 2,8 \text{ cm.} \end{array} \right.$
A. sigmóidea ima.....	$\left\{ \begin{array}{l} \text{Diâmetro externo} = 0,10 \text{ cm.} \\ \text{Desembocadura} \text{ na A. h. s.} \end{array} \right.$
Situação do ponto crítico em relação ao S. r. s.....	no limite cranial.
Origem e distrib. das Aa. r. s.....	2 provenientes de A. s. i., distribuem-se à metade cranial.
Divisão da A. h. s. em relação ao S. r. s.....	bifurca-se na metade cranial.

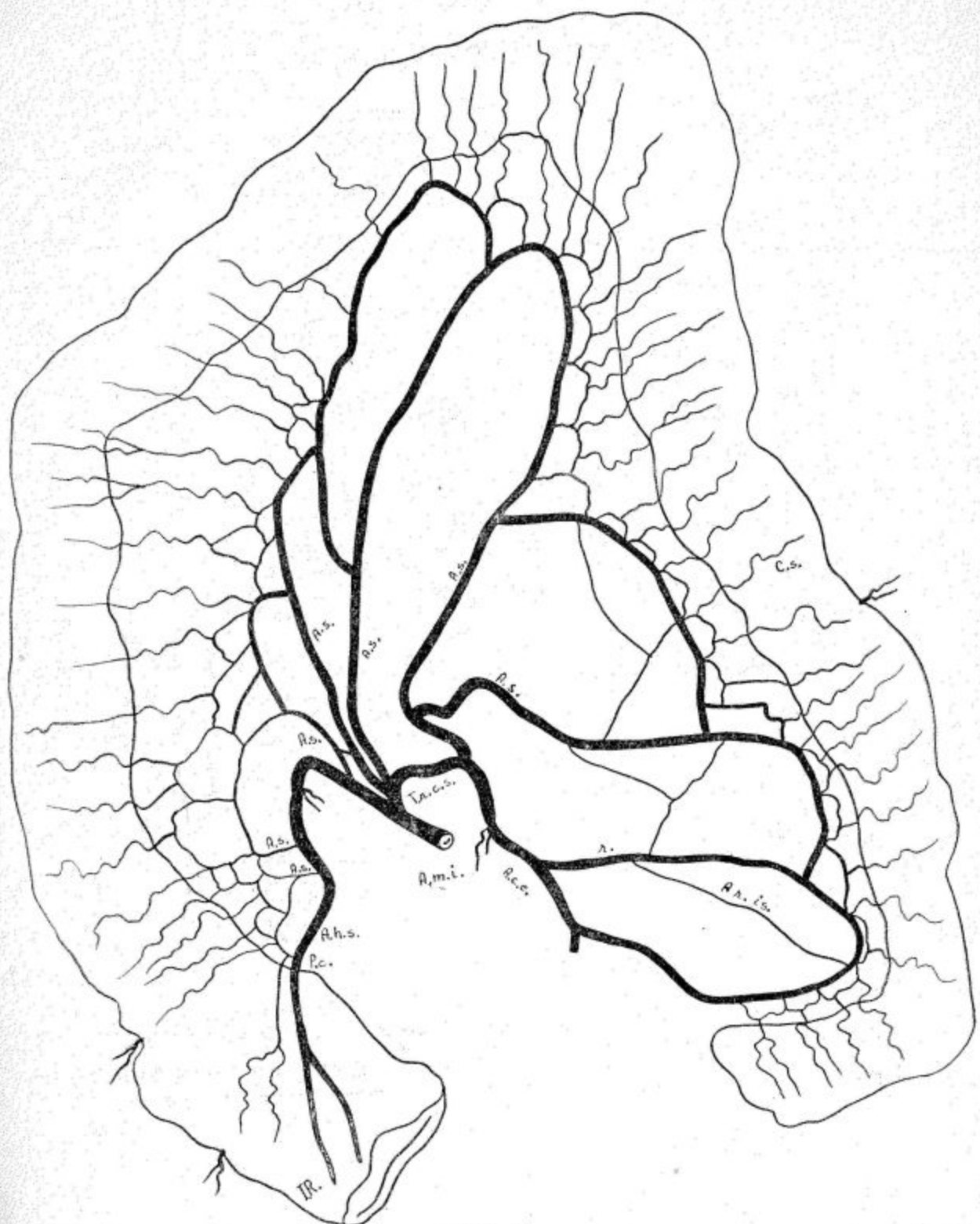


FIG. 68

OBSERVAÇÃO N.º 69

NOME: F. G.

SEXO: feminino.

COR: branca.

NACIONALIDADE: brasileira.

IDADE: 39 anos.

PROCEDÊNCIA: Departam. de Anatomia Patológica da Faculdade de Medicina da Universidade de São Paulo.

Distância bi-ílio cristal.....	31,0 cm.
Distância xifo-pública.....	34,7 cm.
Comprimento do colo sigmóide.....	50,5 cm.
Mobilidade do colo sigmóide.....	móvel.
Altura do meso-sigmóideo.....	12,0 cm.
Origem da A. m. i. na aorta.....	ântero-lateral esquerda.
Projeção vertebral da origem da A. m. i.	fibrocartilagem entre L ₃ e L ₄ .
Distância do ponto crítico suposto ao plano do promontório.....	0.
Distância do nível real do ponto crítico ao nível suposto.....	0.
Distância do nível (x) à origem da última A. sigmóidea.....	6,1 cm.
Distância do nível (x) à divisão da A. h. s.....	2,8 cm.
Distância da origem da A. m. i. à origem da A. c. e.....	2,9 cm.
Distância da origem da A. m. i. ao ponto crítico.....	8,9 cm.
Distância da origem da A. m. i. à divisão da A. h. s.....	11,6 cm.
Distância da origem da última A. sigmóidea ou tronco das sigmóideas à divisão da A. h. s.....	8,6 cm.
Distância da última A. sigmóidea ao ponto crítico.....	6,1 cm.
Colaterais da A. m. i.....	{ Tr.s. → A.s. ₁ + A.s. ₂ A.s. ₃
Distância entre a origem das colaterais da A. m. i.....	Tr.s. - A.s. ₃ = 6,1 cm.
Modo de terminação das colaterais da A. m. i. e da A. h. s.....	formando arcadas.
Número de arcadas arteriais.....	{ 2 primárias, numerosas secundárias.
Arcada entre a primeira A. sigmóidea e a A. c. e.....	—.
Comprimento das arcadas primárias.....	{ A.s. ₁ - A.s. ₂ = 12,9 cm. A.s. ₂ - A.s. ₃ = 9,1 cm.
Comprimento das colaterais da A. m. i.....	{ A.s. ₁ = 6,6 cm. A.s. ₂ = 3,7 cm. A.s. ₃ = 0,4 cm.
Distância do ponto de divisão das colaterais da A. m. i. ao intestino.....	{ A.s. ₁ = 3,0 cm. A.s. ₂ = 3,2 cm. A.s. ₃ = 2,4 cm.
A. sigmóidea ima {	Diâmetro externo —. Desembocadura —.
Situação do ponto crítico em relação ao S. r. s.....	no limite cranial.
Origem e distrib. das Aa. r. s. {	1 proveniente de uma arcada secundária sobre A. s. i., distribue-se à metade cranial. 1 proveniente de A. s. i., distribue-se à metade caudal.
Divisão da A. h. s. em relação ao S. r. s.....	bifurca-se no limite cranial do I. R.

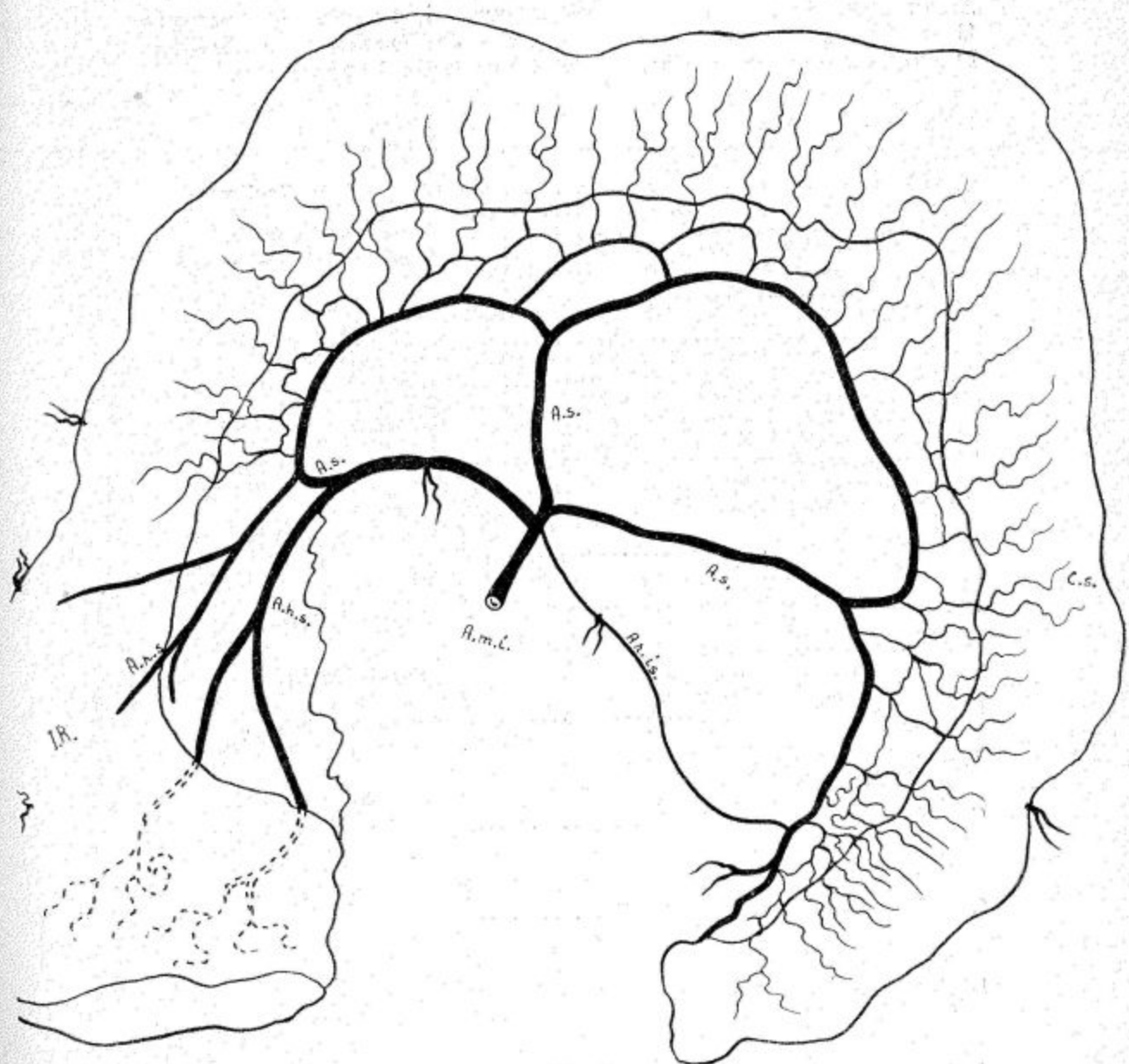


FIG. 69

OBSERVAÇÃO N.º 70

NOME: J. E. P.

SEXO: masculino.

COR: branca.

NACIONALIDADE: portuguesa.

IDADE: 71 anos.

PROCEDÊNCIA: Departam. de Anatomia Patológica da Faculdade de Medicina da Universidade de São Paulo.

Distância bi-ilio cristal.....	27,0 cm.
Distância xifo-púbica.....	28,0 cm.
Comprimento do colo sigmóide.....	39,5 cm.
Mobilidade do colo sigmóide.....	proximal fixo; distal móvel.
Altura do meso-sigmóideo.....	8,7 cm.
Origem da A. m. i. na aorta.....	ântero-lateral esquerda.
Projeção vertebral da origem da A. m. i.....	fibrocartilagem entre L ₅ e L ₆ .
Distância do ponto crítico suposto ao plano do promontório.....	0.
Distância do nível real do ponto crítico ao nível suposto.....	+ 1,4 cm.
Distância do nível (x) à origem da última A. sigmóidea.....	entre A.s. ₂ e A.s. ₃ .
Distância do nível (x) à divisão da A. h. s.....	9,1 cm.
Distância da origem da A. m. i. à origem da A. c. e.....	2,2 cm.
Distância da origem da A. m. i. ao ponto crítico.....	10,9 cm.
Distância da origem da A. m. i. à divisão da A. h. s.....	15,8 cm.
Distância da origem da última A. sigmóidea ou tronco das sigmóideas à divisão da A. h. s.....	6,8 cm.
Distância da última A. sigmóidea ao ponto crítico.....	1,8 cm.
Colaterais da A. m. i.....	{ Tr.c.s. → A.c.e. + A.s. ₁ A.s. ₂ A.s. ₃
Distância entre a origem das colaterais da A. m. i. e da A. h. s.....	{ Tr.c.s. - A.s. ₃ — 3,2 cm. A.s. ₂ - A.s. ₃ — 3,1 cm.
Número de arcadas arteriais.....	formando arcadas. 4 primárias, várias secundárias, terciárias e quaternárias.
Arcada entre a primeira A. sigmóidea e a A. c. e.....	+
Comprimento das arcadas primárias.....	{ A.c.e. - A.s. ₁ — 17,0 cm. A.s. ₁ - A.s. ₂ — 10,7 cm. A.s. ₂ - A.s. ₃ — 5,5 cm. A.s. ₃ - P.c. — 4,7 cm.
Comprimento das colaterais da A. m. i.....	{ A.c.e. — 9,4 cm. A.s. ₁ — 2,5 cm. A.s. ₂ — 6,1 cm. A.s. ₃ — 1,0 cm.
Distância do ponto de divisão das colaterais da A. m. i. ao intestino.....	{ A.c.e. — 2,2 cm. A.s. ₁ — 6,8 cm. A.s. ₂ — 2,5 cm. A.s. ₃ — 4,0 cm.
A. sigmóidea ima { Diâmetro externo.....	0,20 cm.
Situação do ponto crítico em relação ao S. r. s.....	na A. h. s.
Origem e distrib. das Aa. r. s. { 3 provenientes da }	na metade cranial.
Divisão da A. h. s. em relação ao S. r. s.....	2 distribuem-se à metade cranial 1 distribue-se à metade caudal. bifurca-se na metade caudal.

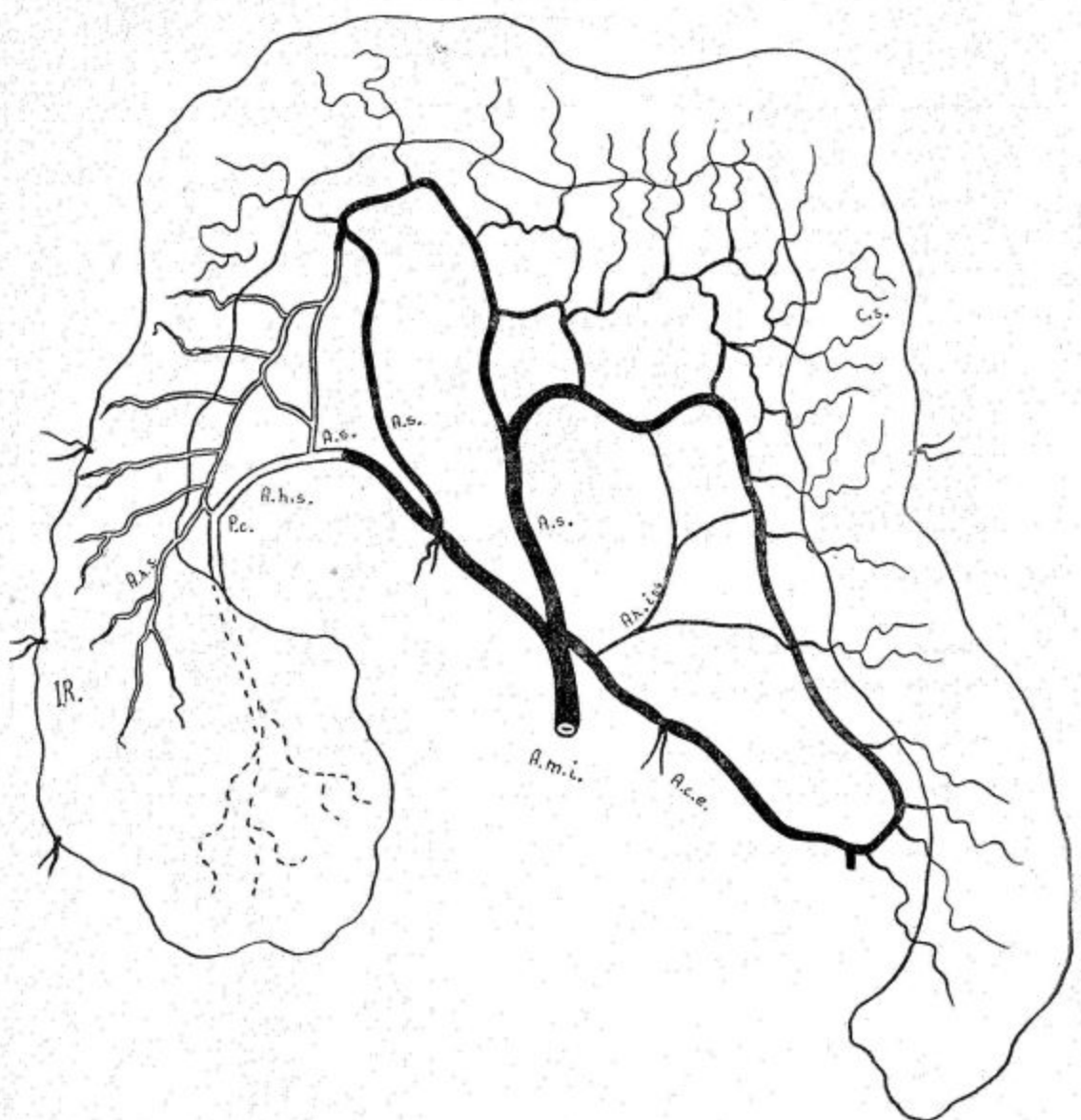


FIG. 70

OBSERVAÇÃO N.º 71

NOME: J. P.

SEXO: masculino.

COR: parda.

NACIONALIDADE: brasileira.

IDADE: 22 anos.

PROCEDÊNCIA: Departam. de Anatomia Patológica da Faculdade de Medicina da Universidade de São Paulo.

Distância bi-ílio cristal.....	28,7 cm.
Distância xifo-pública.....	38,7 cm.
Comprimento do colo sigmóide.....	52,2 cm.
Mobilidade do colo sigmóide.....	proximal fixo; distal móvel.
Altura do meso-sigmóideo.....	10,0 cm.
Origem da A. m. i. na aorta.....	ântero-lateral esquerda.
Projeção vertebral da origem da A. m. i.....	fibrocartilagem entre e L ₃ L ₄ .
Distância do ponto crítico suposto ao plano do promontório.....	0.
Distância do nível real do ponto crítico ao nível suposto.....	+ 4,2 cm.
Distância do nível (x) à origem da última A. sigmóidea.....	2,8 cm.
Distância do nível (x) à divisão da A. h. s.....	2,8 cm.
Distância da origem da A. m. i. à origem da A. c. e.....	1,8 cm.
Distância da origem da A. m. i. ao ponto crítico.....	10,1 cm.
Distância da origem da A. m. i. à divisão da A. h. s.....	13,8 cm.
Distância da origem da última A. sigmóidea ou tronco das sigmóideas à divisão da A. h. s.....	11,3 cm.
Distância da última A. sigmóidea ao ponto crítico.....	7,5 cm.
Colaterais da A. m. i.....	{ Tr.c.s. → A.c.e. . A.s. ₁ . Tr.s. → A.s. ₂ + A.s. ₃ . A.s. ₄
Distância entre a origem das colaterais da A. m. i.....	{ Tr.c.s. - Tr.s. — 1,3 cm. A.s. ₃ - A.s. ₄ — 7,5 cm.
Modo de terminação das colaterais da A. m. i. e da A. h. s.....	formando arcadas.
Número de arcadas arteriais.....	{ 4 primárias. numerosas secundárias.
Arcada entre a primeira A. sigmóidea e a A. c. e.....	+
Comprimento das arcadas primárias.....	{ A.c.e. - A.s. ₁ — 13,4 cm. A.s. ₁ - A.s. ₂ — 11,2 cm. A.s. ₂ - A.s. ₃ — 14,2 cm. A.s. ₃ - A.s. ₄ — 6,7 cm.
Comprimento das colaterais da A. m. i.....	{ A.c.e. — 9,4 cm. A.s. ₁ — 1,1 cm. A.s. ₂ — 5,4 cm. A.s. ₃ — 2,5 cm. A.s. ₄ — 0,4 cm.
Distância do ponto de divisão das colaterais da A. m. i. ao intestino.....	{ A.c.e. — 4,1 cm. A.s. ₁ — 6,9 cm. A.s. ₂ — 3,7 cm. A.s. ₃ — 4,1 cm. A.s. ₄ — 2,4 cm.
A. sigmóidea ima { Diâmetro externo.....	—,
	Desembocadura.....
Situação do ponto crítico em relação ao S. r. s.....	na metade cranial.
Origem e distrib. das Aa. r. s.....	{ 2 provenientes da arcada A.s. ₃ - A.s. ₄ , distribuem-se à metade cranial. 1 constituída pelo ramo distal de bifurcação de A.s. ₄ , distribue-se à metade caudal.
Divisão da A. h. s. em relação ao S. r. s.....	bifurca-se no limite cranial do I. R.

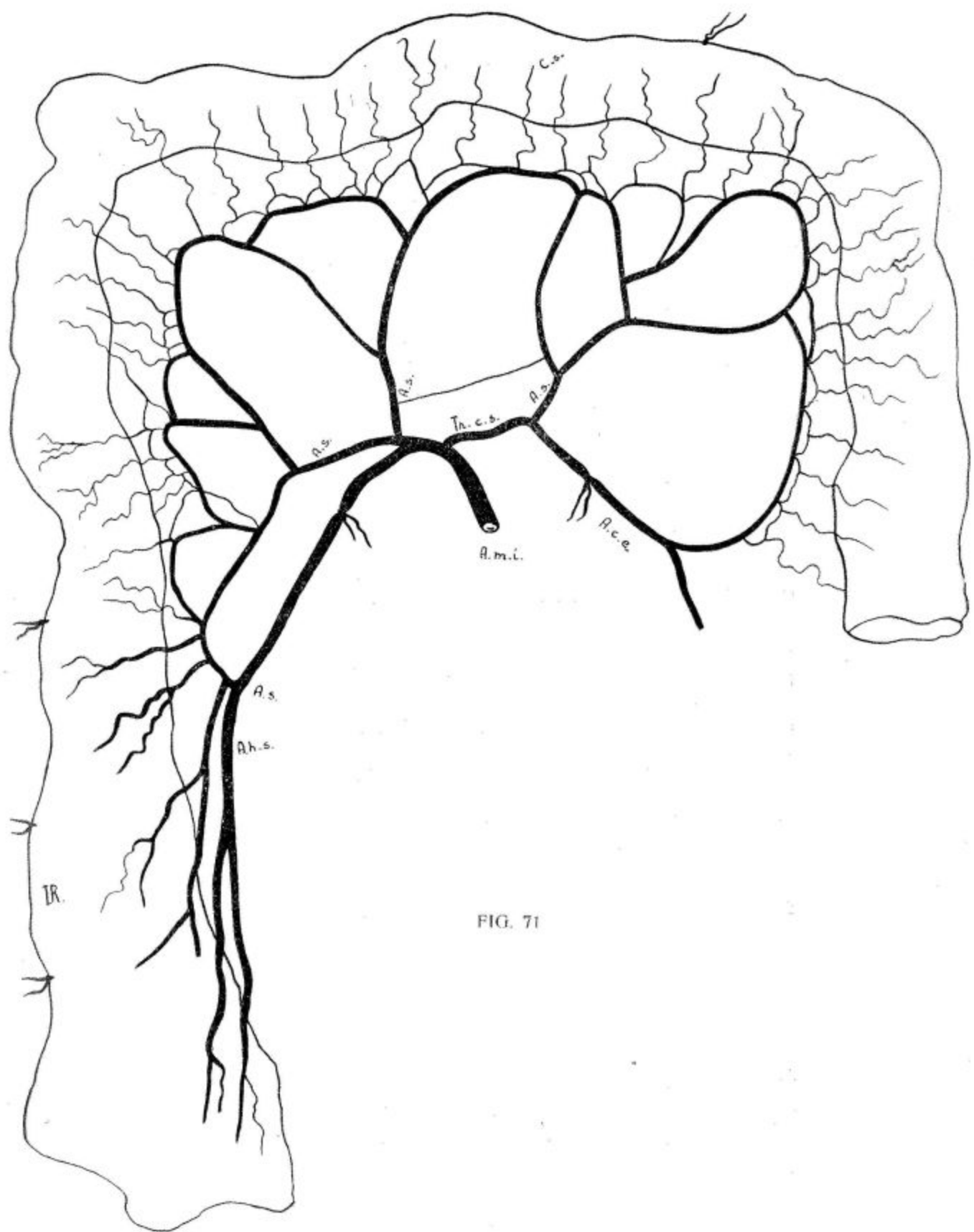


FIG. 71

OBSERVAÇÃO N.º 72

NOME: J. J. F.

SEXO: masculino.

COR: branca.

NACIONALIDADE: brasileira.

IDADE: 17 anos.

PROCEDÊNCIA: Departam. de Anatomia Patológica da Faculdade de Medicina da Universidade de São Paulo.

Distância bi-fílio cristal.....	26,7 cm.
Distância xifo-pública.....	27,7 cm.
Comprimento do colo sigmóide.....	53,5 cm.
Mobilidade do colo sigmóide.....	proximal fixo; distal móvel.
Altura do meso-sigmóideo.....	6,8 cm.
Origem da A. m. i. na aorta.....	ântero-lateral esquerda.
Projeção vertebral da origem da A. m. i.....	fibrocartilagem entre L ₃ e L ₄ .
Distância do ponto crítico suposto ao plano do promontório.....	0.
Distância do nível real do ponto crítico ao nível suposto.....	+ 2,7 cm.
Distância do nível (x) à origem da última A. sigmóidea.....	entre A.s. ₃ e A.s. ₄
Distância do nível (x) à divisão da A. h. s.....	6,6 cm.
Distância da origem da A. m. i. à origem da A. c. e.....	2,1 cm.
Distância da origem da A. m. i. ao ponto crítico.....	8,8 cm.
Distância da origem da A. m. i. à divisão da A. h. s.....	10,6 cm.
Distância da origem da A. m. i. à divisão da A. sigmóidea ou tronco das sigmóideas à divisão da A. h. s.....	5,1 cm.
Distância da última A. sigmóidea ao ponto crítico.....	3,3 cm.
Colaterais da A. m. i.....	{ Tr.c.s. → A.c.e. + A.s. ₁ Tr.s. → A.s. ₂ + A.s. ₃ A.s. ₄
Distância entre a origem das colaterais da A. m. i.....	{ Tr.c.s. - Tr.s. = 0,8 cm. Tr.s. - A.s. ₄ = 2,8 cm.
Modo de terminação das colaterais da A. m. i. e da A. h. s.....	formando arcadas.
Número de arcadas arteriais.....	{ 5 primárias. numerosas secundárias.
Arcada entre a primeira A. sigmóidea e a A. c. e... ..	+
Comprimento das arcadas primárias.....	{ A.c.e. - A.s. ₁ = 11,1 cm. A.s. ₁ - A.s. ₂ = 6,1 cm. A.s. ₂ - A.s. ₃ = 5,2 cm. A.s. ₃ - A.s. ₄ = 6,6 cm. A.s. ₄ - P.c. = 4,0 cm.
Comprimento das colaterais da A. m. i.....	{ A.c.e. = 5,3 cm. A.s. ₁ = 1,8 cm. A.s. ₂ = 2,7 cm. A.s. ₃ = 2,4 cm. A.s. ₄ = 0,8 cm.
Distância do ponto de divisão das colaterais da A. m. i. ao intestino.....	{ A.c.e. = 3,5 cm. A.s. ₁ = 3,9 cm. A.s. ₂ = 4,3 cm. A.s. ₃ = 3,7 cm. A.s. ₄ = 2,5 cm.
A. sigmóidea ima { Diâmetro externo	0,20 cm.
Situação do ponto crítico em relação ao S. r. s.....	na A. h. s. na metade cranial.
Origem e distrib. das Aa. r. s. { 4 provenientes de A. s. i., dis- tribuem-se.....	{ 3 à metade cranial. 1 à metade caudal.
Divisão da A. h. s. em relação ao S. r. s.....	bifurca-se no limite cranial do I. R.

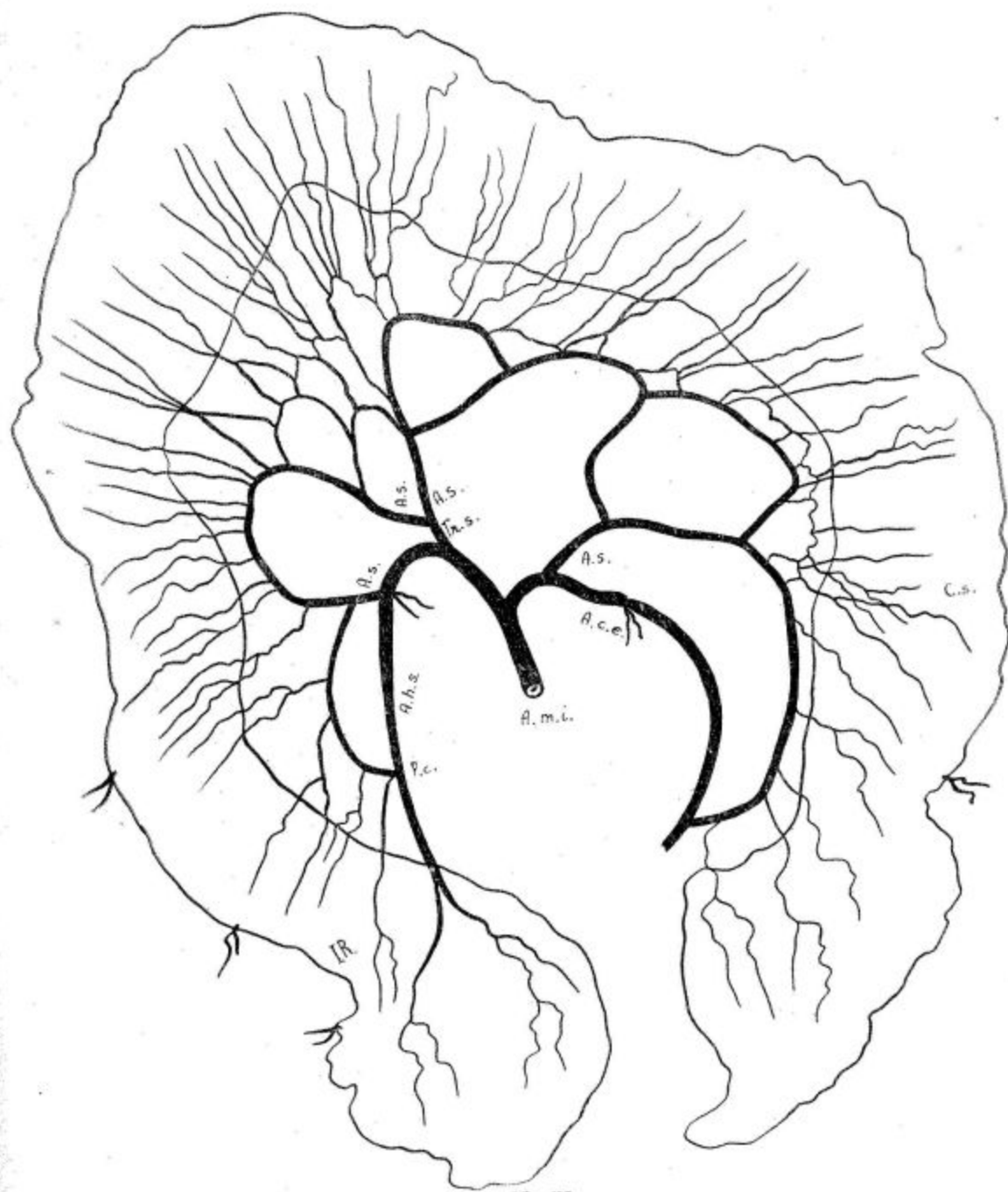


FIG. 72

OBSERVAÇÃO N.º 73

NOME: A. B.

SEXO: masculino.

COR: branca.

NACIONALIDADE: brasileira.

IDADE: 55 anos.

PROCEDÊNCIA: Departam. de Anatomia Patológica da Faculdade de Medicina da Universidade de São Paulo.

Distância bi-ílio cristal.....	29,4 cm.
Distância xifo-púbica.....	30,5 cm.
Comprimento do colo sigmóide.....	61,8 cm.
Mobilidade do colo sigmóide.....	móvel.
Altura do meso-sigmóideo.....	7,3 cm.
Origem da A. m. i. na aorta.....	ântero-lateral esquerda.
Projeção vertebral da origem da A. m. i.....	terço médio de L ₃ .
Distância do ponto crítico suposto ao plano do promontório.....	0.
Distância do nível real do ponto crítico ao nível suposto.....	0.
Distância do nível (x) à origem da última A. sigmóidea.....	2,2 cm.
Distância do nível (x) à divisão da A. h. s.....	6,8 cm.
Distância da origem da A. m. i. à origem da A. c. e.....	1,5 cm.
Distância da origem da A. m. i. ao ponto crítico.....	8,0 cm.
Distância da origem da A. m. i. à divisão da A. h. s.....	12,1 cm.
Distância da origem da última A. sigmóidea ou tronco das sigmóideas à divisão da A. h. s.....	4,8 cm.
Distância da última A. sigmóidea ao ponto crítico.....	8,1 cm.
Colaterais da A. m. i.....	$\left\{ \begin{array}{l} \text{Tr.c.s.} \rightarrow \text{A.c.e. } (r_1 + A.s.1) + A.s.2 \\ A.s.3 \\ A.s.4 \\ 1 \text{ A. r. s.} \end{array} \right.$
Distância entre a origem das colaterais da A. m. i.	$\left\{ \begin{array}{l} \text{Tr.c.s.} - A.s.3 = 0. \\ A.s.3 - A.s.4 = 1,5 \text{ cm.} \end{array} \right.$
Modo de terminação das colaterais da A. m. i. e da A. h. s.....	formando arcadas.
Número de arcadas arteriais.....	$\left\{ \begin{array}{l} 6 \text{ primárias.} \\ \text{numerosas secundárias.} \end{array} \right.$
Arcada entre a primeira A. sigmóidea e a A. c. e....	+
Comprimento das arcadas primárias.....	$\left\{ \begin{array}{l} \text{A.c.e.} - r_1 = 10,6 \text{ cm.} \\ r_1 - A.s.1 = 4,0 \text{ cm.} \\ A.s.1 - A.s.2 = 9,3 \text{ cm.} \\ A.s.2 - A.s.3 = 9,5 \text{ cm.} \\ A.s.3 - A.s.4 = 6,0 \text{ cm.} \\ A.s.4 - P.C. = 4,7 \text{ cm.} \end{array} \right.$
Comprimento das colaterais da A. m. i.....	$\left\{ \begin{array}{l} \text{A.c.e.} = 10,5 \text{ cm.} \\ r_1 = 5,8 \text{ cm.} \\ A.s.1 = 4,7 \text{ cm.} \\ A.s.2 = 2,6 \text{ cm.} \\ A.s.3 = 3,0 \text{ cm.} \\ A.s.4 = 1,4 \text{ cm.} \end{array} \right.$
Distância do ponto de divisão das colaterais da A. m. i. ao intestino.....	$\left\{ \begin{array}{l} \text{A.c.e.} = 3,5 \text{ cm.} \\ r_1 = 0,8 \text{ cm.} \\ A.s.1 = 2,1 \text{ cm.} \\ A.s.2 = 8,0 \text{ cm.} \\ A.s.3 = 8,0 \text{ cm.} \\ A.s.4 = 2,8 \text{ cm.} \end{array} \right.$
A. sigmóidea ima	$\left\{ \begin{array}{l} \text{Diâmetro externo} \\ \text{Desembocadura} \end{array} \right.$
Situação do ponto crítico em relação ao S. r. s.....	na A. h. s.
Origem e distrib. das Aa. r. s.	acima do limite cranial.
Divisão da A. h. s. em relação ao S. r. s.....	distribue-se à metade cranial. bifurca-se na metade cranial.

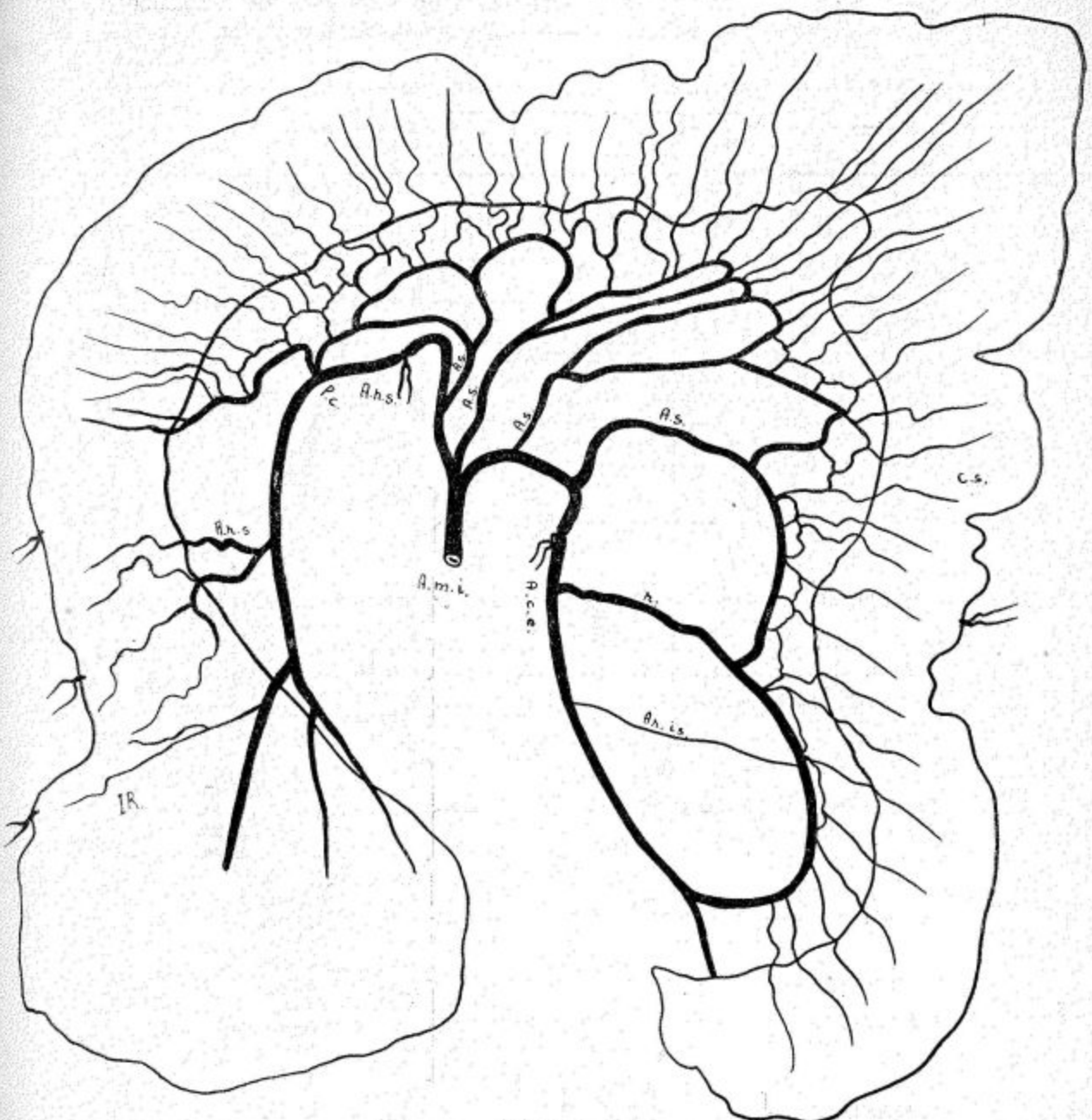


FIG. 73

OBSERVAÇÃO N.º 74

NOME: J. A.
SEXO: masculino.
CÔR: preta.
NACIONALIDADE: brasileira.

IDADE: 37 anos.
PROCEDÊNCIA: Departam. de Anatomia
Patológica da Faculdade de Medicina
da Universidade de São Paulo.

Distância bi-ílio cristal.....	28,0 cm.
Distância xifo-púbica.....	31,8 cm.
Comprimento do colo sigmóide.....	38,0 cm.
Mobilidade do colo sigmóide.....	móvel.
Altura do meso-sigmóideo.....	4,7 cm.
Origem da A. m. i. na aorta.....	anterior, linha média.
Projeção vertebral da origem da A. m. i.....	fibrocartilagem entre L ₂ e L ₃
Distância do ponto crítico suposto ao plano do promontório.....	— 1,9 cm.
Distância do nível real do ponto crítico ao nível suposto.....	+ 4,3 cm.
Distância do nível (x) à origem da última A. sigmóidea	—
Distância do nível (x) à divisão da A. h. s.....	—
Distância da origem da A. m. i. à origem da A. c. e.....	2,5 cm.
Distância da origem da A. m. i. ao ponto crítico.....	11,8 cm.
Distância da origem da A. m. i. à divisão da A. h. s.....	14,0 cm.
Distância da origem da última A. sigmóidea ou tronco das sigmóideas à divisão da A. h. s.....	4,6 cm.
Distância da última A. sigmóidea ao ponto crítico.....	2,1 cm.
Colaterais da A. m. i.....	<div style="display: flex; align-items: center;"> A.c.e. Tr.s. → A.s.₁ + A.s.₂ </div> <div style="display: flex; align-items: center;"> A.s.₃ A.s.₄ </div>
Distância entre a origem das colaterais da A. m. i.....	<div style="display: flex; align-items: center;"> A.c.e. — Tr.s. — 0 cm. Tr.s. — A.s.₃ — 4,0 cm. </div> <div style="display: flex; align-items: center;"> A.s.₃ — A.s.₄ — 2,3 cm. formando arcadas. </div>
Modo de terminação das colaterais da A. m. i. e da A. h. s.....	<div style="display: flex; align-items: center;"> 2 isoladas. 4 primárias. </div> <div style="display: flex; align-items: center;"> algumas secundárias. + </div>
Número de arcadas arteriais.....	
Arcada entre a primeira A. sigmóidea e a A. c. e....	<div style="display: flex; align-items: center;"> A.c.e. — A.s.₁ — 12,9 cm. A.s.₁ — A.s.₂ — 6,9 cm. </div> <div style="display: flex; align-items: center;"> A.s.₂ — A.s.₃ — 2,8 cm. A.s.₃ — A.s.₄ — 3,7 cm. </div> <div style="display: flex; align-items: center;"> A.s.₄ — P.c. — 1,4 cm. A.c.e. — 11,8 cm. </div> <div style="display: flex; align-items: center;"> A.s.₁ — 2,7 cm. A.s.₂ — 1,4 cm. </div> <div style="display: flex; align-items: center;"> A.s.₃ — 0,3 cm. A.s.₄ — 0,6 cm. </div>
Comprimento das árcadas primárias.....	
Comprimento das colaterais da A. m. i.....	<div style="display: flex; align-items: center;"> A.c.e. — 1,0 cm. A.s.₁ — 3,7 cm. </div> <div style="display: flex; align-items: center;"> A.s.₂ — 2,4 cm. A.s.₃ — 1,3 cm. </div> <div style="display: flex; align-items: center;"> A.s.₄ — 1,1 cm. na A. h. s. </div>
Distância do ponto de divisão das colaterais da A. m. i. ao intestino.....	<div style="display: flex; align-items: center;"> 0,10 cm. na metade cranial. </div>
A. sigmóidea ima {	
Diâmetro externo	3 provenientes da A. s. i., distribuem-se à metade cranial.
Desembocadura	2 provenientes da A. h. s., distribuem-se à metade caudal.
Situação do ponto crítico em relação ao S. r. s....	
Origem e distrib. das Aa. r. s..	bifurca-se no limite cranial do I. R.
Divisão da A. h. s. em relação ao S. r. s.....	

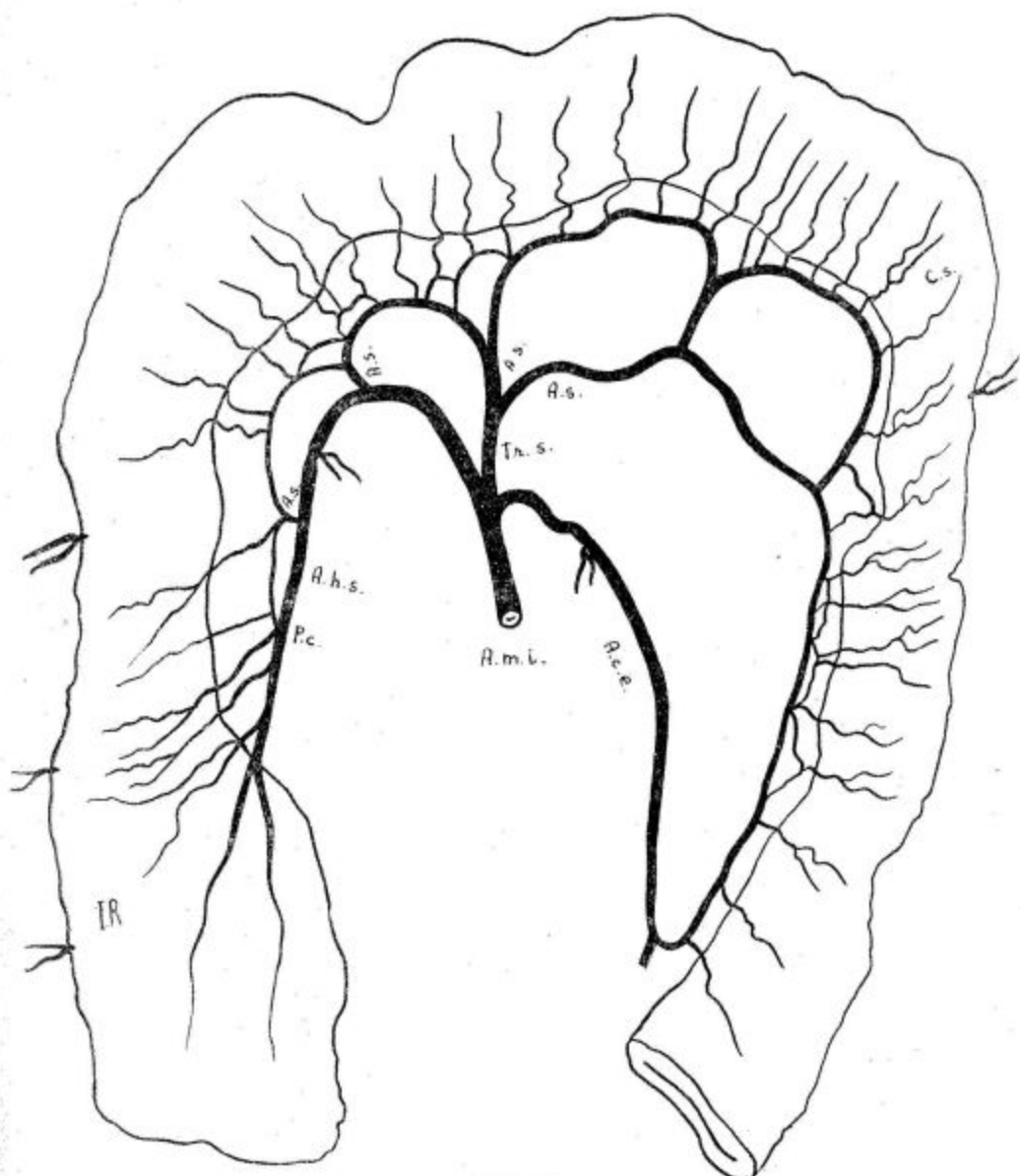


FIG. 74

OBSERVAÇÃO N.º 75

NOME: I. M. J.
SEXO: feminino.
Côr: preta.
NACIONALIDADE: brasileira.

IDADE: 56 anos.

PROCEDÊNCIA: Departam. de Anatomia Patológica da Faculdade de Medicina da Universidade de São Paulo.

Distância bi-ílio cristal.....	28,3 cm.
Distância xifo-púbica.....	32,8 cm.
Comprimento do colo sigmóide.....	37,0 cm.
Mobilidade do colo sigmóide.....	proximal fixo; distal móvel.
Altura do meso-sigmóideo.....	5,0 cm.
Origem da A. m. i. na aorta.....	ântero-lateral esquerda.
Projeção vertebral da origem da A. m. i.....	fibrocartilagem entre L ₂ e L ₃ .
Distância do ponto crítico suposto ao plano do promontório.....	— 0,5 cm.
Distância do nível real do ponto crítico ao nível suposto.....	0.
Distância do nível (x) à origem da última A. sigmóidea.....	2,8 cm.
Distância do nível (x) à divisão da A. h. s.....	10,3 cm.
Distância da origem da A. m. i. à origem da A. c. e.....	2,3 cm.
Distância da origem da A. m. i. ao ponto crítico.....	10,3 cm.
Distância da origem da A. m. i. à divisão da A. h. s.....	13,6 cm.
Distância da origem da última A. sigmóidea ou tronco das sigmóideas à divisão da A. h. s.....	9,9 cm.
Distância da última A. sigmóidea ao ponto crítico.....	6,1
Colaterais da A. m. i.....	{ Tr.c.s. → A.c.e. + A.s. ₁ A.s. ₂
Distância entre a origem das colaterais da A. m. i.....	Tr.c.s. - A.s. ₂ = 1,8 cm.
Modo de terminação das colaterais da A. m. i. e da A. h. s.....	formando arcadas.
Número de arcadas arteriais.....	{ 3 primárias. numerosas secundárias, algumas bem desenvolvidas.
Arcada entre a primeira A. sigmóidea e a A. c. e.....	+
Comprimento das arcadas primárias.....	{ A.c.e. - A.s. ₁ = 11,0 cm. A.s. ₁ - A.s. ₂ = 15,0 cm. A.s. ₂ - P.c. = 5,2 cm.
Comprimento das colaterais da A. m. i.....	{ A.c.e. = 8,6 cm. A.s. ₁ = 2,2 cm. A.s. ₂ = 3,1 cm.
Distância do ponto de divisão das colaterais da A. m. i. ao intestino.....	{ A.c.e. = 3,2 cm. A.s. ₂ = 3,7 cm. A.s. ₂ = 4,2 cm.
A. sigmóidea ima { Diâmetro externo.....	0,20 cm.
	Desembocadura..... na A. h. s.
Situação do ponto crítico em relação ao S. r. s.....	na metade cranial.
Origem e distrib. das Aa. r. s.....	1 proveniente da A. s. i., distribue-se a todo o S. r. s.
Divisão da A. h. s. em relação ao S. r. s.....	bifurca-se na metade caudal.

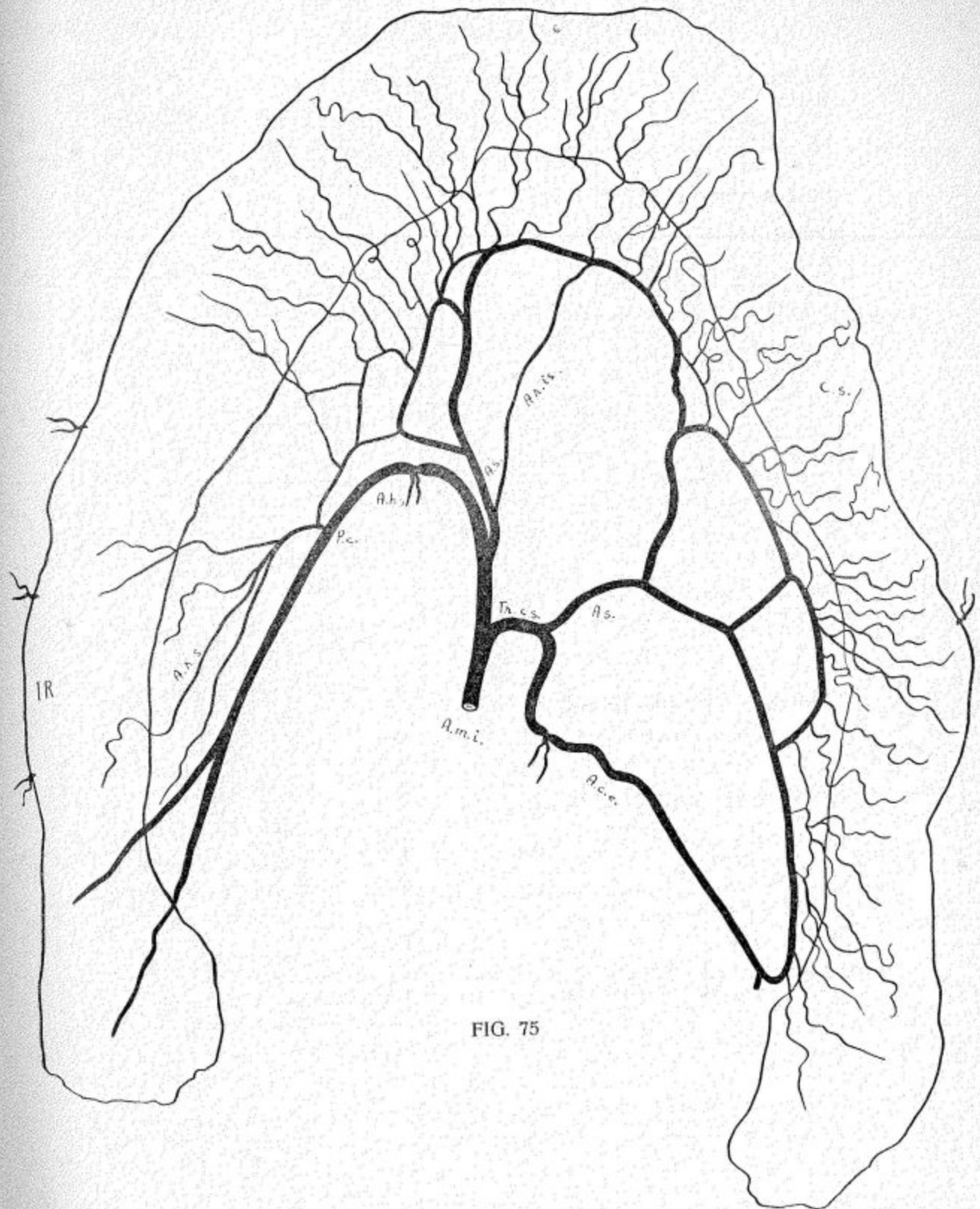


FIG. 75

OBSERVAÇÃO N.º 76

NOME: J. M.	IDADE: 64 anos.					
SEXO: masculino.	PROCEDÊNCIA: Departam. de Anatomia					
CÔR: branca.	Patológica da Faculdade de Medicina					
NACIONALIDADE: portuguesa.	da Universidade de São Paulo.					
Distância bi-ílio cristal.....	27,8 cm.					
Distância xifo-púbica.....	31,8 cm.					
Comprimento do colo sigmóide.....	47,4 cm.					
Mobilidade do colo sigmóide.....	proximal fixo; distal móvel. 8,0 cm.					
Altura do meso-sigmóideo.....	anterior, linha média.					
Origem da A. m. i. na aorta.....	térço cranial de L ₃ .					
Projeção vertebral da origem da A. m. i.....						
Distância do ponto crítico suposto ao plano do promontório.....	+ 1,8 cm.					
Distância do nível real do ponto crítico ao nível suposto.....	+ 3,2 cm.					
Distância do nível (x) à origem da última A. sigmóidea.....	prejudicado.					
Distância do nível (x) à divisão da A. h. s.....	prejudicado.					
Distância da origem da A. m. i. à origem da A. c. e.....	3,2 cm.					
Distância da origem da A. m. i. ao ponto crítico.....	11,2 cm.					
Distância da origem da A. m. i. à divisão da A. h. s.....	12,5 cm.					
Distância da origem da última A. sigmóidea ou tronco das sigmóideas à divisão da A. h. s.....	9,3 cm.					
Distância da última A. sigmóidea ao ponto crítico.....	8,0 cm.					
Colaterais da A. m. i.....	Tr.c.s. → (A.s. ₂) A.c.e. (r ₁ , r ₂) + A.s. ₁					
Distância entre a origem das colaterais da A. m. i.....						
Modo de terminação das colaterais da A. m. i. e da A. h. s.....	— .					
Número de arcadas arteriais.....	formando arcadas.					
Arcada entre a primeira A. sigmóidea e a A. c. e.....	5 primárias.					
Comprimento das arcadas primárias.....	+ com r ₁ , r ₂ intercalados.					
Comprimento das colaterais da A. m. i.....	<table border="0"> <tr> <td>A.c.e. - r₁ — prejudicado.</td> </tr> <tr> <td>r₁ - r₂ — 8,2 cm.</td> </tr> <tr> <td>r₂ - A.s.₁ — 10,0 cm.</td> </tr> <tr> <td>A.s.₁ - A.s.₂ — 14,0 cm.</td> </tr> <tr> <td>A.s.₂ - P.c. — 7,2 cm.</td> </tr> </table>	A.c.e. - r ₁ — prejudicado.	r ₁ - r ₂ — 8,2 cm.	r ₂ - A.s. ₁ — 10,0 cm.	A.s. ₁ - A.s. ₂ — 14,0 cm.	A.s. ₂ - P.c. — 7,2 cm.
A.c.e. - r ₁ — prejudicado.						
r ₁ - r ₂ — 8,2 cm.						
r ₂ - A.s. ₁ — 10,0 cm.						
A.s. ₁ - A.s. ₂ — 14,0 cm.						
A.s. ₂ - P.c. — 7,2 cm.						
Distância do ponto de divisão das colaterais da A. m. i. ao intestino.....	<table border="0"> <tr> <td>A.c.e. — prejudicado.</td> </tr> <tr> <td>r₁ — 3,6 cm.</td> </tr> <tr> <td>r₂ — 4,2 cm.</td> </tr> <tr> <td>A.s.₁ — 4,9 cm.</td> </tr> <tr> <td>A.s.₂ — 3,6 cm.</td> </tr> </table>	A.c.e. — prejudicado.	r ₁ — 3,6 cm.	r ₂ — 4,2 cm.	A.s. ₁ — 4,9 cm.	A.s. ₂ — 3,6 cm.
A.c.e. — prejudicado.						
r ₁ — 3,6 cm.						
r ₂ — 4,2 cm.						
A.s. ₁ — 4,9 cm.						
A.s. ₂ — 3,6 cm.						
A. sigmóidea ima { Diâmetro externo	<table border="0"> <tr> <td>A.c.e. — prejudicado.</td> </tr> <tr> <td>r₁ — 3,4 cm.</td> </tr> <tr> <td>r₂ — 2,5 cm.</td> </tr> <tr> <td>A.s.₁ — 4,9 cm.</td> </tr> <tr> <td>A.s.₂ — 5,7 cm.</td> </tr> </table>	A.c.e. — prejudicado.	r ₁ — 3,4 cm.	r ₂ — 2,5 cm.	A.s. ₁ — 4,9 cm.	A.s. ₂ — 5,7 cm.
A.c.e. — prejudicado.						
r ₁ — 3,4 cm.						
r ₂ — 2,5 cm.						
A.s. ₁ — 4,9 cm.						
A.s. ₂ — 5,7 cm.						
Situação do ponto crítico em relação ao S. r. s.....	0,20 cm.					
Origem e distrib. das Aa. r. s..	na A. h. s.					
Divisão da A. h. s. em relação ao S. r. s.....	acima do limite cranial.					

OBSERVAÇÃO. — Ao ser efetuada a ligadura de A. h. s. antes da injeção da peça, foi apanhada conjuntamente a A.s.₂.

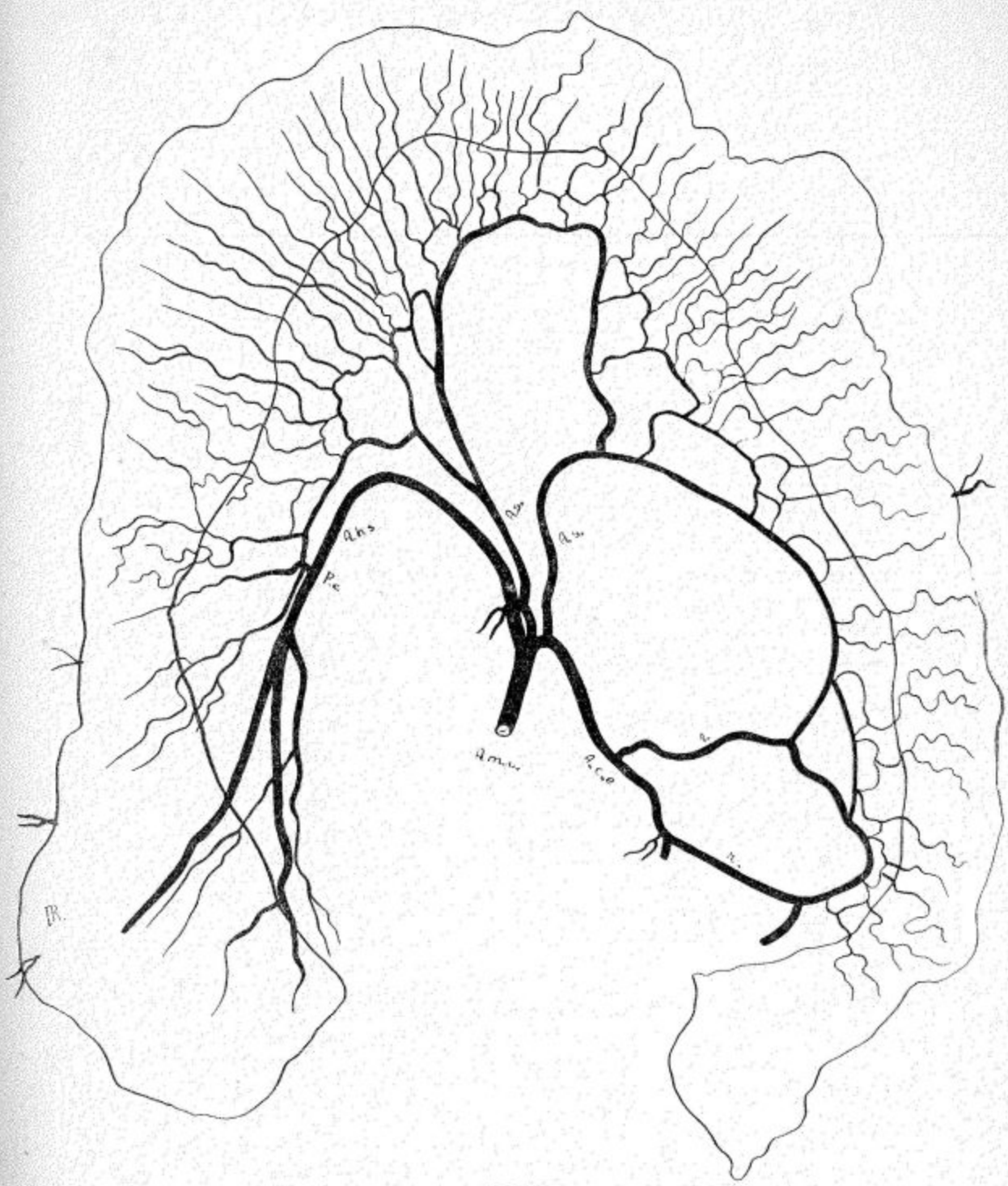


FIG. 76

OBSERVAÇÃO N.º 77

NOME: A. G.

SEXO: masculino.

COR: branca.

NACIONALIDADE: brasileira.

IDADE: 21 anos.

PROCEDÊNCIA: Departam. de Anatomia Patológica da Faculdade de Medicina da Universidade de São Paulo.

Distância bi-filo cristal.....	30,3 cm.
Distância xifo-púbica.....	41,3 cm.
Comprimento do colo sigmóide.....	45,5 cm.
Mobilidade do colo sigmóide.....	proximal fixo; distal móvel, 7,8 cm.
Altura do meso-sigmóideo.....	antero-lateral esquerda.
Origem da A. m. i. na aorta.....	terço cranial de L ₅ .
Projeção vertebral da origem da A. m. i.....	
Distância do ponto crítico suposto ao plano do promontório.....	+ 2,6 cm.
Distância do nível real do ponto crítico ao nível suposto.....	+ 7,3 cm.
Distância do nível (x) à origem da última A. sigmóidea.....	entre A.s. ₂ e A.s. ₃ .
Distância do nível (x) à divisão da A. h. s.....	8,2 cm.
Distância da origem da A. m. i. à origem da A. c. e.....	2,5 cm.
Distância da origem da A. m. i. ao ponto crítico.....	12,8 cm.
Distância da origem da A. m. i. à divisão da A. h. s.....	13,7 cm.
Distância da origem da última A. sigmóidea ou tronco das sigmóideas à divisão da A. h. s.....	52, cm.
Distância da última A. sigmóidea ao ponto crítico	4,3 cm.
Colaterais da A. m. i.....	$\left\{ \begin{array}{l} \text{A.c.e. (r}_1\text{)} \\ \text{Tr.s.} \rightarrow \text{A.s.}_1 + \text{A.s.}_2 \\ \text{A.s.}_3 \end{array} \right.$
Distância entre a origem das colaterais da A. m. i.....	$\left\{ \begin{array}{l} \text{A.c.e.} - \text{Tr.s.} = 1,0 \text{ cm.} \\ \text{Tr.s.} - \text{A.s.}_3 = 5,0 \text{ cm.} \end{array} \right.$
Modo de terminação das colaterais da A. m. i. e da A. h. s.....	formando arcadas, 1 isolada.
Número de arcadas arteriais.....	$\left\{ \begin{array}{l} 5 \text{ primárias.} \\ \text{numerosas secundárias.} \end{array} \right.$
Arcada entre a primeira A. sigmóidea e a A. c. e....	—
Comprimento das arcadas primárias.....	$\left\{ \begin{array}{l} \text{A.c.e.} - \text{r}_1 = 9,5 \text{ cm.} \\ \text{r}_1 - \text{A.s.}_1 = 11,3 \text{ cm.} \\ \text{A.s.}_1 - \text{A.s.}_2 = 7,8 \text{ cm.} \\ \text{A.s.}_2 - \text{A.s.}_3 = 4,2 \text{ cm.} \\ \text{A.s.}_3 - \text{P.c.} = 5,4 \text{ cm.} \end{array} \right.$
Comprimento das colaterais da A. m. i.....	$\left\{ \begin{array}{l} \text{A.c.e.} = 6,4 \text{ cm.} \\ \text{r}_1 = 2,2 \text{ cm.} \\ \text{A.s.}_1 = 2,4 \text{ cm.} \\ \text{A.s.}_2 = 2,2 \text{ cm.} \\ \text{A.s.}_3 = 0,7 \text{ cm.} \end{array} \right.$
Distância do ponto de divisão das colaterais da A. m. i. ao intestino.....	$\left\{ \begin{array}{l} \text{A.c.e.} = 3,2 \text{ cm.} \\ \text{r}_1 = 4,5 \text{ cm.} \\ \text{A.s.}_1 = 2,8 \text{ cm.} \\ \text{A.s.}_2 = 3,4 \text{ cm.} \\ \text{A.s.}_3 = 2,8 \text{ cm.} \end{array} \right.$
A. sigmóidea ima $\left\{ \begin{array}{l} \text{Diâmetro externo} \\ \text{Desembocadura} \end{array} \right.$	0,20 cm. na A. h. s.
Situação do ponto crítico em relação ao S. r. s.....	no limite cranial do I. R.
Origem e distrib. das Aa. r. s. $\left\{ \begin{array}{l} 2 \text{ provenientes de A. s. i., distribuem-se à metade} \\ \text{cranial.} \end{array} \right.$	
Divisão da A. h. s. em relação ao S. r. s.....	1 proveniente de A. h. s., distribue-se à metade caudal. bifurca-se na metade caudal.

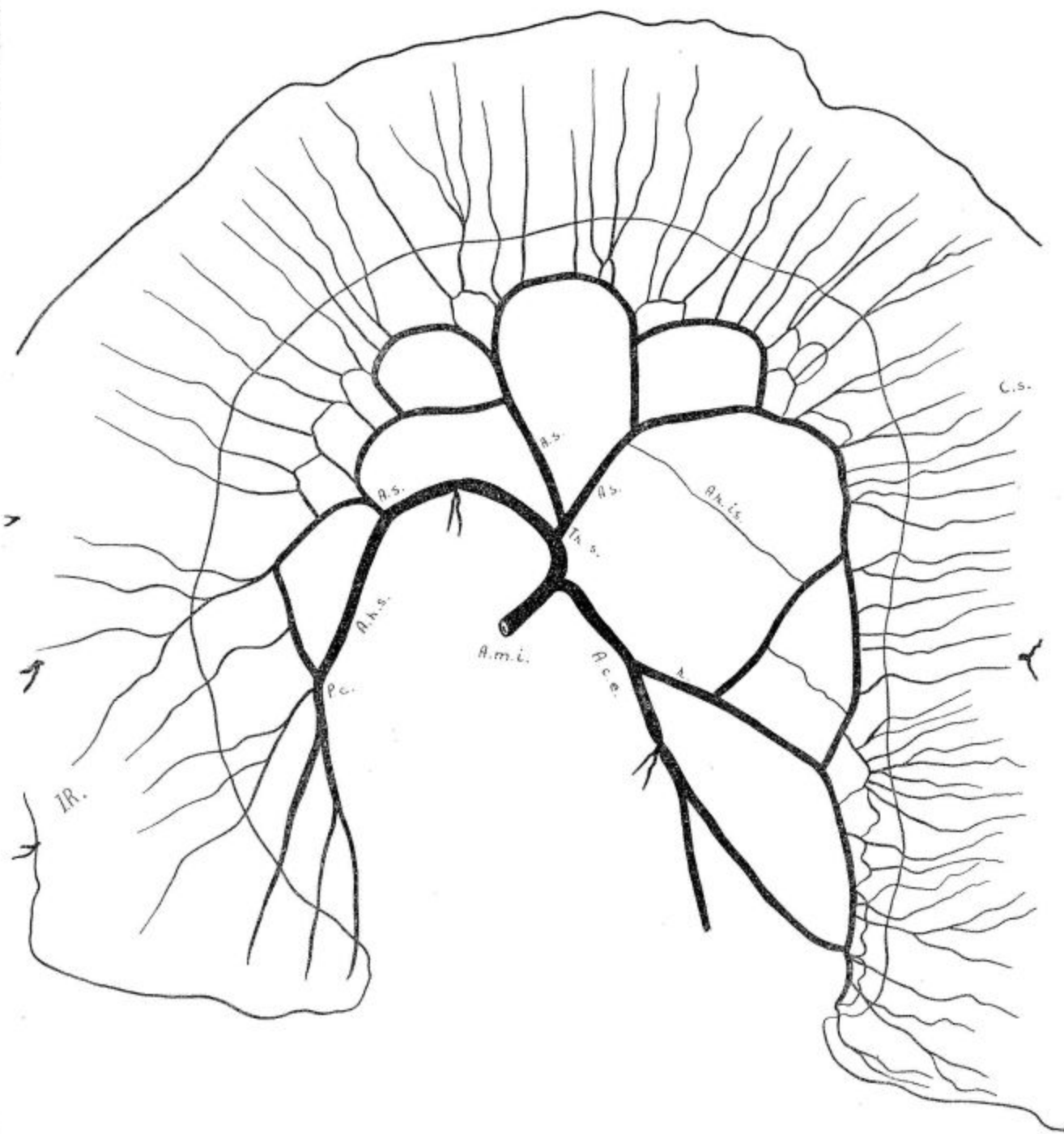


FIG. 77

OBSERVAÇÃO N.º 78

NOME: M. P. C.

SEXO: masculino.

COR: branca.

NACIONALIDADE: brasileira.

IDADE: 65 anos.

PROCEDÊNCIA: Departam. de Anatomia Patológica da Faculdade de Medicina da Universidade de São Paulo.

Distância biilio cristal.....	22,5 cm.
Distância xifo-pública.....	36,4 cm.
Comprimento do colo sigmóide.....	29,0 cm.
Mobilidade do colo sigmóide.....	proximal fixo; distal móvel.
Altura do meso-sigmóideo.....	4,7 cm.
Origem da A. m. i. na aorta.....	ântero-lateral esquerda.
Projeção vertebral da origem da A. m. i.....	térço cranial de L ₅ .
Distância do ponto crítico suposto ao plano do promontório.....	+ 0,7 cm.
Distância do nível real do ponto crítico ao nível suposto.....	0.
Distância do nível (x) à origem da última A. sigmóidea.....	entre A.s. ₃ e A.s. ₄ .
Distância do nível (x) à divisão da A. h. s.....	6,0 cm.
Distância da origem da A. m. i. à origem da A. c. e.....	2,2 cm.
Distância da origem da A. m. i. ao ponto crítico.....	10,3 cm.
Distância da origem da A. m. i. à divisão da A. h. s.....	13,0 cm.
Distância da origem da última A. sigmóidea ou tronco das sigmóideas à divisão da A. h. s.....	4,7 cm.
Distância da última A. sigmóidea ao ponto crítico	1,8 cm.
Colaterais da A. m. i.....	$\left\{ \begin{array}{l} \text{Tr.c.s.} \rightarrow \text{A.s.}_2 + \text{A.c.e. } (\text{r}_1 \text{, A.s.}_1) \\ \text{A.s.}_3 \end{array} \right.$
Distância entre a origem das colaterais da A. m. i.....	Tr.s.c. - A.s. ₃ — 1,5 cm.
Modo de terminação das colaterais da A. m. i. e da A. h. s.....	$\left\{ \begin{array}{l} \text{formando arcadas.} \\ 1 \text{ isolada.} \end{array} \right.$
Número de arcadas arteriais.....	$\left\{ \begin{array}{l} 5 \text{ primárias.} \\ \text{diversas secundárias.} \\ \text{terciárias.} \end{array} \right.$
Arcada entre a primeira A. sigmóidea e a A. c. e.....	+ com r ₁ intercalado.
Comprimento das arcadas primárias.....	$\left\{ \begin{array}{l} \text{A.c.e.} - \text{r}_1 = 8,5 \text{ cm.} \\ \text{r}_1 - \text{A.s.}_1 = 4,0 \text{ cm.} \\ \text{A.s.}_1 - \text{A.s.}_2 = 7,3 \text{ cm.} \\ \text{A.s.}_2 - \text{A.s.}_3 = 8,0 \text{ cm.} \\ \text{A.s.}_3 - \text{P.c.} = 3,8 \text{ cm.} \end{array} \right.$
Comprimento das colaterais da A. m. i.....	$\left\{ \begin{array}{l} \text{A.c.e.} = 4,1 \text{ cm.} \\ \text{r}_1 = 5,2 \text{ cm.} \\ \text{A.s.}_1 = 5,0 \text{ cm.} \\ \text{A.s.}_2 = 1,2 \text{ cm.} \\ \text{A.s.}_3 = 5,9 \text{ cm.} \end{array} \right.$
Distância do ponto de divisão das colaterais da A. m. i. ao intestino.....	$\left\{ \begin{array}{l} \text{A.c.e.} = 6,4 \text{ cm.} \\ \text{r}_1 = 1,4 \text{ cm.} \\ \text{A.s.}_1 = 5,7 \text{ cm.} \\ \text{A.s.}_2 = 1,5 \text{ cm.} \\ \text{A.s.}_3 = 2,0 \text{ cm.} \end{array} \right.$
A. sigmóidea ima	$\left\{ \begin{array}{l} \text{Diâmetro externo} \\ \text{Desembocadura} \end{array} \right.$
Situação do ponto crítico em relação ao S. r. s.....	$\left\{ \begin{array}{l} \text{na A. h. s.} \\ \text{no limite cranial.} \end{array} \right.$
Origem e distrib. das Aa. r. s.....	$\left\{ \begin{array}{l} 4 \text{ provenientes da A. s. i., distribuem-se à metade cranial.} \\ 1 \text{ proveniente da A. h. s., distribue-se à metade caudal.} \end{array} \right.$
Divisão da A. h. s. em relação ao S. r. s.....	bifurca-se na metade caudal.

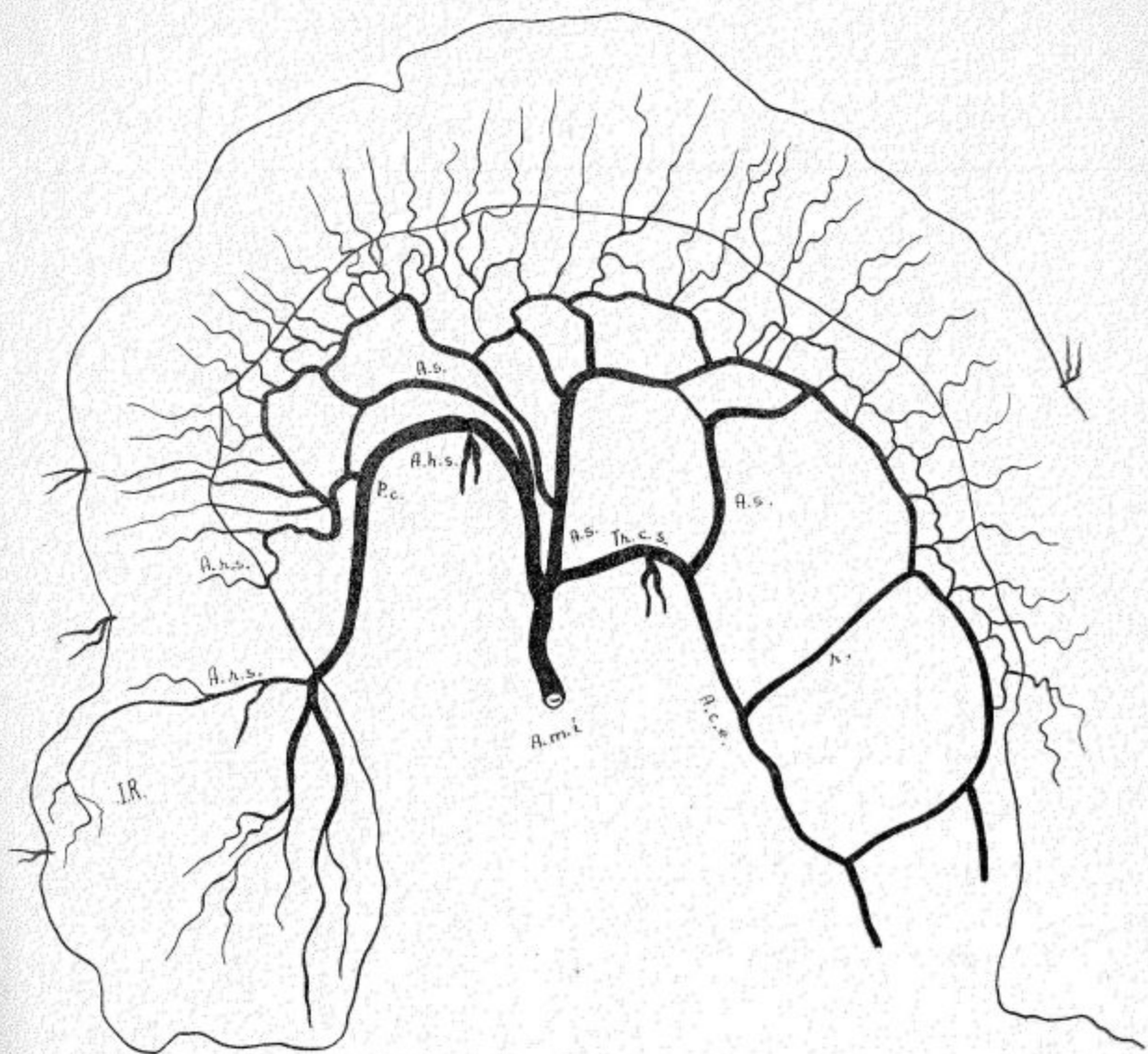


FIG. 78

OBSERVAÇÃO N.º 79

NOME: J. L.

SEXO: masculino.

COR: branca.

NACIONALIDADE: portuguesa.

IDADE: 51 anos.

PROCEDÊNCIA: Departam. de Anatomia

Patológica da Faculdade de Medicina
da Universidade de São Paulo.

Distância bi-fílio cristal.....	29,0 cm.
Distância xifo-pública.....	29,7 cm.
Comprimento do colo sigmóide.....	32,0 cm.
Mobilidade do colo sigmóide.....	móvel.
Altura do meso-sigmóideo.....	5,5 cm.
Origem da A. m. i. na aorta.....	ântero-lateral esquerda.
Projeção vertebral da origem da A. m. i.....	fibrocartilagem entre L ₂ e L ₃ .
Distância do ponto crítico suposto ao plano do promontório.....	0.
Distância do nível real do ponto crítico ao nível suposto.....	0.
Distância do nível (x) à origem da última A. sigmóidea.....	6,4 cm.
Distância do nível (x) à divisão da A. h. s.....	4,0 cm.
Distância da origem da A. m. i. à origem da A. c. e.....	2,7 cm.
Distância da origem da A. m. i. ao ponto crítico.....	10,0 cm.
Distância da origem da A. m. i. à divisão da A. h. s.....	13,3 cm.
Distância da origem da última A. sigmóidea ou tronco das sigmóideas à divisão da A. h. s.....	11,2 cm.
Distância da última A. sigmóidea ao ponto crítico.....	3,2 cm.
Colaterais da A. m. i.....	{ Tr.c.s. → A.c.e. + A.s. ₁ A.s. ₂
Distância entre a origem das colaterais da A. m. i.....	Tr.C.s. - A.s. ₂ — 7,8 cm
Modo de terminação das colaterais da A. m. i. e da A. h. s.....	{ formando arcadas. 1 isolada.
Número de arcadas arteriais.....	{ 2 primárias. numerosas secundárias.
Arcada entre a primeira A. sigmóidea e a A. c. e.....	+
Comprimento das arcadas primárias.....	{ A.c.e. - A.s. ₁ — 22,2 cm. A.s. ₁ - A.s. ₂ — 10,1 cm.
Comprimento das colaterais da A. m. i.....	{ A.c.e. — 9,0 cm. A.s. ₁ — 4,0 cm. A.s. ₂ — 0,4 cm.
Distância do ponto de divisão das colaterais da A. m. i. ao intestino.....	{ A.c.e. — 6,2 cm. A.s. ₁ — 5,9. A.s. ₂ — 2,3 cm.
A. sigmóidea ima { Diâmetro externo.....	—.
Situação do ponto crítico em relação à S. r. s.....	acima do limite cranial.
Origem e distrib. das Aa. r. s. { 1 proveniente da A. s. i.....	distribuem-se
Divisão da A. h. s. em relação ao S. r. s.....	{ 1 proveniente de A. h. s..... à metade cranial na metade cranial.

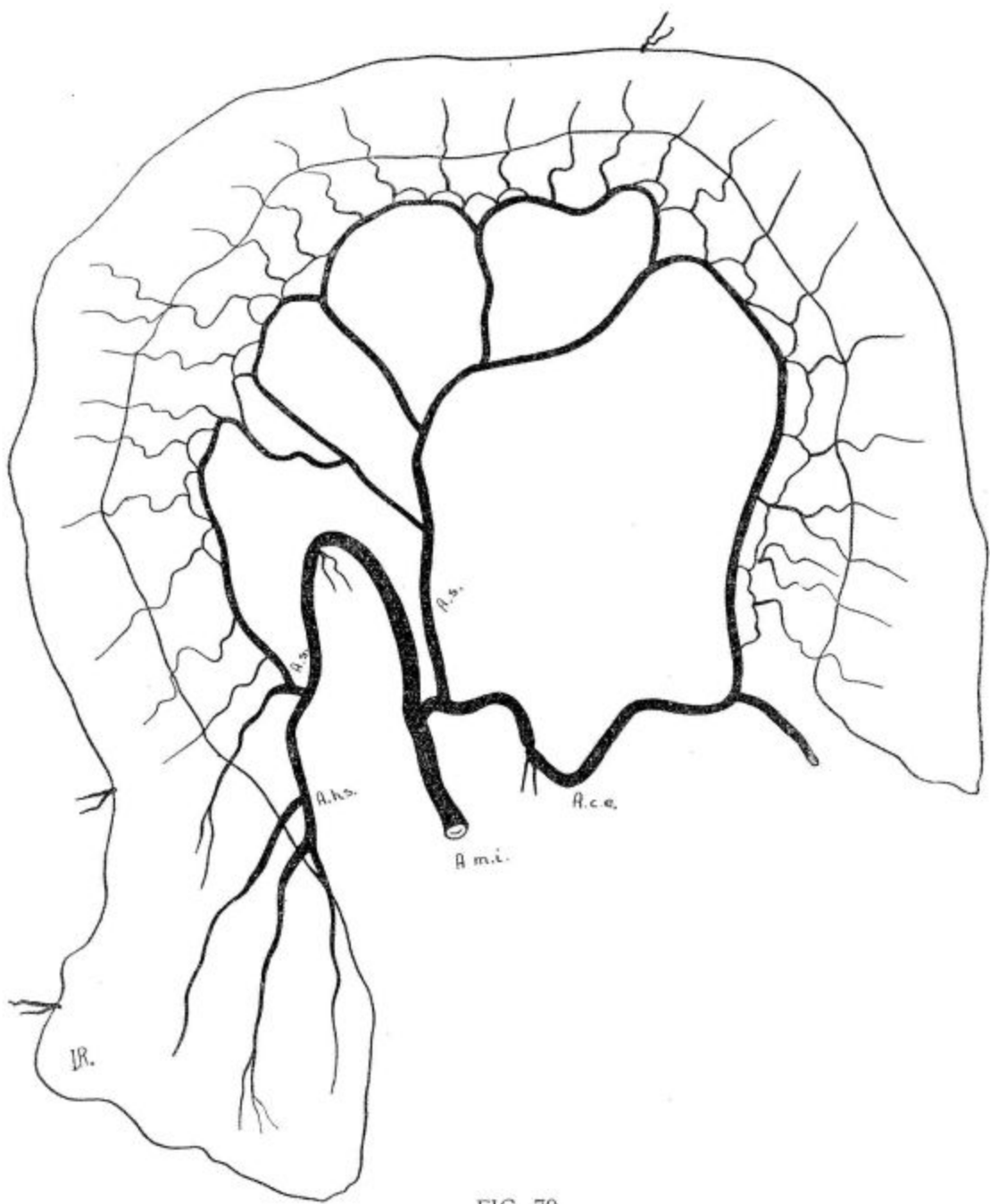


FIG. 79

OBSERVAÇÃO N.º 80

NOME: G. R.	IDADE: 72 anos.
SEXO: masculino.	PROCEDÊNCIA: Departam. de Anatomia
COR: branca.	Patológica da Faculdade de Medicina
NACIONALIDADE: italiana.	da Universidade de São Paulo.
Distância bi-ílio cristal.....	30,5 cm.
Distância xifo-pública.....	34,2 cm.
Comprimento do colo sigmóide.....	46,3 cm.
Mobilidade do colo sigmóide.....	proximal fixo; distal móvel.
Altura do meso-sigmóideo.....	6,0 cm.
Origem da A. m. i. da aorta.....	anterior, linha média.
Projeção vertebral na origem da A. m. i.....	fibrocartilagem entre L ₅ e L ₆ .
Distância do ponto crítico suposto ao plano do promontório.....	— 0,8 cm.
Distância do nível real do ponto crítico ao nível suposto.....	+ 1,4 cm.
Distância do nível (x) à origem da última A. sigmóidea	1,9 cm.
Distância do nível (x) à divisão da A. h. s.....	6,8 cm.
Distância da origem da A. m. i. à origem da A. c. e.	3,7 cm.
Distância da origem da A. m. i. ao ponto crítico.....	9,9 cm.
Distância da origem da A. m. i. à divisão da A. h. s.	14,0 cm.
Distância da origem da última A. sigmóidea ou tronco das sigmóideas à divisão da A. h. s.....	8,7 cm.
Distância da última A. sigmóidea ao ponto crítico	4,0 cm.
Colaterais da A. m. i.....	{ Tr.c.s. → A.c.e. + A.s. ₁ Tr.s. → (A.s. ₁) A.s. ₂ + A.s. ₃ A.s. ₅
Distância entre a origem das colaterais da A. m. i.	{ Tr.c.s. — Tr.s. = 1,4 cm. Tr.s. — A.s. ₅ = 4,0 cm.
Modo de terminação das colaterais da A. m. i. e da A. h. s.....	formando arcadas.
Número de arcadas arteriais.....	5 primárias.
Arcada entre a primeira A. sigmóidea e a A. c. e.,	+
Comprimento das arcadas primárias.....	{ A.c.e. — A.s. ₁ = 15,3 cm. A.s. ₁ — A.s. ₂ = 3,3 cm. A.s. ₂ — A.s. ₃ = 5,5 cm. A.s. ₃ — A.s. ₄ = 2,1 cm. A.s. ₄ — A.s. ₅ = 7,1 cm.
Comprimento das colaterais da A. m. i.....	{ A.c.e. = 8,5 cm. A.s. ₁ = 5,0 cm. A.s. ₂ = 1,8 cm. A.s. ₃ = 2,8 cm. A.s. ₄ = 3,8 cm. A.s. ₅ = 1,0 cm.
Distância do ponto de divisão das colaterais da A. m. i. ao intestino.....	{ A.c.e. = 3,3 cm. A.s. ₁ = 3,6 cm. A.s. ₂ = 4,6 cm. A.s. ₃ = 2,6 cm. A.s. ₄ = 2,6 cm. A.s. ₅ = 5,0 cm.
A. sigmóidea ima { Diâmetro externo	—
	Desembocadura
Situação do ponto crítico em relação ao S. r. s.....	acima do limite cranial.
Origem e distrib. das Aa. r. s.,	{ 6 provenientes de arcada secundária entre A.s. ₃ e seu ramo distal, distribuem-se à metade cranial. 1 constituída pelo ramo distal de bifurcação de A. s. ₅ , distribue-se à metade caudal.
Divisão da A. h. s. em relação ao S. r. s.....	no limite cranial do I. R.

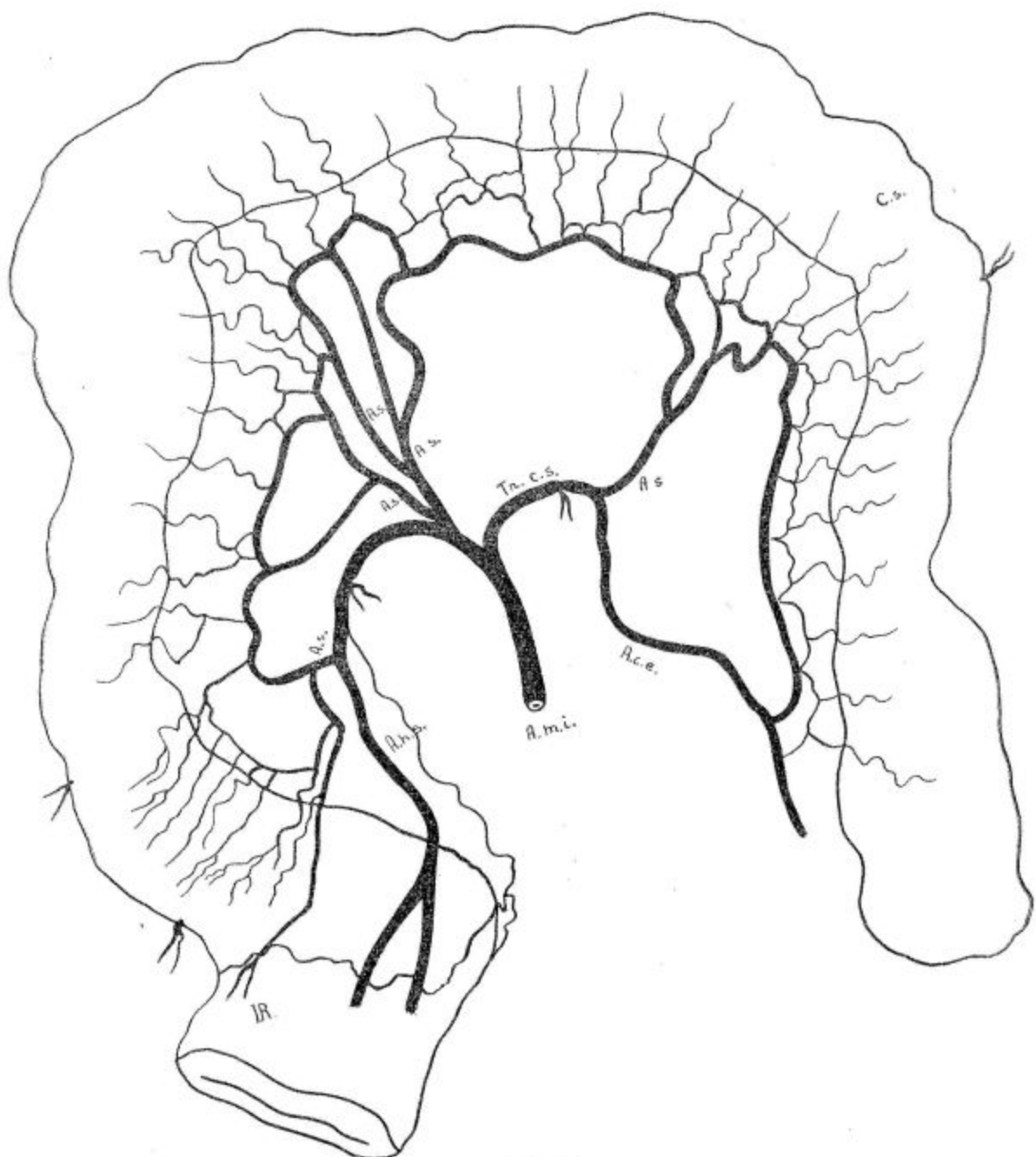


FIG. 80

OBSERVAÇÃO N.º 81

NOME: M. I. M.

SEXO: feminino.

COR: branca.

NACIONALIDADE: brasileira.

IDADE: 38 anos.

PROCEDÊNCIA: Departam. de Anatomia Patológica da Faculdade de Medicina da Universidade de São Paulo.

Distância bi-ílio cristal.....	29,5 cm.
Distância xifo-pública.....	32,0 cm.
Comprimento do colo sigmóide.....	41,0 cm.
Mobilidade do colo sigmóide.....	proximal fixo; distal móvel. 5,5 cm.
Altura do meso-sigmóideo.....	ântero-lateral esquerda. terço cranial de L ₃ .
Origem da A. m. i. na aorta.....	0.
Projeção vertebral da origem da A. m. i.....	+ 1,5 cm.
Distância do ponto crítico suposto ao plano do promontório.....	entre Tr. s. e A.s. ₃ . 7,0 cm.
Distância do nível real do ponto crítico ao nível suposto.....	0,8 cm.
Distância do nível (x) à origem da última A. sigmóidea.....	9,3 cm.
Distância do nível (x) à divisão da A. h. s.....	11,5 cm.
Distância da origem da A. m. i. à origem da A. c. e.....	A.c.e.
Distância da origem da A. m. i. ao ponto crítico.....	r_1
Distância da origem da A. m. i. à divisão da A. h. s.....	$r_1 - Tr.s. \rightarrow A.s._1 + A.s._2$
Distância da origem da última A. sigmóidea ou tronco das sigmóideas à divisão da A. h. s.....	$A.s._3 - A.s._3 = 5,4$ cm.
Distância da última A. sigmóidea ao ponto crítico.....	3,3 cm.
Colaterais da A. m. i.....	1,1 cm.
Distância entre a origem das colaterais da A. m. i. A. h. s.....	$r_1 - Tr.s. - A.s._3 = 2$ isoladas.
Modo de terminação das colaterais da A. m. i. e da A. h. s.....	formando arcadas.
Número de arcadas arteriais.....	5 primárias. númeras secundárias.
Arcada entre a primeira A. sigmóidea e a A. c. e.....	prejudicada.
Comprimento das arcadas primárias.....	$A.c.e. - r_1 =$ prejudicado. $r_1 - A.s._1 =$ prejudicado. $A.s._1 - A.s._2 = 11,7$ cm. $A.s._2 - A.s._3 = 4,4$ cm. $A.s._3 - P.c. = 2,4$ cm.
Comprimento das colaterais da A. m. i.....	$A.c.e. =$ prejudicado. $r_1 =$ prejudicado. $A.s._1 = 1,7$ cm. $A.s._2 = 5,0$ cm. $A.s._3 = 2,4$ cm.
Distância do ponto de divisão das colaterais da A. m. ao intestino.....	$A.c.e. =$ prejudicado. $r_1 =$ prejudicado. $A.s._1 = 4,5$ cm. $A.s._2 = 4,7$ cm. $A.s._3 = 2,6$ cm. 0,15 cm. na A. h. s.
A. sigmóidea ima { Diâmetro externo.....	acima do limite cranial.
Desembocadura.....	
Situação do ponto crítico em relação ao S. r. s.....	
Origem e distrib. das Aa. r. s.....	{ 1 proveniente da A. s. i., distribue-se à metade cranial 1 proveniente da A. h. s., distribue-se à metade cranial..... } ambas com 1 proveniente da A. h. s., distribue-se à metade caudal..... } 0,15 de calibre
Divisão da A. h. s. em relação ao S. r. s.....	bifurca-se na metade cranial.

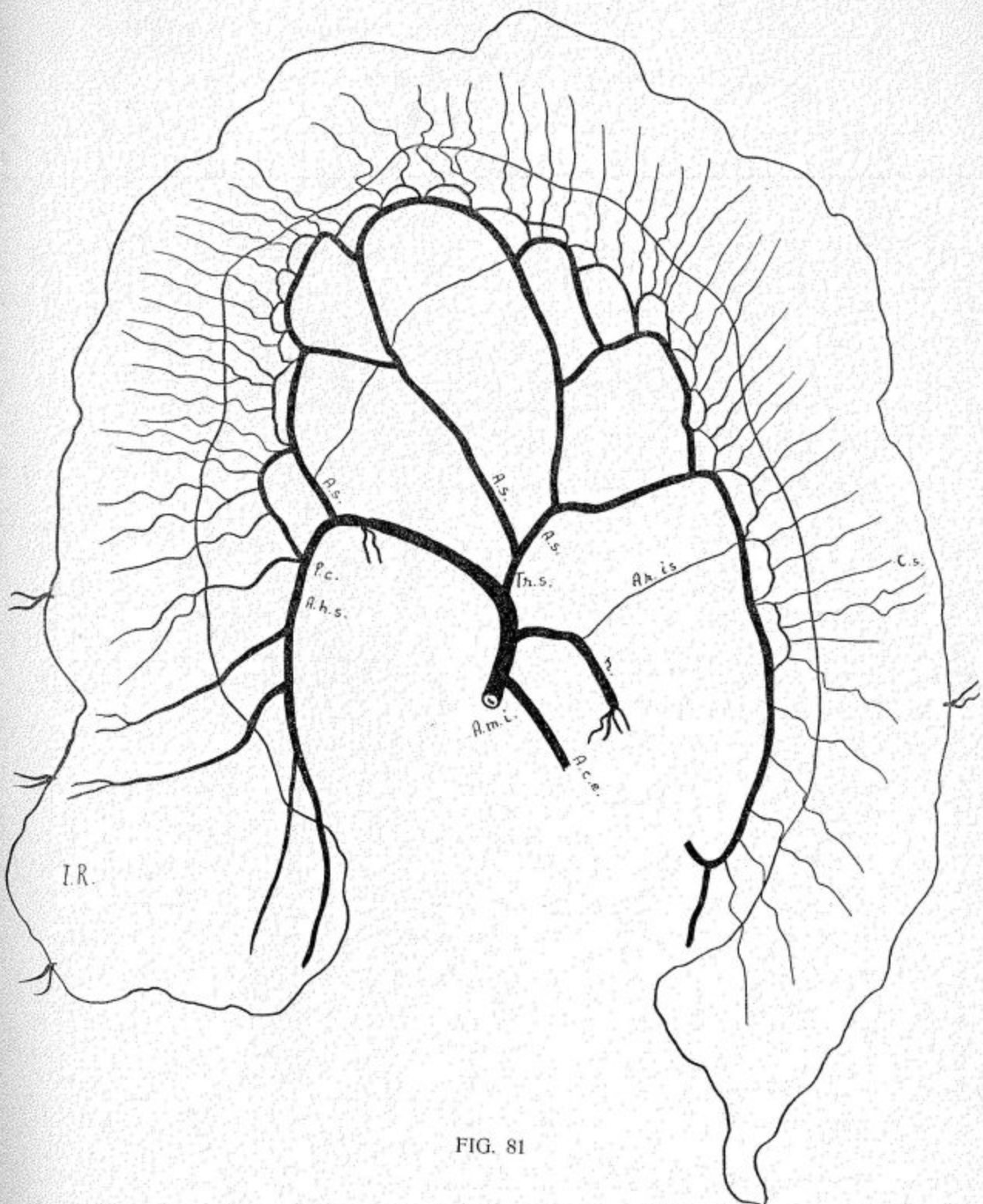


FIG. 81

OBSERVAÇÃO N.º 82

NOME: A. O. K.

SEXO: masculino.

COR: branca.

NACIONALIDADE: lituana.

IDADE: 62 anos.

PROCEDÊNCIA: Departam. de Anatomia Patológica da Faculdade de Medicina da Universidade de São Paulo.

Distância bi-ílio cristal.....	28,0 cm.
Distância xifo-púbica.....	33,2 cm.
Comprimento do colo sigmóide.....	44,3 cm.
Mobilidade do colo sigmóide.....	proximal fixo; distal móvel. 4,3 cm.
Altura do meso-sigmóideo.....	anterior, linha média.
Origem da A. m. i. na aorta.....	fibrocátilagem entre L ₅ e L ₄ .
Projeção vertebral da origem da A. m. i.....	— 1,5 cm.
Distância do ponto crítico suposto ao plano do promontório.....	+ 5,0 cm.
Distância do nível real do ponto crítico ao nível suposto.....	acima de A.s. ₆ 5,3 cm.
Distância do nível (x) à origem da última A. sigmóidea.....	2,8 cm.
Distância da origem da A. m. i. à origem da A. c. e.....	12,0 cm.
Distância da origem da A. m. i. ao ponto crítico.....	14,4 cm.
Distância da origem da A. m. i. à divisão da A. h. s.....	9,4 cm.
Distância da origem da última A. sigmóidea ou tronco das sigmóideas à divisão da A. h. s.....	7,1 cm.
Distância da última A. sigmóidea ao ponto crítico.....	
Colaterais da A. m. i.....	$\left\{ \begin{array}{l} \text{A.c.e.} \\ \text{Tr.s.} \rightarrow (\text{A.s.}_5 + \text{A.s.}_4 + \text{A.s.}_3) \text{ A.s.}_1 + \text{A.s.}_2 \\ \text{A.s.}_6 \end{array} \right.$
Distância entre a origem das colaterais da A. m. i.	$\left\{ \begin{array}{l} \text{A.c.e.} - \text{Tr.s.} = 2,1 \text{ cm.} \\ \text{Tr.s.} - \text{A.s.}_6 = 6,8 \text{ cm.} \end{array} \right.$
Modo de terminação das colaterais da A. m. i. e da A. h. s.....	formando arcadas.
Número de arcadas arteriais.....	$\left\{ \begin{array}{l} 7 \text{ primárias.} \\ \text{várias secundárias.} \end{array} \right.$
Arcada entre a primeira A. sigmóidea e a A. c. e.....	+
Comprimento das arcadas primárias.....	$\left\{ \begin{array}{l} \text{A.c.e.} - \text{A.s.}_1 = 13,2 \text{ cm.} \\ \text{A.s.}_1 - \text{A.s.}_2 = 7,8 \text{ cm.} \\ \text{A.s.}_2 - \text{A.s.}_3 = 4,3 \text{ cm.} \\ \text{A.s.}_3 - \text{A.s.}_4 = 2,6 \text{ cm.} \\ \text{A.s.}_4 - \text{A.s.}_5 = 4,5 \text{ cm.} \\ \text{A.s.}_5 - \text{A.s.}_6 = 8,4 \text{ cm.} \\ \text{A.s.}_6 - \text{P.c.} = 3,8 \text{ cm.} \end{array} \right.$
Comprimento das colaterais da A. m. i.....	$\left\{ \begin{array}{l} \text{A.c.e.} = 8,2 \text{ cm.} \\ \text{A.s.}_1 = 5,1 \text{ cm.} \\ \text{A.s.}_2 = 2,9 \text{ cm.} \\ \text{A.s.}_3 = 2,8 \text{ cm.} \\ \text{A.s.}_4 = 4,1 \text{ cm.} \\ \text{A.s.}_5 = 3,4 \text{ cm.} \\ \text{A.s.}_6 = 0,9 \text{ cm.} \end{array} \right.$
Distância do ponto de divisão das colaterais da A. m. i. ao intestino.....	$\left\{ \begin{array}{l} \text{A.c.e.} = 4,3 \text{ cm.} \\ \text{A.s.}_2 = 1,7 \text{ cm.} \\ \text{A.s.}_2 = 1,8 \text{ cm.} \\ \text{A.s.}_3 = 1,8 \text{ cm.} \\ \text{A.s.}_4 = 2,1 \text{ cm.} \\ \text{A.s.}_5 = 2,6 \text{ cm.} \\ \text{A.s.}_6 = 2,0 \text{ cm.} \end{array} \right.$
A. sigmóidea ima {	
Diâmetro externo	0,10 cm.
Desembocadura	no r. e.
Situação do ponto crítico em relação ao S. r. s.....	na metade cranial.
Origem e distrib. das Aa. r. s.	2 provenientes da A. s. i., distribuem-se à metade cranial.
Divisão da A. h. s. em relação ao S. r. s.....	bifurca-se na metade cranial.

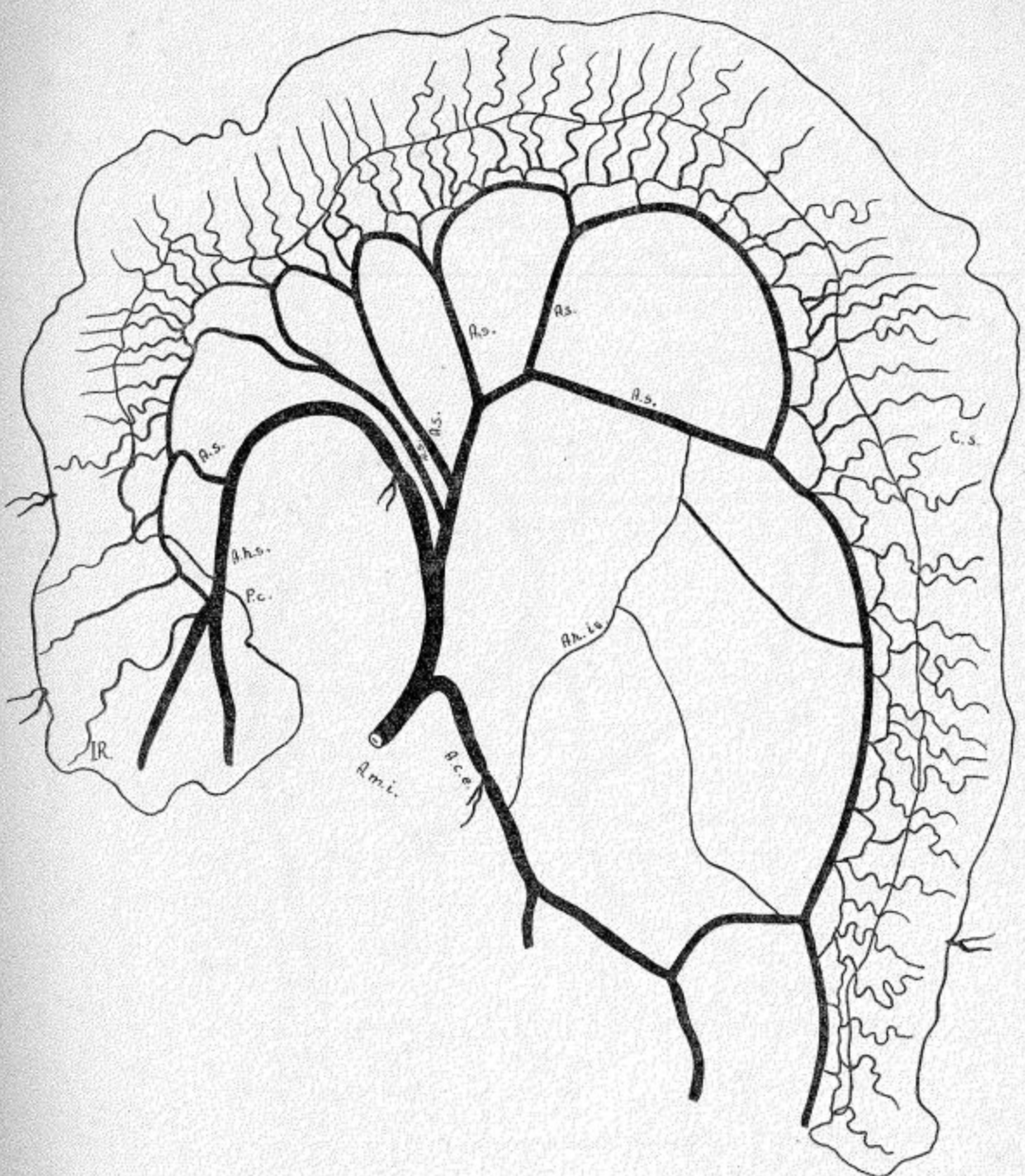


FIG. 82

OBSERVAÇÃO N.º 83

NOME: J. N. B.

SEXO: masculino.

CÔR: preta.

NACIONALIDADE: brasileira.

IDADE: 62 anos.

PROCEDÊNCIA: Departam. de Anatomia Patológica da Faculdade de Medicina da Universidade de São Paulo.

Distância bi-ílio cristal.....	25,4 cm.
Distância xifo-pública.....	33,9 cm.
Comprimento do colo sigmóide.....	41,2 cm.
Mobilidade do colo sigmóide.....	móvel.
Altura do meso-sigmóideo.....	9,3 cm.
Origem da A. m. i. na aorta.....	anterior, linha média.
Projeção vertebral da origem da A. m. i.	terço médio de L ₃ .
Distância do ponto crítico suposto ao plano do promontório.....	+ 0,4 cm.
Distância do nível real do ponto crítico ao nível suposto.....	+ 3,2 cm.
Distância do nível (x) à origem da última A. sigmóidea	0,5 cm.
Distância do nível (x) à divisão da A. h. s.	6,0 cm.
Distância da origem da A. m. i. à origem da A. c. e.	1,5 cm.
Distância da origem da A. m. i. ao ponto crítico....	11,8 cm.
Distância da origem da A. m. i. à divisão da A. h. s.	14,8 cm.
Distância da origem da última A. sigmóidea ou tronco das sigmóideas à divisão da A. h. s.	4,8 cm.
Distância da última A. sigmóidea ao ponto crítico..	1,8 cm.
Colaterais da A. m. i.	<div style="display: flex; align-items: center;"> A.c.e. (r₁) Tr.s. → A.s.₁ + A.s.₂ A.s.₃ A.s.₄ </div>
Distância entre a origem das colaterais da A. m. i.	<div style="display: flex; align-items: center;"> A.c.e. - Tr.s. — 1,5 cm. Tr.s. - A.s.₃ — 5,5 cm. A.s.₃ - A.s.₄ — 1,8 cm. </div>
Modo de terminação das colaterais da A. m. i. e da A. h. s.	formando arcadas.
Número de arcadas arteriais.....	<div style="display: flex; align-items: center;"> 6 primárias. numerosas secundárias. </div>
Arcada entre a primeira A. sigmóidea e a A. c. e.	+
Comprimento das arcadas primárias.....	<div style="display: flex; align-items: center;"> A.c.e. - r₁ — 17,0 cm. r₁ - A.s.₁ — 9,5 cm. A.s.₁ - A.s.₂ — 7,5 cm. A.s.₂ - A.s.₃ — 6,8 cm. A.s.₃ - A.s.₄ — 3,0 cm. A.s.₄ - P.c. — 2,1 cm. </div>
Comprimento das colaterais da A. m. i.	<div style="display: flex; align-items: center;"> A.c.e. — 6,9 cm. r₁ — 5,5 cm. A.s.₁ — 5,2 cm. A.s.₂ — 6,3 cm. A.s.₃ — 1,5 cm. A.s.₄ — 0,5 cm. </div>
Distância do ponto de divisão das colaterais da A. m. i. ao intestino.....	<div style="display: flex; align-items: center;"> A.c.e. — 8,2 cm. r₁ — 2,2 cm. A.s.₁ — 1,6 cm. A.s.₂ — 2,3 cm. A.s.₃ — 3,1 cm. A.s.₄ — 2,0 cm. </div>
A. sigmóidea ima {	0,15 cm.
Diâmetro externo	na A. h. s.
Desembocadura	no limite cranial.
Situação do ponto crítico em relação ao S. r. s.	
Origem e distrib. das Aa. r. s., {	1 distribue-se à metade cranial.
2 provenientes da {	1 distribue-se à metade caudal,
A. s. i.	com 0,10 cm de calibre.
Divisão da A. h. s. em relação ao S. r. s.	bifurca-se na metade caudal.

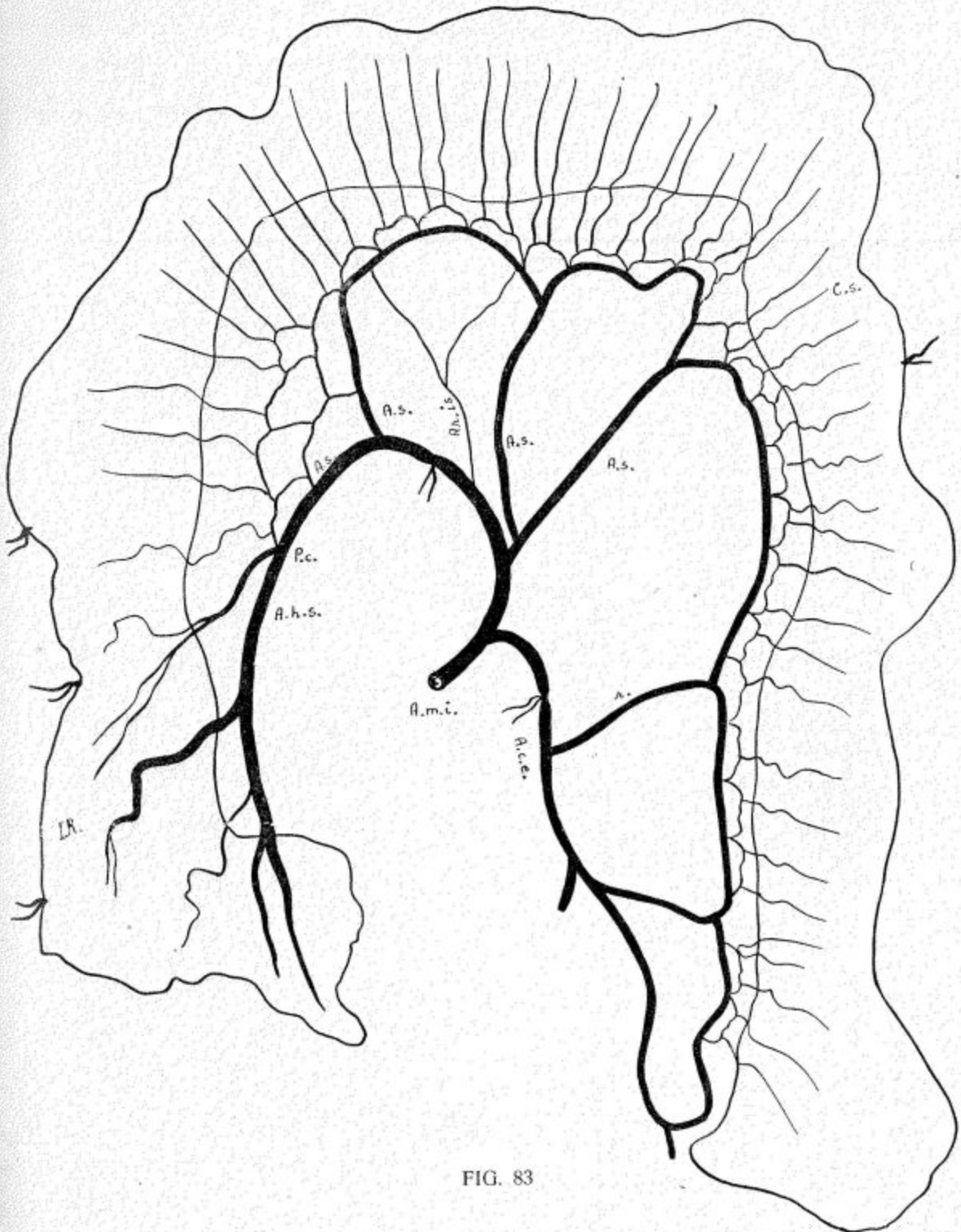


FIG. 83

OBSERVAÇÃO N.º 84

NOME: J. F. V.

SEXO: masculino.

COR: branca.

NACIONALIDADE: brasileira.

IDADE: 34 anos.

PROCEDÊNCIA: Departam. de Anatomia Patológica da Faculdade de Medicina da Universidade de São Paulo.

Distância bi-ílio cristal.....	29,0 cm.
Distância xifo-pública.....	31,2 cm.
Comprimento do colo sigmóide.....	41,0 cm.
Mobilidade do colo sigmóide.....	móvel.
Altura do meso-sigmóideo.....	7,5 cm.
Origem da A. m. i. na aorta.....	ântero-lateral esquerda.
Projeção vertebral da origem da A. m. i.....	terço médio de L ₂ .
Distância do ponto crítico suposto ao plano do promontório.....	— 3,8 cm.
Distância do nível real do ponto crítico ao nível suposto.....	+ 2,0 cm.
Distância do nível (x) à origem da última A. sigmóidea.....	entre A.s. ₂ e A.s. ₃
Distância do nível (x) à divisão da A. h. s.....	8,8 cm.
Distância da origem da A. m. i. à origem da A. c. e.....	3,4 cm.
Distância da origem da A. m. i. ao ponto crítico.....	12,1 cm.
Distância da origem da A. m. i. à divisão da A. h. s.....	16,5 cm.
Distância da origem da última A. sigmóidea ou tronco das sigmóideas à divisão da A. h. s.....	6,0 cm.
Distância da última A. sigmóidea ao ponto crítico.....	1,5 cm.
Colaterais da A. m. i.....	<div style="display: flex; align-items: center;"> Tr.c.s. → A.c.e. . A.s.₁ <div style="border-left: 1px solid black; height: 15px; margin-right: 10px;"></div> A.s.₂ <div style="border-left: 1px solid black; height: 15px; margin-right: 10px;"></div> A.s.₃ </div>
Distância entre a origem das colaterais da A. m. i.	<div style="display: flex; align-items: center;"> Tr.c.s. — A.s.₂ — 1,8 cm. <div style="border-left: 1px solid black; height: 15px; margin-right: 10px;"></div> A.s.₂ — A.s.₃ — 5,7 cm. </div>
Modo de terminação das colaterais da A. m. i. e da A. h. s.....	<div style="display: flex; align-items: center;"> formando arcadas. <div style="border-left: 1px solid black; height: 15px; margin-right: 10px;"></div> 4 isoladas. </div>
Número de arcadas arteriais.....	<div style="display: flex; align-items: center;"> 4 primárias. <div style="border-left: 1px solid black; height: 15px; margin-right: 10px;"></div> numerosas secundárias. </div>
Arcada entre a primeira A. sigmóidea e a A. c. e....	+.
Comprimento das arcadas primárias.....	<div style="display: flex; align-items: center;"> A.c.e. — A.s.₁ — 11,9 cm. <div style="border-left: 1px solid black; height: 15px; margin-right: 10px;"></div> A.s.₁ — A.s.₂ — 11,6 cm. <div style="border-left: 1px solid black; height: 15px; margin-right: 10px;"></div> A.s.₂ — A.s.₃ — 6,2 cm. <div style="border-left: 1px solid black; height: 15px; margin-right: 10px;"></div> A.s.₃ — P.c. — 2,0 cm. </div>
Comprimento das colaterais da A. m. i.....	<div style="display: flex; align-items: center;"> A.c.e. — 9,2 cm. <div style="border-left: 1px solid black; height: 15px; margin-right: 10px;"></div> A.s.₁ — 3,3 cm. <div style="border-left: 1px solid black; height: 15px; margin-right: 10px;"></div> A.s.₂ — 3,7 cm. <div style="border-left: 1px solid black; height: 15px; margin-right: 10px;"></div> A.s.₃ — 0,5 cm. </div>
Distância do ponto de divisão das colaterais da A. m. i. ao intestino.....	<div style="display: flex; align-items: center;"> A.c.e. — 3,3 cm. <div style="border-left: 1px solid black; height: 15px; margin-right: 10px;"></div> A.s.₁ — 3,1 cm. <div style="border-left: 1px solid black; height: 15px; margin-right: 10px;"></div> A.s.₂ — 3,7 cm. <div style="border-left: 1px solid black; height: 15px; margin-right: 10px;"></div> A.s.₃ — 1,9 cm. </div>
A. sigmóidea ima	<div style="display: flex; align-items: center;"> Diâmetro externo <div style="border-left: 1px solid black; height: 15px; margin-right: 10px;"></div> 0,05 cm. </div>
	<div style="display: flex; align-items: center;"> Desembocadura <div style="border-left: 1px solid black; height: 15px; margin-right: 10px;"></div> na A. h. s. </div>
Situação do ponto crítico em relação ao S. r. s.....	na metade cranial.
Origem e distrib. das Aa. r. s..	<div style="display: flex; align-items: center;"> 2 provenientes da arcada A.s.₂ — <div style="border-left: 1px solid black; height: 15px; margin-right: 10px;"></div> A.s.₃..... <div style="border-left: 1px solid black; height: 15px; margin-right: 10px;"></div> 1 proveniente da A. s. i..... <div style="border-left: 1px solid black; height: 15px; margin-right: 10px;"></div> 2 provenientes da A. h. s..... <div style="border-left: 1px solid black; height: 15px; margin-right: 10px;"></div> 2 provenientes da A. h. s., distribuem-se à metade caudal. </div>
Divisão da A. h. s. em relação ao S. r. s.....	na metade caudal.

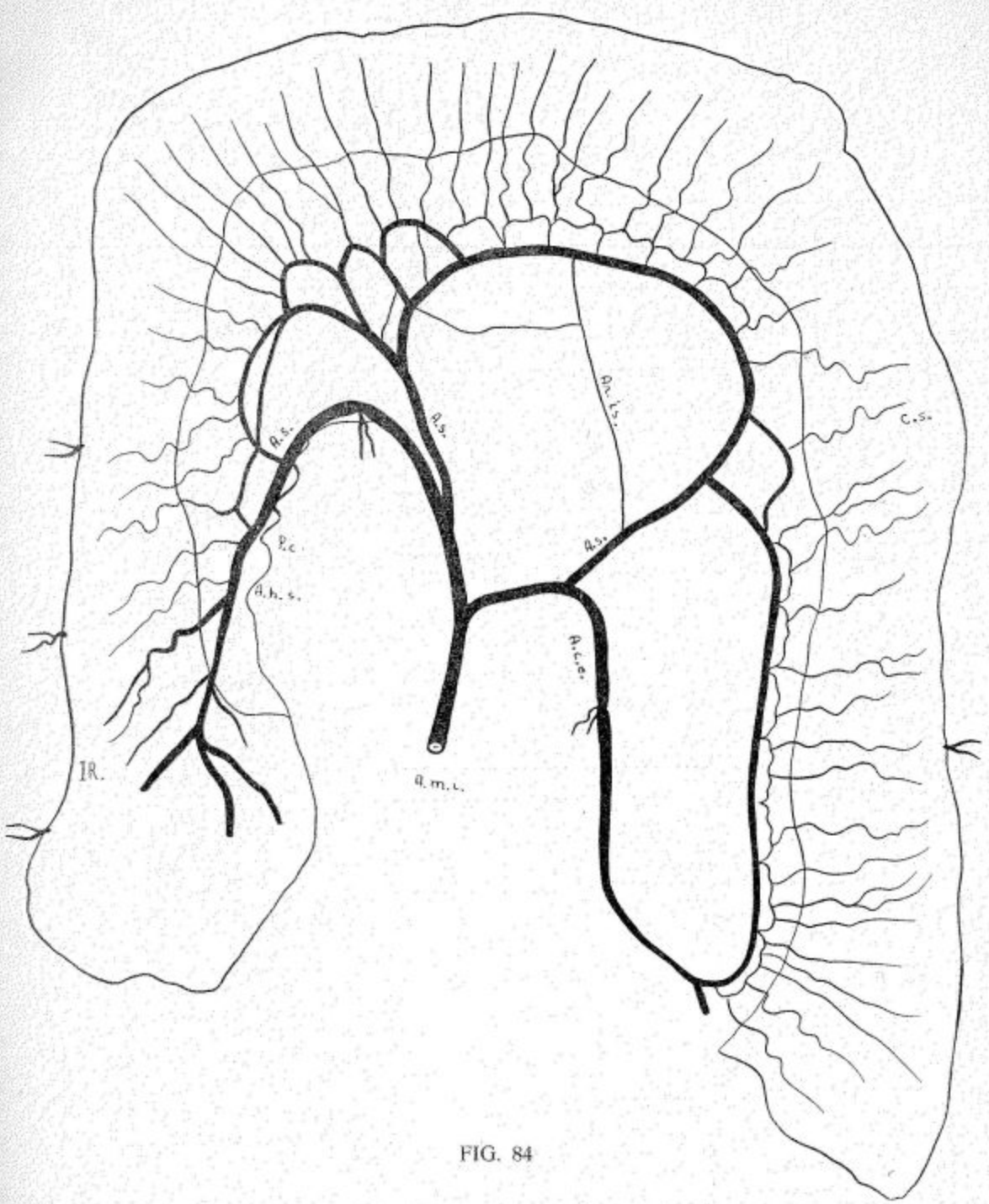


FIG. 84

OBSERVAÇÃO N.º 85

NOME: D. P.

SEXO: masculino.

CÔR: branca.

NACIONALIDADE: brasileira.

IDADE: 24 anos.

PROCEDÊNCIA: Departam. de Anatomia Patológica da Faculdade de Medicina da Universidade de São Paulo.

Distância bífilio cristal.....	25,8 cm.
Distância xifo-pública.....	35,4 cm.
Comprimento do colo sigmóide.....	41,7 cm.
Mobilidade do colo sigmóide.....	proximal fixo; distal móvel. 7,5 cm.
Altura do meso-sigmóideo.....	ântero-lateral esquerda.
Origem da A. m. i. na aorta.....	fibrocartilagem entre L ₂ - L ₃ .
Projeção vertebral da origem da A. m. i.....	
Distância do ponto crítico suposto ao plano do promontório.....	0.
Distância do nível real do ponto crítico ao nível suposto.....	+ 2,4 cm.
Distância do nível (x) à origem da última A. sigmóidea.....	nível de A.s. ₂ .
Distância do nível (x) à divisão da A. h. s.....	3,8 cm.
Distância da origem da A. m. i. à origem da A. c. e.....	2,3 cm.
Distância da origem da A. m. i. ao ponto crítico.....	11,2 cm.
Distância da origem da A. m. i. à divisão da A. h. s.....	10,0 cm.
Distância da origem da última A. sigmóidea ou tronco das sigmóideas à divisão da A. h. s.....	8,4 cm.
Distância da última A. sigmóidea ao ponto crítico.....	5,6 cm.
Colaterais da A. m. i.....	$\left\{ \begin{array}{l} \text{Tr.c.s.} \rightarrow \text{A.c.e.} + \text{A.s.}_1 \\ \text{A.s.}_2 \\ \text{A.s.}_3 \\ \text{A.s.}_4 \end{array} \right.$
Distância entre a origem das colaterais da A. m. i.....	$\left\{ \begin{array}{l} \text{Tr.c.s.} - \text{A.s.}_2 = 2,0 \text{ cm.} \\ \text{A.s.}_2 - \text{A.s.}_3 = 4,9 \text{ cm.} \\ \text{A.s.}_3 - \text{A.s.}_4 = 0,9 \text{ cm.} \end{array} \right.$
Modo de terminação das colaterais da A. m. i. e da A. h. s.....	formando arcadas.
Número de arcadas arteriais.....	$\left\{ \begin{array}{l} 4 \text{ primárias.} \\ \text{numerosas secundárias.} \end{array} \right.$
Arcada entre a primeira A. sigmóidea e a A. c. e....	+
Comprimento das árcadas primárias.....	$\left\{ \begin{array}{l} \text{A.c.e.} - \text{A.s.}_1 = 14,6 \text{ cm.} \\ \text{A.s.}_1 - \text{A.s.}_2 = 10,1 \text{ cm.} \\ \text{A.s.}_2 - \text{A.s.}_3 = 7,8 \text{ cm.} \\ \text{A.s.}_3 - \text{A.s.}_4 = 5,3 \text{ cm.} \end{array} \right.$
Comprimento das colaterais da A. m. i.....	$\left\{ \begin{array}{l} \text{A.c.e.} = 7,0 \text{ cm.} \\ \text{A.s.}_1 = 3,1 \text{ cm.} \\ \text{A.s.}_2 = 4,1 \text{ cm.} \\ \text{A.s.}_3 = 0,6 \text{ cm.} \\ \text{A.s.}_4 = 1,1 \text{ cm.} \end{array} \right.$
Distância do ponto de divisão das colaterais da A. m. i. ao intestino.....	$\left\{ \begin{array}{l} \text{A.c.e.} = 3,8 \text{ cm.} \\ \text{A.s.}_1 = 4,9 \text{ cm.} \\ \text{A.s.}_2 = 3,5 \text{ cm.} \\ \text{A.s.}_3 = 2,0 \text{ cm.} \\ \text{A.s.}_4 = 1,8 \text{ cm.} \end{array} \right.$
A. sigmóidea ima $\left\{ \begin{array}{l} \text{Diâmetro externo} \\ \text{Desembocadura} \end{array} \right.$	— —
Situação do ponto crítico em relação ao S. r. s....	na metade cranial.
Origem e distrib. das Aa. r. s..	$\left\{ \begin{array}{l} 5 \text{ provenientes da arcada A.s.}_3 - \text{A.s.}_4, \text{ distribuem-se à metade cranial.} \\ 1 \text{ constituída pelo ramo distal de bifurcação de A.s.}_4, \text{ distribue-se à metade caudal.} \end{array} \right.$
Divisão da A. h. s. em relação ao S. r. s.....	bifurca-se na metade caudal.

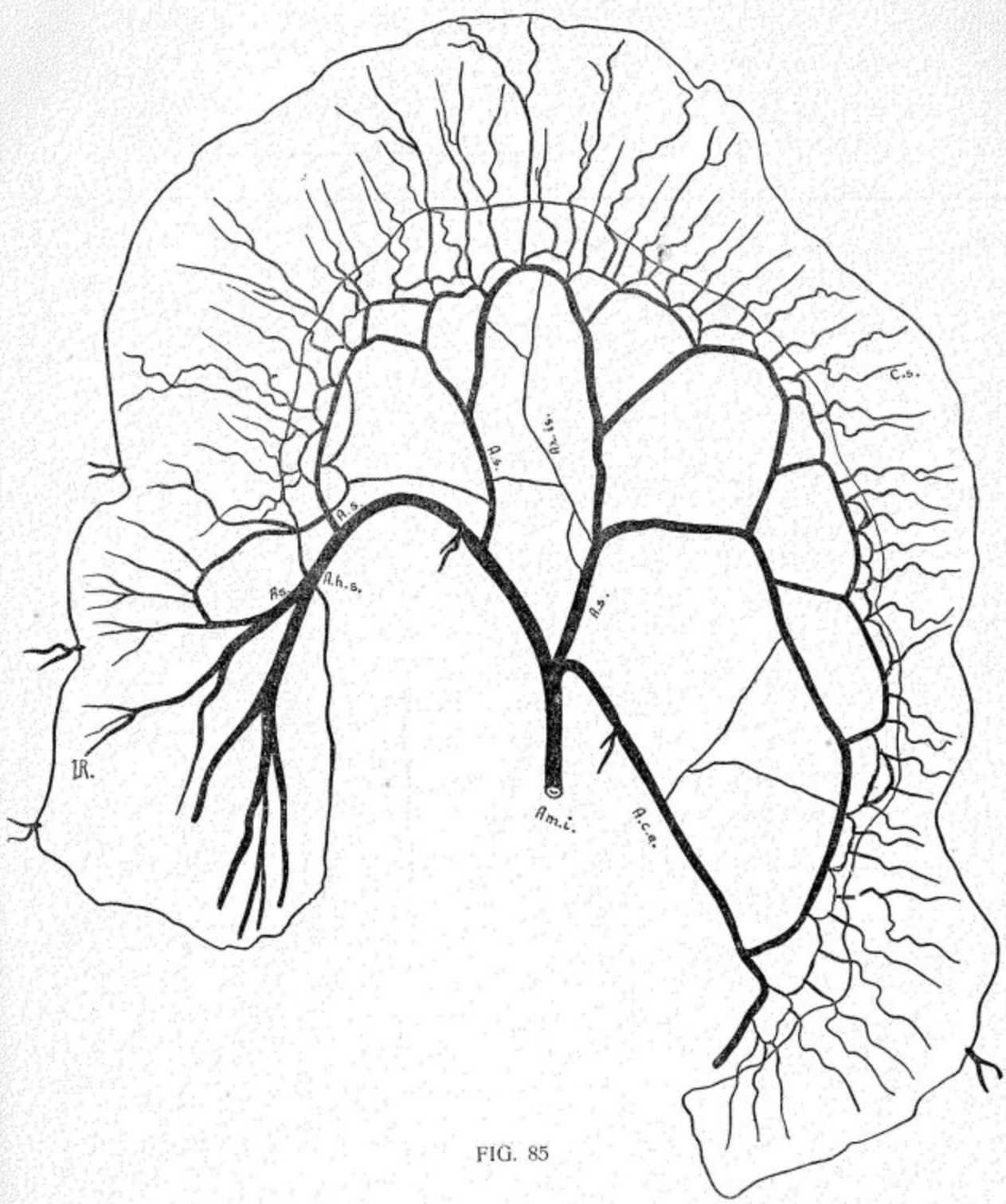


FIG. 85

OBSERVAÇÃO N.º 86

NOME: M. M.	IDADE: 78 anos.
SEXO: masculino.	PROCEDÊNCIA: Departam. de Anatomia
CÔR: branca.	Patológica da Faculdade de Medicina
NACIONALIDADE: portuguêsa.	da Universidade de São Paulo.
Distância bi-ílio cristal.....	29,8 cm.
Distância xifo-púbica.....	32,0 cm.
Comprimento do colo sigmóide.....	44,6 cm.
Mobilidade do colo sigmóide.....	móvel.
Altura do meso-sigmóideo.....	8,0 cm.
Origem da A. m. i. na aorta.....	ântero-lateral esquerda.
Projeção vertebral da origem da A. m. i.	fibrocartilagem entre L ₂ e L ₃ .
Distância do ponto crítico suposto ao plano do promontório.....	1,7 cm.
Distância do nível real do ponto crítico ao nível suposto.....	+ 3,4 cm.
Distância do nível (x) à origem da última A. sigmóidea	3,1 cm.
Distância do nível (x) à divisão da A. h. s.	5,8 cm.
Distância da origem da A. m. i. à origem da A. c. e.	4,4 cm.
Distância da origem da A. m. i. ao ponto crítico....	14,5 cm.
Distância da origem da A. m. i. à divisão da A. h. s.	14,5 cm.
Distância da origem da última A. sigmóidea ou tronco das sigmóideas à divisão da A. h. s.	8,6 cm.
Distância da última A. sigmóidea ao ponto crítico ..	8,6 cm.
Colaterais da A. m. i.	{ Tr.c.s. → A.c.e. + A.s. A.s. ₂
Distância entre a origem das colaterais da A. m. i.	Tr.c.s. - A.s. ₂ — 1,5 cm.
Modo de terminação das colaterais da A. m. i. e da A. h. s.	formando arcadas.
Número de arcadas arteriais.....	{ 3 primárias. numerosas secundárias.
Arcada entre a primeira A. sigmóidea e a A. c. e.	+
Comprimento das arcadas primárias.....	{ A.c.e. - A.s. ₁ — 17,5 cm. A.s. ₁ - A.s. ₂ — 17,1 cm. A.s. ₂ - P.c. — 5,5 cm.
Comprimento das colaterais da A. m. i.	{ A.c.e. — 6,8 cm. A.s. ₁ — 7,4 cm. A.s. ₂ — 5,1 cm.
Distância do ponto de divisão das colaterais da A. m. i. ao intestino.....	{ A.c.e. — 5,3 cm. A.s. ₁ — 2,9 cm. A.s. ₂ — 3,9 cm.
A. sigmóidea ima { Diâmetro externo	0,25 cm.
	na A. h. s.
Situação do ponto crítico em relação ao S. r. s.	no limite cranial do I. R.
Origem e distrib. das Aa. r. s.	{ 2 provenientes de uma arcada secundária entre A.s. ₂ e seu ramo distal de bifurcação, distribuem-se à metade cranial. 2 provenientes da A. s. i., distribuem-se à metade caudal.
Divisão da A. h. s. em relação ao S. r. s.	bifurca-se na metade caudal.

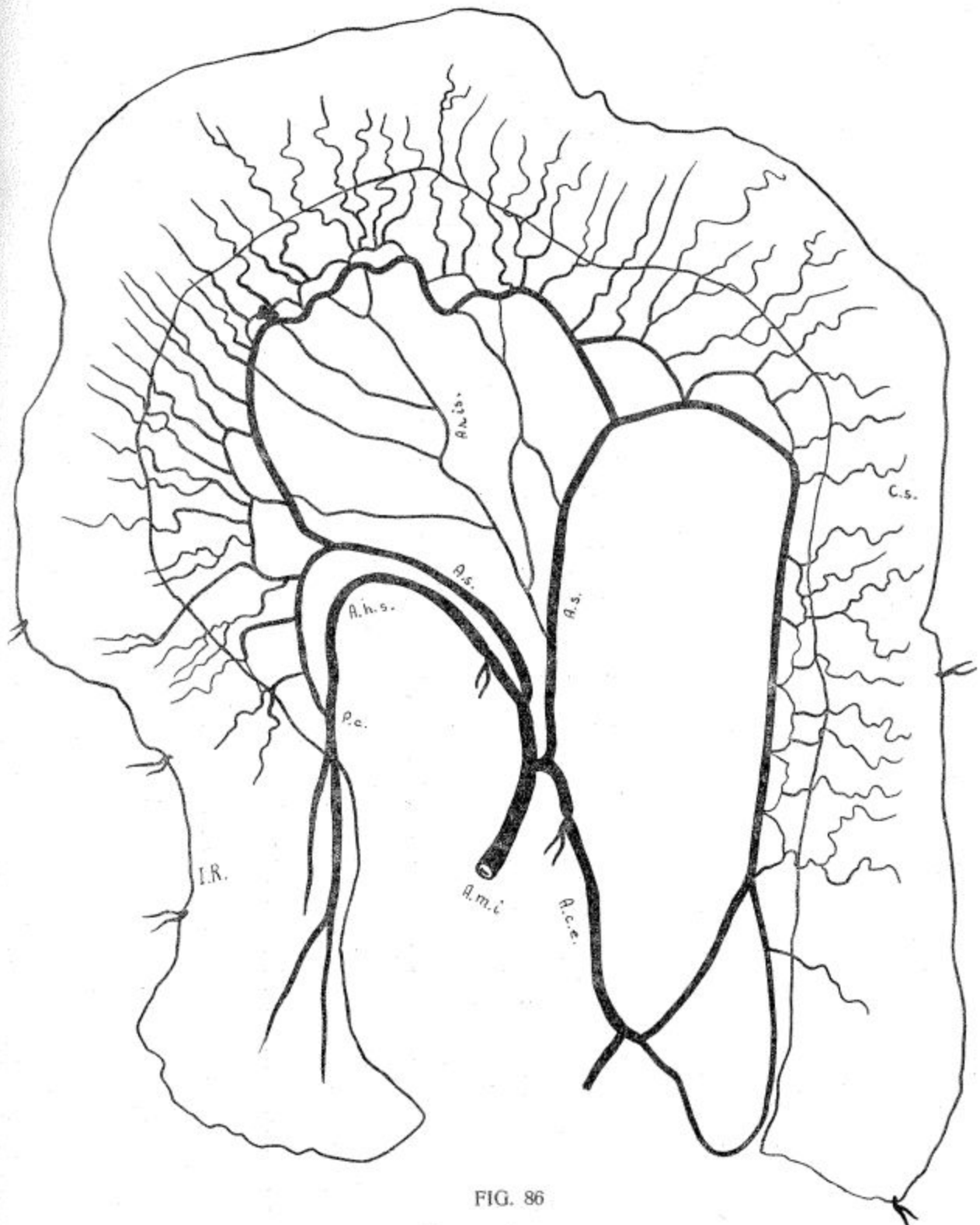


FIG. 86

O B S E R V A Ç Ã O N.º 87

NOME: D. S. S.

SEXO: masculino.

COR: preta.

NACIONALIDADE: brasileira.

IDADE: 39 anos.

PROCEDÊNCIA: Departam. de Anatomia Patológica da Faculdade de Medicina da Universidade de São Paulo.

Distância bi-ílio cristal.....	27,6 cm.
Distância xifo-pública.....	34,0 cm.
Comprimento do colo sigmóide.....	42,0 cm.
Mobilidade do colo sigmóide.....	proximal fixo; distal móvel.
Altura do meso-sigmóideo	6,3 cm.
Origem da A. m. i. na aorta.....	ântero-lateral esquerda.
Projeção vertebral da origem da A. m. i.	terço cranial de L ₄ .
Distância do ponto crítico suposto ao plano do promontório.....	0.
Distância do nível real do ponto crítico ao nível suposto.....	+ 5,7 cm.
Distância do nível (x) à origem da última A. sigmóidea.....	prejudicado.
Distância do nível (x) à divisão da A. h. s.....	prejudicado.
Distância da origem da A. m. i. à origem da A. c. e.....	1,2 cm.
Distância da origem da A. m. i. ao ponto crítico.....	11,0 cm.
Distância da origem da A. m. i. à divisão da A. h. s.....	10,5 cm.
Distância da origem da última A. sigmóidea ou tronco das sigmóideas à divisão da A. h. s.....	6,5 cm.
Distância da última A. sigmóidea ao ponto crítico.....	6,8 cm.
Colaterais da A. m. i.....	$\left\{ \begin{array}{l} \text{Tr.c.s.} \rightarrow \text{A.c.e. } (r_1, r_2, r_3) + \text{A.s.}_1 \\ \text{A.}_2 \\ \text{A.s.}_3 \end{array} \right.$
Distância entre a origem das colaterais da A. m. i.	$\left\{ \begin{array}{l} \text{Tr.c.s.} - \text{A.s.}_2 = 1,3 \text{ cm.} \\ \text{A.s.}_2 - \text{A.s.}_3 = 1,7 \text{ cm.} \end{array} \right.$
Modo de terminação das colaterais da A. m. i. e da A. h. s.....	formando arcadas.
Número de arcadas arteriais.....	$\left\{ \begin{array}{l} 7 \text{ primárias.} \\ \text{numerosas secundárias.} \\ \text{terciárias.} \\ \text{quaternárias.} \end{array} \right.$
Arcada entre a primeira A. sigmóidea e a A. c. e....	—.
Comprimento das arcadas primárias.....	$\left\{ \begin{array}{l} \text{A.c.e.} - r_1 = 2,6 \text{ cm.} \\ r_1 - r_2 = 3,7 \text{ cm.} \\ r_2 - r_3 = 3,4 \text{ cm.} \\ r_3 - \text{A.s.}_1 = 5,4 \text{ cm.} \\ \text{A.s.}_1 - \text{A.s.}_2 = 6,3 \text{ cm.} \\ \text{A.s.}_2 - \text{A.s.}_3 = 4,5 \text{ cm.} \\ \text{A.s.}_3 - \text{P.c.} = 6,7 \text{ cm.} \end{array} \right.$
Comprimento das colaterais da A. m. i.....	$\left\{ \begin{array}{l} \text{A.c.e.} = 5,2 \text{ cm.} \\ r_1 = 1,9 \text{ cm.} \\ r_2 = 4,2 \text{ cm.} \\ r_3 = 5,2 \text{ cm.} \\ \text{A.s.}_1 = 5,8 \text{ cm.} \\ \text{A.s.}_2 = 4,5 \text{ cm.} \\ \text{A.s.}_3 = 2,0 \text{ cm.} \end{array} \right.$
Distância do ponto de divisão das colaterais da A. m. i. ao intestino.....	$\left\{ \begin{array}{l} \text{A.c.e.} = 7,3 \text{ cm.} \\ r_1 = 1,4 \text{ cm.} \\ r_2 = 1,0 \text{ cm.} \\ r_3 = 2,1 \text{ cm.} \\ \text{A.s.}_1 = 3,5 \text{ cm.} \\ \text{A.s.}_2 = 2,8 \text{ cm.} \\ \text{A.s.}_3 = 3,8 \text{ cm.} \end{array} \right.$
A. sigmóidea ima	$\left\{ \begin{array}{l} \text{Diâmetro externo} 0,25 \text{ cm.} \\ \text{Desembocadura} \text{no r. e.} \end{array} \right.$
Situação do ponto crítico em relação ao S. r. s....	na metade cranial.
Origem e distrib. das Aa. r. s..	$\left\{ \begin{array}{l} 4 \text{ provenientes da A. s. i., distribuem-se à metade cranial.} \\ 1 \text{ proveniente da A. s. i., distribue-se à metade caudal.} \end{array} \right.$
Divisão da A. h. s. em relação ao S. r. s.....	bifurca-se na metade caudal.

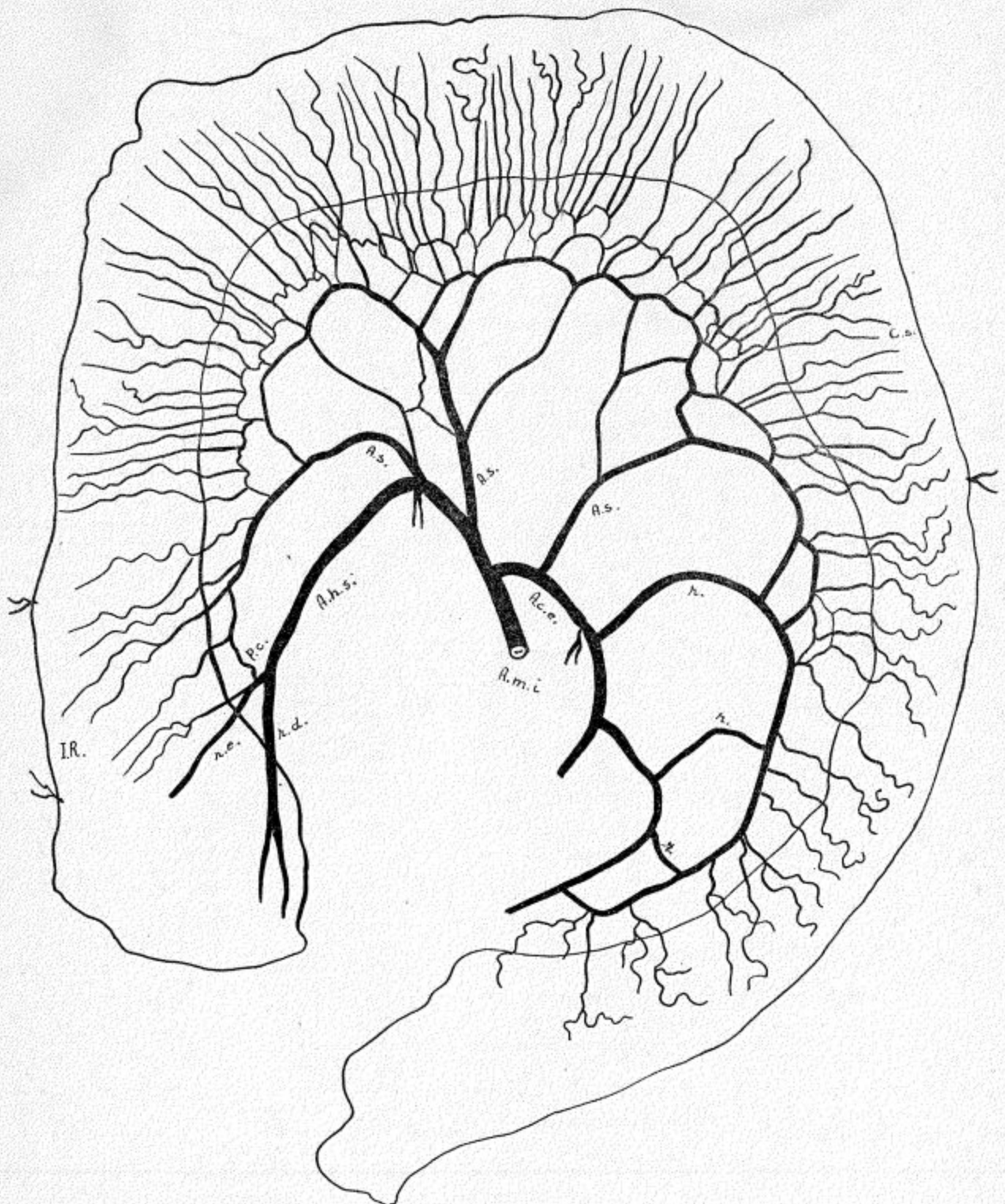


FIG. 87

OBSERVAÇÃO N.º 88

NOME: L. B.
SEXO: masculino.
CÓR: branca.
NACIONALIDADE: brasileira.

IDADE: 27 anos.
PROCEDÊNCIA: Departam. de Anatomia
Patológica da Faculdade de Medicina
da Universidade de São Paulo.

Distância bi-ílio cristal.....	29,7 cm.
Distância xifo-pública.....	33,0 cm.
Comprimento do colo sigmóide.....	59,5 cm.
Mobilidade do colo sigmóide.....	móvel.
Altura do meso-sigmóideo.....	10,8 cm.
Origem da A. m. i. na aorta.....	ântero-lateral esquerda.
Projeção vertebral da origem da A. m. i.....	térço caudal de L ₂ .
Distância do ponto crítico suposto ao plano do promontório.....	+ 2,0 cm.
Distância do nível real do ponto crítico ao nível suposto.....	+ 2,7 cm.
Distância do nível (x) à origem da última A. sigmóidea	2,7 cm.
Distância do nível (x) à divisão da A. h. s.....	6,9 cm.
Distância da origem da A. m. i. à origem da A. c. e.	3,0 cm.
Distância da origem da A. m. i. ao ponto crítico.....	9,7 cm.
Distância da origem da A. m. i. à divisão da A. h. s.	13,7 cm.
Distância da origem da última A. sigmóidea ou tronco das sigmóideas à divisão da A. h. s.....	9,5 cm.
Distância da última A. sigmóidea ao ponto crítico.....	5,2 cm.
Colaterais da A. m. i.....	{ Tr.c.s. → A.c.e. (r ₁ , A.s. ₁ , A.s. ₂) A.s. ₃
Distância entre a origem das colaterais da A. m. i.....	Tr.c.s. - A.s. ₃ — 1,3 cm.
Modo de terminação das colaterais da A. m. i. e da A. h. s.....	{ formando arcadas. 2 isoladas.
Número de arcadas arteriais.....	{ 7 primárias. várias secundárias. terciárias.
Arcada entre a primeira A. sigmóidea e a A. c. e....	+ com r ₁ intercalado.
Comprimento das arcadas primárias.....	{ A.c.e. — r ₁ — 3,9 cm. r ₁ — A.s. ₁ — 6,4 cm. A.s. ₁ — A.s. ₂ — 6,5 cm. A.s. ₂ — A.s. ₃ — 10,7 cm. A.s. ₃ — P.c. — 5,7 cm.
Comprimento das colaterais da A. m. i.....	{ A.c.e. — 8,8 cm. r ₁ — 1,9 cm. A.s. ₁ — 5,4 cm. A.s. ₂ — 7,9 cm. A.s. ₃ — 2,0 cm.
Distância do ponto de divisão das colaterais da A. m. i. ao intestino.....	{ A.c.e. — 2,0 cm. r ₁ — 0,8 cm. A.s. ₁ — 1,7 cm. A.s. ₂ — 1,8 cm. A.s. ₃ — 5,9 cm.
A. sigmóidea ima { Diâmetro externo	0,20 cm.
Desembocadura	na A. h. s.
Situação do ponto crítico em relação ao S. r. s.....	acima do limite cranial.
Origem e distrib. das Aa. r. s. 2 provenientes da A. h. s., distribuem-se à metade cranial.	
Divisão da A. h. s. em relação ao S. r. s.....	bifurca-se no limite cranial.

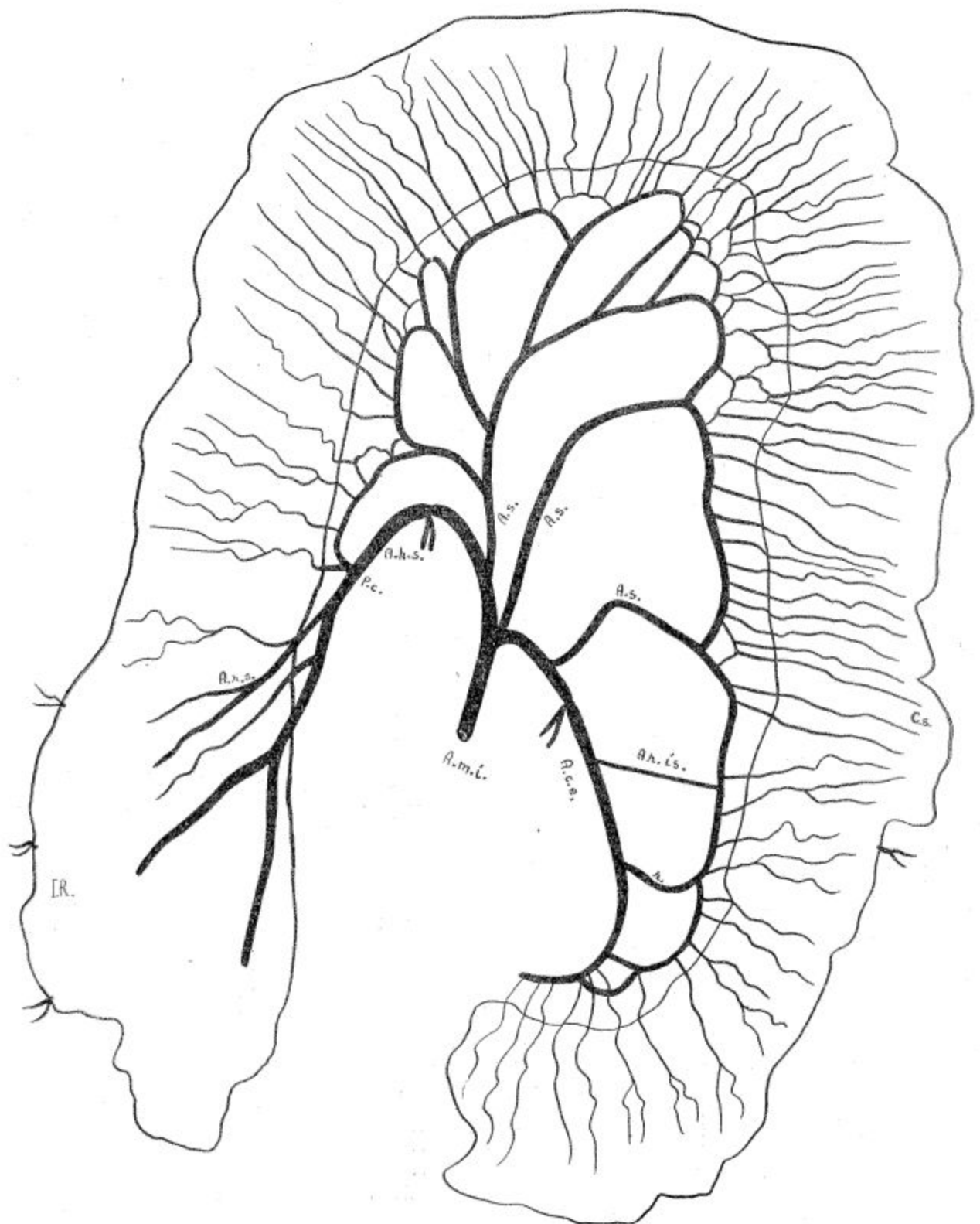


FIG. 88

OBSERVAÇÃO N.º 89

NOME: D. M.

SEXO: masculino.

COR: branca.

NACIONALIDADE: brasileira.

IDADE: 38 anos.

PROCEDÊNCIA: Departam. de Anatomia Patológica da Faculdade de Medicina da Universidade de São Paulo.

Distância bi-ilio cristal.....	26,5 cm.
Distância xifo-pública.....	30,0 cm.
Comprimento do colo sigmóide.....	48,4 cm.
Mobilidade do colo sigmóide.....	proximal fixo; distal móvel. 7,5 cm.
Altura do meso-sigmóideo.....	anterior, linha média. terço médio de L ₃ .
Origem da A. m. i. na aorta.....	0.
Projeção vertebral da origem da A. m. i.	+ 2,9 cm.
Distância do ponto crítico suposto ao plano do promontório.....	entre A.s. ₃ e A.s. ₄
Distância do nível real do ponto crítico ao nível suposto.....	9,2 cm.
Distância do nível (x) à origem da última A. sigmóidea.....	2,5 cm.
Distância da origem da A. m. i. à origem da A. c. e.	11,2 cm.
Distância da origem da A. m. i. ao ponto crítico.....	14,2 cm.
Distância da origem da última A. sigmóidea ou tronco das sigmóideas à divisão da A. h. s.....	6,0 cm.
Distância da última A. sigmóidea ao ponto crítico	2,8 cm.
Colaterais da A. m. i.....	$\left\{ \begin{array}{l} \text{Tr.c.s.} \rightarrow \text{A.c.e. (A.s.1) + A.s.2} \\ \text{A.s.3 } \\ \text{A.s.4 } \end{array} \right.$
Distância entre a origem das colaterais da A. m. i.	$\left\{ \begin{array}{l} \text{Tr.c.s. - A.s.3 — 1,4 cm.} \\ \text{A.s.3 - A.s.4 — 4,5 cm.} \end{array} \right.$
Modo de terminação das colaterais da A. m. i. e da A. h. s.....	$\left\{ \begin{array}{l} \text{formando arcadas.} \\ \text{1 isolada.} \end{array} \right.$
Número de arcadas arteriais.....	$\left\{ \begin{array}{l} \text{5 primárias.} \\ \text{numerosas secundárias.} \end{array} \right.$
Arcada entre a primeira A. sigmóidea e a A. c. e... +.	
Comprimento das arcadas primárias.....	$\left\{ \begin{array}{l} \text{A.c.e. - A.s.1 — 12,3 cm.} \\ \text{A.s.1 - A.s.2 — 12,1 cm.} \\ \text{A.s.2 - A.s.3 — 7,0 cm.} \\ \text{A.s.3 - A.s.4 — 5,3 cm.} \\ \text{A.s.4 - P.c. — 5,5 cm.} \end{array} \right.$
Comprimento das colaterais da A. m. i.....	$\left\{ \begin{array}{l} \text{A.c.e. — 5,7 cm.} \\ \text{A.s.1 — 5,6 cm.} \\ \text{A.s.2 — 5,0 cm.} \\ \text{A.s.3 — 3,0 cm.} \\ \text{A.s.4 — 0,9 cm.} \end{array} \right.$
Distância do ponto de divisão das colaterais da A. m. i. ao intestino.....	$\left\{ \begin{array}{l} \text{A.c.e. — prejudicado.} \\ \text{A.s.1 — 3,5 cm.} \\ \text{A.s.2 — 4,2 cm.} \\ \text{A.s.3 — 3,9 cm.} \\ \text{A.s.4 — 2,2 cm.} \end{array} \right.$
A. sigmóidea ima $\left\{ \begin{array}{l} \text{Diâmetro externo} \\ \text{Desembocadura} \end{array} \right.$	$\left\{ \begin{array}{l} 0,20 \text{ cm.} \\ \text{na A. h. s.} \end{array} \right.$
Situação do ponto crítico em relação ao S. r. s.....	na metade cranial.
Origem e distrib. das Aa. r. s. $\left\{ \begin{array}{l} \text{3 provenientes da A. s. i., distribuem-se à metade cranial.} \\ \text{1 proveniente da A. h. s., distribue-se à metade caudal.} \end{array} \right.$	
Divisão da A. h. s. em relação ao S. r. s.....	bifurca-se na metade caudal.

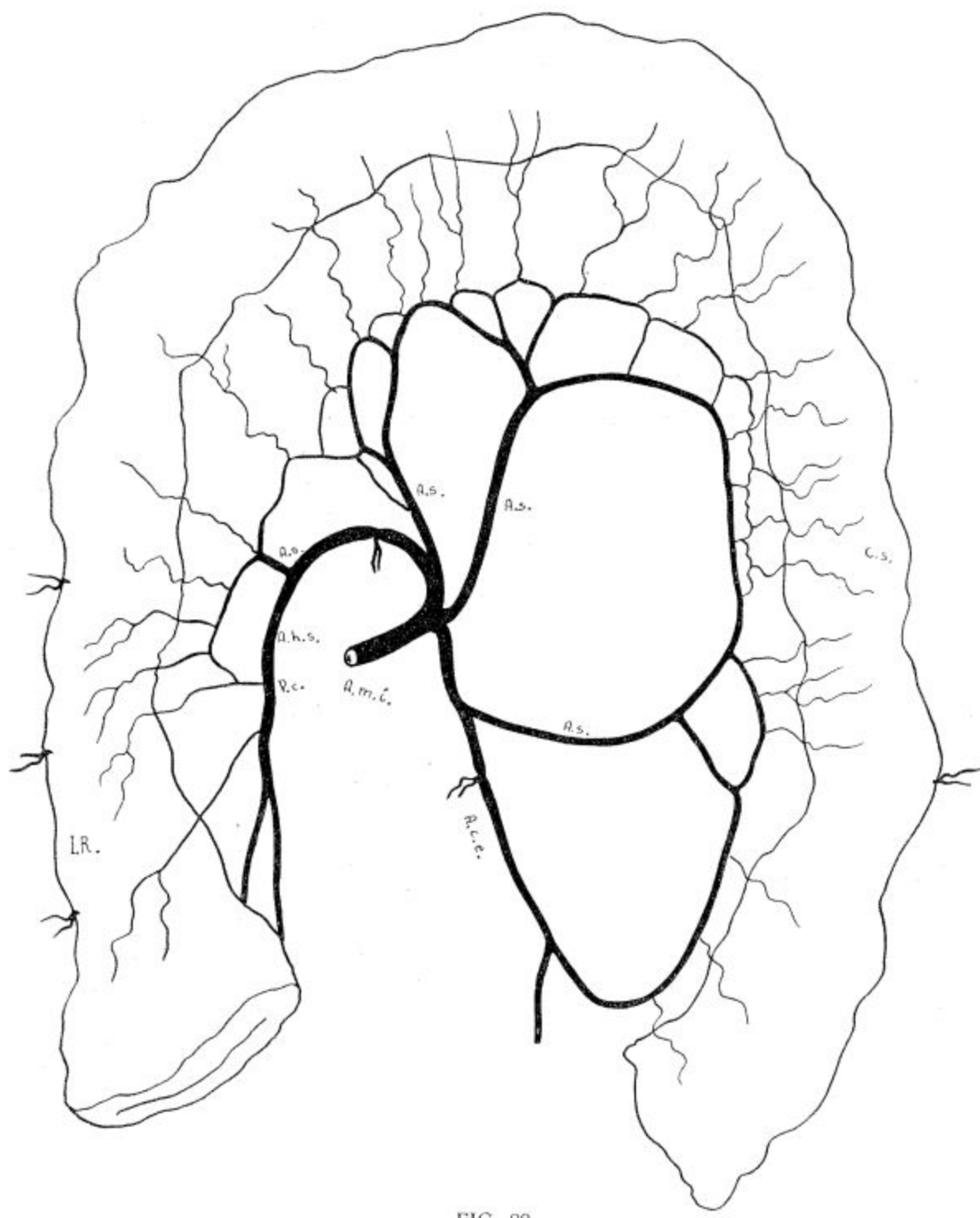


FIG. 89

O B S E R V A Ç Ã O N.º 90

NOME: J. P. A.

SEXO: masculino.

COR: parda.

NACIONALIDADE: brasileira.

IDADE: 48 anos.

PROCEDÊNCIA: Departamento de Anatomia Patológica da Faculdade de Medicina da Universidade de São Paulo.

Distância bi-ilio cristal.....	30,0 cm.
Distância xifo-pública.....	34,7 cm.
Comprimento do colo sigmóide.....	63,5 cm.
Mobilidade do colo sigmóide.....	móvel.
Altura do meso-sigmóideo.....	14,3 cm.
Origem da A. m. i. na aorta.....	anterior, linha média.
Projeção vertebral da origem da A. m. i.	terço caudal de L ₅ .
Distância do ponto crítico suposto ao plano do promontório.....	— 0,9 cm.
Distância do nível real do ponto crítico ao nível suposto.....	+ 2,6 cm.
Distância do nível (x) à origem da última A. sigmóidea.....	ao nível de A.s. ₅
Distância do nível (x) à divisão da A. h. s.....	9,2 cm.
Distância da origem da A. m. i. à origem da A. c. e.	3,4 cm.
Distância da origem da A. m. i. ao ponto crítico.....	11,2 cm.
Distância da origem da A. m. i. à divisão da A. h. s.....	13,4 cm.
Distância da origem da última A. sigmóidea ou tronco das sigmóideas à divisão da A. h. s.....	9,2 cm.
Distância da última A. sigmóidea ao ponto crítico.....	6,8 cm.
Colaterais da A. m. i.....	{ Tr.c.s. → A.c.e. (A.s. ₃ . A.s. ₂) + A.s. ₁ Tr.s. → A.s. ₄ + A.s. ₅
Distância entre a origem das colaterais da A. m. i.	Tr.c.s. — Tr.s. — 1,2 cm.
Modo de terminação das colaterais da A. m. i. e da A. h. s.....	formando arcadas.
Número de arcadas arteriais.....	{ 6 primárias. numerosas secundárias.
Arcada entre a primeira A. sigmóidea e a A. c. e.	+
Comprimento das arcadas primárias.....	{ A.c.e. — A.s. ₁ — 7,5 cm. A.s. ₁ — A.s. ₂ — 9,7 cm. A.s. ₂ — A.s. ₃ — 10,5 cm. A.s. ₃ — A.s. ₄ — 8,4 cm. A.s. ₄ — A.s. ₅ — 4,8 cm. A.s. ₅ — P.c. — 8,5 cm.
Comprimento das colaterais da A. m. i.....	{ A.c.e. — 15,2 cm. A.s. ₁ — 1,9 cm. A.s. ₂ — 2,4 cm. A.s. ₃ — 7,6 cm. A.s. ₄ — 7,7 cm. A.s. ₅ — 2,8 cm.
Distância do ponto de divisão das colaterais da A. m. i. ao intestino.....	{ A.c.e. — 1,4 cm. A.s. ₁ — 1,7 cm. A.s. ₂ — 3,6 cm. A.s. ₃ — 2,3 cm. A.s. ₄ — 3,0 cm. A.s. ₅ — 2,5 cm.
A. sigmóidea ima { Diâmetro externo	0,25 cm.
Situação do ponto crítico em relação ao S. r. s	na A. h. s.
Origem e distrib. das Aa. r. s. { 2 provenientes da A. s. i., dis-tribuem-se.....	na metade cranial.
Divisão da A. h. s. em relação ao S. r. s.....	{ 1 à metade cranial. 1 à metade caudal. bifurca-se no limite cranial do I. R.

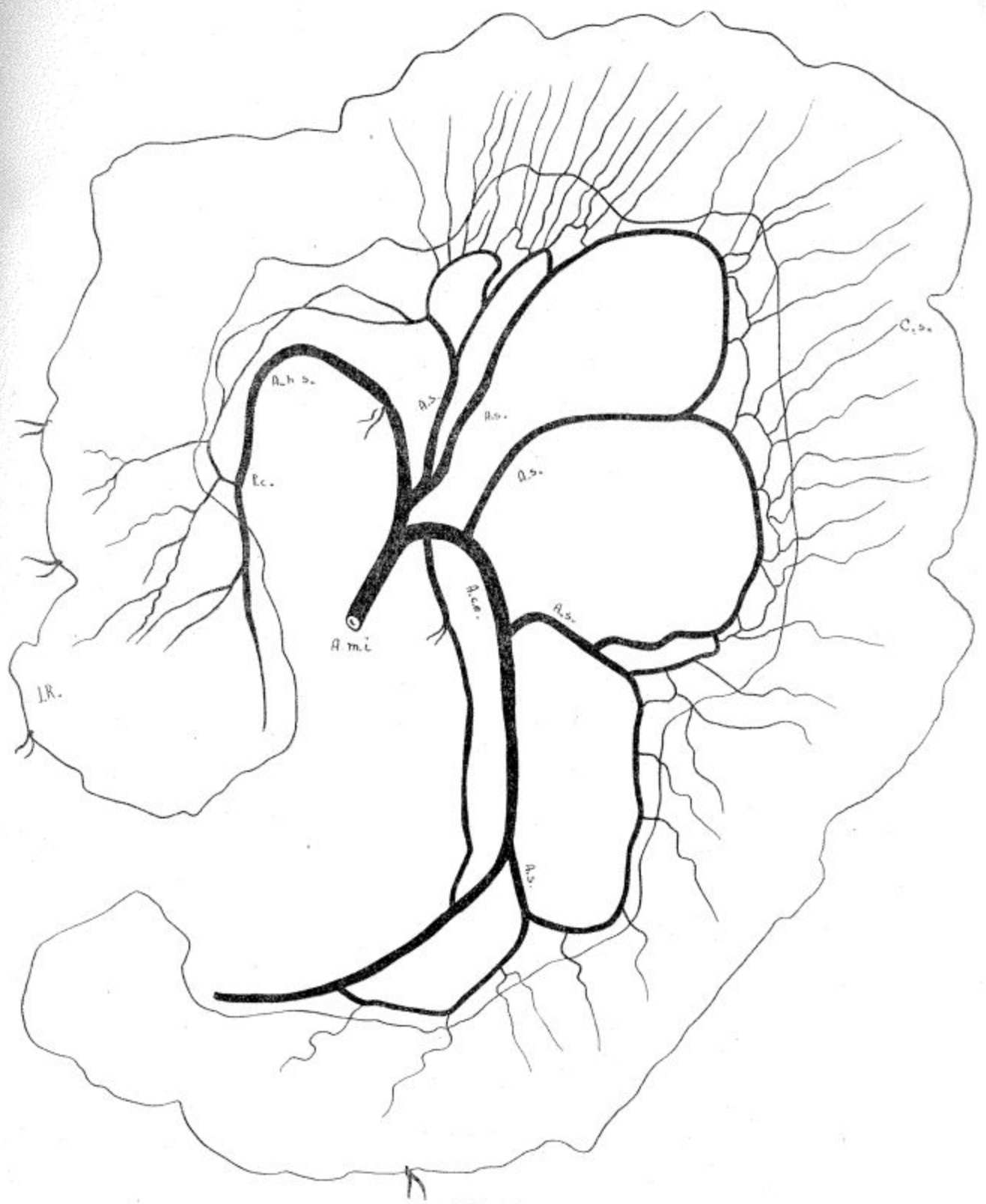


FIG. 90

OBSERVAÇÃO N.º 91

NOME: A. B. D.

SEXO: masculino.

COR: branca.

NACIONALIDADE: brasileira.

IDADE: 50 anos.

PROCEDÊNCIA: Departam. de Anatomia Patológica da Faculdade de Medicina da Universidade de São Paulo.

Distância bi-filio cristal.....	26,2 cm.
Distância xifo-púbica.....	32,2 cm.
Comprimento do colo sigmóide.....	58,0 cm.
Mobilidade do colo sigmóide.....	móvel.
Altura do meso-sigmóideo.....	9,0 cm.
Origem da A. m. i. na aorta.....	antero-lateral esquerda.
Projeção vertebral da origem da A. m. i.....	térço caudal de L ₃ .
Distância do ponto crítico suposto ao plano do pro-montório.....	— 0,7 cm.
Distância do nível real do ponto crítico ao nível suposto.....	0.
Distância do nível (x) à origem da última A. sigmóidea.....	5,0 cm.
Distância do nível (x) à divisão da A. h. s.....	6,9 cm.
Distância da origem da A. m. i. à origem da A. c. e.....	1,5 cm.
Distância da origem da A. m. i. ao ponto crítico.....	9,1 cm.
Distância da origem da A. m. i. à divisão da A. h. s.....	16,0 cm.
Distância da origem da última A. sigmóidea ou tronco das sigmóideas à divisão da A. h. s.....	11,1 cm.
Distância da última A. sigmóidea ao ponto crítico.....	5,0 cm.
Colaterais da A. m. i.....	{ Tr.c.s. → A.c.e. (A.s. ₁ , A.s. ₂) Tr.s. → (A.s. ₃) A.s. ₃ + A.s. ₄
Distância entre a origem das colaterais da A. m. i.....	Tr.c.s. — Tr.s. — 2,7 cm.
Modo de terminação das colaterais da A. m. i. e da A. h. s.....	{ formando arcadas. 3 isoladas.
Número de arcadas arteriais.....	{ 6 primárias. numerosas secundárias.
Arcada entre a primeira A. sigmóidea e a A. c. e....	+.
Comprimento das arcadas primárias.....	{ A.c.e. — A.s. ₁ — 9,0 cm. A.s. ₁ — A.s. ₂ — 7,4 cm. A.s. ₂ — A.s. ₃ — 14,7 cm. A.s. ₃ — A.s. ₄ — 9,5 cm. A.s. ₄ — A.s. ₅ — 9,2 cm. A.s. ₅ — P.C. — 3,4 cm.
Comprimento das colaterais da A. m. i.....	{ A.c.e. — 15,2 cm. A.s. ₁ — 5,7 cm. A.s. ₂ — 4,2 cm. A.s. ₃ — 3,6 cm. A.s. ₄ — 3,2 cm. A.s. ₅ — 4,3 cm.
Distância do ponto de divisão das colaterais da A. m. i. ao intestino.....	{ A.c.e. — 3,8 cm. A.s. ₁ — 2,3 cm. A.s. ₂ — 3,2 cm. A.s. ₃ — 5,1 cm. A.s. ₄ — 4,6 cm. A.s. ₅ — 3,0 cm.
A. sigmóidea ima { Diâmetro externo	0,30 cm.
Desembocadura	na A. h. s.
Situação do ponto crítico em relação ao S. r. s.....	acima do limite cranial.
Origem e distrib. das Aa. r. s. { 1 proveniente da A. s. i.....	{ distribuem-se à metade cranial
1 proveniente da A. h. s.....	{ à metade caudal
2 provenientes da A. h. s.,	distribuem-se à metade caudal.
Divisão da A. h. s. em relação ao S. r. s.....	bifurca-se na metade caudal

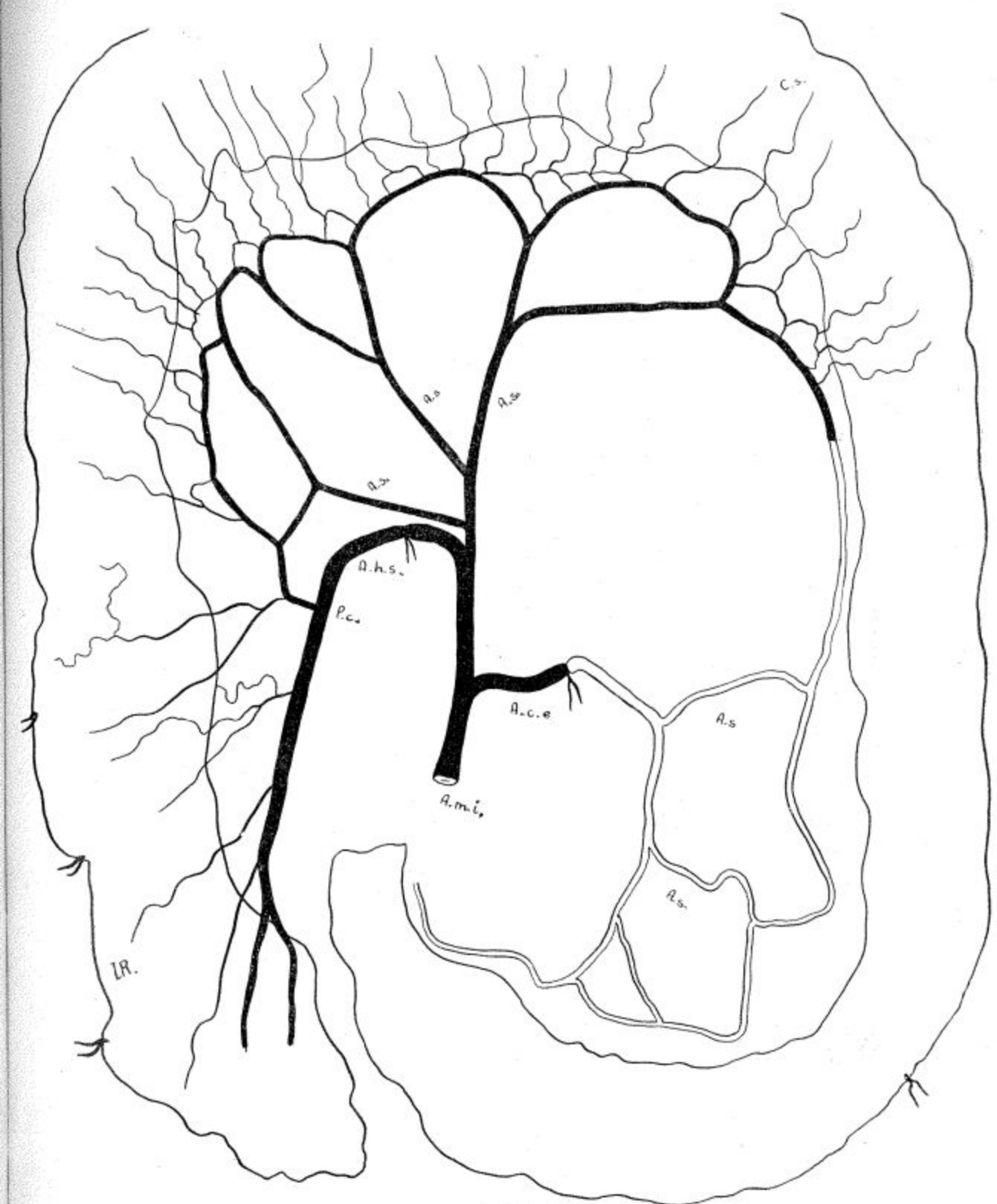


FIG. 91

OBSERVAÇÃO N.º 92

NOME: J. B. O.

SEXO: masculino.

COR: parda.

NACIONALIDADE: brasileira.

IDADE: 55 anos.

PROCEDÊNCIA: Departam. de Anatomia Patológica da Faculdade de Medicina da Universidade de São Paulo.

Distância bi-ilio cristal.....	28,5 cm.
Distância xifo-pública.....	39,8 cm.
Comprimento do colo sigmóide.....	35,0 cm.
Mobilidade do colo sigmóide.....	proximal fixo; distal móvel.
Altura do meso-sigmóideo.....	7,5 cm.
Origem da A. m. i. na aorta.....	ântero-lateral esquerda.
Projeção vertebral da origem da A. m. i.....	térço médio de L ₃ .
Distância do ponto crítico suposto ao plano do promontório.....	— 1,4 cm.
Distância do nível real do ponto crítico ao nível suposto.....	0.
Distância do nível (x) à origem da última A. sigmóidea.....	3,2 cm.
Distância do nível (x) à divisão da A. h. s.....	5,1 cm.
Distância da origem da A. m. i. à origem da A. c. e.....	0,9 cm.
Distância da origem da A. m. i. ao ponto crítico.....	11,2 cm.
Distância da origem da A. m. i. à divisão da A. h. s.....	10,8 cm.
Distância da origem da última A. sigmóidea ou tronco das sigmóideas à divisão da A. h. s.....	8,2 cm. 8,6 cm.
Distância da última A. sigmóidea ao ponto crítico.....	{ Tr.c.s. → A.c.e. + A.s. ₁ Tr.s. → A.s. ₂ + A.s. ₃
Colaterais da A. m. i.....	Tr.c.s. — Tr.s. — 1,7 cm.
Distância entre a origem das colaterais da A. m. i.....	formando arcadas.
Modo de terminação das colaterais da A. m. i. e da A. h. s.....	
Número de arcadas arteriais.....	{ 4 primárias. numerosas secundárias, algumas bem desenvolvidas.
Arcada entre a primeira A. sigmóidea e a A. c. e.....	+
Comprimento das árcadas primárias.....	{ A.c.e. — A.s. ₁ — 12,1 cm. A.s. ₁ — A.s. ₂ — 16,6 cm. A.s. ₂ — A.s. ₃ — 13,1 cm. A.s. ₃ — P.c. — 9,8 cm.
Comprimento das colaterais da A. m. i.....	{ A.c.e. — 10,9 cm. A.s. ₁ — 7,5 cm. A.s. ₂ — 3,6 cm. A.s. ₃ — 3,2 cm.
Distância do ponto de divisão das colaterais da A. m. i. ao intestino.....	{ A.c.e. — 3,0 cm. A.s. ₁ — 2,4 cm. A.s. ₂ — 5,1 cm. A.s. ₃ — 6,9 cm.
A. sigmóidea ima { Diâmetro externo.....	0,20 cm. no r. e.
Situação do ponto crítico em relação ao S. r. s.....	no limite cranial.
Origem e distrib. das Aa. r. s... 1 proveniente da A. s. i., distribue-se à metade cranial.	
Divisão da A. h. s. em relação ao S. r. s.....	bifurca-se no limite cranial.

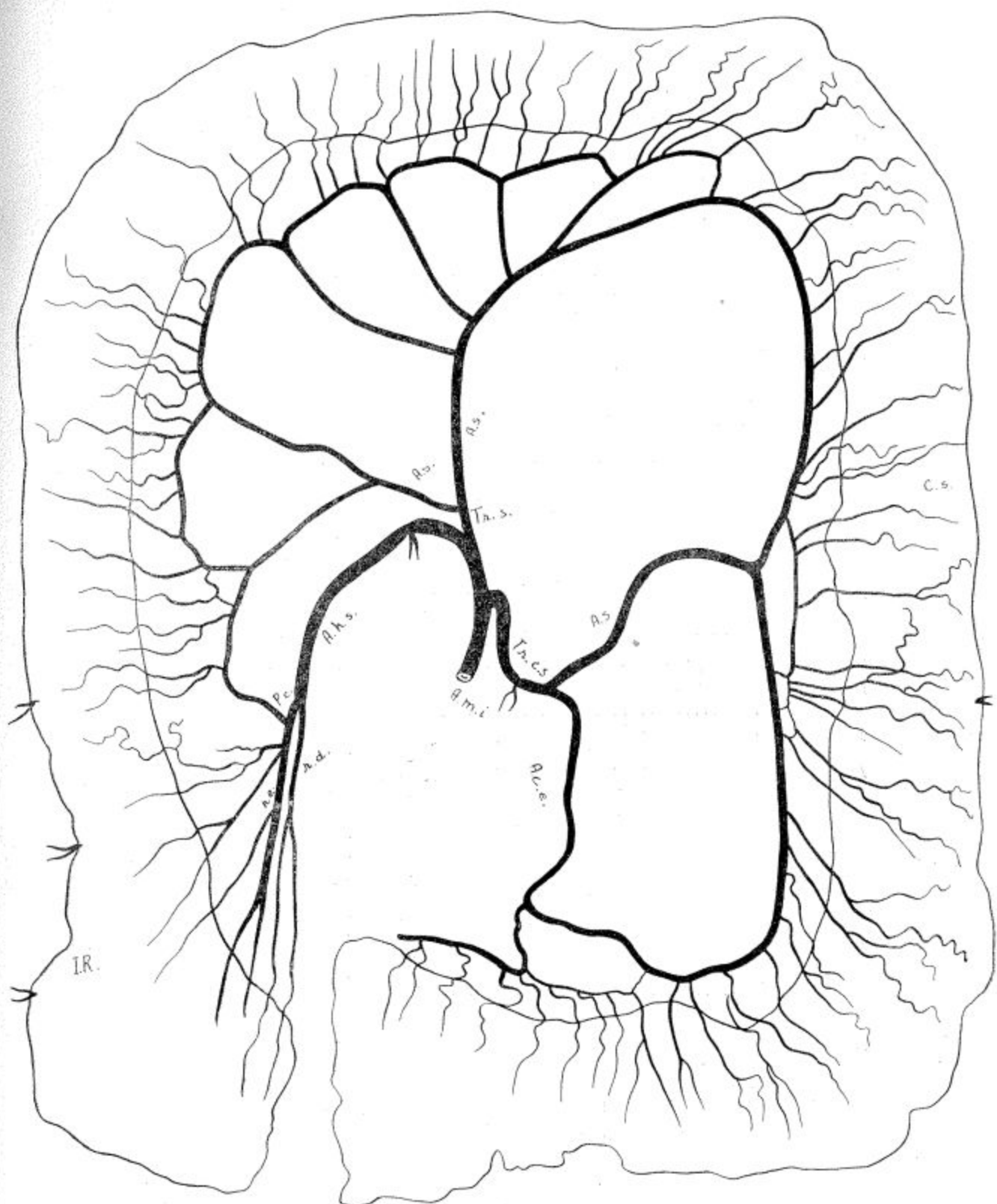


FIG. 92

OBSERVAÇÃO N.º 93

NOME: A. Y.
 SEXO: feminino.
 CÔR: branca.
 NACIONALIDADE: rumena.

IDADE: 66 anos.
 PROCEDÊNCIA: Departam. de Anatomia Patológica da Faculdade de Medicina da Universidade de São Paulo.

Distância bi-ílio cristal.....	20,0 cm.
Distância xifo-pública.....	19,0 cm.
Comprimento do colo sigmóide.....	21,8 cm.
Mobilidade do colo sigmóide.....	fixo.
Altura do meso-sigmóideo.....	0.
Origem da A. m. i. na aorta.....	ântero-lateral esquerda.
Projeção vertebral da origem da A. m. i.....	fibrocartilagem entre L ₃ - L ₄ .
Distância do ponto crítico suposto ao plano do promontório.....	— 1,6 cm.
Distância do nível real do ponto crítico ao nível suposto.....	+ 2,4 cm.
Distância do nível (x) à origem da última A. sigmóidea.....	2,1 cm.
Distância do nível (x) à divisão da A. h. s.....	10,3 cm.
Distância da origem da A. m. i. à origem da A. c. e.....	2,0 cm.
Distância da origem da A. m. i. ao ponto crítico.....	11,7 cm.
Distância da origem da A. m. i. à divisão da A. h. s.....	15,8 cm.
Distância da origem da última A. sigmóidea ou tronco das sigmóideas à divisão da A. h. s.....	12,1 cm.
Distância da última A. sigmóidea ao ponto crítico.....	8,0 cm.
Colaterais da A. m. i.....	{ Tr.c.s. → A.c.e + A.s. ₁ Tr.s. → A.s. ₂ + A.s. ₃
Distância entre a origem das colaterais da A. m. i.....	Tr.c.s. - Tr.s. = 1,9 cm.
Modo de terminação das colaterais da A. m. i. e da A. h. s.....	{ formando arcadas. 1 isolada.
Número de arcadas arteriais.....	{ 4 primárias. numerosas secundárias.
Arcada entre a primeira A. sigmóidea e a A. c. e.....	+
Comprimento das arcadas primárias.....	{ A.c.e. - A.s. ₁ = 16,4 cm. A.s. ₁ - A.s. ₂ = 9,5 cm. A.s. ₂ - A.s. ₃ = 12,0 cm. A.s. ₃ - P.c. = 10,4 cm.
Comprimento das colaterais da A. m. i.....	{ A.c.e. = 10,0 cm. A.s. ₁ = 2,4 cm. A.s. ₂ = 3,8 cm. A.s. ₃ = 1,2 cm.
Distância do ponto de divisão das colaterais da A. m. i. ao intestino.....	{ A.c.e. = 5,2 cm. A.s. ₁ = 5,6 cm. A.s. ₂ = 2,5 cm. A.s. ₃ = 6,2 cm.
A. sigmóidea ima { Diâmetro externo	0,15 cm.
	Desembocadura
Situação do ponto crítico em relação ao S. r. s.....	na A. h. s no limite cranial de I. R.
Origem e distrib. das Aa. r. s.....	{ 2 provenientes da arcada A.s. ₂ - A.s. ₃ , distribuem-se à metade caudal. 4 provenientes da A. s. i., distribuem-se à metade caudal. 1 proveniente da A. h. s., distribue-se à metade caudal.
Divisão da A. h. s. em relação ao S. r. s.....	bifurca-se na metade caudal.

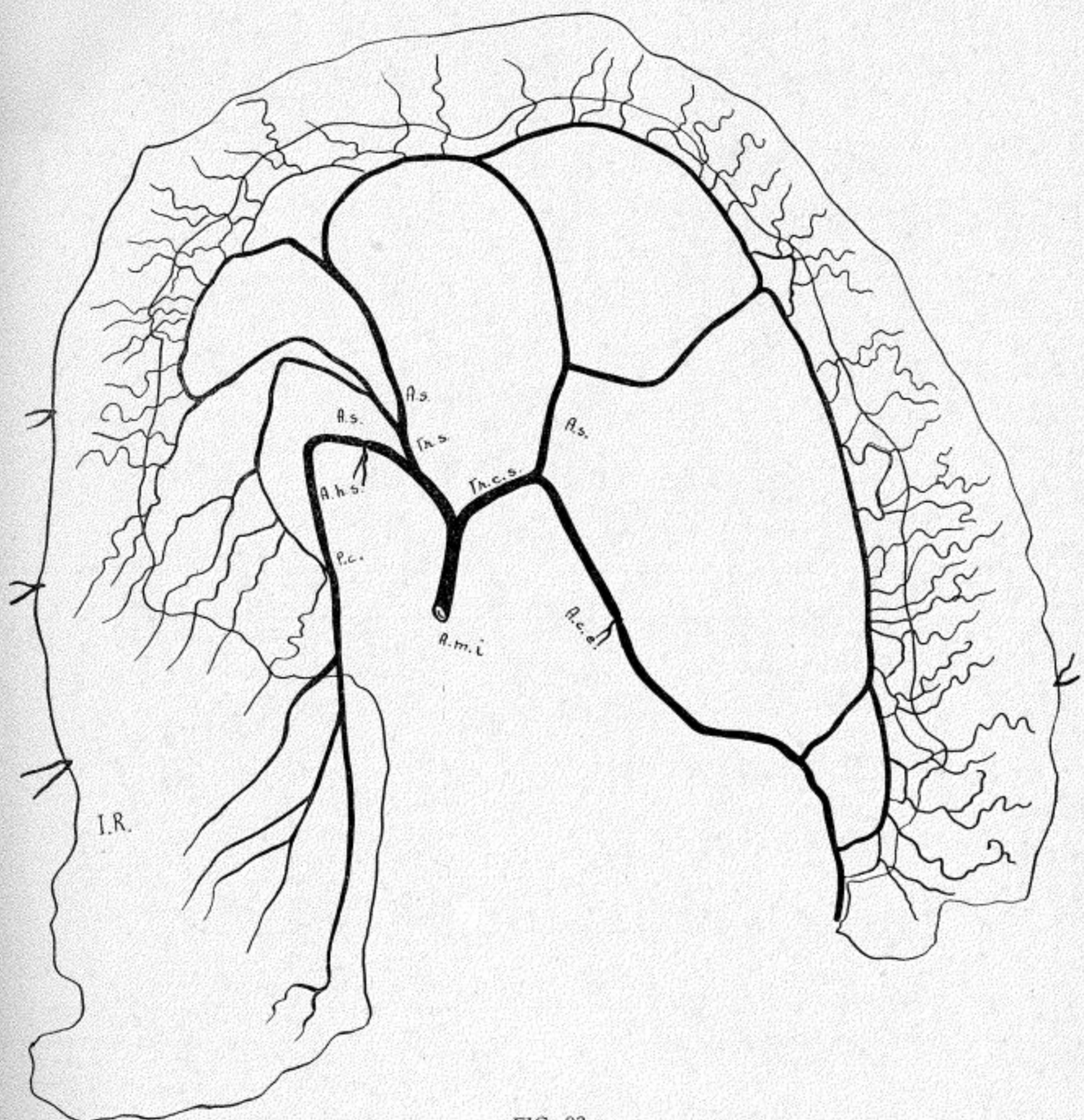


FIG. 93

OBSERVAÇÃO N.º 94

NOME: M. R.

SEXO: feminino.

COR: parda.

NACIONALIDADE: brasileira.

IDADE: 23 anos.

PROCEDÊNCIA: Departam. de Anatomia Patológica da Faculdade de Medicina da Universidade de São Paulo.

Distância bi-ílio cristal.....	27,1 cm.
Distância xifo-pública.....	32,4 cm.
Comprimento do colo sigmóide.....	48,6 cm.
Mobilidade do colo sigmóide.....	proximal fixo; distal móvel.
Altura do meso-sigmóideo	6,0 cm.
Origem da A. m. i. na aorta.....	anterior, linha média.
Projeção vertebral da origem da A. m. i.....	térço médio de L ₅ .
Distância do ponto crítico suposto ao plano do promontório.....	1,0 cm.
Distância do nível real do ponto crítico ao nível suposto.....	4,0 cm.
Distância do nível (x) à origem da última A. sigmóidea	1,9 cm.
Distância do nível (x) à divisão da A. h. s.....	3,4 cm.
Distância da origem da A. m. i. à origem da A. c. e.	2,3 cm.
Distância da origem da A. m. i. ao ponto crítico.....	4,5 cm.
Distância da origem da A. m. i. à divisão da A. h. s.	5,4 cm.
Distância da origem da última A. sigmóidea ou tronco das sigmóideas à divisão da A. h. s.....	7,2 cm.
Distância da última A. sigmóidea ao ponto crítico ..	2,2 cm.
Colaterais da A. m. i.....	{ Tr.c.s. → A.c.e. + A.s. ₁ A.s. ₂
Distância entre a origem das colaterais da A. m. i..	Tr.c.s. - A.s. ₂ = 2,0 cm.
Modo de terminação das colaterais da A. m. i. e da A. h. s.....	formando arcadas.
Número de arcadas arteriais	{ 2 primárias. numerosas secundárias.
Arcada entre a primeira A. sigmóidea e a A. c. e...	+
Comprimento das arcadas primárias	{ A.c.e. - A.s. ₁ = 9,7 cm. A.s. ₁ - A.s. ₂ = 6,5 cm.
Comprimento das colaterais da A. m. i.....	{ A.c.e. = 5,9 cm. A.s. ₁ = 1,3 cm. A.s. ₂ = 1,0 cm.
Distância do ponto de divisão das colaterais da A. m. i. ao intestino	{ A.c.e. = 2,1 cm. A.s. ₁ = 8,2 cm. A.s. ₂ = 2,1 cm.
A. sigmóidea ima { Diâmetro externo	—
	{ Desembocadura
Situação do ponto crítico em relação à S. r. s.....	acima do limite cranial.
Origem e distrib. das Aa. r. s. 1 constituída pelo ramo distal de bifurcação de A.s. ₂ . distribue-se a todo o S. r. s.	
Divisão da A. h. s. em relação ao S. r. s.....	no limite cranial do I. R.

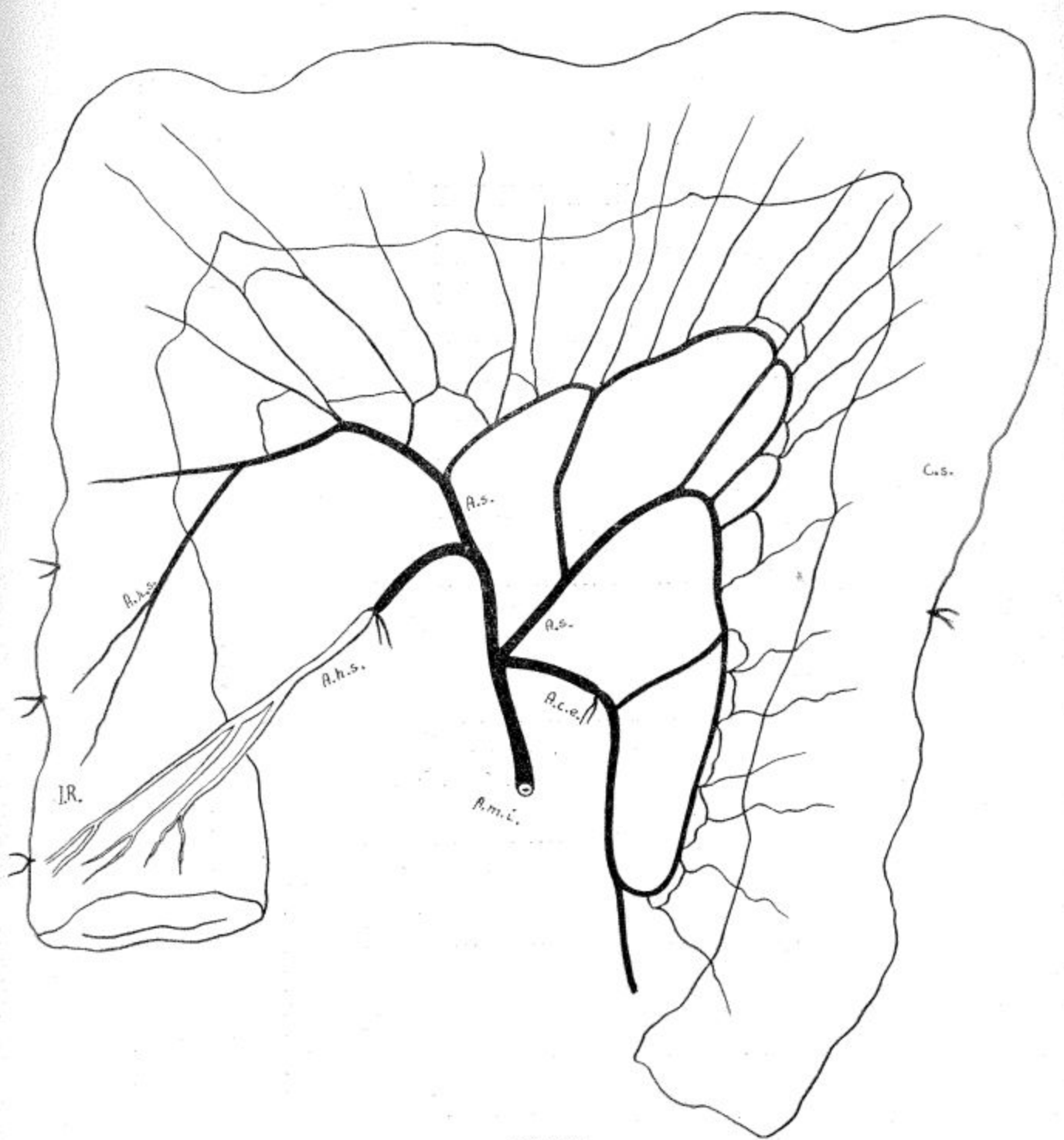


FIG. 94

OBSERVAÇÃO N.º 95

NOME: R. A. J.

SEXO: feminino.

COR: branca.

NACIONALIDADE: brasileira.

IDADE: 23 anos.

PROCEDÊNCIA: Departam. de Anatomia Patológica da Faculdade de Medicina da Universidade de São Paulo.

Distância bi-ílio cristal.....	18,1 cm.
Distância xifo-pública.....	37,1 cm.
Comprimento do colo sigmóide.....	53,0 cm.
Mobilidade do colo sigmóide.....	móvel.
Altura do meso-sigmóideo.....	10,0 cm.
Origem da A. m. i. na aorta.....	antero-lateral esquerda.
Projeção vertebral da origem da A. m. i.....	terço caudal de L ₃ .
Distância do ponto crítico suposto ao plano do promontório.....	+ 28, cm.
Distância do nível real do ponto crítico ao nível suposto.....	+ 7,4 cm.
Distância do nível (x) à origem da última A. sigmóidea.....	entre A.s ₂ e A.s ₃ .
Distância do nível (x) à divisão da A. h. s.....	8,4 cm.
Distância da origem da A. m. i. à origem da A. c. e.....	2,2 cm.
Distância da origem da A. m. i. ao ponto crítico.....	12,0 cm.
Distância da origem da A. m. i. à divisão da A. h. s.....	12,8 cm.
Distância da origem da última A. sigmóidea ou tronco das sigmóideas à divisão da A. h. s.....	4,8 cm.
Distância da última A. sigmóidea ao ponto crítico	4,0 cm.
Colaterais da A. m. i.....	<div style="display: flex; align-items: center;"> A.c.e. <div style="border-left: 1px solid black; margin-right: 10px;"></div> Tr.s. → A.s₁ + A.s₂ </div> <div style="display: flex; align-items: center;"> A.s₃ <div style="border-left: 1px solid black; margin-right: 10px;"></div> A.s₄ </div>
Distância entre a origem das colaterais da A. m. i.....	<div style="display: flex; align-items: center;"> A.c.e. - Tr.s. — 0,6 cm. <div style="border-left: 1px solid black; margin-right: 10px;"></div> Tr.s. - A.s₃ — 3,6 cm. </div> <div style="display: flex; align-items: center;"> A.s₃ - A.s₄ — 1,4 cm. </div>
Modo de terminação das colaterais da A. m. i. e da A. h. s.....	formando arcadas.
Número de arcadas arteriais.....	<div style="display: flex; align-items: center;"> 5 primárias. <div style="border-left: 1px solid black; margin-right: 10px;"></div> numerosas secundárias. </div> <div style="display: flex; align-items: center;"> + <div style="border-left: 1px solid black; margin-right: 10px;"></div> A.c.e. - A.s₁ — 16,1 cm. </div>
Arcada entre a primeira A. sigmóidea e a A. c. e... ..	<div style="display: flex; align-items: center;"> A.s₁ - A.s₂ — 11,0 cm. <div style="border-left: 1px solid black; margin-right: 10px;"></div> A.s₂ - A.s₃ — 8,6 cm. </div> <div style="display: flex; align-items: center;"> A.s₃ - A.s₄ — 3,8 cm. <div style="border-left: 1px solid black; margin-right: 10px;"></div> A.s₄ - P.C. — 4,0 cm. </div>
Comprimento das arcadas primárias.....	<div style="display: flex; align-items: center;"> A.c.e. — 9,6 cm. <div style="border-left: 1px solid black; margin-right: 10px;"></div> A.s₁ — 3,1 cm. </div> <div style="display: flex; align-items: center;"> A.s₂ — 1,2 cm. <div style="border-left: 1px solid black; margin-right: 10px;"></div> A.s₃ — 0,8 cm. </div> <div style="display: flex; align-items: center;"> A.s₄ — 0,8 cm. <div style="border-left: 1px solid black; margin-right: 10px;"></div> A.c.e. — 2,4 cm. </div>
Comprimento das colaterais da A. m. i.....	<div style="display: flex; align-items: center;"> A.s₁ — 4,4 cm. <div style="border-left: 1px solid black; margin-right: 10px;"></div> A.s₂ — 6,2 cm. </div> <div style="display: flex; align-items: center;"> A.s₃ — 2,5 cm. <div style="border-left: 1px solid black; margin-right: 10px;"></div> A.s₄ — 3,1 cm. </div>
Distância do ponto de divisão das colaterais da A. m. i. ao intestino.....	<div style="display: flex; align-items: center;"> 0,15 cm. <div style="border-left: 1px solid black; margin-right: 10px;"></div> na A. h. s. </div> <div style="display: flex; align-items: center;"> na metade cranial. <div style="border-left: 1px solid black; margin-right: 10px;"></div> Situação do ponto crítico em relação à S. r. s..... </div>
Origem e distrib. das Aa. r. s.. .	<div style="display: flex; align-items: center;"> 2 provenientes da A. s. i. dis- <div style="border-left: 1px solid black; margin-right: 10px;"></div> tribuem-se..... </div> <div style="display: flex; align-items: center;"> 1 à metade cranial. <div style="border-left: 1px solid black; margin-right: 10px;"></div> 1 à metade caudal. </div>
Divisão da A. h. s. em relação ao S. r. s.....	bifurca-se na metade cranial.

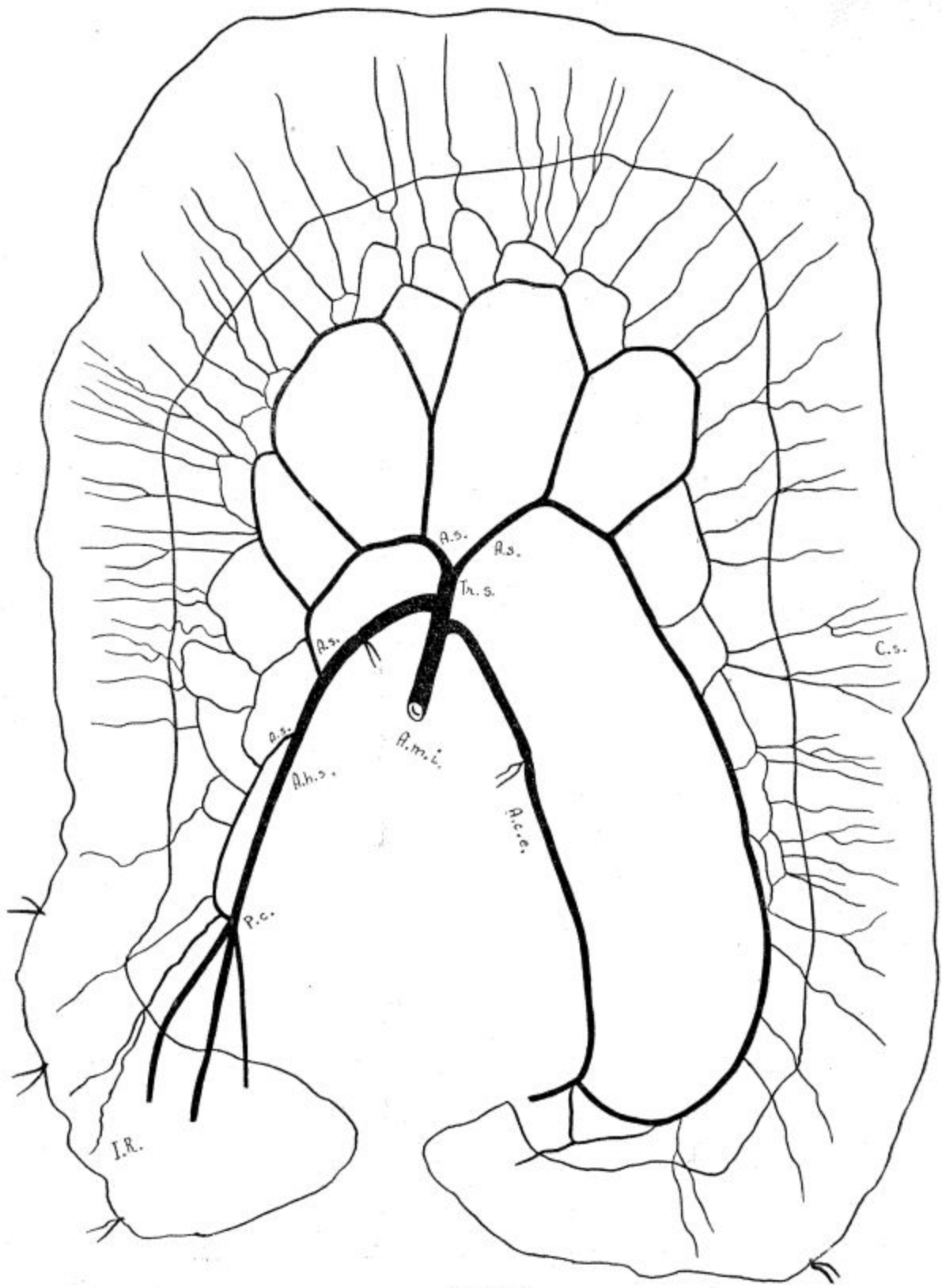


FIG. 95

OBSERVAÇÃO N.º 96

NOME: B. L. S.

SEXO: masculino.

CÓR: branca.

NACIONALIDADE: brasileira.

IDADE: 35 anos.

PROCEDÊNCIA: Departam. de Anatomia Patológica da Faculdade de Medicina da Universidade de São Paulo.

Distância bi-fílo cristal.....	28,5 cm.
Distância xifo-púbica.....	31,2 cm.
Comprimento do colo sigmóide.....	40,5 cm.
Mobilidade do colo sigmóide.....	proximal fixo; distal móvel.
Altura do meso-sigmóideo.....	6,0 cm.
Origem da A. m. i. da aorta.....	ântero-lateral esquerda.
Projeção vertebral da origem da A. m. i.....	terço cranial de L ₃ .
Distância do ponto crítico suposto ao plano do promontório.....	+ 1,0 cm.
Distância do nível real do ponto crítico ao nível suposto.....	+ 2,5 cm.
Distância do nível (x) à origem da última A. sigmóidea.....	entre A.s. ₁ e A.s. ₂ .
Distância do nível (x) à divisão da A. h. s.....	6,8 cm.
Distância da origem da A. m. i. à origem da A. c. e.....	2,1 cm.
Distância da origem da A. m. i. ao ponto crítico.....	10,2 cm.
Distância da origem da A. m. i. à divisão da A. h. s.....	12,3 cm.
Distância da origem da última A. sigmóidea ou tronco das sigmóideas à divisão da A. h. s.....	9,6 cm.
Distância da última A. sigmóidea ao ponto crítico	2,3 cm.
Colaterais da A. m. i.....	{ A.c.e. Tr.s. → A.s. ₁ + A.s. ₂ A.s. ₃
Distância entre a origem das colaterais da A. m. i.	{ A.c.e. - Tr.s. — 1,5 cm. Tr.s. - A.s. ₃ — 4,0 cm.
Modo de terminação das colaterais da A. m. i. e da A. h. s.....	formando arcadas.
Número de arcadas arteriais.....	{ 3 primárias. numerosas secundárias.
Arcada entre a primeira A. sigmóidea e a A. c. e... .	+
Comprimento das arcadas primárias.....	{ A.c.e. - A.s. ₁ — 12,5 cm. A.s. ₁ - A.s. ₂ — 4,7 cm. A.s. ₂ - A.s. ₃ — 4,5 cm. A.s. ₃ - P.c. — 4,3 cm.
Comprimento das colaterais da A. m. i.....	{ A.c.e. — 5,9 cm. A.s. ₁ — 3,2 cm. A.s. ₂ — 2,4 cm. A.c.e. — 9,6 cm.
Distância do ponto de divisão das colaterais da A. m. i. ao intestino.....	{ A.c.e. — 2,8 cm. A.s. ₁ — 1,8 cm. A.s. ₂ — 2,3 cm. A.s. ₃ — 1,1 cm.
A. sigmóidea ima { Diâmetro externo.....	0,15 cm.
	Desembocadura.....
Situação do ponto crítico em relação ao S. r. s.....	na A. h. s.
Origem e distrib. das Aa. r. s..	3 provenientes da A. s. i., distribuem-se à metade cranial.
Divisão da A. h. s. em relação ao S. r. s.....	bifurca-se na metade cranial.

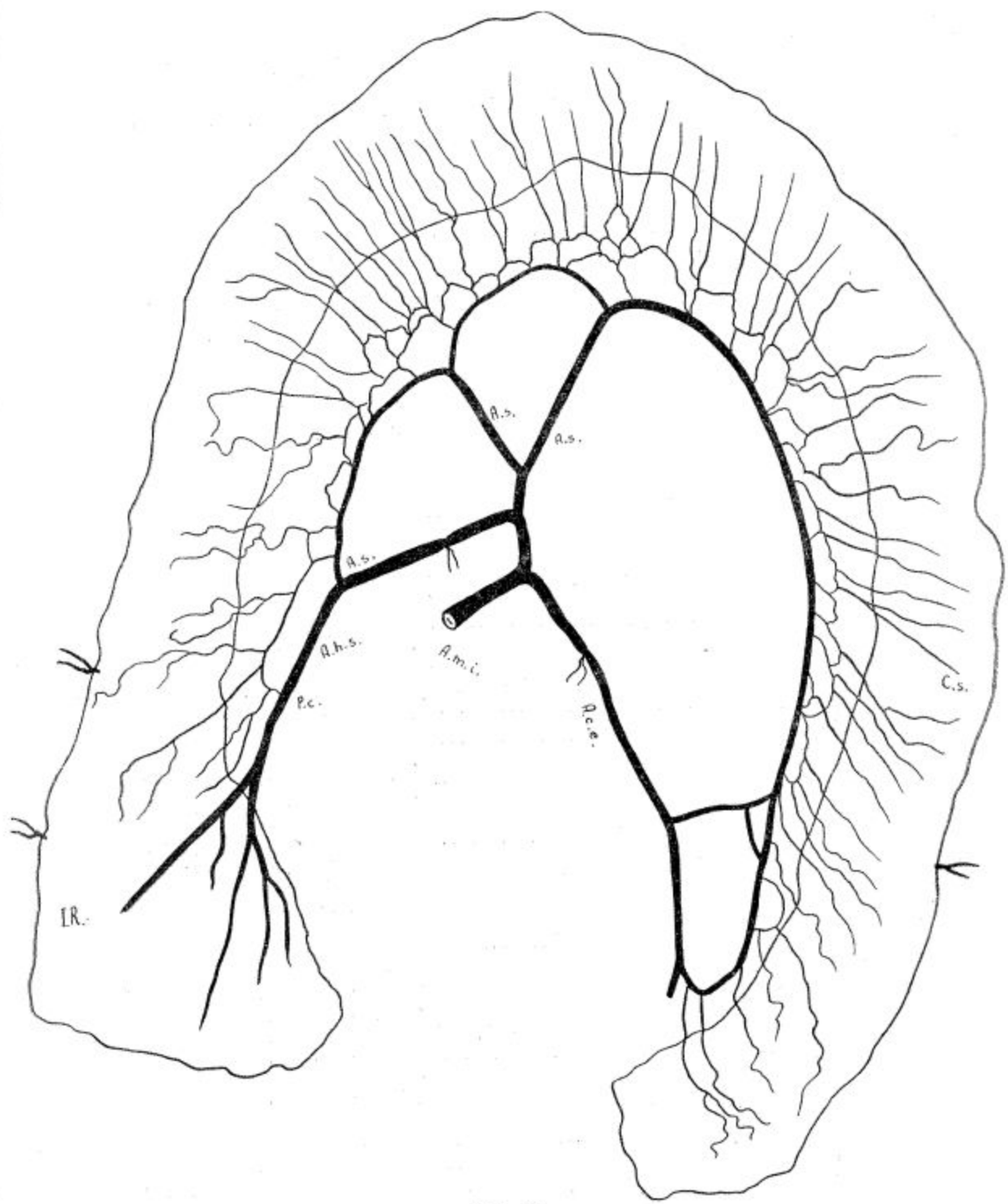


FIG. 96

O B S E R V A Ç Ã O N.º 97

NOME: M. A.

SEXO: masculino.

COR: branca.

NACIONALIDADE: brasileira.

IDADE: 44 anos.

PROCEDÊNCIA: Departam. de Anatomia Patológica da Faculdade de Medicina da Universidade de São Paulo.

Distância bi-ílio cristal.....	26,7 cm.
Distância xifo-pública.....	34,6 cm.
Comprimento do colo sigmóide.....	48,3 cm.
Mobilidade do colo sigmóide.....	proximal fixo; distal móvel.
Altura do meso-sigmóideo	6,5 cm.
Origem da A. m. i. na aorta.....	anterior, linha média.
Projeção vertebral da origem da A. m. i.....	fibrocartilagem entre L ₃ e L ₄ .
Distância do ponto crítico suposto ao plano do promontório.....	— 1,9 cm.
Distância do nível real do ponto crítico ao nível suposto.....	+ 1,5 cm.
Distância do nível (x) à origem da última A. sigmóidea	1,8 cm.
Distância do nível (x) à divisão da A. h. s.....	8,2 cm.
Distância da origem da A. m. i. à origem da A. c. e.	2,0 cm.
Distância da origem da A. m. i. ao ponto crítico...	9,0 cm.
Distância da origem da A. m. i. à divisão da A. h. s.	12,0 cm.
Distância da origem da última A. sigmóidea ou tronco das sigmóideas à divisão da A. h. s.....	10,2 cm.
Distância da última A. sigmóidea ao ponto crítico..	7,2 cm.
Colaterais da A. m. i.....	{ Tr.c.s. → A.c.e.(r ₁) . A.s. ₁ Tr.s. → A.s. ₂ + A.s. ₃
Distância entre a origem das colaterais da A. m. i..	0.
Modo de terminação das colaterais da A. m. i. e da A. h. s.....	{ formando arcadas. 1 iso ada.
Número de arcadas arteriais.....	{ 5 primárias. algumas secundárias.
Arcada entre a primeira A. sigmóidea e a A. c. e...	+ com r ₁ intercalado.
Comprimento das arcadas primárias.....	{ A.c.e. - r ₁ — 7,2 cm. r ₁ - A.s. ₁ — 8,1 cm. A.s. ₁ - A.s. ₂ — 12,4 cm. A.s. ₂ - A.s. ₃ — 6,5 cm. A.s. ₃ - P.c. — 6,1 cm.
Comprimento das colaterais da A. m. i.....	{ A.c.e. — 11,0 cm. r ₁ — 2,5 cm. A.s. ₁ — 5,4 cm. A.s. ₂ — 1,6 cm. A.s. ₃ — 3,0 cm.
Distância do ponto de divisão das colaterais da A. m. i. ao intestino.....	{ A.c.e. — 2,0 cm. r ₁ — 1,6 cm. A.s. ₁ — 2,0 cm. A.s. ₂ — 4,7 cm. A.s. ₃ — 3,5 cm.
A. sigmóidea ima {	0,20 cm.
Diâmetro externo	na A. h. s.
Desembocadura	no limite cranial.
Situação do ponto crítico em relação ao S. r. s.....	
Origem e distrib. das Aa. r. s. {	2 provenientes da A. s. i., distribuem-se à metade cranial.
	1 proveniente da A. h. s., distribue-se à metade caudal.
Divisão da A. h. s. em relação ao S. r. s.....	bifurca-se na metade cranial.

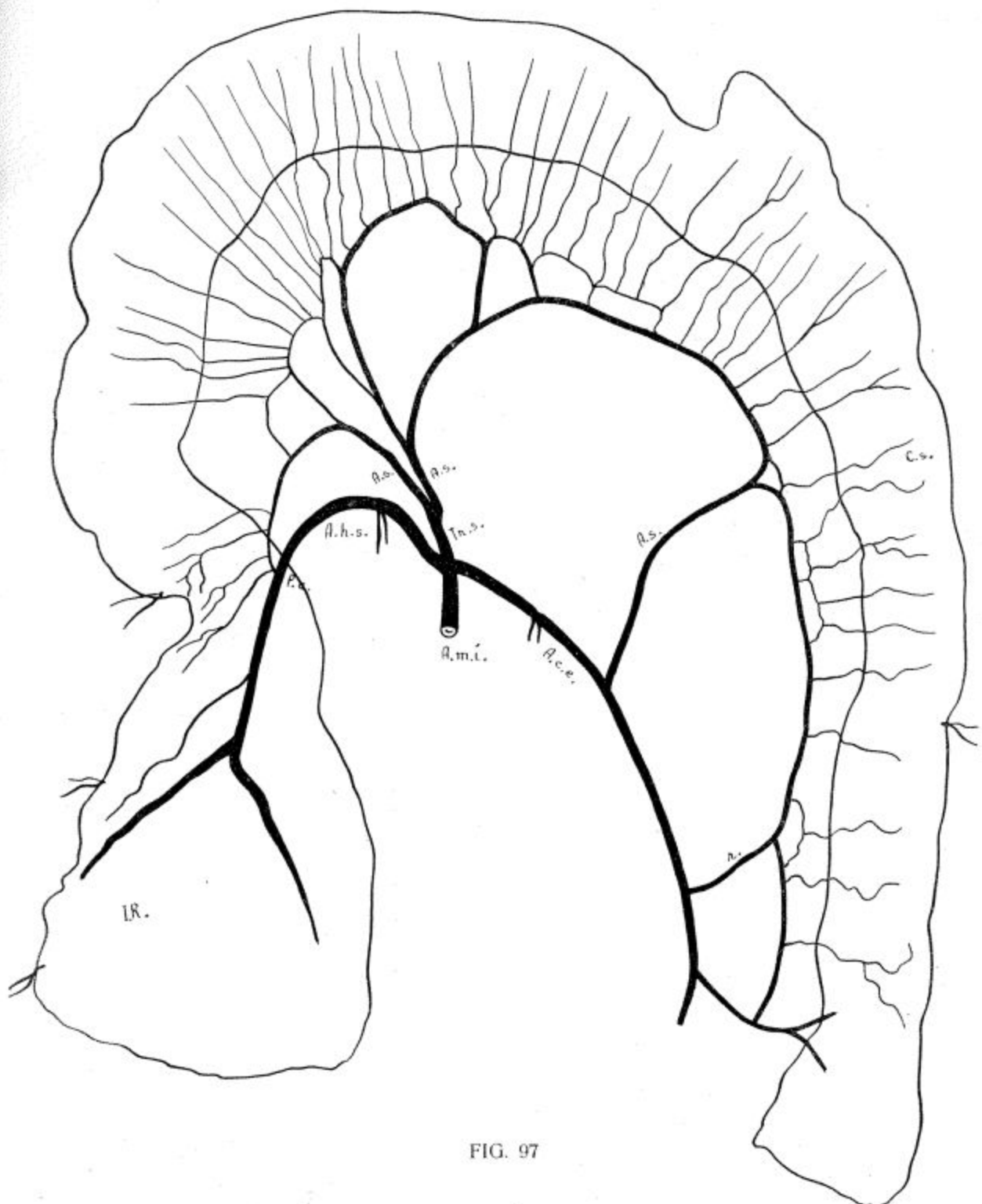


FIG. 97

OBSERVAÇÃO N.º 98

NOME: S. S.
SEXO: feminino.
Côr: branca.
NACIONALIDADE: brasileira.

IDADE: 39 anos.
PROCEDÊNCIA: Departam. de Anatomia
Patológica da Faculdade de Medicina
da Universidade de São Paulo.

Distância bi-ilio cristal.....	28,7 cm.
Distância xifo-pública.....	33,0 cm.
Comprimento do colo sigmóide.....	50,1 cm.
Mobilidade do colo sigmóide.....	proximal fixo; distal móvel.
Altura do meso-sigmóideo.....	3,5 cm.
Origem da A. m. i. na aorta.....	Antero-lateral esquerda.
Projeção vertebral da origem da A. m. i.....	disco entre L ₂ - L ₃ .
Distância do ponto crítico suposto ao plano do promontório.....	+ 0,6 cm.
Distância do nível real do ponto crítico ao nível suposto.....	+ 1,5 cm.
Distância do nível (x) à origem da última A. sigmóidea.....	1,6 cm.
Distância do nível (x) à divisão da A. h. s.....	4,9 cm.
Distância da origem da A. m. i. à origem da A. c. e.....	2,2 cm.
Distância da origem da A. m. i. ao ponto crítico.....	8,3 cm.
Distância da origem da A. m. i. à divisão da A. h. s.....	11,5 cm.
Distância da origem da última A. sigmóidea ou tronco das sigmóideas à divisão da A. h. s.....	6,4 cm.
Distância da última A. sigmóidea ao ponto crítico.....	3,2 cm.
Colaterais da A. m. i.....	$\left\{ \begin{array}{l} \text{Tr.c.s.} \rightarrow \text{A.c.e. (A.s.)} + \text{Tr.s.} \rightarrow \text{A.s.}_2 + \text{A.s.}_3 \\ \text{A.s.}_4 \end{array} \right.$
Distância entre a origem das colaterais da A. m. i.....	Tr.c.s. - A.s.₄ = 5,1 cm.
Modo de terminação das colaterais da A. m. i. e da A. h. s.....	formando arcadas.
Número de arcadas arteriais.....	$\left\{ \begin{array}{l} 5 \text{ primárias.} \\ \text{numerosas secundárias.} \\ \text{terciárias.} \end{array} \right.$
Arcada entre a primeira A. sigmóidea e a A. c. e....	+.
Comprimento das árcadas primárias.....	$\left\{ \begin{array}{l} \text{A.c.e. - A.s.}_1 = 9,4 \text{ cm.} \\ \text{A.s.}_1 - \text{A.s.}_2 = 9,6 \text{ cm.} \\ \text{A.s.}_2 - \text{A.s.}_3 = 10,4 \text{ cm.} \\ \text{A.s.}_3 - \text{A.s.}_4 = 6,5 \text{ cm.} \\ \text{A.s.}_4 - \text{P.c.} = 4,4 \text{ cm.} \end{array} \right.$
Comprimento das colaterais da A. m. i.....	$\left\{ \begin{array}{l} \text{A.c.e.} = 10,9 \text{ cm.} \\ \text{A.s.}_1 = 4,5 \text{ cm.} \\ \text{A.s.}_2 = 5,9 \text{ cm.} \\ \text{A.s.}_3 = 5,4 \text{ cm.} \\ \text{A.s.}_4 = 2,8 \text{ cm.} \end{array} \right.$
Distância do ponto de divisão das colaterais da A. m. i. ao intestino.....	$\left\{ \begin{array}{l} \text{A.c.e.} = 3,0 \text{ cm.} \\ \text{A.s.}_1 = 2,2 \text{ cm.} \\ \text{A.s.}_2 = 2,9 \text{ cm.} \\ \text{A.s.}_3 = 4,4 \text{ cm.} \\ \text{A.s.}_4 = 3,6 \text{ cm.} \end{array} \right.$
A. sigmóidea ima	$\left\{ \begin{array}{l} \text{Diâmetro externo} \\ \text{Desembocadura} \end{array} \right.$
Situação do ponto crítico em relação ao S. r. s.....	na metade cranial.
Origem e distrib. das Aa. r. s.....	$\left\{ \begin{array}{l} 1 \text{ proveniente de arcada secundária entre A.s.}_4 \text{ e A. s. i., distribue-se à metade cranial.} \\ 2 \text{ provenientes de A. s. i., dis-} \end{array} \right. \left. \begin{array}{l} \text{tribuem-se} \\ \text{1 à metade cranial.} \\ \text{1 à metade caudal.} \end{array} \right.$
Divisão da A. h. s. em relação ao S. r. s.....	bifurca-se na metade caudal.

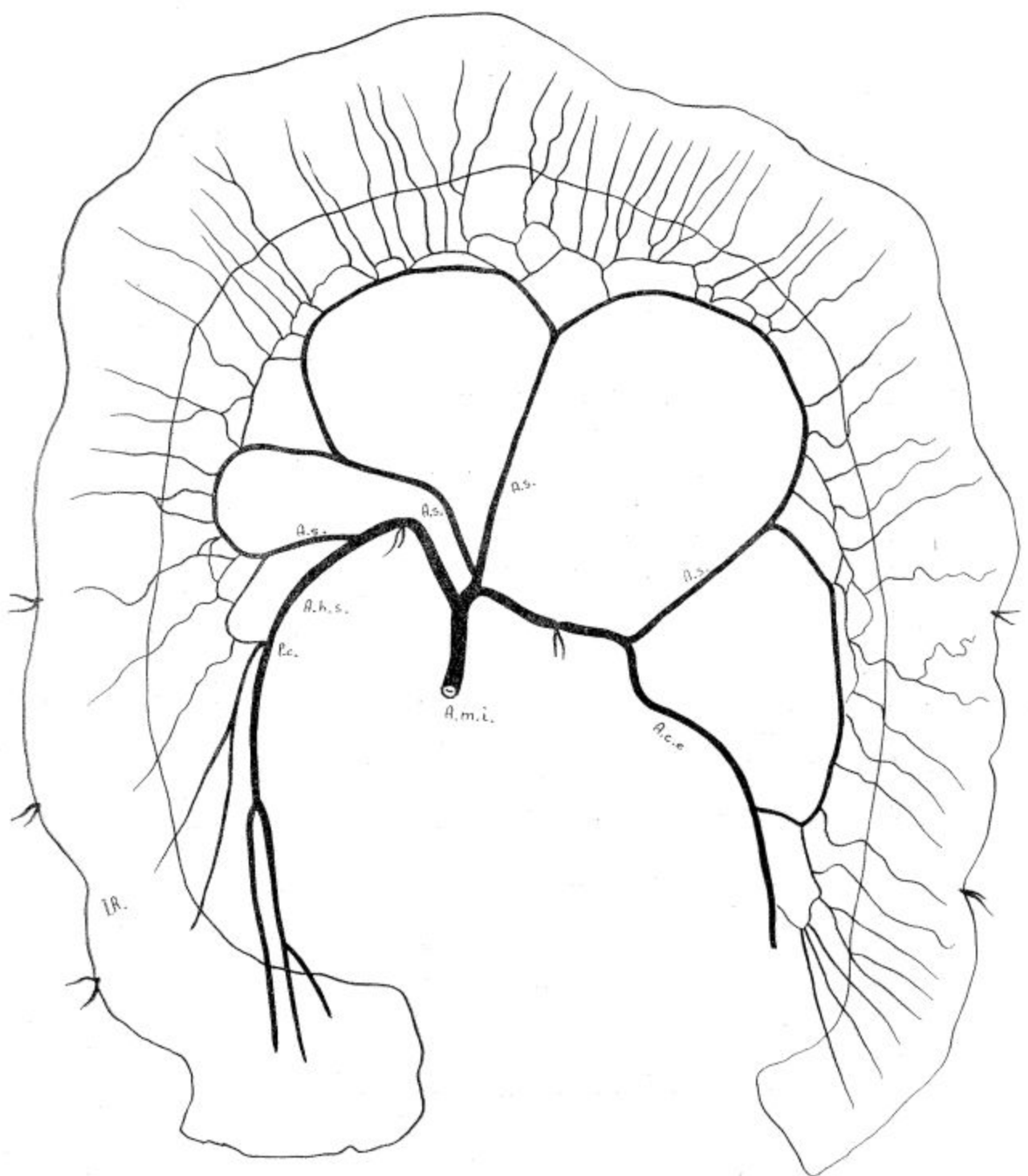


FIG. 98

O B S E R V A Ç Ã O N.º 99

NOME: B. L. M. IDADE: 45 anos.
 SEXO: masculino. PROCEDÊNCIA: Departam. de Anatomia
 CÔR: branca. Patológica da Faculdade de Medicina
 NACIONALIDADE: brasileira. da Universidade de São Paulo.

Distância bi-ílio cristal.....	29,3 cm.
Distância xifo-púbica.....	34,1 cm.
Comprimento do colo sigmóide.....	70,3 cm.
Mobilidade do colo sigmóide.....	proximal fixo; distal móvel.
Altura do meso-sigmóideo	5,0 cm.
Origem da A. m. i. na aorta.....	antero-lateral esquerda.
Projeção vertebral da origem da A. m. i.....	fibrocartilagem entre L ₃ e L ₄ .
Distância do ponto crítico suposto ao plano do promontório.....	— 1,7 cm.
Distância do nível real do ponto crítico ao nível suposto.....	+ 4,1 cm.
Distância do nível (x) à origem da última A. sigmóidea	6,3 cm.
Distância do nível (x) à divisão da A. h. s.....	8,3 cm.
Distância da origem da A. m. i. à origem da A. c. e.	1,5 cm.
Distância da origem da A. m. i. ao ponto crítico...	14,3 cm.
Distância da origem da A. m. i. à divisão da A. h. s.	16,3 cm.
Distância da origem da última A. sigmóidea ou tronco das sigmóideas à divisão da A. h. s.....	12,3 cm.
Distância da última A. sigmóidea ao ponto crítico ..	10,3 cm.
Colaterais da A. m. i.....	<div style="display: flex; align-items: center;"> A.c.e. Tr.s. → A.s.₁ + A.s.₂ </div> <div style="display: flex; align-items: center; margin-top: 5px;"> Tr.s. → A.s.₃ + A.s.₄ A.c.e. — Tr.s. — 1,3 cm. </div> <div style="display: flex; align-items: center; margin-top: 5px;"> Tr.s. — Tr.s. — 0,9 cm. formando arcadas. </div>
Distância entre a origem das colaterais da A. m. i.	<div style="display: flex; align-items: center;"> 5 primárias. várias secundárias. </div> <div style="display: flex; align-items: center; margin-top: 5px;"> terciárias. + </div>
Modo de terminação das colaterais da A. m. i. e da A. h. s.....	
Número de arcadas arteriais.....	<div style="display: flex; align-items: center;"> A.c.e. — A.s.₁ — 14,2 cm. A.s.₁ — A.s.₂ — 13,7 cm. </div> <div style="display: flex; align-items: center; margin-top: 5px;"> A.s.₂ — A.s.₃ — 8,4 cm. A.s.₃ — A.s.₄ — 5,7 cm. </div> <div style="display: flex; align-items: center; margin-top: 5px;"> A.s.₄ — P.c. — 11,3 cm. A.c.e. — 6,1 cm. </div>
Comprimento das arcadas primárias.....	<div style="display: flex; align-items: center;"> A.s.₁ — 5,8 cm. A.s.₂ — 3,4 cm. </div> <div style="display: flex; align-items: center; margin-top: 5px;"> A.s.₃ — 6,1 cm. A.s.₄ — 3,8 cm. </div>
Comprimento das colaterais da A. m. i.....	<div style="display: flex; align-items: center;"> A.c.e. — 7,2 cm. A.s.₁ — 4,5 cm. </div> <div style="display: flex; align-items: center; margin-top: 5px;"> A.s.₂ — 6,3 cm. A.s.₃ — 2,3 cm. </div> <div style="display: flex; align-items: center; margin-top: 5px;"> A.s.₄ — 3,0 cm. A.s.₄ — 3,0 cm. </div>
Distância do ponto de divisão das colaterais da A. m. i. ao intestino.....	<div style="display: flex; align-items: center;"> Diâmetro externo 0,25 cm. </div> <div style="display: flex; align-items: center; margin-top: 5px;"> Desembocadura na A. h. s. </div>
A. sigmóidea ima { Diâmetro externo	0,25 cm.
Situação do ponto crítico em relação ao S. r. s.....	acima do limite cranial.
Origem e distrib. das Aa. r. s... 2 provenientes de A. s. i., distribuem-se à metade cranial,	
Divisão da A. h. s. em relação ao S. r. s.....	bifurca-se no limite cranial.

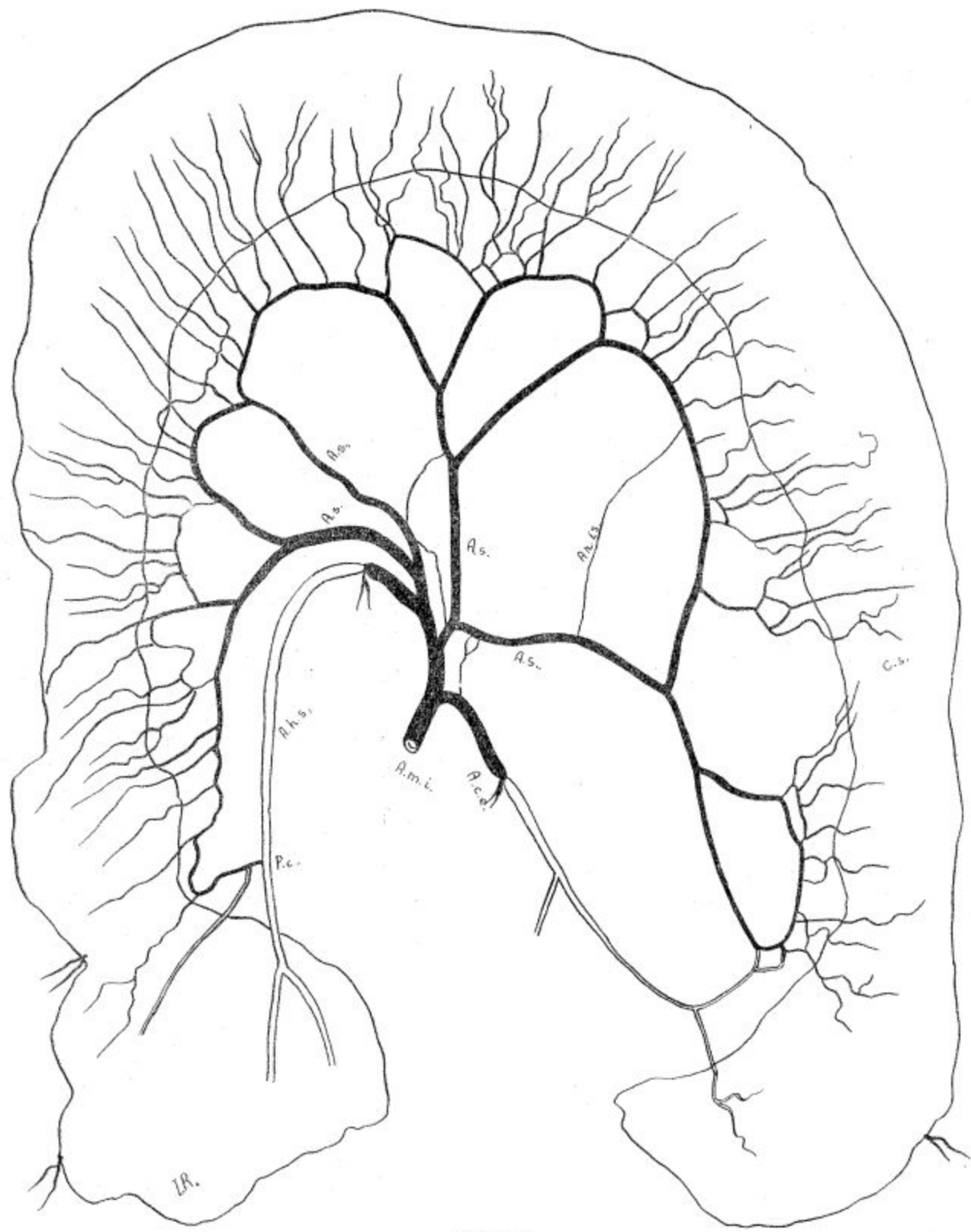


FIG. 99

OBSERVAÇÃO N.º 100

NOME: A. G.
 SEXO: masculino.
 CÓR: branca.
 NACIONALIDADE: brasileira.

IDADE: 36 anos.
 PROCEDÊNCIA: Departam. de Anatomia Patológica da Faculdade de Medicina da Universidade de São Paulo.

Distância bi-ílio cristal.....	24,5 cm.
Distância xifo-púbica.....	32,0 cm.
Comprimento do colo sigmóide.....	44,0 cm.
Mobilidade do colo sigmóide.....	proximal fixo; distal móvel.
Altura do meso-sigmóideo.....	8,5 cm.
Origem da A. m. i. na aorta.....	anterior, linha média.
Projeção vertebral da origem da A. m. i.....	terço médio de L ₅ .
Distância do ponto crítico suposto ao plano do promontório.....	— 1,2 cm.
Distância do nível real do ponto crítico ao nível suposto.....	+ 2,3 cm.
Distância do nível (x) à origem da última A. sigmóidea.....	entre A.s. ₃ e A.s. ₄ .
Distância do nível (x) à divisão da A. h. s.....	6,2 cm.
Distância da origem da A. m. i. à origem da A. c. e.....	2,1 cm.
Distância da origem da A. m. i. ao ponto crítico.....	9,7 cm.
Distância da origem da A. m. i. à divisão da A. h. s.....	5,2 cm.
Distância da origem da última A. sigmóidea ou tronco das sigmóideas à divisão da A. h. s.....	12,0 cm.
Distância da última A. sigmóidea ao ponto crítico.....	2,9 cm.
Colaterais da A. m. i.....	{ Tr.c.s. → A.c.e. (A.s. ₁) + A.s. ₂ A.s. ₃ A.s. ₄
Distância entre a origem das colaterais da A. m. i.	{ Tr.c.s. — A.s. ₃ — 1,8 cm. A.s. ₃ — A.s. ₄ — 2,8 cm.
Modo de terminação das colaterais da A. m. i. e da A. h. s.....	{ formando arcadas. 1 isolada.
Número de arcadas arteriais.....	{ 5 primárias. numerosas secundárias.
Arcada entre a primeira A. sigmóidea e a A. c. e.....	+
Comprimento das arcadas primárias.....	{ A.c.e. — A.s. ₁ — 15,3 cm. A.s. ₁ — A.s. ₂ — 6,3 cm. A.s. ₂ — A.s. ₃ — 8,5 cm. A.s. ₃ — A.s. ₄ — 3,0 cm. A.s. ₄ — P.c. — 3,8 cm.
Comprimento das colaterais da A. m. i.....	{ A.c.e. — 9,9 cm. A.s. ₁ — 2,4 cm. A.s. ₂ — 2,7 cm. A.s. ₃ — 3,7 cm. A.s. ₄ — 1,2 cm.
Distância do ponto de divisão das colaterais da A. m. i. ao intestino.....	{ A.c.e. — 3,0 cm. A.s. ₁ — 3,5 cm. A.s. ₂ — 5,1 cm. A.s. ₃ — 1,9 cm. A.s. ₄ — 1,0 cm.
A. sigmóidea ima { Diâmetro externo	0,15 cm.
	Desembocadura
Situação do ponto crítico em relação ao S. r. s.....	na A. h. s. acima do limite cranial.
Origem e distrib. das Aa. r. s. { 2 provenientes da A.s.i.....	} distribuem-se à metade cranial.
	{ 1 proveniente da A. h. s.....
Divisão da A. h. s. em relação ao S. r. s.....	bifurca-se na metade cranial.

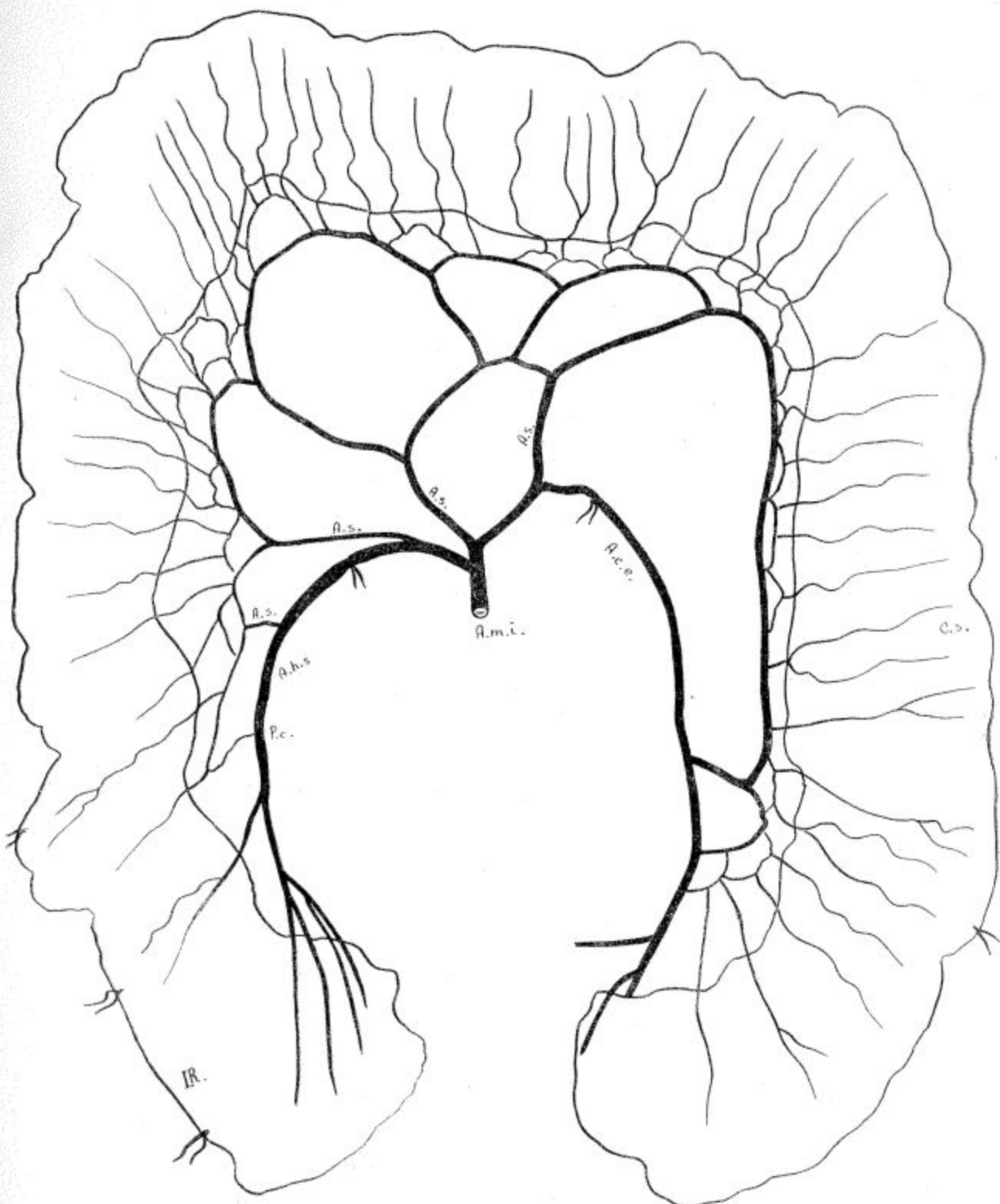


FIG. 100

OBSERVAÇÃO N.º 101

NOME: A. C. P.

SEXO: masculino.

COR: branca.

NACIONALIDADE: brasileira.

IDADE: 35 anos.

PROCEDÊNCIA: Departam. de Anatomia Patológica da Faculdade de Medicina da Universidade de São Paulo.

Distância bi-ílio cristal.....	26,7 cm.
Distância xifo-pública.....	31,2 cm.
Comprimento do colo sigmóide.....	32,5 cm.
Mobilidade do colo sigmóide.....	proximal fixo; distal móvel. 7,5 cm.
Antura do meso-sigmóideo.....	antero-lateral esquerda.
Origem da A. m. i. na aorta.....	térço cranial de L ₄ .
Projeção vertebral da origem da A. m. i.....	
Distância do ponto crítico suposto ao plano do promontório.....	— 1,3 cm.
Distância do nível real do ponto crítico ao nível suposto.....	+ 5,7 cm.
Distância do nível (x) à origem da última A. sigmóidea.....	entre A.s. ₁ e A.s. ₂ .
Distância do nível (x) à divisão da A. h. s.....	9,3 cm.
Distância da origem da A. m. i. à origem da A. c. e.....	1,8 cm.
Distância da origem da A. m. i. ao ponto crítico.....	10,3 cm.
Distância da origem da A. m. i. à divisão da A. h. s.....	12,5 cm.
Distância da origem da última A. sigmóidea ou tronco das sigmóideas à divisão da A. h. s.....	5,3 cm.
Distância da última A. sigmóidea ao ponto crítico	3,1 cm.
Colaterais da A. m. i.....	{ Tr.c.s. → A.c.e. (r ₁) + A.s. ₁ A.s. ₂ A.s. ₃
Distância entre a origem das colaterais da A. m. i.	{ Tr.c.s. — A.s. ₂ — 5,0 cm. A.s. ₂ — A.s. ₃ — 0,4 cm.
Modo de terminação das colaterais da A. m. i. e da A. h. s.....	{ formando arcadas. 1 isolada.
Número de arcadas arteriais.....	{ 5 primárias. algumas secundárias.
Arcada entre a primeira A. sigmóidea e a A. c. e....	+ com r ₁ intercalado.
Comprimento das arcadas primárias.....	{ A.c.e. — r ₁ — 7,9 cm. r ₁ — A.s. ₁ — 14,8 cm. A.s. ₁ — A.s. ₂ — 11,0 cm. A.s. ₂ — A.s. ₃ — 3,2 cm. A.s. ₃ — P.c. — 3,5 cm.
Comprimento das colaterais da A. m. i.....	{ A.c.e. — 12,6 cm. r ₁ — 3,4 cm. A.s. ₁ — 3,5 cm. A.s. ₂ — 1,0 cm. A.s. ₃ — 0,7 cm.
Distância do ponto de divisão das colaterais da A. m. i. ao intestino.....	{ A.c.e. — 1,9 cm. r ₁ — 1,1 cm. A.s. ₁ — 3,4 cm. A.s. ₂ — 1,7 cm. A.s. ₃ — 2,4 cm.
A. sigmóidea ima { Diâmetro externo.....	0,15 cm.
	na A. h. s.
Situação do ponto crítico em relação ao S. r. s.....	na metade cranial.
Origem e distrib. das Aa. r. s..	{ 1 proveniente de arcada secundária entre A.s. ₃ e A. s. i., distribue-se à metade cranial. 2 provenientes de A. s. i., distribuem-se..... } 1 à metade cranial. 1 proveniente de A. h. s., distribue-se à metade caudal.
Divisão da A. h. s. em relação ao S. r. s.....	bifurca-se na metade caudal.

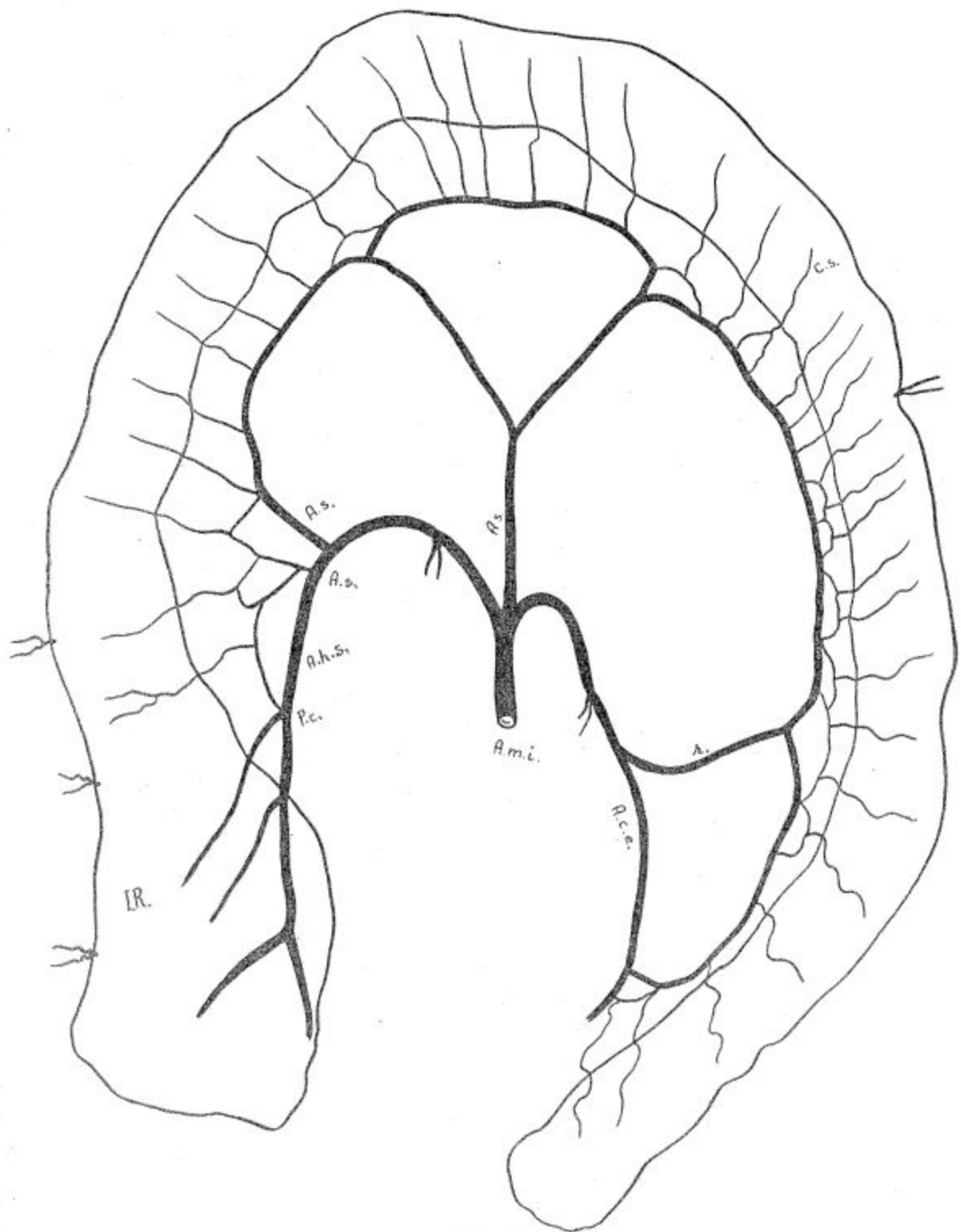


FIG. 101

OBSERVAÇÃO N.º 102

NOME: A. R.

SEXO: masculino.

COR: parda.

NACIONALIDADE: brasileira.

IDADE: 19 anos.

PROCEDÊNCIA: Departam. de Anatomia Patológica da Faculdade de Medicina da Universidade de São Paulo.

Distância bi-ílio cristal.....	24,1 cm.
Distância xifo-púbica.....	33,1 cm.
Comprimento do colo sigmóide.....	53,2 cm.
Mobilidade do colo sigmóide.....	móvel.
Altura do meso-sigmóideo.....	7,5 cm.
Origem da A. m. i. na aorta.....	ântero-lateral esquerda.
Projeção vertebral da origem da A. m. i.....	terço caudal de L ₃ .
Distância do ponto crítico suposto ao plano do promontório.....	0.
Distância do nível real do ponto crítico ao nível suposto.....	+ 7,5 cm.
Distância do nível (x) à origem da última A. sigmóidea.....	entre A.s. ₂ e A.s. ₃ .
Distância do nível (x) à divisão da A. h. s.....	9,6 cm.
Distância da origem da A. m. i. à origem da A. c. e.....	1,3 cm.
Distância da origem da A. m. i. ao ponto crítico.....	11,8 cm.
Distância da origem da A. m. i. à divisão da A. h. s.....	12,9 cm.
Distância da origem da última A. sigmóidea ou tronco das sigmóideas à divisão da A. h. s.....	4,1 cm.
Distância da última A. sigmóidea ao ponto crítico.....	2,3 cm.
Colaterais da A. m. i.....	<div style="display: flex; align-items: center;"> A.c.e. <div style="border-left: 1px solid black; margin-right: 10px;"></div> Tr.s. → A.s.₁ + A.s.₂ </div> <div style="display: flex; align-items: center;"> A.s.₃ <div style="border-left: 1px solid black; margin-right: 10px;"></div> A.s.₄ </div>
Distância entre a origem das colaterais da A. m. i.....	<div style="display: flex; align-items: center;"> A.c.e. - Tr.s. — 0,5 cm. <div style="border-left: 1px solid black; margin-right: 10px;"></div> Tr.s. - A.s.₃ — 4,6 cm. </div> <div style="display: flex; align-items: center;"> A.s.₃ - A.s.₄ — 3,4 cm. <div style="border-left: 1px solid black; margin-right: 10px;"></div> formando arcadas. </div> <div style="display: flex; align-items: center;"> 1 isolada. <div style="border-left: 1px solid black; margin-right: 10px;"></div> 5 primárias. </div> <div style="display: flex; align-items: center;"> numerosas secundárias. <div style="border-left: 1px solid black; margin-right: 10px;"></div> terciárias. </div>
Modo de terminação das colaterais da A. m. i. e da A. h. s.....	+.
Número de arcadas arteriais.....	<div style="display: flex; align-items: center;"> A.c.e. <div style="border-left: 1px solid black; margin-right: 10px;"></div> A.s.₁ — 4,5 cm. </div> <div style="display: flex; align-items: center;"> A.s.₂ — 3,2 cm. <div style="border-left: 1px solid black; margin-right: 10px;"></div> A.s.₃ — 1,9 cm. </div> <div style="display: flex; align-items: center;"> A.s.₄ — 1,0 cm. <div style="border-left: 1px solid black; margin-right: 10px;"></div> A.c.e. — 10,1 cm. </div>
Comprimento das arcadas primárias.....	<div style="display: flex; align-items: center;"> A.s.₁ — 15,6 cm. <div style="border-left: 1px solid black; margin-right: 10px;"></div> A.s.₂ — 14,7 cm. </div> <div style="display: flex; align-items: center;"> A.s.₃ — 7,3 cm. <div style="border-left: 1px solid black; margin-right: 10px;"></div> A.s.₄ — 5,4 cm. </div> <div style="display: flex; align-items: center;"> A.s.₄ — P.C. — 6,8 cm. <div style="border-left: 1px solid black; margin-right: 10px;"></div> A.c.e. — 2,2 cm. </div>
Comprimento das colaterais da A. m. i.....	<div style="display: flex; align-items: center;"> A.s.₁ — 2,8 cm. <div style="border-left: 1px solid black; margin-right: 10px;"></div> A.s.₂ — 6,0 cm. </div> <div style="display: flex; align-items: center;"> A.s.₃ — 1,6 cm. <div style="border-left: 1px solid black; margin-right: 10px;"></div> A.s.₄ — 2,6 cm. </div>
Distância do ponto de divisão das colaterais da A. m. i. ao intestino.....	<div style="display: flex; align-items: center;"> A.c.e. — 0,15 cm. <div style="border-left: 1px solid black; margin-right: 10px;"></div> na A. h. s. </div>
A. sigmóidea ima { Diâmetro externo.....	0,15 cm.
	Desembocadura.....
Situação do ponto crítico em relação ao S. r. s.....	na metade caudal.
Origem e distrib. das Aa. r. s. { 2 provenientes de arcada secundária entre A.s. ₄ e A. s. i., distribuem-se à metade cranial.	
	3 provenientes da A. s. i., distribuem-se à metade caudal.
Divisão da A. h. s. em relação ao S. r. s.....	bifurca-se na metade caudal.

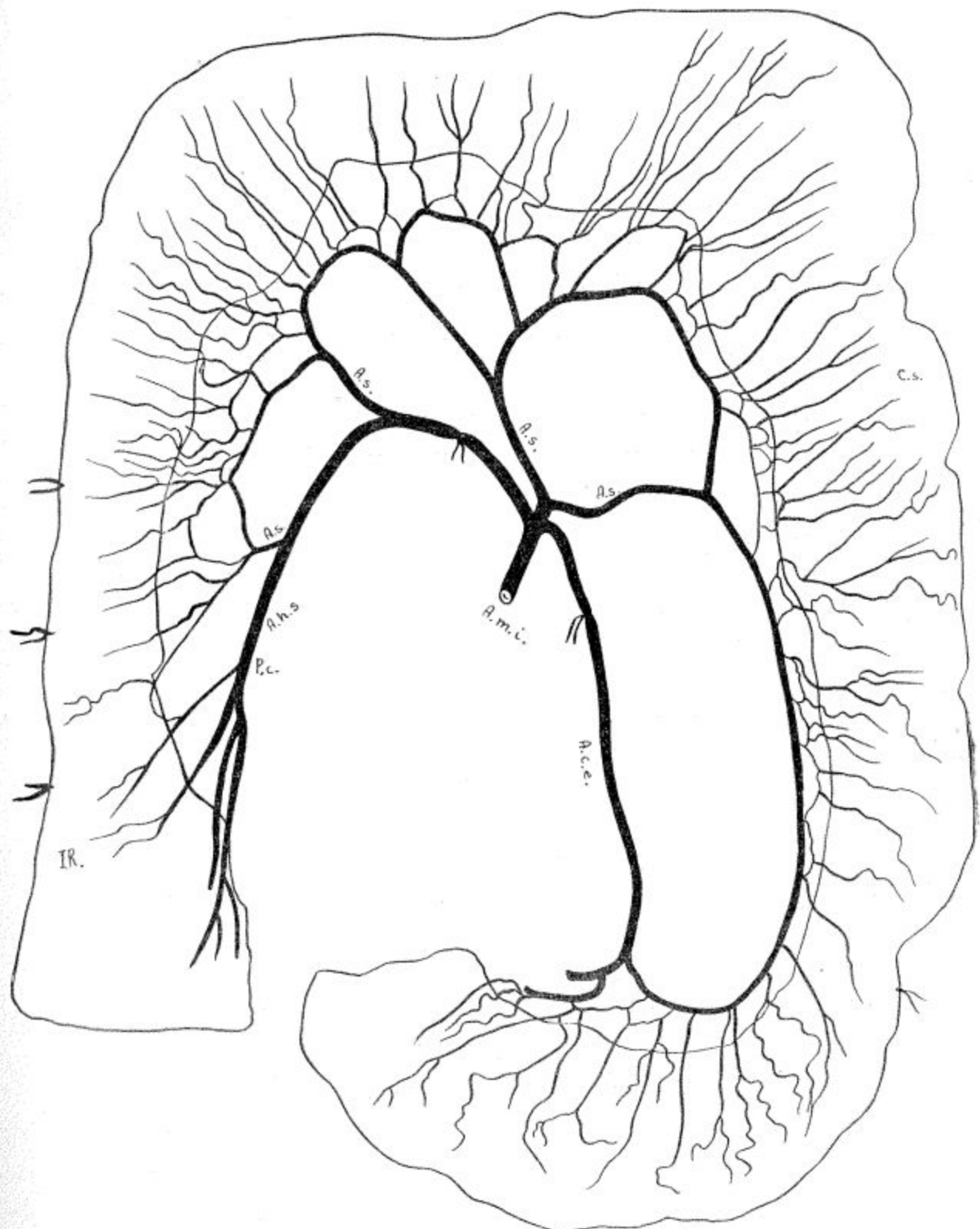


FIG. 102

OBSERVAÇÃO N.º 103

NOME: J. B. O.

SEXO: masculino.

COR: branca.

NACIONALIDADE: brasileira.

IDADE: 26 anos.

PROCEDÊNCIA: Departam. de Anatomia Patológica da Faculdade de Medicina da Universidade de São Paulo.

Distância bi-ílio cristal.....	23,5 cm.
Distância xifo-pública.....	26,0 cm.
Comprimento do colo sigmóide.....	43,2 cm.
Mobilidade do colo sigmóide.....	móvel.
Altura do meso-sigmóideo.....	11,3 cm.
Origem da A. m. i. na aorta.....	anterior, linha média.
Projeção vertebral da origem da A. m. i.....	fibrocartilagem entre L ₂ - L ₃ .
Distância do ponto crítico suposto ao plano do promontório.....	- 1,0 cm.
Distância do nível real do ponto crítico ao nível suposto.....	+ 1,3 cm.
Distância do nível (x) à origem da última A. sigmóidea.....	2,5 cm.
Distância do nível (x) à divisão da A. h. s.....	8,5 cm.
Distância da origem da A. m. i. à origem da A. c. e.....	1,7 cm.
Distância da origem da A. m. i. ao ponto crítico.....	10,8 cm.
Distância da origem da A. m. i. à divisão da A. h. s.....	13,7 cm.
Distância da origem da última A. sigmóidea ou tronco das sigmóideas à divisão da A. h. s.....	10,8 cm.
Distância da última A. sigmóidea ao ponto crítico.....	7,9 cm.
Colaterais da A. m. i.....	{ Tr.c.s. → A.c.e. (r ₁ + A.s. ₁) A.s. ₂
Distância entre a origem das colaterais da A. m. i.....	Tr.c.s. - A.s. ₂ — 1,3 cm.
Modo de terminação das colaterais da A. m. i. e da A. h. s.....	{ formando arcadas. 1 isolada.
Número de arcadas arteriais.....	{ 4 primárias. várias secundárias.
Arcada entre a primeira A. sigmóidea e a A. c. e.....	+ com r ₁ intercalado.
Comprimento das arcadas primárias.....	{ A.c.e. - r ₁ — 7,2 cm. r ₁ - A.s. ₁ — 8,8 cm. A.s. ₁ - A.s. ₂ — 15,2 cm. A.s. ₂ - P.c. — 11,3 cm.
Comprimento das colaterais da A. m. i.....	{ A.c.e. — 9,1 cm. r ₁ — 4,2 cm. A.s. ₁ — 3,4 cm. A.s. ₂ — 2,8 cm.
Distância do ponto de divisão das colaterais da A. m. i. ao intestino.....	{ A.c.e. — 6,2 cm. r ₁ — 0,9 cm. A.s. ₁ — 2,8 cm. A.s. ₂ — 8,1 cm.
A. sigmóidea ima { Diâmetro externo.....	0,20 cm.
	Desembocadura..... na A. h. s.
Situação do ponto crítico em relação ao S. r. s.....	no limite cranial.
Origem e distrib. das Aa. r. s..	{ 3 provenientes da A. s. i., distribuem-se à metade cranial. 1 proveniente de A. h. s., distribue-se à metade cranial.
Divisão da A. h. s. em relação ao S. r. s.....	bifurca-se na metade cranial.

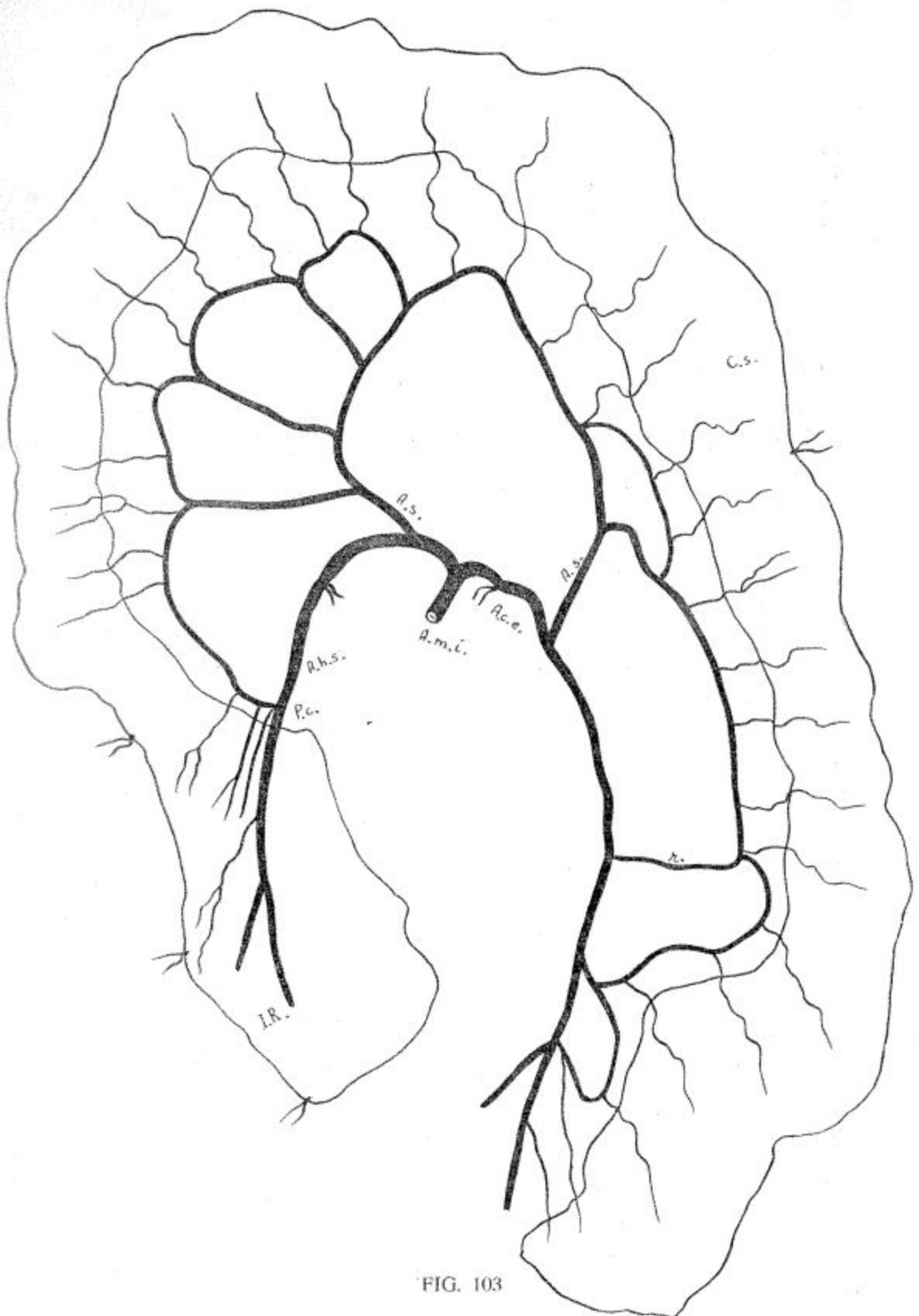


FIG. 103

OBSERVAÇÃO N.º 104

NOME: M. S.

SEXO: masculino.

COR: branca.

NACIONALIDADE: brasileira.

IDADE: 34 anos.

PROCEDÊNCIA: Departam. de Anatomia Patológica da Faculdade de Medicina da Universidade de São Paulo.

Distância bi-ílio cristal.....	24,5 cm.
Distância xifo-pública.....	29,0 cm.
Comprimento do colo sigmóide.....	46,0 cm.
Mobilidade do colo sigmóide.....	móvel.
Antura do meso-sigmóideo.....	12,7 cm.
Origem da A. m. i. na aorta.....	ântero-lateral esquerda.
Projeção vertebral da origem da A. m. i.....	fibrocartilagem entre L ₂ e L ₃ .
Distância do ponto crítico suposto ao plano do promontório.....	0.
Distância do nível real do ponto crítico ao nível suposto.....	+ 2,5 cm.
Distância do nível (x) à origem da última A. sigmóidea.....	1,7 cm.
Distância do nível (x) à divisão da A. h. s.....	5,6 cm.
ância da origem da A. m. i. à origem da A. c. e.....	3,0 cm.
Distância da origem da A. m. i. ao ponto crítico.....	8,0 cm.
Distância da origem da A. m. i. à divisão da A. h. s.....	11,6 cm.
Distância da origem da última A. sigmóidea ou tronco das sigmóideas à divisão da A. h. s.....	6,9 cm.
Distância da última A. sigmóidea ao ponto crítico.....	3,3 cm.
Colaterais da A. m. i.....	{ Tr.c.s. → A.c.e. - (A.s. ₁) A.s. ₂ A.s. ₃
Distância entre a origem das colaterais da A. m. i.....	{ Tr.c.s. - A.s. ₂ — 1,4 cm. A.s. ₂ - A.s. ₃ — 3,3 cm.
Modo de terminação das colaterais da A. m. i. e da A. h. s.....	formando arcadas.
Número de arcadas arteriais.....	{ 3 primárias. numerosas secundárias. terciárias.
Arcada entre a primeira A. sigmóidea e a A. c. e.....	+
Comprimento das arcadas primárias.....	{ A.c.e. - A.s. ₁ — 11,6 cm. A.s. ₁ - A.s. ₂ — 6,1 cm. A.s. ₂ - A.s. ₃ — 12,3 cm.
Comprimento das colaterais da A. m. i.....	{ A.c.e. — 8,8 cm. A.s. ₁ — 5,9 cm. A.s. ₂ — 2,2 cm. A.s. ₃ — 0,2 cm.
Distância do ponto de divisão das colaterais da A. m. i. ao intestino.....	{ A.c.e. — 3,8 cm. A.s. ₁ — 3,5 cm. A.s. ₂ — 5,7 cm. A.s. ₃ — 3,7 cm.
A. sigmóidea ima { Diâmetro externo.....	—.
	Desembocadura.....
Situação do ponto crítico em relação ao S. r. s.....	acima do limite cranial.
Origem e distrib. das Aa. r. s.....	{ 2 provenientes de arcada secundária entre A.s. ₂ A.s. ₃ distribuem-se à metade cranial.
	{ 1 constituída pelo ramo distal de bifurcação de A.s. ₃ , distribue-se a todo o S. r. s.
Divisão da A. h. s. em relação ao S. r. s.....	bifurca-se na metade cranial.

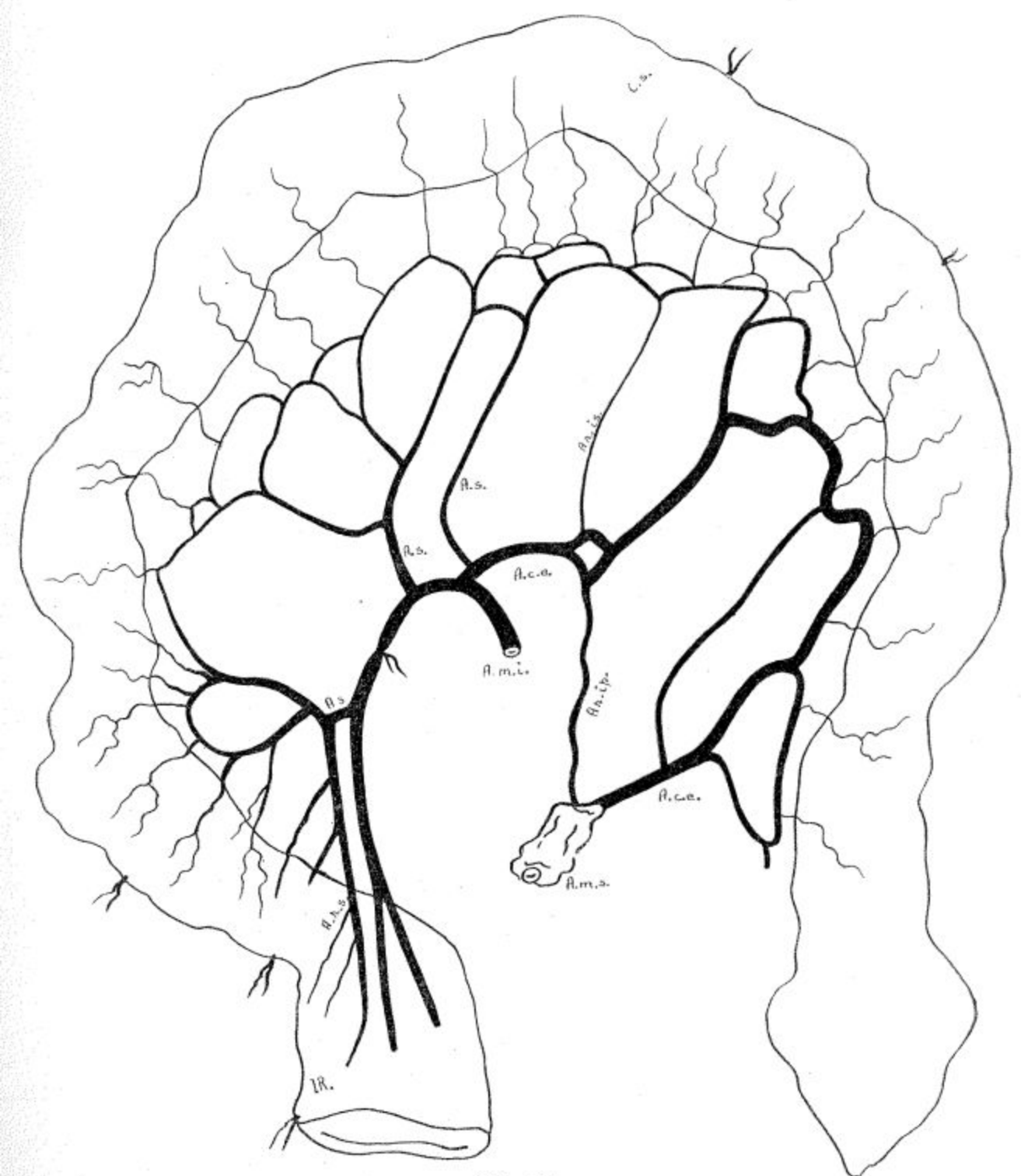


FIG. 104

O B S E R V A Ç Ã O N.º 105

NOME: C. C. F.

SEXO: feminino.

COR: branca.

NACIONALIDADE: brasileira.

IDADE: 32 anos.

PROCEDÊNCIA: Departam. de Anatomia Patológica da Faculdade de Medicina da Universidade de São Paulo.

Distância bi-fílo cristal.....	26,0 cm.
Distância xifo-pública.....	31,3 cm.
Comprimento do colo sigmóide.....	36,5 cm.
Mobilidade do colo sigmóide.....	proximal fixo; distal móvel.
Altura do meso-sigmóideo	7,0 cm.
Origem da A. m. i. na aorta.....	ântero-lateral esquerda,
Projeção vertebral da origem da A. m. i.....	fibrocartilagem entre L ₃ - L ₄ .
Distância do ponto crítico suposto ao plano do promontório.....	+ 1,0 cm.
Distância do nível real do ponto crítico ao nível suposto.....	+ 3,1 cm.
Distância do nível (x) à origem da última A. sigmóidea.....	entre A.s. ₃ e A.s. ₄
Distância do nível (x) à divisão da A. h. s.....	5,5 cm.
Distância da origem da A. m. i. à origem da A. c. e.....	2,3 cm.
Distância da origem da A. m. i. ao ponto crítico	9,5 cm.
Distância da origem da A. m. i. à divisão da A. h. s.....	11,0 cm.
Distância da origem da última A. sigmóidea ou tronco das sigmóideas à divisão da A. h. s.....	4,5 cm.
Distância da última A. sigmóidea ao ponto crítico	3,0 cm.
Colaterais da A. m. i.....	{ Tr.c.s. → A.c.e. (A.s. ₁ + A.s. ₂) A.s. ₃ . A.s. ₄ .
Distância entre a origem das colaterais da A. m. i.	{ Tr.c.s. - A.s. ₃ — 1,5 cm. A.s. ₃ - A.s. ₄ — 2,8 cm.
Modo de terminação das colaterais da A. m. i. e da A. h. s.....	formando arcadas.
Número de arcadas arteriais.....	{ 5 primárias. várias secundárias.
Arcada entre a primeira A. sigmóidea e a A. c. e... ..	+
Comprimento das árcadas primárias	{ A.c.e. — prejudicado. A.s. ₁ — A.s. ₂ — 10,0 cm. A.s. ₂ — A.s. ₃ — 6,4 cm. A.s. ₃ — A.s. ₄ — 3,2 cm. A.s. ₄ — P.c. — 5,3 cm.
Comprimento das colaterais da A. m. i.....	{ A.c.e. — prejudicado. A.s. ₁ — 2,3 cm. A.s. ₂ — 1,2 cm. A.s. ₃ — 1,5 cm. A.s. ₄ — 0,7 cm.
Distância do ponto de divisão das colaterais da A. m. i. ao intestino.....	{ A.c.e. — prejudicado. A.s. ₁ — 1,2 cm. A.s. ₂ — 5,5 cm. A.s. ₃ — 2,2 cm. A.s. ₄ — 1,9 cm.
A. sigmóidea ima { Diâmetro externo.....	0,10 cm.
Desembocadura.....	na A. h. s.
Situação do ponto crítico em relação ao S. r. s.....	na metade cranial.
Origem e distrib. das Aa. r. s.. 3 provenientes da A. s. i., distribuem-se à metade cranial.	
Divisão da A. h. s. em relação ao S. r. s.....	bifurca-se na metade cranial.

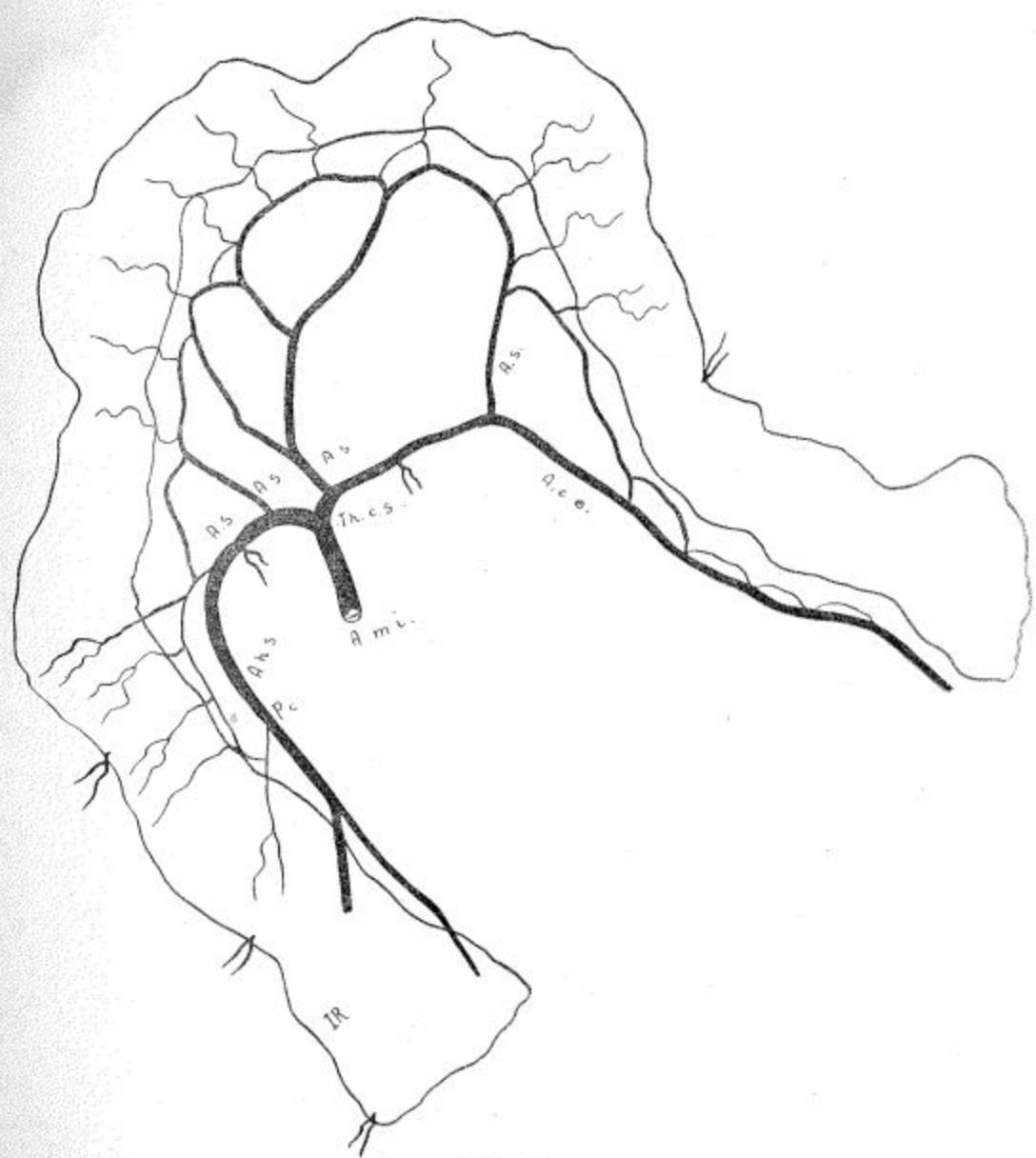


FIG. 105

B I B L I O G R A F I A

- ABEL, L. (cit. por MILES).
- ABADIE (cit. por MEILLÈRE).
- ADACHI, B.: *Das arteriensystem der Japaner*. Verlag der Kaiserlich Japanischen Universität zu Kyoto. 2 : 71-73, 1928.
- ALDRICH-BLAKE, Louise B.: *Abdomino-perineal excision of the rectum by a new method*. Brit. M. J., pág. 1586-1588, 1903 (cit. por BACON).
- ALFREDO, J.: *Alguns casos de amputação intra-esfínteriana do reto, em retite crônica estenosante*. Rev. med. de Pernambuco, 5 : 97-112, 1935.
- ALLEN, C. W.: a) *Resection of rectum with restoration of the anal outlet*. New Orleans M. & S. J., 75 : 695-703, 1923.
- ALLEN, C. W.: b) *Carcinoma of the colon*. Surgery, 14 : 350-365, 1943.
- ANSON, B. J. e McVAY, C. B.: *The topographical position and mutual relations of the visceral branches of the abdominal aorta: a study of 100 consecutive cadavers*. Anat. Rec., 67 : 7-13, 1936.
- ARCHIBALD, E.: *Operative treatment of cancer of the rectum*. J. A. M. A., 1 : 573-579, 1908.
- ARNOLD, H. R. e SHEA, J. F.: *Resection of rectosigmoid juncture with reestablishment of intestinal continuity: subsequent report*. Arch. Surg., 41 : 110-113, 1940.
- d'AVILA, S.: a) *Retites infiltrantes (contribuição à técnica de amputação abdomino-endanal do reto-colon)*. Med. cir. farm., n.º 82 : 1-39, 1943.
- d'AVILA, S.: b) *Câncer reto-sigmóide*. Rev. bras. de cir., 13 : 273-290, 1944.
- d'ALLAINES, F. e VERNEJOU, R.: *Conservation de la fonction sphinctérienne dans la cure opératoire du cancer du rectum*. J. de chir., 62 : 274-287, 1946.
- d'ALLAINES, F., JOURDAN, P. e STÉFANI, L.: *La chirurgie du rectum par voie trans-sacré*. J. de Chir., 51 : 816-837, 1938.
- BABCOCK, W. W.: a) *Operative treatment of carcinoma of rectosigmoid with methods for elimination of colostomy*. Surg., Gynec. & Obst., 55 : 627-632, 1932.
- BABCOCK, W. W.: b) *Experiences with resection of colon and elimination of colostomy*. Am. J. Surg., 46 : 186-203, 1939; correction 46 : 222, 1939.
- BABCOCK, W. W.: c) *Cancer — operative treatment of large bowel*. Delaware State M. J., 16 : 59-63, 1944.
- BABCOCK, W. W.: d) *Advances in the operative treatment of cancer of the large bowel*. J. Internat. Coll. Surgeons, 12 : 179-187, 1946.
- BABCOCK, W. W.: e) *Improvements in the single stage operation, without colostomy of cancer of large bowel*. J. Internat. Coll. Surgeons, 9 : 419-420; 480-481, 1946.
- BABCOCK, W. W. & BACON, H. E.: a) *One-stage abdomino-perineal proctosigmoidectomy*. Surg. Clin. N. America, 22 : 1631-1662, 1942.
- BABCOCK, W. W. & BACON, H. E.: b) *Operative treatment of cancer of the large bowel without colostomy*. Arch. Surg., 46 : 253-264, 1943.
- BABCOCK, W. W. & BACON, H. E.: c) *Complications in the surgical treatment of carcinoma of the large bowel*. J. A. M. A., 128 : 73-77, 1945.
- BACON, H. E.: a) *Evolution of sphincter muscle preservation and re-establishment of intestinal continuity in operative treatment of rectal and sigmoidal cancer*. Surg., Gynec. & Obst., 81 : 113-127, 1945.
- BACON, H. E.; FLEMING, J. P.; SMITH, C. H. e HOLOMAN, M. B.: b) *The surgical treatment of cancer of the rectum and pelvic colon without colostomy and with preservation of sphincter muscles*. J. Internat. Coll. Surgeons, 9 : 511-516, 1946.

- BALLIVET (cit. por d'ALLAINES e VERNEJOU).
- BARBOSA VIANNA, A. B.: Contribuição ao estudo das artérias mesentéricas. - Cadeira de Anatomia Descritiva. Tese de concurso. Rio de Janeiro, Emp. Ed. "O Norte", 1922.
- BASTOS, E. S.: Comunicação verbal (4 casos operados por ressecção anterior), 1947.
- BERGERET (cit. por d'ALLAINES e VERNEJOU).
- BLOCH, J. C. e MICHON, L.: L'origine des grosses branches de l'aorte abdominale. Bull. et mém. Soc. Anatomique de Paris, 92 : 380-384, 1922.
- BLOCK, O.: Extra-abdominal Resektion af hele Colon descendens of et Stykke af Colon transversum for Cancer. Hosp. Tid. Kjøbenhavn, 2 : 1.053, 1894 (cit. por YODICE).
- BURCH, L. E.: An easy operation for the removal of cancer of the rectum in the female. Sueg., Gynec. & Obst., 54 : 794, 1932 (cit. por PACK e LIVINGSTON).
- CASCO, E. D.: Transiluminacion del meso signoideo para la ligadura de los vasos del meso. Rev. Asoc. méd. argent., 59 : 356-358, 1945.
- CATTELL, R. B. e SUGARBAKER, E. D.: Recent advances in surgical treatment of carcinoma of colon and rectum. Surgery, 11 : 644-652, 1942.
- CAVALCANTI, E. M.: Contribuição ao estudo da anatomia do colo terminal. Tese para livre docente de Anatomia. Rio de Janeiro, "A Manhã", 1943.
- CHALIER, A. e MONDOR, H.: Cancer du rectum. Paris, Gaston Doin Éd., 1924.
- CHALOT, Dr: Méthode abdomino-périnéale pour l'extirpation totale de l'anus et du rectum e au besoin de l'S iliaque cancéreux avec colostomie iliaque. Bull. et mém. Soc. Chirurg. de Paris, 22 : 310-318, 1896 (cit. por HOVELACQUE).
- CHARRIER, J. e GOUZI, J.: Traitement chirurgical et résultats de l'ablation du cancer de rectum. Presse méd., 18 : 337-339, 1939.
- CHEATLE, L.: The spread of cancer in the lower part of the large intestine. Brit. M. J., (feb., 7), 1914 (cit. por LOCKHART-MUMMERY).
- CLERMONT, D.: Sur l'anastomose de Sudeck. Compt. rend. Assoc. Anat., 18e. Réunion Lyon, pág. 135-139, 1923.
- CLOGG, H. S.: Cancer of the colon: a study of 72 cases. Lancet, 2 : 1007-1012 1908.
- COLE, P.: The intramural spread of rectal carcinoma. Brit. M. J. (march, 1), 1913 (cit. por LOCKHART-MUMMERY).
- COLLER, F. A.; KAY, E. B. e MCINTYRE, R. S.: Regional lymphatic metastasis. Surgery, 8 : 294-311, 1940.
- CORSY, F. e AUBERT: Artères de l'intestin grele et des colons. Bibliographie Anatomique. T. 23, Fasc. 2, 221-252, 1913.
- CUNÉO, B.: Sur un détail de technique dans l'extirpation abdomino-périnéale du rectum. J. de chir., 12 : 281-286, 1914.
- DAVID, V. C.: Treatment of carcinoma at the rectosigmoid junction by obstructive resection. Surg., Gynec. & Obst., 59 : 491-495, 1934.
- DAVIS, C.: The rectosigmoid arterial anastomosis. Ann. Surg., 52 : 529-532, 1910.
- DI DIO, L. J. A.: Observações anatômicas e considerações gerais sobre o promontório pélvico. Comunicação verbal (nota prévia) à 1.^a reunião conjunta das Sociedades de Biologia do Brasil, São Paulo, 1946.
- DIEFFENBACH, J. F.: Die operative Chirurgie. Leipzig, 1845 (cit. por YODICE).
- DIXON, C. F.: a) Carcinoma of rectosigmoid. Proc. Staff Meet., Mayo Clin., 11 : 127, 1936.
- DIXON, C. F.: b) Carcinoma of rectosigmoid: resection without permanent colostomy. Proc. Staff Meet., Mayo Clin., 11 : 384, 1936.
- DIXON, C. F.: c) Surgical removal of lesions occurring in the sigmoid and rectosigmoid. Am. J. Surg., 46 : 12-17, 1939.
- DIXON, C. F.: d) Anterior resection for carcinoma low in the sigmoid and the rectosigmoid. Surgery, 15 : 367-377, 1944.
- DRUMMOND, H.: The arterial supply of the rectum and pelvic colon. Brit. J. Surg., 1 : 677-685, 1914.

EICHHOFF, E.: *Beiträge zur Chirurgie des Rectums. Bericht über die an der Breslauer Klinik behandelten Rectumcarcinome.* Brun's Beitr. z. klin. Chir., **125**: 17-74, 1922.

FALLIS, L. S.: *Anterior resection of rectosigmoid and upper rectum with reestablishment of continuity.* Surgery, **14**: 397-402, 1943.

FORGUE, E. et MILHAUD: *La circulation du segment sigmoïde-réctal. - La valeur réelle du point de Sudeck.* Contribution à la technique de l'extirpation abdomino-périnéale du rectum. Rev. de chir., **42**: 61-87, 1923.

GABRIEL, W. B.; DUKES, C. e BUSSEY, H. R.: *Lymphatic spread of cancer of rectum.* Brit. J. Surg., **23**: 395-413, 1935.

GILCHRIST, R. K.: *Fundamental factors governing lymphatic spread of cancer.* Ann. Surg., **111**: 630-639, 1940.

GILCHRIST, R. K. e DAVID, V. C.: *Lymphatic spread of carcinoma of the rectum.* Ann. Surg., **108**: 621-642, 1938.

GLOVER, R. P. e WAUGH, J. M.: *The retrograde lymphatic spread of carcinoma of the rectosigmoid region: its influence of surgical procedures.* Surg., Gynec. & Obst., **82**: 434-448, 1946.

GRINNELL, R. S.: *Lymphatic and venous spread.* Ann. Surg., **116**: 200-216, 1942.

HARTMANN, H.: a) *Quelques considérations sur l'amputation périnéale haute du rectum.* Presse méd., **103**: 929, 1909.

HARTMANN, H.: b) *Some considerations upon high amputation of the rectum.* Ann. Surg., **50**: 1091-1094, 1909.

HARTMANN, H.: c) *Traitemen opératoire direct du cancer du rectum.* J. Chir., **11**: 693-702, 1913.

HARTMANN, H.: d) *Chirurgie du Rectum.* Huitième Serie. Masson et Cie., Editeurs, Paris, 1931.

HAYDEN, E. P. e SHEDDEN, W. M.: *Carcinoma of the rectum; a study of 303 cases.* Surg., Gynec. & Obst., **51**: 783-798, 1930.

HEDRI (cit. por MEILLÈRE).

HEIDSIECK, E.: *Zur Skeletopie der grossen Äste der Bauch aorta.* Anat. Anz., **66**: 6-24, 1928.

HELLER, E.: *Gegenwärtiger Stand der Kombinierten, i. e. abdomino-dorsalen Exstirpation der Carzinomatosen des Mastdarms.* Ergebn. der Chirurgie, **5**: 488-531, 1913.

HOCHNEGG, J.: *Meine Operations erfolge bei Rectumcarcinom.* Wien. Klin. Wochenschr., **13**: 399-404, 1900 (cit. por YODICE).

HORSLEY, J. S.: *Resection of the rectosigmoid and upper rectum for cancer, with end-to-end union.* Surg., Gynec. & Obst., **64**: 313-323, 1937.

HOVELACQUE, A.: *Les artères mésentériques,* Paris, G. Doin et Cir., 1936.

JAMIESON, J. K. e DOBSON, J. F.: *The lymphatics of the colon: with special reference to the operative treatment of cancer of the colon.* Ann. Surg., **1**: 1077-1090, 1909.

JONES, T. E.: *Complications of one-stage abdomino-perineal resection of rectum.* J. A. M. A., **120**: 104-107, 1942.

KOCHER (cit. por MILES).

KONSTANTINOWITSCH, V.: *Die Anordnung der Gefäße des Mastdarms.* Saint-Petersburg Med. Zeitschr., **3**: 529-547, 1872-1873.

KOSINSKI, C.: *Quelques observations sur les rameaux du tronc caeliacus et des artères mésentériques chez l'homme, basées sur l'examen de 55 pièces anatomiques à Wilna.* Compt. rend. Ass. Anat., 23e. Réunion, Prague, 2-4 avril, 241-260, 1928.

KRASKE, P.: *Zur Exstirpation Hochsitzender Mastdarmkrebs.* Verhandl. d. deutsch. Gesellsch. f. Chir., **14**: 464, 1885 (cit. por MILES).

KÜMMELL: *Über Resektion des colon descendens und Einhaken des colon transv. in der Analung.* Arch. f. klin. Chir., **59**: 555, 1899 (cit. por CAVALCANTI e MONDOR).

- KÜTTNER, H.: a) *Bericht über 800 (1021) Rektumkarzinome*. München. med. Wchnschr., **67** : 799-800, 1920.
- KÜTTNER, H.: b) *Soll man bei der Operation des Rectumkarzinoms in jeden Falle den Spinkter opfern?* Zentralbl. f. Chir., **51** : 1119-1120, 1924.
- LAGOUTTE (cit. por CLERMONT).
- LISFRANC, J.: Rev. méd. franç., **2** : 380, 1826 (cit. por MILES).
- LIVORY (cit. por D'ALLAINES e VERNEJOU).
- LOCKHART-MUMMERY, J. P.: *A new method of restoring the continuity of the bowel in cases of excision of a growth low down in the sigmoid flexure*. Lancet, **1** : 1403-1404, 1908.
- LORIN, H.: a) *Introduction à l'étude du traitement chirurgical des adénopathies dans les cancers des colons transverse et gauche*. J. de chir., **29** : 129-156, 1927.
- LORIN, H.: b) *Contribution à l'étude anatomo-chirurgicale de la circulation arterielle des colons transverse et gauche et du grand épiploon*. Ann. d'anat. pathol. et d'anat. normale, **7** : 577-582, 1930.
- McVAY, J. R.: *Involvement of lymph nodes in carcinoma of rectum*. Ann. Surg., **76** : 755-767, 1922.
- MANASSE, P.: *Die Arterielle Gefäßversorgung des S romanum in ihrer Bedeutung für die operative Verlagerung desselben: Mittheilung über eine Anastomose bei Mastdarmstenosen (Sigmoides rectostomia externa)*. Arch. f. klin. Chir., **83** : 999-1010, 1907.
- MANDL, F.: a) *Ueber den Mastdarmkrebs (aetiologische Betrachtungen, Symptomatologie und Therapie on der Hand des Materials der Hochnegg'schen Klinik)*. Deutsche Ztschr. f. Chir., **168** : 145-288, 1922.
- MANDL, F.: b) "Elevation des Perineum", ein neues Prinzip zur Erleichterung des Durchzugsverfahrens nach Mastdarmkrebs operationem. Zentralbl. f. Chir., **62** : 1749-1753, 1935; comment by Vogel **62** : 2604-2605, 1935.
- MANDL, F.: c) *Maintenance of continence in operations for carcinoma of the rectum*. J. Internat. Coll. Surgeons, **3** : 11-17, 1940.
- MANDL, F.: d) *Extended sacral operation for cancer of rectum*. J. Internat. Coll. Surgeons, **4** : 424-430, 1941.
- MANDL, F.: e) *Technic and results of primary and secondary pull-through operation after removal of tumors of rectum and rectosigmoid*. Surgery, **18** : 318-335, 1945.
- MANDL, F.: f) (cit. por D'ALLAINES e VERNEJOU).
- MAUNSELL, H. W.: *A new method of excising the two upper portions of the rectum and the lower portion of the rectum and the lower segment of the sigmoid flexure of the colon*. Lancet, **2** : 473, 1892 (cit. por TUTTLE).
- MAYO, W. J.: a) *Surgery of large intestine*. Ann. Surg., **50** : 200-228, 1909.
- MAYO, W. J.: b) *Surgery of large intestine*. Ann. Surg., **94** : 722-731, 1931.
- MEILLÈRE, J.: *Étude de la vascularisation des tuniques du segment gauche du colon. Ses applications chirurgicales*. Ann. d'ant. pathol. et d'anat. normale, **4** : 867-888, 1927.
- MIKULICZ, J. V.: *Chirurgische Erfahrung über das Darmcarcinom*. Arch. f. klin. Chir., **69** : 28, 1903 (cit. por BACON).
- MILES, W. E.: a) *A method of performing abdomino-perineal excision for carcinoma of the rectum and of the terminal portion of the pelvic colon*. Lancet, **2** : 1812, 1908 (cit. por BACON).
- MILES, W. E.: b) *The problem of the surgical treatment of cancer of the rectum*. Am. J. Surg., **46** : 26-39, 1939.
- MIYASHITA, K.: *Arterien der Chinesen. 1. - Beckenarterie. 2. - Ursprungsquelle der grossen Aeste der Bauchaorta*. Manshu Igaku-Zasshi, **22** : 1035-1072, 1935 (Japan). Resumo no Anat. Bericht., **36** : 94, 1938.
- MONDOR, H.: *Contribution à l'étude du cancer du rectum*. Thèse de Paris, 1914.
- MONSARRAT, K. W. e WILLIAMS, I. J.: *Intramural extension in rectal carcinoma*. Brit. J. Surg., **1** : 173-182, 1913.
- MONTEIRO, A.: *O método combinado na amputação do reto canceroso. Processo de Miles*. Rev. brasili. de cir., **11** : 111-122, 1942.

- MOSKOWICZ (cit. por PIZZAGALLI).
- MOYNIHAN, B. G. A.: *The surgical treatment of cancer of the sigmoid flexure and rectum, with special reference to the principles to be observed.* Surg., Gynec. & Obst., **6**: 463-466, 1908 (cit. por VILLEMIN, HUARD e MONTAGNÉ e LOCKHARDT-MUMMERY).
- MURARD & AIGROT: Lyon medical, 1920 (cit. por FORGUE e MILHAUD).
- PACK, G. T. e LIVINGSTON, E. M.: *Treatment of cancer and allied diseases.* Vol. II, New-York-London, Paul B. Hoeber, Inc., 1940.
- PAUL, F. T.: a) *Colectomy for rectal cancer.* Brit. M. J., **1**: 1136, 1805 (cit. por BACON).
PAUL, F. T.: b) *Personal experiences in the surgery of the large bowel.* Lancet, **2** : 217-226, 1912.
- PIKKIEFF, Helene: *Über die Blutversorgung des Dickdarms.* Zeitschr. f. Anat. u. Entwicklungsg., **96** : 658-679, 1931.
- PIZZAGALLI, L.: *Sulla legatura dell'arteria mesenterica inferiore nel trattamento chirurgico del carcinoma rettale.* Cultura medica moderna, Palermo, **4** : 549-558, 1925.
- POPE, C. E.: a) *The arterial blood supply of the sigmoid, rectosigmoid and rectum.* Proc. Staff Meet., Mayo Clin., **3** : 270-272, 1928.
POPE, C. E. e JUDD, E. S.: b) *The arterial blood supply of the sigmoid, rectosigmoid and rectum.* Surg. Clin. N. America, **9** : 957-968, 1929.
POPE, C. E. e BUIE, L. A.: c) *A description of the arterial blood supply of pelvic colon.* Tr. Am. Proct. Soc., **30** : 78-100, 1930.
POPE, C. E.: d) *Symposium on rectal cancer: anatomy of rectum.* Tr. Am. Proct. Soc., **33** : 66-75, 1932.
- PRATT, J. P.: *One-stage operation for resection of the rectosigmoid and rectum for carcinoma (with or without hysterectomy).* Am. J. Obst. & Gynec., **36** : 209-218, 1938.
- PRIBRAM [(cit. por MANDL(c))].
- QUENU, E.: *Des artères du rectum et de l'anus chez l'homme et chez la femme.* Bull. Soc. Anat., Paris, **7** : 703-708, 1893.
- REICHER, M.: *Contribution à l'étude anatomo-topographique du système de l'aorte chez l'homme adulte et le nouveau-né.* Compt. rend. Assoc. Anat. 26e. Réunion, p. 445-461, 1931.
- REYBARD, J. F.: Bull. Avad. de méd., Paris, **9** : 1031, 1844 [(cit. por BACON (a))].
- RUBESCH, R.: *Ueber die Vermeidung der Darmgangraen bei Rectumoperation.* Brun's Beitr. z. klin. Chir., **67** : 480-493, 1910.
- SINGLETON, A. O.: *The blood supply of the large bowel with reference to resection.* Surgery, **14** : 328-341, 1943.
- SMILEY, K. E.: *Relationship of blood supply and lymphatic drainage to surgical procedures.* West. J. Surg., **41** : 635-639, 1933.
- SOUPAULT, R. e LEIBOVICI, R.: *Technique opératoire de l'amputation du rectum cancéreux par la voie abdomino-périnéale avec abaissement du colon au périée.* J. de chir., **38** : 817-838, 1931.
- SOUTO MAIOR, E.: *Contribuição ao estudo anatômico do colon.* Tese a docência livre. Rio de Janeiro, 1925.
- SSOSON-JAROSCHEWITSCH, A.: *Zur chirurgischen Anatomie der A. mesenterica inferior.* Arch. f. klin. Chir., **129** : 178-193, 1924.
- STARKOFF, A. H.: *Arterialnoye krovesnabzheniye pryamoi kishki.* Khirurgia, Mosk., **15** : 589-600, 1904.
- STEWARD, J. A. e RANKIN, F. W.: *Blood supply of large intestine: its surgical considerations.* Arch. Surg., **26** : 843-891, 1933.
- SUDECK, P.: a) *Ueber die Gefässversorgung des Mastdarmes in Hinsicht auf die operative Gangraen.* Münch. med. Wochenschr., **54** : 1314-1317, 1907.
SUDECK, P.: b) *Bemerkungen zur hohen Mastdarmextirpation.* Deutsche Ztschr. f. Chir., **106** : 619-620, 1910.
- SUNDERLAND, S.: *Blood supply of distal colon.* Australian & New Zealand J. Surg., **11** : 253-263, 1942.

- TANIGUCHI, T.: Beitrag zur Topographie der grossen Aeste der Bauchaorta. *Folia Anatomica Japonica*, 9 : 201-213, 1931.
- TUKAMOTO, N.: Über die arterien in der Bauchhöhle des Japaners (Kaibo. Z., Tokyo, 2 : 780-829, 1929). Ref. s. *Jap. J. Med. Sci., I. Anat.*, III, Tokyo (abstr., nr. 105), july, 1933.
- TURELL, R.: Colonic and proctoscopic diseases. *Internat. Abst. Surg.*, 83 : 417-439, 1946; in *Surg., Gynec. & Obst.*, 83, 1946.
- VASCONCELOS, E.: Tratamento cirúrgico das retites estenosantes linfogranulomatosas. *Arq. de cir. clín. e exper.*, 3 : 19-28, 1939.
- VERDI, W. F.: Resection of rectum for cancer and continuity restored. *Ann. Surg.*, 90 : 669-674, 1929.
- VERHOOGEN, M.: L'amputation du rectum. *Presse méd.*, n.º 82 : 726-729, 1909.
- XAVIER, A.: Contribuição ao estudo da retite infiltrante e estenosante. Rio de Janeiro, Oficinas Gráficas do "Jornal do Brasil", 1941.
- WAINSTEIN, A.: Irrigación arterial del intestino grueso. *Arch. chilenos de Morfología*, 2 : 115-139, 1939.
- WALDEYER, W.: Die Kolon-Nischen, die arteriae coliacae und die Arterienfelder der Bauchhöhle, nebst Bemerkungen zur Topographie des Duodénum und Pankreas. *Abhandl. der König. Akad. d. Wissenschaften zu Berlin*, 2 : 1-64, 1899-1900 (cit. por PIKKIEFF).
- WANGENSTEEN, O. H.: a) Primary resection (closed anastomosis) of colon and rectosigmoid including description of abdomino-anal methods for restoration of continuity accompanying excision of carcinoma of rectal ampulla. *Surgery*, 14 : 403-432, 1943.
- WANGENSTEEN, O. H.: b) Primary resection (closed anastomosis) of rectal ampulla for malignancy with preservation of sphincteric function together with further account of primary resection of colon and rectosigmoid and note on excision of hepatic metastases. *Surg., Gynec. & Obst.*, 81 : 1-24, 1945.
- WAUGH, J. M., e CUSTER JR., M. D.: Segmental resection of lesions occurring in left half of colon with primary end-to-end aseptic anastomosis: report based on 50 cases. *Surg., Gynec. & Obst.*, 81 : 593-598, 1945.
- WEBER (cit. por PIZZAGALLI).
- WEIR, R. F.: An improved method of treating high seated cancers of the rectum. *J. A. M. A.*, 37 : 801, 803, 1901.
- WESTHUES, H.: Die pathologisch-anatomischen Grundlagen der Chirurgie des Rektumkarzinoms. Leipzig, Georg Thieme, Verlag, 1934.
- WOOD, W. Q. e WILKIE, D. P. D.: Carcinoma of the rectum: an anatomical-pathological study. *Edinburg M. J.*, 11 : 321, 1933 (cit. por GLOVER e WAUGH).

Consultamos além dos artigos citados:

- a) Obras gerais de anatomia: PORTAL, SOMMERRING, JAMAIN, MASSE, LEIDY, ECKHARD, BONAMI-BROCA, HENLE, SAPPEY (3.ª ed.), CRUVEILHIER-SÉÉ (5.ª ed.), KRAUSE, BEAUNIS-BOUCHARD (3.ª ed.), HYRTL, GUIMARÃES, WEISSE (3.ª ed.), GEGENBAUR, RAUBER (4.ª ed.), ROMITI, HEITZMANN (2.ª ed. italiana), McCLELLAN, TENCHINI, FORT, MERKEL, SCHULTZE, SOBOTTA, VALENTI, POIRIER-NICOLAS (in POIRIER-CHARPY), GERARD, PICQUÉ, CORNING, SYMINGTON (in QUAIN), SENIOR (in MORRIS, 5.ª ed.), ANILE, McMURRICH (in PIERSOL, 7.ª ed.), BUCHANAN (4.ª ed.) ROBINSON (in CUNNINGHAM, 4.ª ed.), TESTUT (7.ª ed.), GREGOIRE, VERSARI (in BALLI-BERTELLI e outros), SPALTEHOLZ (3.ª ed. italiana, e ed. espanhola de 1945), ROUVIÈRE, TANDLER, FALCONE, OKAJIMA, FAVARO, TESTUT-JACOB (6.ª ed.), HOVELACQUE, PAITRE-GIRAUD-DUPRET, GRAY, FUSARI-BRUNI, WALMSLEY, McGREGOR, RAUBER-KOPSCH (15.ª ed.), CALLANDER (2.ª ed.), HOWELL, GRANT, TESTUT-LATARJET (8.ª ed.), BRUNI (2.ª ed.), CHIARUGI (4.ª ed.).

b) Tratados de Proctología: TUTTLE, BALL (2.^a ed.), EARLE, LOCKHART-MUMFORD, GANT (vol. I), PENNINGTON, RANKIN-BARGEN-BUIE, YEOMANS, BUIE, BACON, HAYDEN, RANKIN-GRAHAM, NORBURY, MILES (2.^a ed.), GABRIEL (3.^a ed.).

c) Tratados de Técnica Cirúrgica: DOYEN-BOUCHON (vol. IV), CUTLER-ZOLLINGER, THOREK (vol. III), NELSON SURGERY (vol. V - 1941), KIRSCHNER (vol. V, 2.^a ed. espanhola), MONTEIRO (vol. III, T. II), FEY-MOCQUOT-OBERLIN-QUÉNU-TRUFFERT (vol. IV), MAINGOT (vol. II, ed. brasileira), MARION (vol. II, 4.^a ed.), CHRISTMANN, OTTOLENGHI-RAFFO e von GROLMAN (vol. III, 6.^a ed.), BIKHAM (vol. V), HORSLEY-BIGGER (vol. II, ed. argentina), KLEINSCHMIDT (vol. II, ed. italiana), ORR, DAVIS, SCHMIEDEN-FISCHER-UFFREDUZZI (3.^a ed. italiana).

ÍNDICE

	Pág.
Introdução.....	5
Literatura.....	11
A) Trabalhos especiais.....	11
B) Obras gerais de Anatomia.....	40
Observações próprias.....	43
Material.....	43
Técnica.....	43
Resultados.....	49
A) Considerações anatômicas.....	50
B) Considerações cirúrgicas.....	68
Conclusões.....	83
A) de ordem anatômica.....	83
B) de ordem cirúrgica.....	87
Observações.....	89
Legenda das figuras.....	91
Quadro 1 de síntese geral.....	300/301
Quadro 2 de síntese geral.....	300/301
Bibliografia citada.....	301

Na fig. 42 houve uma omissão, verificada posteriormente à impressão da tese, não tendo sido representada a A. sigmóidea ima. Em consequência o ponto crítico deve ser localizado na origem da 1.^a A. reto-sigmóidea representada na figura. A situação da ligadura também não foi exatamente representada e estava na realidade proximalmente ao ponto crítico exato. Compreende-se assim que o sistema arterial se tenha preenchido distalmente a ligadura.